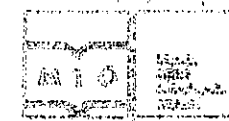


SOĞUTMA TEKNİĞİ ve KLİMA



M 6705

F. 125 Lira

SATIŞ VE DAĞITIM YERİ: İstanbul'da Devlet Kitapları
Müdürlüğü ve illerde Millî Eğitim Bakanlığı Yayınevleri



DEVLET KİTAPLARI

Terit Bakır
5-5.1986-UZAK
Bakır

MİLLİ EĞİTİM BAKANLIĞI



MESLEKİ VE TEKNİK ÖĞRETİM KİTAPLARI
ETÜD VE PROGRAMLAMA DAİRESİ YAYINLARI NO. 47

ORTA DERECELİ ENDÜSTRİYEL TEKNİK ÖĞRETİM OKULLARI
SOĞUTMA TEKNİĞİ ve KLİMA
HİDROLİK VE ENERJİ MAKİNALARI
DÖRDUNCÜ KİTAP
TEMEL DERS KİTABI

Yazarlar

Mehmet Emin ZORKUN

Ali Rıza ARDIÇ

BİRİNCİ BASILIS



DEVLET KİTAPLARI

MİLLİ EĞİTİM BASIMEVİ — İSTANBUL 1980

ÜNSÜZ

Teknik liselerde okuyan öğrencileri meslek yaşamına hazırlamak amacıyla gövde derslerin başında "HİDROLİK VE ENERJİ MAKİNALARI" dersi gelir. Zaten, "HİDROLİK VE ENERJİ MAKİNALARI" dersinin termodinamik ve nükleer enerjiden hidrolik kumanda sistemlerine dek birçok bilim ve bilim dallarına ilişkin özgün konuları içermesi da bu yargının doğruluğunu kanıtlar.

Konuların farklılığı, özgünlüğü ve çeşitliliği, "HİDROLİK VE ENERJİ MAKİNALARI" dersi için

UYGULAMALI HİDROLİK VE HİDROLOJİ,
HİDROLİK KUMANDA SİSTEMLERİ,
TERMODİNAMİK,
SOĞUTMA TEKNİĞİ VE KLİMA,
NOKLEER ENERJİ,
TERMİK MOTORLAR

adlı temel ders kitaplarından oluşan bir dizinin hazırlanmasını gerektirmiştir, bu amaçla da Mehmet Emin Zorkun'un başkanlığında Harun Yaşař Kutoğlu, Ali Rıza Ardiç, Demir Yücelen ve Vehbi Özyurt'un katıldıkları bir komisyon oluşturulmuştur. Komisyonun ilk toplantılarında çalışma yöntemleri saptanmış, Teknik Liselerin Öğretim programları incelenmiş, temel ders kitaplarının yazımında uygulanacak ortak kurallar, ortak ilkeler belirlenmiştir. Daha sonra, diziyi oluşturacak temel ders kitaplarının içeriğine kesinlik kazandırmak düşüncesiyle barajlar, hidrolik ve termik santrallargözelim istasyonları, takım tezgâhi ve pompa imal eden fabrikalar, soğutma tesisleri, uçak bakım - onarım merkezleri gezilmiştir, buralarda çalışan mühendis ve teknisyenlerin görüşleri alınmıştır. Ayrıca ileri düzeye sanayileşmiş ülkelerde, orta

"Her hakkı saklıdır ve Millî Eğitim Bakanlığına aittir. Kitabın metin, ve şekilleri kısmen de olsa hiçbir surette alınıp yayınlanamaz.

Millî Eğitim Bakanlığı Talim ve Terbiye Kurulu'nun 11.3.1980 gün ve 7 sayılı kararı ile temel ders kitabı olarak kabul edilmiş, Yayımlar ve Basılı Eğitim Malzemeleri Genel Müdürlüğü'nün 25.4.1980 gün ve 3184 sayılı emirleri uyarınca 25.000 adet basılmıştır.

dereceli teknik öğretim kurumlarında okutulan ders kitapları gözden geçirilerek bunların değerlendirilmesi yapılmış ve konuların işlenmesinde yararlanılacak kaynak kitaplarla makaleler derlenmiştir. Bu tür hazırlık çalışmaları 1 yılı aşkın bir süre devam etmiş ve sonra "HİDROLİK VE ENERJİ MAKİNALARI" dizisini oluşturacak temel ders kitaplarının yazımına geçilmiştir.

Bu temel ders kitaplarının yazımında bilgilerin hazır ortaya konulmasından kaçınılmış, her konunun işlenmesinde "NEDEN" ve "NIÇİN" sorularının yanıtlanmasıne öncelik ve ağırlık verilmiştir. Ayrıca konuların biribirine bağlanmasına ve biribirini tamamlamasına da özen gösterilmiştir. Yeni bilgilerin öğrenciler tarafından özümlenmesinde daha önce kazanılmış olan doğru bilgilerin önemli bir yeri vardır. Bu gerçek daima gözönünde bulundurulmuş, diziyi oluşturan temel ders kitaplarına kendi içinde ayrı birer bütünlük kazandırmak düşüncesiyle de bazı konuların yinelenmesinden, değişik bir yaklaşımla ele alınıp incelenmesinden ve yorumlanmasından kaçınılmamıştır.

Her temel ders kitabından yazımında olduğu gibi, "HİDROLİK VE ENERJİ MAKİNALARI" dizisini oluşturan temel ders kitaplarının yazımında da kendine özgü bazı önemli güçlüklerle karşılaşılmıştır. Özellikle, konuların seçiminde, sıralanmasında, düzeyinin belirlenmesinde ve işlenmesinde karşılaşılan bu güçlüklerin üstesinden ancak teknik öğretim kurumlarında öğrenimlerini süren gençlere yararlı olabilmek tutkusıyla gelinebilmiştir. Hele yabancı teknolojinin ürünü olan araç, gereç ve organlara ad bulmakta karşılaştığımız zorluklar, uygulama alanında kullanılan birçok terimlerin tutarsızlığı ve anlam yetersizliği, çogu zaman elimizi kolumuzu bağlamış, diziyi oluşturan temel ders kitaplarının hizmete sunulmasını geciktirmiştir.

"SOĞUTMA TEKNİĞİ VE KLİMA" adlı temel ders kitabı, "HİDROLİK VE ENERJİ MAKİNALARI" dersi için hazırlanması

öngörülen dizinin dördüncü kitabıdır. (4) bölümde oluşan bu temel ders kitabı I. Bölümünde "Temel Kavramlar", II. Bölümünde "Soğutma Devresini Oluşturan Ana ve Ara Organlar", işlenmiş, III. Bölümünde "Soğutma Devrelerinin Endüstriyel Uygulamalarına" yer verilmiş ve IV. Bölümünde de 'Klima' konusu incelenmiştir.

Konuların seçiminde, öğrencilerin okulu bitirdikten sonra çalışabilecekleri işyerlerinin bilgi gereksinimi göz önünde bulundurulmuştur. Bilindiği gibi, Teknik Liseyi bitiren öğrencilerin yarıya yakın bir bölüm teknik öğretmenlik ve mühendislik öğrenimine yönelmektedir. Bunun için "SOĞUTMA TEKNİĞİ VE KLİMA" adlı temel ders kitabı içeriği konuların işlenmesinde Teknik Lise öğrencilerini teknik öğretmenlik ve mühendislik öğrenimine hazırlamak amaçlanmıştır.

Ana ve ara organların işlevlerinin, soğutma devresi üzerindeki yerlerinin ve klima hesapları ile klimada geçen temel kavramların bilinmesi çok önemlidir. Bunun için "SOĞUTMA TEKNİĞİ VE KLİMA" adlı temel ters kitabında soğutma devrelerinin fonksiyonel şemasının çizimi, açıklanması ve elemanter klima cihazlarının tanıtımı ile yetinilmemiş, soğutma devrelerini oluşturan kompresör, buharlaştırıcı, kondansör, regülatör ventil gibi organların işlevleri ile soğutucu akışkanların nitelikleri açıklanmış ve klimada geçen temel kavramların tanımına, diyagramların oluşumu ile kullanımına ve klima hesaplarına ayrıntılı olarak yer verilmiştir. Diğer yandan konuların kavranmasını ve özümlenmesini kolaylaştmak için temel ders kitabına uygulamaya dönük ilginç problemler alınmıştır. Bu problemlerin çözümünde ampirizmden kaçınılmış ve öğrencilerin kafasında dügenleme olasılığı bulunan her soruya bir yanıt getirilmeye çalışılmıştır. "SOĞUTMA TEKNİĞİ VE KLİMA" adlı temel ders kitabı izleyen öğretmenlerin salt bu problemlerle sınırlı kalmayarak yeni ve daha kapsamlı problemler hazırlamalarını da yararlı bulduğumuzu özellikle belirtmek isteriz.

"SOĞUTMA TEKNİĞİ VE KLİMA" adlı temel ders kitabının yazımında dil ve anlatımın özgün olmasına ayrı bir özen gösterilmiştir. Yıllar süren uğraşların, yabana atılamayacak deneyim ve bilgi birikiminin ürünü olan bu temel ders kitabın kuşkusuz eksikleri ve eleştirilecek yanları vardır. Bunu itiraf etmekten kivanc duyduğumuzu da özellikle belirtmek isteriz. Bizim için uygulayıcı meslektaşlarımızın uyarıları ve eleştirileri soyut beğenilerden daha önemli ve daha değerlidir. Bu uyarı ve eleştiriler, "SOĞUTMA TEKNİĞİ VE KLİMA" adlı temel ders kitabının eksiklerinin giderilmesinde bize ışık tutacak, ileride daha yetkin ve daha yeterli bir eser durumuna getirilmesini sağlayacaktır.

Ocak - 1980

Mehmet Emin ZORKUN
Ali Rıza ARDIÇ

HİDROLİK VE ENERJİ MAKİNALARI DİZİSİ

1. Kitap

UYGULAMALI HİDROLİK VE HİDROLOJİ

2. Kitap

HİDROLİK KUMANDA SİSTEMLERİ

3. Kitap

TERMODİNAMİK

4. Kitap

SOĞUTMA TEKNİĞİ VE KLİMA

5. Kitap

NÖKLEER ENERJİ

6. Kitap

TERMİK MAKİNALAR

İÇİNDEKİLER

GREK ALFABESİ VE HARFLERİN OKUNUŞU

A	α	alpha	N	ν	nü
B	β	beta	Ξ	ξ	ksi
Γ	γ	gamma	O	ο	omikron
Δ	δ	delta	Π	π	pi
E	ε	epsilon	P	ρ	ro
Z	ζ	dzeta	Σ	σ	sigma
H	η	eta	T	τ	to
Θ	θ	teta	T	υ	upsilon
I	ι	igota	Φ	ϕ	fi
K	χ	kappa	X	χ	ki
Λ	λ	lambda	Ψ	ψ	psi
M	μ	mü	Ω	ω	omega

SOĞUTMA YÖNTEMLERİ VE TEMEL KAVRAMLAR

	<i>Sayfa Numarası</i>
1) Soğutma yöntemleri	3
1.a) Fiziksel yöntem	3
1.a.1) İlkel bir soğurmeli soğutma makinası . . .	3- 5
1.a.2) Endüstriyel tip soğurmeli soğutma makinası .	6- 8
1.b) Kimyasal yöntem	3- 9
1.c) Mekanik yöntem	9
1.c.1) Kompresörlü kapalı soğutma devresi ve elementları	9-11
1.c.2) Kondansör ve buharlaştırıcı basınçları . .	11-12
1.c.3) Kritik basınç ve kritik sıcaklık kavramı .	12-14
1.c.4) Soğutucu akışkanlar	
1.c.4.a) Soğutucu akışkanlarının genel ve ortak nitelikleri	14-15
1.c.4.b) Freon - 12	15-16
1.c.4.c) Freon - 22	16
1.c.4.d) Freon - 502	16-17
1.c.4.e) Amonyak	17-18
1.c.4.f) Metilklorid	18-19
1.c.4.g) Karbondioksit	19-20
1.c.4.h) Kükürtdioksit	20-21
2) Soğutma tekniğinde kullanılan diyagramlar	
2.a) Çevrim	21-23
2.b) Antropik diyagram	23-31
2.c) Ideal çevrim	31-35
2.d) Antalpiik diyagram	35-43

	<u>Sayfa Numarası</u>
2.e) Sıcaklık-Antropi diyagramları ile Basınç - Antalpi diyagramlarının karşılaştırılması	44- 47
3) Kademeli sıkıştırma ve kademeli genleşme	
3.a) Kademeli sıkıştırma	48- 51
3.b) Kademeli genleşme	51- 54
4) Aynı sıcaklıkta çok sayıda buharlaştırıcı ile çalışan soğutma tesisatı	54- 58
5) Farklı sıcaklıkta birden fazla buharlaştırıcı ile çalışan soğutma tesisatı	58- 62
6) Dolaylı soğutma yapan soğutma tesisatları	62- 64
KONTROL VE DEĞERLENDİRME SORULARI	65- 66

II. BÖLÜM

SOĞUTUCU DEVRELERDE ANA VE YARDIMCI ELEMANLAR

1) Soğutucu devrelerde ana elemanlar

1.a) Kompresörler

1.a.1) Kompresörün tanımı ve çeşitleri	69- 70
1.a.2) Kompresör kapasitesi	70- 72
1.a.3) Kompresörün gücü	72- 81
1.a.4) Endikatör diyagramı	81- 90
1.a.5) Kompresör kapasitesinin düzenlenmesi	91- 93
1.a.6) Kompresör ana elemanları	93- 96
1.a.6.a) Emme滤resi	97
1.a.6.b) Klapeler	97
1.a.6.b.1) Saplı klapeler	97- 98
1.a.6.b.2) Sipiral yay klapeler	98
1.a.6.b.3) Hörbüger klapesi	99

	<u>Sayfa Numarası</u>
1.a.6.b.4) Düşey tip eşit akımlı kompresörlerde kullanılan klapeler	99-
1.a.6.b.5) Basma klapeleri	99-100
1.b) Kondansörler	
1.b.1) Kondansörlerin tanımı ve çeşitleri	100-101
1.b.2) Hava soğutmalı kondansörler	101
1.b.3) Su soğutmalı kondansörler	102
1.b.3.a) İçten su akımlı kondansörler	102-104
1.b.3.b) Dıştan su akımlı kondansörler	
1.b.3.b.1) Su içinde çalışan kondansörler	104-106
1.b.3.b.2) Yağmurlamalı kondansörler	106-108
1.b.3.b.3) Shell kondansörü	108-109
1.b.4) Karma kondansörler	109-110
2) Soğutucu devrelerde yardımcı elemanlar	
2.a) Hazne	110-111
2.b) Nem tutucu	111-113
2.c) Elektrovalflar	113-117
2.d) Soğutucu akışkanın kontrolü	117
2.d.1) Şamandıralı alçak basınç valfi	118-120
2.d.2) Şamandıralı yüksek basınç valfi	120-121
2.d.3) Otomatik genleşme valfi	121-123
2.d.4) Termostatik genleşme valfi	123-125
2.d.5) Denkleştircili termostatik genleşme valfi .	125-127
2.e) Isı dönüştürücüsü	127-128

	<i>Sayfa Numarası</i>
2.f) Hava gidericileri	123-131
2.g) Sıvı ayırcısı	131
2.h) Yağ ayırcıları	131-133
2.i) Ara soğutucular..	133
2.j) Buharlaştırıcı basınc regülatörü	133-136
KONTROL VE DEĞERLENDİRME SORULARI	137-139
 III. BÖLÖM	
CEŞİTLİ UYGULAMALAR	
1) Buz yapımı	
1.a) Genel tanım ve açıklamalar	142-143
1.b) Buz jeneratörü	143-146
1.c) Buz jeneratöründen çekilen ısı miktarının hesabı .	146-150
2) Soğutucu akışkan olarak Freon kullanılan otomatik meyve soğutma tesisatının hesabı	150-171
3) Hızlı dondurma kavramı ve hızlı dondurma yöntemleri	
3.a) Tanım ve açıklamalar	171-172
3.b) Hızlı dondurma yöntemleri	
3.b.1) Hava ile hızlı dondurma yöntemi	172-178
3.b.2) Salamura ile hızlı dondurma yöntemleri	
3.b.2.a) Otessen yöntemi	178-179
3.b.2.b) Zarotschenzeff yöntemi	179-181
3.b.2.c) Petersen yöntemi	181-182
3.b.3) Değdirmen ile hızlı dondurma	183-193
3.c) Soğuk hücrelerde depolama	194
KONTROL VE DEĞERLENDİRME SORULARI	

<i>Sayfa Numarası</i>	
IV. BÖLÖM	
K L İ M A	
1) Temel kavramlar ve tanımlar	
1.a) Giriş	195-197
1.b) Nemli hava	197-198
1.b.1) Mutlak nem	198-200
1.b.2) Bağıllı nem	200-201
1.b.3) Çiğ noktası	201-207
1.b.4) Yaş termometre sıcaklığı	207-208
1.b.5) Bağıllı nemin belirlenmesi	
1.b.5.a) Psikrometrik çizelgelerden yararlanılarak bağıllı nemin belirlenmesi	208-211
1.b.6.b) Higrometrelerden yararlanılarak bağıllı nemin belirlenmesi	211-225
1.b.6) Nemli havanın antalpisi	225-234
1.b.7) Nemli havanın antalpisinin grafik olarak gösterilmesi	
1.b.7.a) Antalpik diyagramın oluşumu	234-236
1.b.7.b) Antalpik diyagramın kullanımı	236-243
2) Bir elemanter klima tesisinin hesabı	
2.a) Klima için hava hazırlanırken denetim altında bulundurulması gereken etkenler	243
2.a.1) Akım hızı	243-244
2.a.2) Sıcaklık ve bağıllı nem derecesi	244
2.c) Klima cihazı	244
2.b.1) Kış işletmesi hesabı	247-252
2.b.2) Yaz işletmesi hesabı	252-267
KONTROL VE DEĞERLENDİRME SORULARI	267-268
YARDIMCI ÇİZELGELER	269-277
KAYNAKÇA	278

I. B Ü L O M

SOĞUTMA YÖNTEMLERİ VE TEMEL KAVRAMLAR

1) SOĞUTMA YÖNTEMLERİ

1.a) Fiziksel yöntem

- 1.a.1) İlkel bir soğurmeli soğutma makinası
- 1.a.2) Endüstriyel tip soğurmeli soğutma makinası

1.b) Kimyasal yöntem

1.c) Mekanik yöntem

- 1.c.1) Kompresörlü kapalı soğutma devresi ve elemanları

- 1.c.2) Kondansör ve buharlaştırıcı basınçları

- 1.c.3) Kritik basınç ve kritik sıcaklık kavramı

- 1.c.4) Soğutucu akışkanlar

- 1.c.4.a) Soğutucu akışkanlarının genel ve ortak nitelikleri

- 1.c.4.b) Freon - 12

- 1.c.4.c) Freon - 22

- 1.c.4.d) Freon - 502

- 1.c.4.e) Amonyak

- 1.c.4.f) Metilklorid

- 1.c.4.g) Karbondioksit

- 1.c.4.h) Kükürtdioksit

2) SOĞUTMA TEKNİĞİNDE KULLANILAN DİYAGRAMLAR

2.a) Çevrim

2.b) Antropik diyagram

2.c) İdeal çevrim

2.d) Antalpik diyagram

2.e) Sıcaklık - Antropi diyagramları ile Basınç - Antalpi diyagramlarının karşılaştırılması

- 3) Kademeli sıkıştırma ve kademeli genleşme,
 - 3.a) Kademeli sıkıştırma
 - 3.b) Kademeli genleşme
- 4) Aynı sıcaklıkta çok sayıda buharlaştırıcı ile çalışan soğutma tesisi
- 5) Farklı sıcaklıkta birden fazla buharlaştırıcı ile çalışan soğutma tesisi
- 6) Dolaylı soğutma yapan soğutma tesisatları

SOĞUTMA YÖNTEMLERİ VE TEMEL KAVRAMLAR

1) Soğutma Yöntemleri

Soğutma tekniği fizik kanunlarına dayandırılmıştır. Soğutma şu üç yöntemle gerçekleştirilir:

- 1^o) *Fiziksel yöntem,*
- 2^o) *Kimyasal yöntem,*
- 3^o) *Mekanik yöntem.*

Fiziksel ve mekanik yöntemlerle gerçekleştirilen soğutmada, soğutucu akışkan kimyasal anlamda hiçbir yapı değişikliğine uğramaz. Ancak hem fiziksel yöntemde ve hem de mekanik yöntemde soğutucu akışkan farklı işlemlerin etkisi altında bulunur. Bunun için bu yöntemleri ayrı ayrı inceleyeceğiz.

1.a) Fiziksel Yöntem

Sıvılar buharlaşırken çevreden ısı çekerler. Buharlaşan sıvıların çevreden ısı çekmesi çevre sıcaklığının düşmesine neden olur. *İsi kaybının neden olduğu sıcaklık düşmesine ya da sıcaklık azamasına soğuma denir.*

Elimize sürdüğümüz kolonyanın, yazın sıcak günlerinde cadde ve meydanlara serpiler suyun buharlaşarak serinlik vermesi, fiziksel yöntemle gerçekleştirilen soğutmaya ilişkin iki ilginç örnektir.

İlk zamanlarda kullanılan ıspirtolu buz dolapları ile elektrik olmayan yörelerde kullanılan absorpsiyonlu yani soğurmeli buz dolaplarında soğutma hep fiziksel yöntemle gerçekleştirilir. Önemli olduğu için soğurmeli soğutma teknigi-ne kısaca değineceğiz.

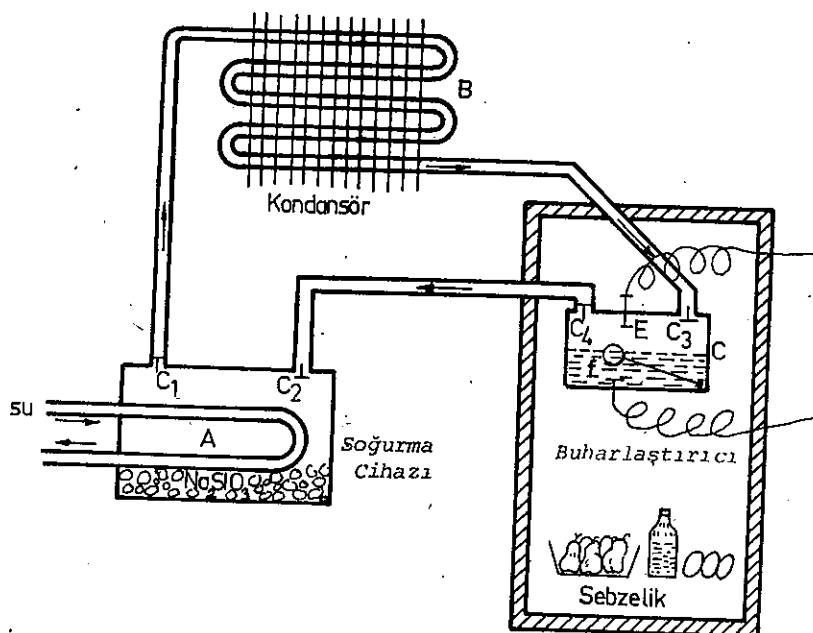
1.a.1) İlkel Bir Soğurmeli Soğutma Makinası

Fiziksel soğutma yönteminin endüstriye yansyan en

Önemli yanını soğurmali soğutma oluşturur. Soğurmali soğutma makinalarında ısı enerjisinden yararlanılır. Soğurmali soğutma devresi üzerinde hareket ileme ve aktarma organları yoktur. Bu nedenle makina tamamen sessiz çalışır.

Soğutma devresinde soğurucu olarak SILIKO-GEL ve su kullanılır. Siliko-Gel, nem tutucu ya da emici Siliko-Sod yuma madensel bir asitin etkimesi ile oluşur. Pelte kıvamındaki bu bileşik daha sonra yıkanıp kurutulur. Çok küçük tanecikler şeklinde soğutma devresine yerleştirilen Siliko-Gel amonyağı emer.

Amonyak, düşük sıcaklıklarda, bilindiği gibi, suda da kolayca çözülür ve bu çözelti (55°C) sıcaklıkta ısıtıldığı zaman amonyak buharlaşarak ayrılır. Suyun işlevi, soğutma devresindeki amonyağı çözmektir. (Şekil-1.1)'de, soğurmali soğutma makinasının fonksiyonel şeması görülmektedir.



Şekil-1.1 Soğurmali Soğutma Makinasının Fonksiyonel Şeması

Soğurmali soğutma makinası kompresör yerine geçen (A) soğurma cihazı, (B) kondansörü ve (C) buharlaştırıcısından oluşmuştur. (A) soğurma cihazının alt bölümünde siliko-gel bulunur. Siliko-Gel'in işlevi buharlaştırıcıdan gelen amonyak buharını yoğunlaştıktan sonra emmektir. Buharlaştırıcıdan gelen amonyağı yoğunlaştırmak için (A) soğurma cihazına ayrıca içerisinde devamlı su akımı bulunan bir helisel boru yerleştirilir. (A) soğurma cihazı gerekli ısı enerjisini bir elektrik, ispirto ya da bütan gazı ocağından alabilir. Elektrik, ispirto ya da bütan gazı ocağından alınan ısı ile siliko-gel'in emmiş olduğu amonyak buharlaşır. Basınç belirli bir değere ulaşınca (C₁) klapesi açılır ve amonyak buharı (C₁) klipesinden geçerek (B) kondansörüne dolar. (B) kondansöründe soğutma yüzeyi büyük değerlere sahiptir. Bu nedenle (B) kondansörüne dolan amonyak buharı hiçbir güçlükle karşılaşmaksızın yoğunlaşır ve yoğunlaşan amonyak da (C) buharlaştırıcısına geçer. (C) buharlaştırıcısına dolan amonyak (D) şamandrasını yukarıya kaldırır. (A) cihazındaki amonyak tamamen (C) buharlaştırıcısına geçtiği zaman (D) şamandrası (E) kumanda düğmesine etkileşir ve (A) soğurma cihazına ısı enerjisi veren elektrik, ispirto ya da bütan gazı ocağı söner. (C) buharlaştırıcısına geçen sıvı amonyak gevreden ısı alarak yeniden buharlaşır. Basınç belirli bir değere ulaşınca (C₄) klipesi açılır ve buharlaşan amonyak (A) cihazına dolar. (A) cihazına dolan amonyak yoğunlaşır, yoğunlaşan amonyak da siliko-gel tarafından emilir. (C) buharlaştırıcısında buharlaşan amonyak tamamen (A) soğurma cihazına geçince bu kez (D) şamandrası (F) kumanda düğmesine etkileşir. (D) şamandrası (F) kumanda düğmesine etkiyince elektrik, ispirto ya da bütan gazı ocağı yeniden yanar. (C) buharlaştırıcısında buharlaşan amonyak buharlaşma sürecinde gevreden ısı çektigi için sıcaklığı düşmesine yani soğumaya neden olur.

1.a.2) Endüstriyel tip soğurmeli soğutma makineleri

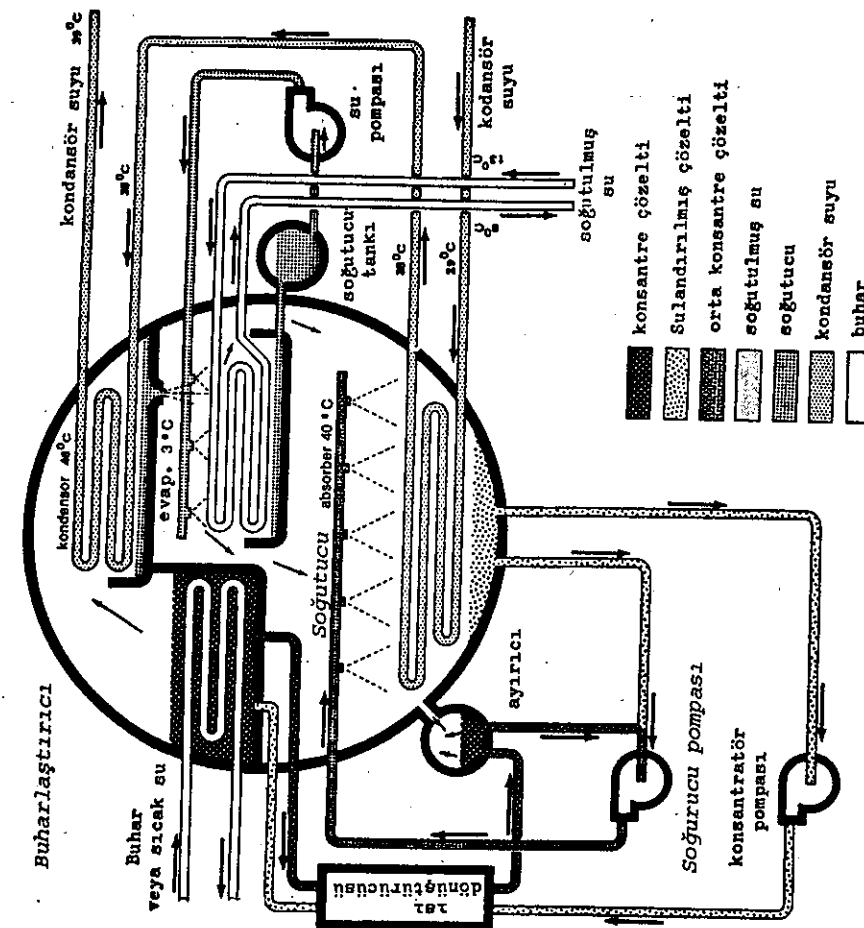
(Şekil-1.2)'de, endüstriyel tip bir soğurmali soğutma makinasının fonksiyonel şeması görülmektedir. Endüstriyel tip soğurmali soğutma makinası kondansör, buharlaştırıcı ve soğurma kabı gibi ana organlarla ısı dönüştürücüsü, konsantratör, konsantratör pompası, soğurucu pompası, soğutucu tankı ve su pompası gibi ara organlarından oluşmustur.

Buharlaştırıcıdaki ve soğurma kabındaki basınç atmosferik basıncın (% 1)'i, konsantratördeki ve kondansördeki basınç da atmosferik basıncın (%10)'u kadardır. Buharlaştırıcıdaki, soğurma kabındaki, konsantratördeki ve kondansördeki basıncın korunması bir zorunluluktur. Çünkü yapılan deneysel araştırmalar sonunda, buharlaştırıcıdaki basınç ($0,0042 \text{ kg/cm}^2$) arttığı zaman soğutma makinasını terkeden soğutucu suyun sıcaklığının da ($5,5^\circ\text{C}$) arttığı saptanmıştır.

Soğutucu akışkanın yeniden kullanılış durumuna getirilmesi yöntemi, hemen belirtelim ki, bu soğutma makinasının en belirgin özelliğini oluşturur. Endüstriyel tip soğurmeli soğutma makinasında soğutucu akışkan olarak damitik su ve soğurucu olarak da bir tuz çözeltisi kullanılır. Soğurucu çözeltinin su iki özelliğe sahip bulunması gereklidir:

- 1^o) Su ile kolayca karışabilmelidir,*
*2^o) Kaynama sıcaklığı suyun kaynama sıcaklığından
daha yüksek olmalıdır.*

Buharlaştırıcıda yağmurlama borusundan püskürtülen soğutucu akışkan gevreden ısı alarak buharlaşır. Buharlaşan soğutucu akışkan soğurucu yağmurlama borusundan püskürtülen soğurucu çözelti tarafından emilir. Bu çözeltiye sulandırılmış soğurucu çözelti adı verilir. Sulandırılmış soğurucu çözelti soğurma kabının dibinde toplanır. Soğurma kabının dibinde toplanan sulandırılmış soğurucu çözelti konsantratör pompası ile konsantratöre basılır. Ancak



Şekil-1.2 Soğurmali soğutucunun fonksiyonel şeması

konsantratöre basılan sulandırılmış soğutucu çözelti, konsantratör pompası ve konsantratör arasına yerleştirilmiş olan bir ısı dönüştürücüsünden geçirilir. İsi dönüştürücüsünün işlevi, sulandırılmış soğutucu çözeltinin sıcaklığını yaklaşık olarak ($18,3^{\circ}\text{C}$)'ye yükseltmektir. Konsantratör, içerisinde sıcak su ya da buhar geçirilen bir boru demeti ile donatılmıştır. Konsantratörde, soğutucu akışkan buharlaştırılarak soğurucu çözeltinin ayrışması sağlanır. Buharlaşan soğurucu çözeltiden ayrılan soğutucu akışkan kondansörde yoğunlaşarak soğutucu tankında toplanır. Konsantratörde kalan soğurucu çözelti koyulaşır ve konsantre çözelti adını alır. Daha sonra konsantre çözeltinin bir bölümü ısı dönüştürücüsünden geçer, ayırcı adı verilen bir hücreye dolar. İsi dönüştürücüsünden geçenken konsantre çözeltinin sıcaklığı ($18,3^{\circ}\text{C}$)'ye kadar düşer. Diğer yandan ayırcıda konsantre çözelti basınç düşmesine uğradığı için sıcaklığından bir miktar daha kaybeder. Ayırcıda iyice soğuyan konsantre çözelti soğurucu pompasını soğurma kabına bağlayan borunun içerisinde sulandırılmış çözeltiyi karışarak orta konsantre çözeltiyi oluşturur. Orta konsantre çözelti de yeniden soğurucu pompası ile soğurucu yağmurlama borusuna basılır.

1.b) Kimyasal Yöntem

Normal sıcaklıkta oldukları halde bazı kimyasal maddeler belirli oranlarda biribirile karıştırıldıkları zaman daha düşük bir sıcaklık elde edilir. Bunun nedeni karışım oluşurken çevreden belirli bir miktar ısı alınmış olmasıdır. Modern soğutma makinalarının henüz girmediği yörelerde dondurmacılar, bilindiği gibi çok düşük bir sıcaklık elde ederek dondurma yapmak için kar ya da buzla sofra tuzu (NaCl) karışımından yararlanırlar. Aşağıda 1.1 numaralı çizelgede, kar ya da buzla bazı kimyasal maddelerin karıştırılmasından elde edilen düşük sıcaklıklar verilmiştir.

1.1 Numaralı Çizelge

Karıştırılan Maddeler ve ağırlık oranları	İlk Sıcaklık	Karışım Sıcaklığı
% 65 (Kar ya da Buz)- %35 (NaCl)	0°C	- 20°C
% 60 (Kar ya da Buz)- %40 (H_2SO_4)	0°C	- 30°C
% 43 (Kar ya da Buz)- %57 (KOH)	0°C	- 46°C
% 45 (Kar ya da Buz)- %55 (CaCl_2)	0°C	- 40°C

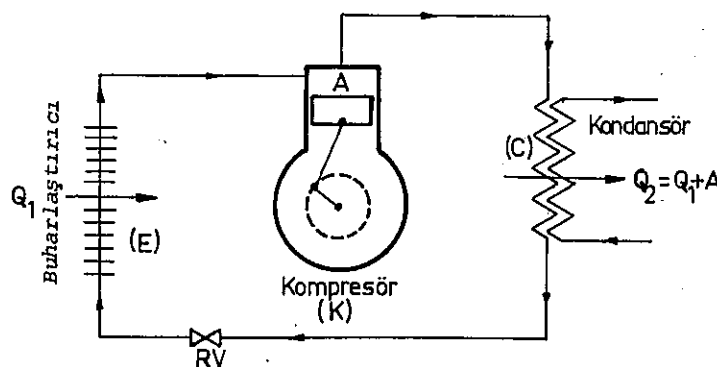
1.c) Mekanik Yöntem

Mekanik yöntemle soğutma, soğutucu akışkanın gördüğü işlemler bakımından "fiziksel yöntemle soğutmadan" ayrılmaktadır. Gerçekte, mekanik yöntemle soğukluğun meydana getirilmesi olgusu da fiziksel bir öze sahiptir. Çünkü mekanik yöntemle soğutma, dışarıdan iş verilerek soğutucu akışkanın basınç ve sıcaklığının yükseltilmesi esasına dayanır. Clausius tarafından "BİR İŞ HARCAMADAN YA DA EŞZAMANDA SICAK KAYNAĞIN SOĞUK KAYNAĞA AYNI MİKTARDA ISI VERMESİNİ SAĞLAMADAN SOĞUK KAYNAKTAN SICAK KAYNAĞA ISI GEÇİRMEK OLANSIZDIR" şeklinde ifade edilen Termodinamiğin ikinci Kanununa göre, soğutmaya aracılık yapan soğutucu akışkanın ters yönde bir çevrimi izleyebilmesi daha açık bir deyişle soğuk kaynaktan aldığı ısını sıcak kaynağa geçirebilmesi için soğutucu akışkanı mutlaka dışarıdan bir iş verilmesi gereklidir.

1.c.1) Kompresörlü kapalı soğutma devresi ve elemanları

Soğutucu akışkanın ters yönde bir çevrimi izleyebilmesini sağlayarak soğuk kaynaktan sıcak kaynağa ısı geçirmek için kapalı soğutma devresinde bir kompresörden yararlanılır. (Şekil-1.3)'de, kompresörlü kapalı soğutma devresinin işlev şeması görülmektedir. Kompresörlü kapalı soğutma devresi, esas olarak, kompresör, regülatör ventil, buharlaştırıcı ve

kondansörden oluşmuştur. Şimdi kısaca kompresörlü kapalı soğutma devresini oluşturan elemanların işlevine deşinelim. Bir soğutma makinası da tıpkı bir termik makina gibi, sıcaklıklarını farklı iki ısı kaynağına bağlı olarak devinir. Termik makinanın sıcak kaynaktan ısı almasına, aldığı ısının bir bölümünü Termodynamik Birinci Kanunu uyarınca gevreye mekanik enerji olarak iletmesine ve arta kalan ısıyı da soğuk kaynağa geçirmesine karşın soğutma makinası soğuk kaynaktan çektiği ısıyı gevreden mekanik enerji yani iş olarak sıcak kaynağa geçirir.



Sekil-1.3 Kompresörlü Kapalı Soğutma Devresinin Fonksiyonel Şeması

Buharlaştırıcının işlevi alçak basınçta soğutucu akışkanın gevreden ısı çekerek buharlaşmasını ve ortamın soğumasını sağlamaktır. Kompresör, buharlaştırıcıda buharlaşan soğutucu akışkanı emer ve kondansöre basar. Kondansöre basılan soğutucu akışkan buharlaştırıcıda buharlaşıken gevreden çektiği ısı miktarı ile kompresörün verdiği mekanik enerjinin toplamına eşit bir enerji yüküne sahiptir. Kondansörün işlevi kompresörün bastığı soğutucu akışkanın buharlaştırıcıda ve kompresörde yükleniği enerjiyi atmosfere ya da soğutma sıvısına terketmesini sağlamak ve soğutucu akışkanı emme sürecindeki termodinamik koşullara uydurmaktadır. Regülatör ventil

kondansörde yoğunlaşan soğutucu akışkanı süperhit miktarını ayarlayarak buharlaştırıcıya sevkeder. Süperhit miktarından buharlaştırıcıda soğutucu akışkanın buharlaşma sıcaklığını aşan sıcaklık fazlası daha açık bir deyişle ifade etmek gerekirse buharlaştırıcının giriş ve çıkış sıcaklıklarını arasında fark anlaşılmalıdır. Süperhit miktarı hiçbir zaman (20°C) den daha küçük ve ($6,5^{\circ}\text{C}$) den de daha büyük olmamalıdır.

Kompresör ve regülatör ventil, kapalı soğutma devresini ikiye bölen elemanlardır. Soğutucu akışkan kompresör-kondansör ve kondansör-regülatör ventil arasında yüksek basınç altında, regülatör ventil-buharlaştırıcı ve buharlaştırıcı-kompresör arasında da alçak basınç altında bulunur.

Kompresör - kondansör arasında, gaz halindeki soğutucu akışkan kondansör ve kondansör çıkışında kısmen ve kondansör - regülatör ventil arasında da tamamen yoğunlaşır. Regülatör ventilden buharlaştırıcıya sıvı halde geçen soğutucu akışkan daha önce açıklamış olduğumuz gibi, gevreden ısı alarak buharlaştırıcıda buharlaşır gaz halini kompresöre kadar sürdürür. Kapalı soğutma devresinin kompresör ve regülatör ventil tarafından sınırlanan kondansör bulunan kesimine Yüksek Basınç Kanadı, regülatör ventil ve kompresör tarafından sınırlanan buharlaştırıcı bulunan kesimine de Alçak Basınç Kanadı denir.

1.c.2) Kondansör ve buharlaştırıcı basınçları

Daha önce de deşinelmiş olduğumuz gibi, gaz halinde kompresörden kondansöre basılan soğutucu akışkan kondansörde yoğunlaşmaya başlar ve kondansör - regülatör ventil arasında tamamen yoğunlaşır. Soğutucu akışkan buharlaştırıcıya sıvı halde gelir ve burada gevreden ısı alarak buharlaşır. Buharlaşma alçak basınç altında ve yoğunlaşma da yüksek basınç altında gerçekleşir. Buharlaşma ve yoğunlaşma sürecinde basınç sabit kaldığı için sıcaklık da değişmez, sabit kalır.

Buharlaştırıcı ve kondansörde basınç ne kadar yükselse buharlaşma ve yoğunlaşma sıcaklığı o kadar yükselir, basınç ne kadar düşerse buharlaşma ve yoğunlaşma sıcaklığı da o kadar düşer. Aşağıda 1.2 Numaralı çizelgede, soğutucu akışkanların buharlaşma ve yoğunlaşma sıcaklıklarını karşılayan buharlaştırıcı basıncı ile kondansör basıncı verilmiştir.

1.2 Numaralı Çizelge			
Soğutucu Akışkan	Buharlaşma Sıcaklığı		
	-110°C	0°C	11°C
Buharlaştırıcı Basıncı (Kg/cm²)			
Amonyak	1,28	2,1	3,38
Freon - 12	1,08	1,68	2,62
Metilklorid	0,82	1,32	2,06
Kükürtdioksit	0,425	0,73	1,2
Yoğunlaşma Sıcaklığı			
Soğutucu Akışkan	38,5°C	44,5°C	50°C
	Kondansör Basıncı (Kg/cm²)		
Amonyak	9,1	10,8	13,1
Freon - 12	6	7	8
Metilklorid	5	6	7,5
Kükürtdioksit	4,1	4,2	5

1.c.3) Kritik basınç ve kritik sıcaklık kavramı

Kritik basınç ve kritik sıcaklık kavramına bir açıklık getirmek için (13°C) sıcaklıkta belirli bir miktar karbondioksit alalım ve bu gazı sabit sıcaklıkta tutarak sıkıştıralım. Sıkıştırma basıncı (47 at)'ya yükselince karbondioksit

yoğunlaşmaya başlar. Yoğunlaşma sürecinde basınç sabit kalır. Karbondioksiti değişik ve sabit kalan sıcaklıklarda sıkıştıracak olursak her sıcaklık için ayrı bir yoğunlaşma basıncı elde ederiz. Ancak karbondioksit, (31,5°C) sıcaklıkta sıkıştırıldığı zaman sıkıştırma basıncı (75,3 at)'ya ulaşınca sıvı ve gaz fazlarına ayırmadan doğrudan doğruya gaz halinden sıvı hale geçer. İşte sabit sıcaklıkta tutularak sıkıştırılan bir gaz kütlesinin sıvı ve gaz fazlarına ayırmadan bütünüyle gaz halinden sıvı hale geçtiği sıcaklığa KRİTİK SICAKLIK ve sıkıştırma basıncına da KRİTİK BASINÇ denir. Yukarıda yaptığımız açıklamaya göre, karbondioksitin kritik sıcaklığı (31,5°C) ve kritik basıncı da (75,3 at) olur.

Soğutucu akışkanların kullanım değerinin olabilmesi için kritik sıcaklık ve kritik basıncının kompresörde sıkıştırma sonunda elde edilen maksimal sıcaklık ve basınçdan daha yüksek değerlere sahip bulunması gereklidir. Kompresörlü kapalı soğutma devrelerinde kullanılan soğutucu akışkanların kritik sıcaklık ve kritik basıncı 1.3 Numaralı çizelge ile 1.4 Numaralı çizelgede verilmiştir.

1.3 Numaralı Çizelge

Soğutucu Akışkan	Kritik Basınc Pk (at)	Kritik Sıcaklık tk (°C)
Amonyak	116	132
Metilklorid	68,1	143
Freon - 12	40,95	111,5
Karbondioksit	75,3	31,5
Kükürtdioksit	80,3	157,1

	1.4 Numaralı Çizelge			
	Freon - 11	Freon - 12	Freon - 13	Freon - 22
Kimyasal Formülü	CFCl_3	CF_2Cl_2	CF_3Cl	CHF_2Cl
Atmosferik Basıncıta Kaynama Sıcaklığı ($^{\circ}\text{C}$)	23,7	-29,8	-81,5	-40,8
Atmosferik Basıncıta Dönme Sıcaklığı ($^{\circ}\text{C}$)	-111	-155	-181	-160
Kritik Sıcaklık ($^{\circ}\text{C}$)	198	111,5	28,8	96
Buharlaşma Isısı (kcal/kg)	43,51	39,97	35,77	55,92
Kritik Basınc (at)	46	40,36	39,36	48,7
(20 $^{\circ}\text{C}$)'de Üzgül Ağırlık (kg/dm 3)	1,49	1,325	0,929	1,21
Freonun (30 $^{\circ}\text{C}$) sudaki çözeltisi	0,013	0,012		0,0015
Freonun (0 $^{\circ}\text{C}$) sudaki çözeltisi		0,0026		0,0006

1.c.4) Soğutucu Akışkanlar

1.c.4.a) Soğutucu akışkanlarının genel ve ortak nitelikleri

Önceleri soğutma tekniğinde soğutucu olarak amonyak (NH_3) ve karbondioksit (CO_2) kullanılırdı. Günümüzde, bu soğutucu akışkanlar yerini artık freona bırakmışlardır. Genellikle, soğutucu akışkanlarının şu niteliklere sahip bulunması istenilir:

1^o) Buharlaşma gizli isisi yüksek olmalıdır,

- 2^o) Kritik sıcaklığı ve basıncı yüksek olmalıdır,
- 3^o) Atmosferik basıncıta kaynama sıcaklığı düşük olmalıdır,
- 4^o) Doğunluk basıncı regülatör ventilin basıncının altında bulunmalıdır,
- 5^o) Yanıcı ya da patlayıcı olmamalıdır,
- 6^o) Karter yağına ve tesisati oluşturan elemanların yapımında kullanılan gereçlere olumsuz yönde etkimeyelidir,
- 7^o) Zehirleyici olmamalıdır,
- 8^o) Ucuz olmalı ve kolay temin edilebilmelidir,
- 9^o) Küçük kapasiteli bir kompresörün kullanımı elverişli olmalıdır,
- 10^o) Kapalı devredeki kaçakların kolayca saptanmasını sağlayabilmelidir.

Freon, denilebilir ki, yukarıda açıklanan bu niteliklerin hemen hemen tümüne sahiptir. Freonun (F.11), (F.12), (F.13), (F.22) ve (F.502) gibi türleri vardır. En çok kullanılan Freon türleri (F.12), (F.22) ve (F.512)'dir. Freon dışında kullanılan soğutucu akışkanlar metilklorid (CH_3Cl), kürekdioksit (SO_2) ve bugün artık büyük ölçekte terkedilmiş olan amonyakla karbondioksittir.

1.c.4.b) Freon - 12

(Freon - 12)'nin kimyasal formülü (CF_2Cl_2)'dır. Bileşiminde karbon (C), klor (Cl) ve flor (F) vardır. Her çeşit soğutma cihazında kullanımı mümkün olduğu halde daha çok (İKLİMLENDİRME-KLİMA) ve ticari tip soğutma cihazlarında kullanılır.

Atmosferik basıncıta kaynama noktası (-129,8 $^{\circ}\text{C}$) ve dönme noktası da (-157,78 $^{\circ}\text{C}$)'dır. Normal basınç ve sıcaklıkta

gaz halinde bulunan Freon - 12'nin özgül ağırlığı havanın özgül ağırlığından daha büyüktür. Renksiz olan Freon - 12 göz, burun, boğaz ve ciğerleri tahiş etmez, yanıcı ve patlayıcı değildir. Demir, çelik, prinç, bakır, alüminyum, katalay ve kurşun gibi madensel gereçlere de etkimez. Freon-12 kokusuz olduğu için, kullanıldığı tesislerde kaçakları saptamak oldukça güçtür. Gaz kaçaklarını saptamak ancak özel olarak yapılmış lâmbalarla mümkün olur. Freon - 12, renksiz ve parlak olan lâmboğanın alevinin açık yeşile dönüşmesine neden olur. Havaya karışan Freon - 12'nin miktarı arttıkça lâmboğanın alevi de giderek mavileşir.

1.c.4.c) Freon - 22

Bileşiminde karbon, hidrojen, klor ve flor bulunan Freon - 22'nin kimyasal formülü (CH_2Cl_2)'dır. Freon - 22, genellikle, dip-friz tesisatında çok düşük buharlaşma sıcaklığı elde etmek için kullanılır. Atmosferik basınçta bu soğutucunun kaynama sıcaklığı (-40 °C)'dır. Freon - 22'nin özellikleri Freon - 12'nin özelliklerine çok yakındır. Freon-12 ile birlikte sürükleşen yağlama yağı buharlaştırıcıda, hiç bir güçlükle karşılaşılmaksızın kendiliğinden ayrılır. Ancak Freon - 22 için aynı şeyleri söylemek mümkün değildir. Soğutma devresinde Freon - 22 kullanıldığı zaman, soğutucu akışkanla birlikte sürükleşen yağlama yağını ayırmak için kompresörle kondansör arasına bir yağı ayırmaya cihazı yerleştirmek gereklidir. Kompresyon sonunda Freon - 22'nin sıcaklığı (130 °C)'ye kadar yükselir. Freon - 22'nin sıcaklığının kompresyon sonunda (130°C)'ye kadar yükselmesi yağlama yağını olumsuz yönde etkiler ve yağlama yağıının niteliklerinin bozulmasına neden olabilir.

1.c.4.d) Freon - 502

Freon - 502, Freon - 22 türünden bir soğutucu akışkanıdır ve atmosferik basınçta kaynama sıcaklığı (-45 °C)'dır.

Freon-502'nin özellikle, düşük sıcaklıklarda soğutma etkisi büyüktür. (-40 °C) ve (-20 °C) arasındaki soğutma sıcaklıklarının elde edilmesinde kullanıldığı zaman Freon-502'nin kompresyon sonu sıcaklığı Freon-22'nin kompresyon sonu sıcaklığından daha düşük olur.

1.c.4.e) Amonyak

Soğutma sanayiinde, özellikle buz elde etmek ve üretmek amacıyla kurulan tesislerde, soğutucu akışkan olarak Amonyak (NH_3) kullanılır. Keskin ve yakıcı kokusu, boğucu ve zehirleyici etkisinden ötürü otel, okul, sinema, kışla, tiyatrosu ve konferans salonu gibi insanların toplu halde bulunduğu yerlerde soğutucu akışkan olarak amonyağın kullanıldığı soğutma cihazlarından kesinlikle yararlanılmaz.

Amonyak, atmosferik basınçta, (-33,3 °C) sıcaklıkta kaynar. Suda kolay çözünür. (15,5 °C) sıcaklığında su diğer sıcaklıklardaki sudan yaklaşık olarak (900) kat daha fazla amonyağı çözüre. Bu çözelti, hemen belirtelim ki, çok zararlı ve çok tehlikelidir.

Sıvı ya da gaz halindeki amonyak bakır, prinç ve tenekeye etkimesine karşın demir ve çeliğe kesinlikle etkimez. Bu nedenle soğutucu akışkan olarak amonyağın kullanıldığı soğutma tesislerinde yapı malzemesi olarak demir ve çelikten yararlanılır. Soğutma devresinde, amonyağın çarpıcı bir kokusu olduğu için kaçak olup olmadığı kolay anlaşılır. Ancak bunun yerini saptamak biraz güçtür. Kaçakların yerini sapmakta kükürtdioksitten yararlanılır. Amonyak kükürtdioksitemizce beyaz bir duman oluşturur. Bu da kaçakların yerinin kolayca belirlenmesini sağlar. Coğu zaman kaçakların yerini belirlemekte daha güvenilir olduğu için sabun köpüğünden yararlanmak gereklidir. Soğutma tesislerinde soğutucu akışkan olarak amonyağın kullanılmasının ve tercih edilmesinin nedenlerini şöyle sıralayabiliriz:

- 1^o) Buharlaşma ısısı yüksektir,
- 2^o) Yoğunlaşma basıncı ve yoğunlaşma sıcaklığı düşüktür,
- 3^o) Üretimi kolay fakat maliyeti yüksek değildir,
- 4^o) Kokulu olduğu için soğutma tesisinde kaçak olup olmadığı kolayca anlaşılabilir.

1.c.4.f) Metilklorid

Metilklorid, metilalkola klorlu hidrojenin etkimesinden oluşan bir kimyasal bileşiktir. Renksiz, kokusuz, fakat zehirli bir gazdır. Atmosferik basınçta (-24 °C) sıcaklıkta kaynar. Metilklorid ($6,7 \text{ kg/cm}^2$) basınç altında ve ($30,5 \text{ }^\circ\text{C}$) sıcaklıkta sıvı halde bulunur. Bu basınç ve sıcaklık, hemen belirtelim ki, soğutma tesisleri için elverişli olan bir sıcaklıktır. Metilklorid, genellikle, ev tipi küçük buz dolaplarında soğutucu sıvı olarak kullanılır. Ağırlık olarak (%10) metilklorid ve (% 90) hava patlayıcı bir karışım oluşturur. Demir, çelik, bakır ve prinç gibi madensel gereçlere etkimez. Metilklorid kokusuz olduğu için soğutucu akişkan olarak kullanıldığı tesislerde kaçakların saptanması güçtür. Kaçakların saptanması amacıyla özel yapılmış lâmbalardan yararlanılır. Lâmba alevi kaçakların bulunduğu yere yaklaştırıldığı zaman mavimtrak yeşil bir renk alır. Metilkloridin soğutma tesislerinde soğutucu akişkan olarak kullanılmasının ve tercih edilmesinin nedenlerini şöyle açıklayabiliriz:

- 1^o) Buharlaşma basıncı ve yoğunlaşma sıcaklığı düşüktür,
- 2^o) Kandansörde soğutucu olarak hava kullanılabilir,
- 3^o) Demir, çelik, bakır, prinç gibi madensel gereçlere etkimez,
- 4^o) Yanma sıcaklığı oldukça yüksektir.

Zehirli olması, hava ile patlayıcı bir karışım oluşturması yanında kaçak ve sızıntıların saptanmasındaki güçlükler ; metilkloridin soğutma tesislerinde kullanılmasını çoğu kez engellemektedir.

1.c.4.g) Karbondioksit

Karbon bakımından çok zengin olan örneğin kok ya da odun kömürü havada yanarsa doğrudan doğruya karbondioksit oluşur. Endüstride karbondioksit ya kok kömürünün havada yakılması ile ya da doğal karbonatlardan elde edilir ve üretilir. Kireç taşı denilen doğal madde kalsiyum karbonattır ve yüksek sıcaklıkta karbondioksit vererek bozunur.

Karbondioksit renksiz, kokusuz bir gazdır. Derişik bir halde solunursa hafif ekşimsi bir tad algılanır. Karbondioksitin özgül ağırlığı havanın özgül ağırlığından daha büyütür. Karbondioksit soğutucu akişkan olarak bira, gazoz, pepsi-cola, coca-cola gibi içecekler için yapılmış soğutma tesislerinde kullanılır. Karbondioksitin kritik sıcaklığı ($31,5 \text{ }^\circ\text{C}$)'dır. Bu nedenle kondansörde ısı çekmek için sıcaklığı düşük soğutma suyundan yararlanması gereklidir. Düşük sıcaklıkta soğutma suyu sağlanmasında güçlük çekilen yerlerde karbondioksitli soğutucular kullanılmamalıdır. Atmosferik basınçta karbondioksitin kaynama sıcaklığı ($-78 \text{ }^\circ\text{C}$)'dır. Bu nedenle yağlamada dönme noktası düşük olan yağlardan yararlanılmalıdır. Karbondioksitin soğutucu akişkan olarak tercih edilmesinin nedenlerini şöyle sıralayabiliriz:

- 1^o) Zehirli değildir,
- 2^o) Soğutucu akişkan olarak karbondioksit kullanılan kompresörlü kapalı soğutma devrelerinde küçük boyutlu kompresörlerden yararlanılabilir,
- 3^o) Soğutma için harcanan enerji miktarı çok azdır,
- 4^o) Soğutma devresini oluşturan ana ve ara organlarının yapımında kullanılan madensel gereçlere etkimez,

5^o) Elde edilmesi ve üretimi kolaydır.

Karbondioksitin yukarıda sıralamış olduğumuz tercih nedenleri yanında tercih edilmeme nedenleri de vardır. Bunları da şöyle açıklamak mümkündür :

- 1^o) Emme ve boşaltma basıncı yüksektir,
- 2^o) Soğutma tesisinin yapımında nitelikli malzeme kullanmak gereklidir,
- 3^o) Kondansörde kullanılan soğutma suyunun sıcaklığı çok düşük olduğu için sağlanması güçtür,
- 4^o) Kritik sıcaklığı yüksek değildir,
- 5^o) Buharlaşma gizli ısısı düşüktür.

1.c.4.h) Kükürtdioksit

Kükürtdioksit renksiz, kokusu yakıcı ve boğucu olan bir gazdır. Amerika Birleşik Devletleri gibi elementel kükürdü bol olan ülkelerde kükürtdioksit, elementel kükürdü'nün yakılması ile elde edilir. Elementel kükürdü bol olmayan çoğu sanayileşmiş ülkede kükürtdioksit üretimi için sülfür filizlerinden yararlanılır.

Kükürtdioksit, soğutma sanayiinde, özellikle küçük ev tipi buz dolaplarında soğutucu akışkan olarak kullanılır. Düşük sıcaklıkta sıkıştırılan kükürtdioksit yine düşük doygunluk basıncında yoğunlaşmaya başlar. Normal sıcaklık ve basınçta gaz halinde bulunur. Kaynama noktası (- 10 °C)'dır. Kükürtdioksit suda kolayca çözünür, (20 °C) sıcaklığında doymuş çözeltisi de (% 10) kadar kükürtdioksit içerir. Kükürtdioksitin doymuş çözeltisi asidiktir ve metallere etkili. Bu hemen belirtelim ki, soğutma tesislerinde soğutucu akışkan olarak kullanılan kükürtdioksitin en olumsuz özelliğini oluşturur.

Kükürtdioksit kullanılan tesislerde kaçakların yerini

belirlemek için sulandırılmış amonyaktan yararlanılır. Sulandırılmış amonyak bir beze emdirildikten sonra kaçakların bulunduğu undan kuşkulanan yere yaklaştırılırsa kaçak olduğu taktirde yoğun bir dumanın oluştuğu görülür. Kaçakların yerinin belirlenmesinde sabun köpüğü kullanıldığı da olur.

Soğutma devresinde (0 °C) sıcaklıkta (0,54 kg/cm²) basınçta, (15,5 °C) sıcaklıkta (1,82 kg/cm²) basınçta ve (27,7 °C) sıcaklıkta (6 kg/cm²) basınçta kükürtdioksit daima sıvı halde bulunur. Amonyaktan daha iyi bir soğutucu olan kükürtdioksitin soğutma tesislerinde kullanımının tercih edilmesinin nedenleri şunlardır:

- 1^o) Boşaltma basıncı çok düşüktür,
- 2^o) Bakır ve çinko gibi yapılmış olan parçalara etkilmez,
- 3^o) Kondansörde soğutucu olarak hava kullanılır,
- 4^o) Üretimi kolay, maliyeti düşüktür.

Zehirli ve kokusunun fena olması, düşük sıcaklıklar için kompresör boyutlarının büyük tutulması zorunluluğu çoğu zaman kükürtdioksitin soğutma tesislerinde soğutucu akışkan olarak kullanımını engellemektedir.

2) SOĞUTMA TEKNİĞİNDE KULLANILAN DİYAGRAMLAR

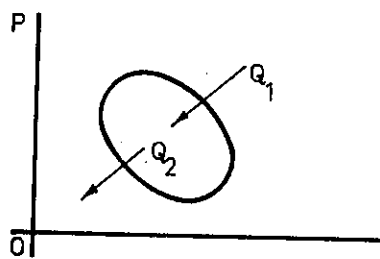
2.a) Çevrim

Çevrim, (op) ve (ov) eksenlerinden oluşan Clapeyron koordinatları sisteminde açık dönüşümleri gösteren en az iki eğri tarafından oluşturulur ve bir kapalı dönüşümü ifade eder. Kapalı dönüşümde ilk ve son durumların özdeşliği gerçekleşir yani maddesel sistem kapalı dönüşüm süreci sonunda ilk durumuna gelir. Kapalı dönüşüm, (op) ve (ov) eksenlerinden oluşan Clapeyron Koordinatları sisteminde, genellikle, bir kapalı eğri ile gösterilir. Kapalı eğrinin sınırladığı düzlemin yüzeyin alanı, çevrim boyunca çevreye iletilen mekanik

enerjiye eşdeğerdir. Kapalı dönüşüm sürecinde, maddesel sistemin sıcaklığı (T_1) olan ısı kaynağından aldığı ısı miktarını (Q_1) ve sıcaklığı (T_2) olan ısı kaynağına verdiği ısı miktarını da (Q_2) ile gösterelim. Bu durumda, kapalı dönüşüm sürecinde çevreye mekanik enerji olarak iletilen ısı miktarı ($Q_1 - Q_2$) olur ve biz, (A) eşdeğerlik katsayısı olduğuna göre,

$$AW = Q_1 - Q_2$$

eşitliğini yazabiliriz. (Şekil-1.4)'de, Clapeyron Koordinatları sisteminde, kapalı dönüşümü ifade eden bir kapalı eğri yani bir çevrim görülmektedir. Çevrimin oluşum yönü



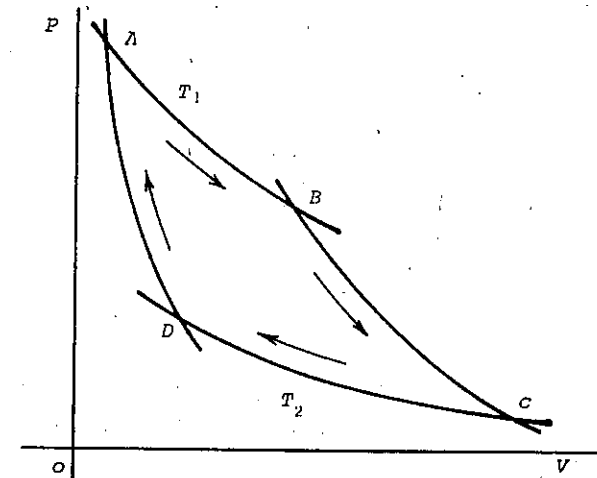
Şekil-1.4 Clapeyron Koordinatları
Sisteminde kapalı dönüşümü ifade eden çevrim

da eş zamanda sıcak kaynağın soğuk kaynağa aynı miktarda ısı vermesini sağlamadan soğuk kaynaktan sıcak kaynağa ısı geçirmek olanaksızdır, şeklinde ifade edilen Termodinamiğin İkinci kanununa göre, soğutmayı gerçekleştirmek yani sıcaklığı düşük bir kaynaktan alınan ısıyı sıcaklığı yüksek bir kaynağa geçirmek için mutlaka bir iş harcamak gereklidir.

İsinin mekanik enerjiye dönüşümü tersinirdir ve Termodinamiğin Birinci Kanununa uyar. (T_1) ve (T_2) sıcaklık sınırları arasında tersinir yolla yapıldığı tasarılanan bütün işlemler gibi, dönüşümler de sadece izoterm ve adiyabatik olabilirler. (T_1) ve (T_2) sıcaklık sınırları arasında devreyi yalnız bir izoterm ve bir adiyabatla kapamak olanaksız olduğu için maddesel sistemin izleyeceği çevrimin iki izoterm

çok önemlidir. Çevrim saatin akrep ve yelkovanının dönüş yönünde oluşursa maddesel sistem çevreye mekanik enerji iletilir, yok eğer ters yönde oluşursa bu kez çevreden maddesel sisteme mekanik enerji iletilir. Bu doğaldır. Çünkü Clausius tarafından "Bir iş harcamadan ya

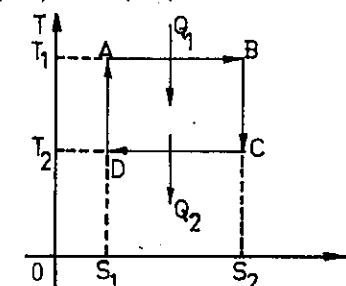
ve iki adiyabattan oluşması zorunluluğu vardır. İşte (T_1) ve (T_2) sıcaklık sınırları arasında maddesel sistemin izlediği ve iki izotermle iki adiyabatın oluşturdukları çevrime Carnot çevrimi denir. Carnot çevrimi verimi en yüksek olan çevrimidir. (Şekil-1.5)'de, Clapeyron Koordinatları sisteminde Carnot Çevrimi görülmektedir.



Şekil-1.5 Clapeyron Koordinatları sisteminde
Carnot çevrimi

2.b) Antropik Diyagram

Antropik diyagram, (op) ve (os) eksenlerinden oluşan dik açılı koordinatlar sisteme göre çizilen diyagramdır. (oT) ve (os) eksenlerinden oluşan dik açılı koordinatlar



Şekil-1.6 (oT) ve (os) eksenlerinden oluşan dik açılı koordinatlar sisteminde carnot çevrimi

sisteminde izoterm dönüşüm (os) ve adiyabatik dönüşüm de (oT) eksenlerine paralel sınırlı doğrularla gösterilirler. (Şekil-1.6)'da, (oT) ve (os) eksenlerinden oluşan dik açılı koordinatlar sisteminde Carnot Çevrimi görülmektedir. Bu çevrimin sınırladığı düzlem yüzeyin alanı

çevrim boyunca çevreye mekanik enerji olarak iletilen ısı miktarına eşdeğerdir. Çevrim boyunca çevreye mekanik enerji olarak iletilen ısı miktarının sıcaklığı (T_1) olan ısı kaynağından alınan ısı miktarına oranına verim denir. Verimi (η) ile gösterecek olursak

$$\eta = \frac{Q_1 - Q_2}{Q_1}$$

eşitliğini yazabiliriz.

$$Q_1 = T_1(S_2 - S_1)$$

ve

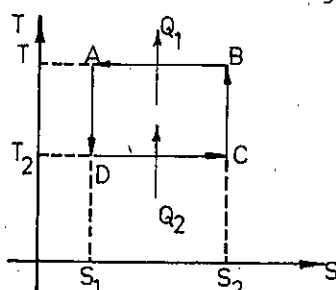
$$Q_2 = T_2(S_2 - S_1)$$

olduğu için

$$\eta = \frac{Q_1 - Q_2}{Q_1} = \frac{T_1(S_2 - S_1) - T_2(S_2 - S_1)}{T_1(S_2 - S_1)} = 1 - \frac{T_2}{T_1}$$

$$\eta = 1 - \frac{T_2}{T_1}$$

olur. Çevrim, saatin akrep ve yelkovanının dönüş yönüne ters yönde oluşursa soğutma çevrimi olur. Soğutma çevrimine negatif çevrim de denir. Negatif çevrim boyunca sıcaklığı (T_2) olan ısı kaynağından çekilen ısı sıcaklığı (T_1) olan ısı kaynağına geçirilir ve bunun için bir iş harcanır. (Şekil-1.7)'de, (oT) ve (os) eksenlerinden oluşan dik açılı koordinatlar sisteminde negatif Carnot çevrimi görülmektedir.



Şekil-1.7 (oT) ve (os) eksenlerinden oluşan dik açılı koordinatlar sisteminde negatif CARNOT ÇEVİRİMİ

Çevrimin sınırladığı düzlem yüzeyin alanı sıcaklığı (T_2) olan ısı kaynağından sıcaklığı (T_1) olan ısı kaynağın ısı geçirmek için harcanan işin ısıl eşdeğeri ifade eder. Sicaklığı (T_2) olan ısı kaynağından çekilen ısı miktarını (Q_2), sıcaklığı

(T_1) olan ısı kaynağına geçirilen ısı miktarını da (Q_1) ile gösterelim.

$$Q_1 = T_1(S_2 - S_1)$$

$$Q_2 = T_2(S_2 - S_1)$$

ve

$$Q_1 = AW + Q_2$$

olduğu için

$$AW = (T_1 - T_2)(S_2 - S_1)$$

eşitliğini yazabilirim.

Sicaklığı (T_2) olan ısı kaynağından, daha açık bir deyişle ifade etmek gerekirse soğutulan ortamdan çekilen ısı miktarının harcanan işe oranına Soğutma Etkisi denir. Soğutma etkisini (SE) ile gösterecek olursak, bu tanım uyarınca

$$SE = \frac{Q_2}{AW}$$

eşitliğini yazabilirim.

$$Q_2 = T_2(S_2 - S_1)$$

ve

$$AW = (T_1 - T_2)(S_2 - S_1)$$

olduğu için

$$SE = \frac{Q_2}{AW} = \frac{T_2(S_2 - S_1)}{(T_1 - T_2)(S_2 - S_1)} = \frac{T_2}{T_1 - T_2}$$

$$SE = \frac{T_2}{T_1 - T_2}$$

olur. (T_2) ve (T_1) sıcaklık sınırları arasında hiçbir negatif çevrimin soğutma etkisi negatif Carnot çevrimin soğutma etkisinden daha büyük olamaz. Şimdi ($t_1 = 25^{\circ}\text{C}$) ve ($t_2 = -10^{\circ}\text{C}$) sıcaklık sınırları arasında oluşan negatif Carnot Çevriminin

soğutma etkisi ile ($t'_1 = 30^\circ\text{C}$) ve ($t'_2 = -15^\circ\text{C}$) sıcaklık sınırları arasında oluşan negatif Carnot Çevriminin soğutma etkisini hesaplayıp karşılaştıralım.

$$t_1 = 25^\circ\text{C}$$

$$T_1 = 273 + t_1 = 273 + 25 = 298^\circ\text{K}$$

$$T_1 = 298^\circ\text{K}$$

$$t_2 = -10^\circ\text{C}$$

$$T_2 = 273 + t_2 = 273 - 10 = 263^\circ\text{K}$$

$$T_2 = 263^\circ\text{K}$$

olduğu için (T_2) ve (T_1) sıcaklık sınırları arasında oluşan negatif Carnot Çevriminin soğutma etkisi

$$SE = \frac{T_2}{T_1 - T_2} = \frac{263}{298 - 263} = 7,52$$

$$SE = 7,52$$

ve

$$t'_1 = 30^\circ\text{C}$$

$$T'_1 = 273 + t'_1 = 273 + 30 = 303^\circ\text{K}$$

$$T'_1 = 303^\circ\text{K}$$

$$t'_2 = -15^\circ\text{C}$$

$$T'_2 = 273 + t'_2 = 273 - 15 = 258^\circ\text{K}$$

$$T'_2 = 258^\circ\text{K}$$

olduğu için (T'_2) ve (T'_1) sıcaklık sınırları arasında oluşan negatif Carnot çevriminin soğutma etkisi

$$SE' = \frac{T'_2}{T'_1 - T'_2} = \frac{258}{303 - 258} = 5,74$$

$$SE' = 5,74$$

olur. Elde edilen sonuçlar açık olarak göstermektedir ki, ısı çekilen kaynağın sıcaklığı ile ısı verilen kaynağın sıcaklığı arasındaki fark ne kadar büyük olursa soğutma etkisi de o kadar küçük olmaktadır. Bu olgu, bir soğutma tesistinde, buharlaştırıcı ve kondansör sıcaklıklarının sınırlamasını zorunlu kılar.

Aşağıda 1.5 Numaralı çizelgede, Avrupa ve Amerika'da, soğutma tesisi için belirlenen buharlaştırıcı ve kondansör sıcaklıkları görülmektedir.

1.5 Numaralı Çizelge

	Avrupa'da	Amerika'da
Buharlaştırıcı sıcaklığı (Kompresörden önceki sıcaklık)	-10°C	-15°C
Kondansör Sıcaklığı	25°C	30°C
Ventilden önceki sıcaklık	15°C	25°C

Atmosferik basınçta ve (15°C) sıcaklıkta ağırlığı (1 kg) olan su kütlesinden, sıcaklığını (1°C) azaltmak için çekilmesi ya da alınması gereken ısı miktarına (FRIGORİ) denir.

Soğutucuda elde edilen kuramsal frigori miktarı genellikle, kompresörde harcanan 1 Beygir saat'lik endike işe karşılık bulunur. Soğutucuda elde edilen kuramsal frigori miktarından soğutulan ortamdan kuramsal olarak çekilen ısı miktarı anlaşılmalıdır. Kompresörde harcanan 1 Beygir saat'lik işe karşılık soğutucuda elde edilen kuramsal frigori miktarını bulmak için

$$SE = \frac{Q_2}{AW}$$

eşitliğinden yararlanmak gereklidir.

$$A = \frac{1}{427} \text{ kcal/kgm}$$

$W = 1 \text{ Beygir saat} = 75 \cdot 3600 \text{ kgm}$
olduğu için

$$SE = \frac{Q_2}{AW}$$

eşitliği yerine

$$Q_2 = SE \cdot A \cdot W = SE \cdot \frac{1}{427} \cdot 75 \cdot 3600 = 632,318 \cdot SE$$

$$Q_2 = 632,318 \cdot SE$$

eşitliğini yazmak mümkün olur.

UYGULAMA

Bir soğutma tesisatında buharlaştırıcı sıcaklığı ($t_2 = -10^\circ\text{C}$) ve kondansör sıcaklığı da ($t_1 = 20^\circ\text{C}$)'dır. Buna göre, kompresörde harcanan (1 Beygir saat)'lık işe karşılık soğutucuda elde edilen kuramsal frigori miktarını hesapyalım.

Kompresörde harcanan (1 Beygir saat)'lık işe karşılık soğutucuda elde edilen kuramsal frigori miktarını bulmak için önce soğutma etkisini hesaplamak gereklidir.

$$t_2 = -10^\circ\text{C}$$

$$T_2 = 273 + t_2 = 273 - 10 = 263^\circ\text{K}$$

$$T_2 = 263^\circ\text{K}$$

$$t_1 = 20^\circ\text{C}$$

$$T_1 = 273 + t_1 = 273 + 20 = 293^\circ\text{K}$$

$$T_1 = 293^\circ\text{K}$$

olduğu için

$$SE = \frac{T_2}{T_1 - T_2} = \frac{263}{293 - 263} = 8,766$$

$$SE = 8,766$$

olur.

$$Q_2 = 632,318 \cdot SE$$

eşitliğinde (SE)'nin yukarıda bulmuş olduğumuz değerini yerine koyacak olursak

$$Q_2 = 632,318 \cdot SE = 632,318 \cdot 8,766 = 5542,899 \text{ frigori}$$

$$Q_2 = 5542,899 \text{ frigori}$$

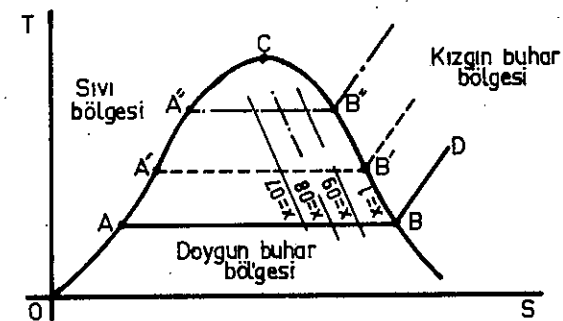
elde ederiz. Uygulama alanında, soğutucuda elde edilen gerçek frigori miktarının, kuramsal frigori miktarının (≈ 60)'na eşit olduğunu varsayılmı. Bu durumda soğutucuda elde edilen gerçek frigori miktarı

$$Q_G = 0,60 \cdot Q_2 = 0,60 \cdot 5542,899 = 3325,739 \text{ frigori}$$

$$Q_G = 3325,739 \text{ frigori}$$

bulunur.

(Şekil-1.8)'de, (oT) ve (oS) eksenlerinden oluşan dik açılı koordinatlar sisteminde, bir akışkanın doygunluk eğrisi görülmektedir. Doygunluk eğrisi, bilindiği gibi, değişik sıcaklıklarda ve bu sıcaklıklar karşılayan basınçlarda buharlaşma sürecini sınırlayan noktaların geometrik yeri olarak tanımlanır. Doygunluk eğrisinin sol yanında kalan alan sıvı bölgesi, sağ yanında kalan alan kızgın buhar



Şekil-1.8

bölgesi ve sınırladığı alan da doygun buhar bölgesidir. Doygun buhar bölgesinde buhar ve buhari oluşturan sıvı bir arada bulunur. Doygunluk eğrisinin kritik durumu gösteren (C) noktası ile orijin noktası arasında kalan kesimine SIVI HATTI, diğer kesimine de BUHAR HATTI denir. Sıvı hattı üzerinde alınan (A) noktası ile buhar hattı üzerinde alınan ordinatı (A) noktasının ordinatına eşit (B) noktası buharlaşma sürecini sınırlar. (A) ve (B) noktalarının sınırladıkları aralıktaki daima sıvı ve buhardan oluşan bir karışım bulunur. Buharlaşma sürecinde sıcaklık ve basınç sabit kalır. (A) ve (B) noktalarının sınırladıkları aralıktaki buharlaşma sürecinin herhangi bir anında, ağırlığı (1 kg) olan sıvı-buhar karışımının içeriği buhar miktarına buhar titri ya da buhar oranı denir. Buhar titri ya da buhar oranı (x) ile gösterilir. (A) noktasında ($x = 0$) ve (B) noktasında ($x = 1$)'dir. Buna göre buharlaşma sürecini gösteren (AB) doğrusu üzerinde alınan herhangi bir (E) noktasında buhar titri

$$x = \frac{AE}{AB}$$

esitliği ile ifade edilir.

Sivinin bulunduğu sıcaklığı (t_1), özgül ısınma ısısını (C) ve doygunluk sıcaklığını da (t_2) ile gösterecek olursak (1 kg) sıvıyı bulunduğu sıcaklıktan doygunluk sıcaklığına getirmek için gerekli ısı miktarını,

$$q = c(t_2 - t_1)$$

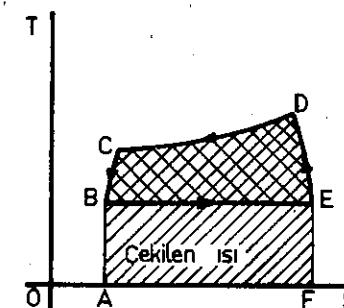
esitliğinden yararlanarak hesaplayabiliriz. ($x = 1$) olduğu zaman doygun buhar kuru buhar adını alır. Sabit basınçta tutulan kuru buhar ısıtılarak kızgın buhar elde edilir. Kızdırma sıcaklığını (t_3), sabit basınçtaki özgül ısınma ısısını da (c_p) ile gösterelim. Bu durumda ağırlığı (1 kg) olan kuru buhar kütlesini kızdırma sıcaklığına kadar ısıtmak için gerekli olan ısı miktarı

$$q_p = c_p (t_3 - t_2)$$

esitliğinden yararlanılarak bulunur

Bu açıklamalardan sonra, kısaca, (oT) ve (oS) eksenlerinden oluşan dik açılı koordinatlar sisteminde soğutma cevrimi üzerinde duracağız.

(Şekil-1.9)'da, (oT) ve (oS) eksenlerinden oluşan dik açılı koordinatlar sisteminde, bir soğutma çevrimi görülmektedir. (ABEF) alanı soğutulan ortamdan çekilen ısı miktarını, (BEDC) alanı kompresörün verdiği ya da uyguladığı işin ısıl eşdeğerini, (ABCDEF) alanı da kondansöre terkedilen ısı miktarını ifade eder.



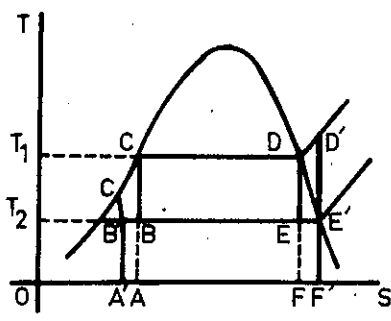
Sekil-1.

şır yani yoğunlaşma sabit sıcaklıkta gerçekleşir. (C) noktasında akışkan tamamen sıvı halde bulunur. Daha sonra ayar musluğu soğutucu sıvayı soğutulan ortamla temas etir. Bu durumda hacimde önemli sayılabilen nitelikte bir değişiklik meydana gelmeden soğutucu sıvının sıcaklığı (T_C)'den (T_B)'ye düşer.

2.c) ideal Çevrim

En büyük soğutma etkisini meydana getirdiği için ters yönde oluşan Carnot çevrimi ideal bir çevrim olarak kabul edilir. (Şekil-1.10'da, (OT) ve (OS) eksenlerinden oluşan dik

açılı koordinatlar sisteminde Carnot Çevrimi görülmektedir. Bu çevrimin (Şekil-1.9)'da görülen çevrimden farkı (ED) doğrusu ile gösterilen sıkıştırma ve (CB) doğrusu ile gösterilen genleşmenin adiyabatik olmasıdır. Yoğunlaşma süreci



Şekil-1.10

(DC) izotermi ile gösterilmişdir. Böyle bir çevrimin uygulama alanında gerçekleşmesi olanaksızdır. Şimdi kısaca bunun nedenlerini açıklayalım.

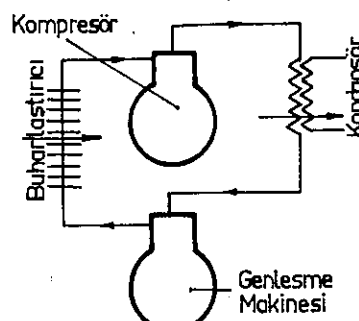
1^o) Adiyabatik sıkıştırma sıvı-buhar bölgesinde olduğu için silindirin içerişine doygun buhar göndermek zorluluğu vardır. Adiyabatik sıkıştırma sonunda doygun bu-

harı kuru buhar haline getirmek olanaksızdır. Bunun için kompresöre kuru buhar göndererek adiyabatik sıkıştırmayı sıvı-buhar bölgesi dışında gerçekleştirmek gerekir. (E') noktası doygunluk eğrisinin kızgın buhar bölgesi ile sıvı-buhar bölgesini ayıran kesimi üzerinde alınan bir noktadır. Bu noktanın koordinatları kompresöre gönderilen kuru buharın durumunu belirler. Adiyabatik sıkıştırma süreci sonunda, antropisi sabit kalan kuru buharın sıcaklığı yükselir ve (D') noktasının ordinatına eşit olur.

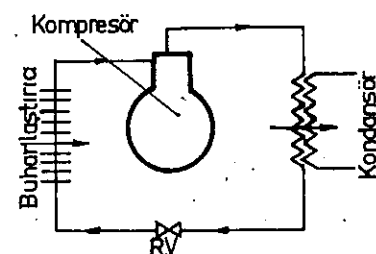
2^o) Carnot çevriminde genleşme adiyabatik genleşmedir. Bu ancak soğutma devresine, (Şekil-1.11)'de görüldüğü gibi, bir genleşme makinası yerleştirilerek gerçekleştirilebilir. Soğutucu genleşme makinasında genleşir ve sıcaklığı düşer. Bazı hallerde soğutma devresine genleşme makinası yerine (Şekil-1.12)'de görüldüğü gibi, bir regülatör ventil yerleştirildiği de olur. Regülatör ventilin işlevi soğutucu sıvının basincını düşürmektir. Basınca bağlı olarak sıcaklık da düşer. Örneğin soğutucu sıvının regülatör ventile girmeden önce (18°C) olan sıcaklığı regülatör ventilden çıkışken

(-10°C) olur. Bu arada soğutucu sıvının (≈ 10)'u buharla-

şır. Genleşmenin kondansör sıcaklığından daha düşük bir sıcaklıkta gerçekleşmesi için kondansörde yoğunlaşan soğutma sıvısının sıcaklığını kondansör sıcaklığının altına düşürmek zorunluluğu vardır. Genleşme kondansör sıcaklığından daha



Şekil-1.11 Genleşme Makinası ile donatılmış soğutma devresi



Şekil-1.12 Regülatör ventil ile donatılmış soğutma devresi

düşük bir sıcaklıkta gerçekleştirse (Şekil-1.10)'daki diyagramda (C) noktası (C') noktasına kayar ve bu durumda sıcaklık biraz daha artar.

3^o) Doygun buhar, soğutma devresinde, kompresörün işleyişine olumsuz yönde etki etmektedir. Kompresörün güvenliği için kuru buhar emilmesini sağlamak gereklidir.

Adiyabatik sıkıştırma ya da adiyabatik genleşme sürecinde basınç ve sıcaklık arasındaki ilişki

$$\frac{T_0}{T_1} = \left(\frac{P_0}{P_1} \right)^{1 - \frac{1}{\gamma}}$$

eşitliği ile ifade edilir. Burada (T_0) ve (P_0) dönüşüm sürecinin başındaki mutlak sıcaklık ve mutlak basıncı, (T_1) ve (P_1) de dönüşüm sürecinin sonundaki mutlak sıcaklık ve mutlak

basıncı göstermektedir. (γ) bilindiği gibi, sabit basınçtaki özgül ısınma ısısının sabit hacimdeki özgül ısınma ısısına oranıdır ve akışkanın molekül yapısına bağlıdır. Uygulamada, genellikle, (CO_2) için ($\gamma = 1,32$), (NH_3) için ($\gamma = 1,30$), (SO_2) için ($\gamma = 1,27$) ve (CH_3CL) için ($\gamma = 1,20$) alınır.

ÜYGULAMA

Bir kompresör ($-10^{\circ}C$) sıcaklıkta ve ($1,2 \cdot 10^4 kg/m^2$) basınçta emdiği akışkanı ($6 \cdot 10^4 kg/m^2$) basınçta bir kapalı hazneye basmaktadır. Akışkanın molekül yapısı (2) atomlu olduğuna göre, sıkıştırma süreci sonundaki sıcaklığı hesaplayalım.

Sıkıştırma süreci sonundaki sıcaklığı bulmak için

$$\frac{T_0}{T_1} = \left(\frac{P_0}{P_1} \right)^{1-\frac{1}{\gamma}}$$

eşitliğinden yararlanmak gereklidir. Akışkanın molekül yapısı (2) atomludur. Bu nedenle ($\gamma = 1,41$) alınır.

$$P_0 = 1,2 \cdot 10^4 kg/m^2$$

$$P_1 = 6 \cdot 10^4 kg/m^2$$

$$t_0 = 10^{\circ}C$$

$$T_0 = 273 + t_0 = 273 - 10 = 263^{\circ}K$$

$$T_0 = 263^{\circ}K$$

olarak verilmiştir. Buna göre,

$$T_1 = T_0 \left(\frac{P_1}{P_0} \right)^{1-\frac{1}{\gamma}} = 263 \cdot \left(\frac{6 \cdot 10^4}{1,2 \cdot 10^4} \right)^{1-\frac{1}{1,41}} = 419,42^{\circ}K$$

$$T_1 = 419,42^{\circ}K$$

bulunur. Diğer yandan

$$T_1 = 273 + t_1$$

olduğu için

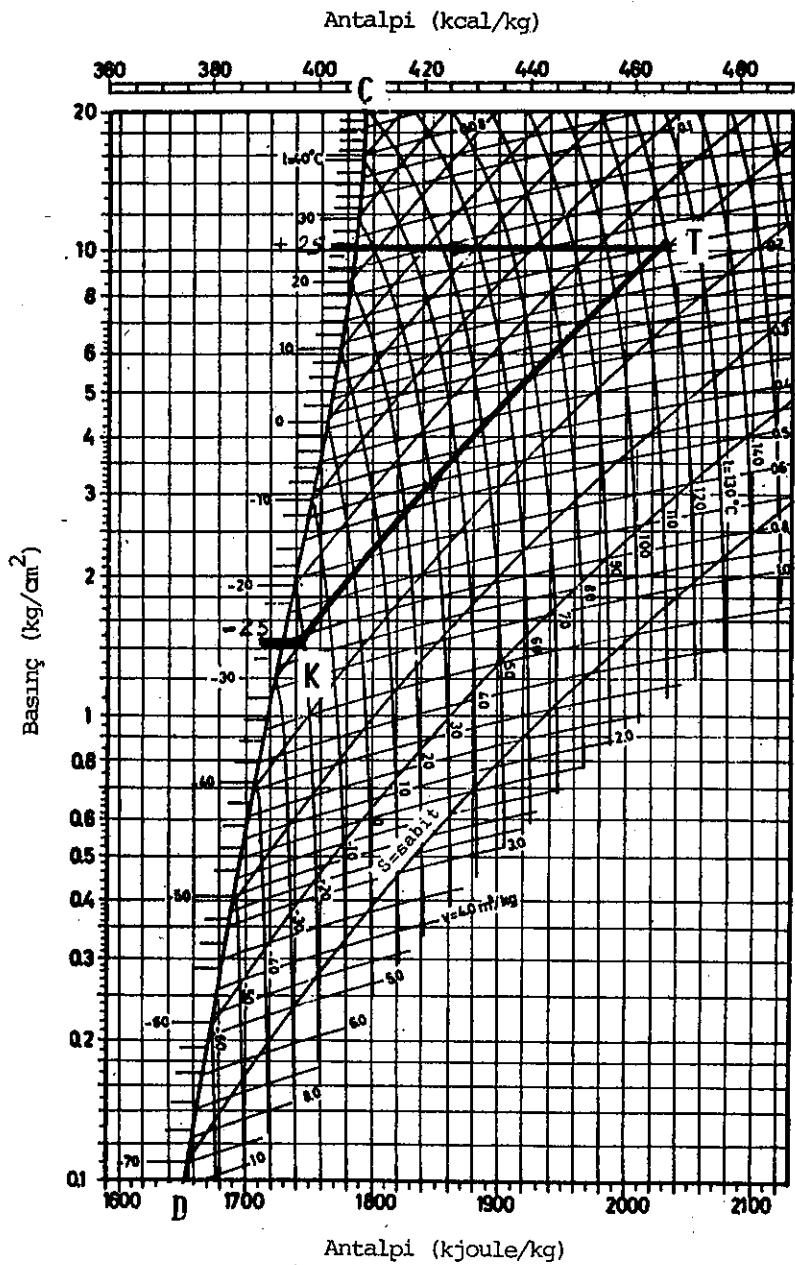
$$t_1 = T_1 - 273 = 419,42 - 273 = 146,42^{\circ}C$$

$$t_1 = 146,42^{\circ}C$$

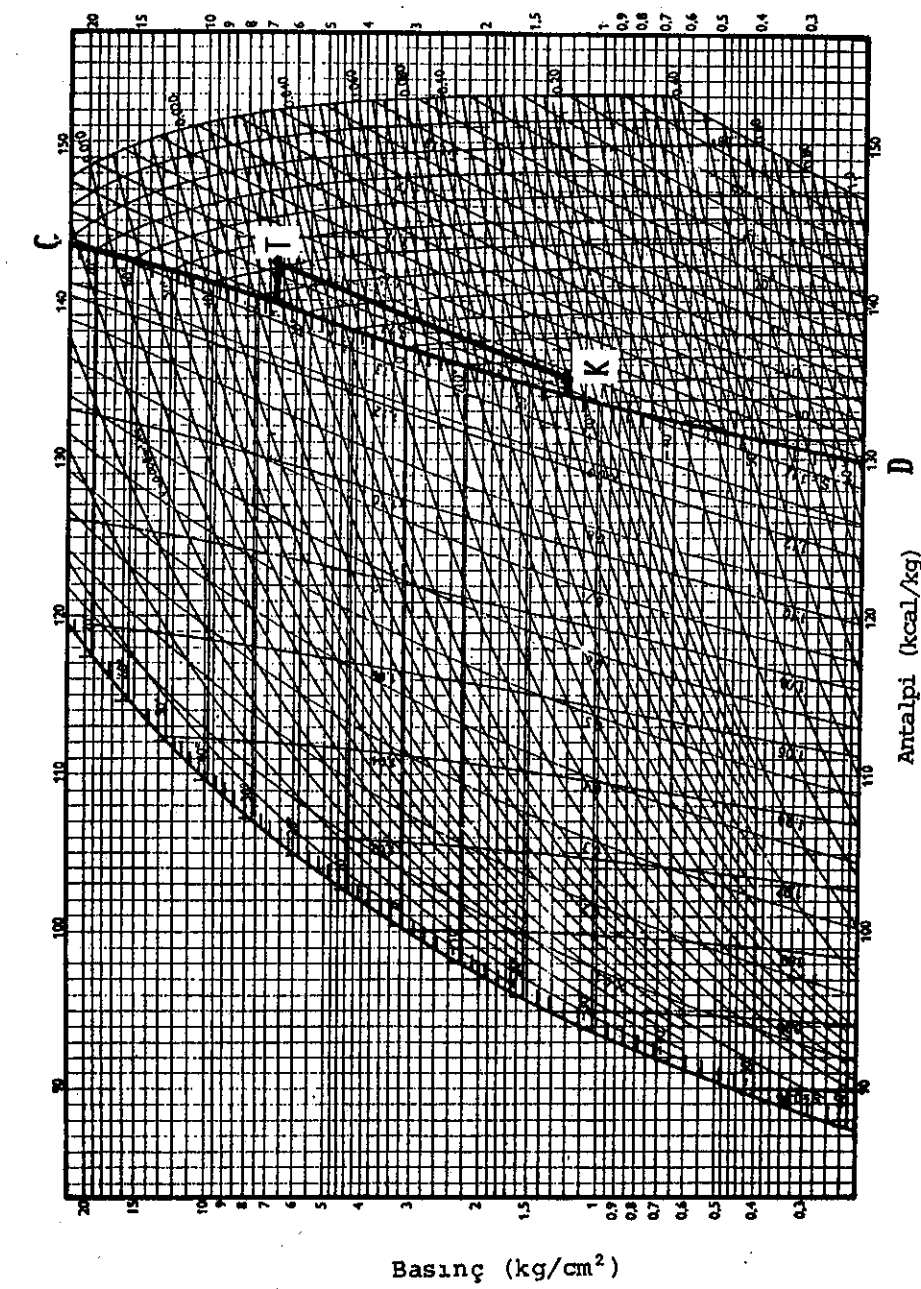
bulunur.

2.d) Antalpik Diyagramlar

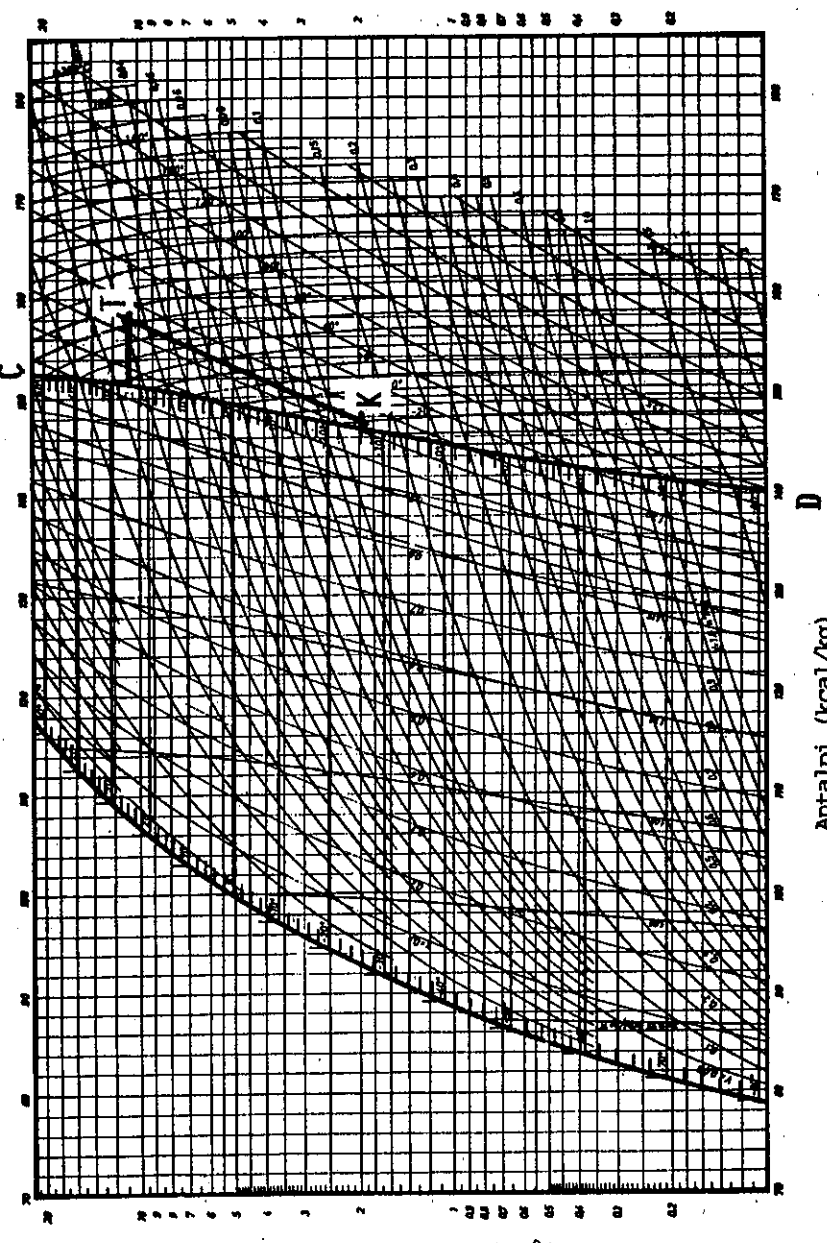
Soğutma tekniğinde kullanılan antalpik diyagramlar (op) ve (oh) eksenlerinden oluşan dik açılı koordinatlar sistemine göre çizilen diyagramlardır. Bu diyagramlar esas olarak izotermeler, izotitrler, izokorlar ve izantroplardan oluşmuştur. Ayrıca değişik sıcaklıktaki izotermeler üzerinde bulunan ve yoğunlaşma ya da buharlaşma sürecini sınırlayan noktaların birleştirilmesinden doygunluk eğrisi elde edilir. Doygunluk eğrisi bilindiği gibi, sıvı-buhar bölgesini sınırlar, bu bölgeyi kızgın buhar bölgesi ile inceleme dışı bırakılan sıvı bölgesinde ayırr. Antalpik diyagramlardan yararlanarak soğutma devresinde, kompresörde soğutucu akışkanın iletilen mekanik enerjinin ısıl eşdeğerini, soğutulan ortamdan çekilen ısı miktarını adiyabatik sıkıştırma süreci sonundaki sıcaklığı ve özgül hacmi bulmak mümkündür. (Şekil-1.13)'de (NH_3), (Şekil-1.14)'de Freon-12 ve (Şekil-1.15)'de de Freon-22 için düzenlenmiş olan antalpik diyagramlar görülmektedir. Bu diyagramların kullanımı bir yerde buharlaştırıcıının sıcaklığı ile kondansörün sıcaklığının bilinmesine bağlıdır. Adiyabatik sıkıştırma süreci sonundaki sıcaklığı bulmak için önce doygunluk eğrisi üzerinde, buharlaştırıcıının sıcaklığı ile kondansörün sıcaklığını karşılayan izotermelerin geçtiği noktaları saptamak gereklidir. Doygunluk eğrisi üzerinde, buharlaştırıcıının sıcaklığı ile kondansörün sıcaklığını karşılayan izotermelerin geçtiği noktalar saptandıktan sonra bu kez bu noktalardan (oh) eksenine paralel iki doğru çizilir. Doygun-

AMONYAK (NH_3)

Şekil-1.13



Şekil-1.14



Şekil-1.15

luk eğrisi üzerinde, kondansörün sıcaklığını karşılayan izotermi geçtiği noktadan çizilen (0h) eksene paralel doğrunun emilen soğutucu akışkanın sıcaklığını karşılayan izotermi kestiği nokta belirlenir. Daha sonra bu noktadan geçen izantropun, doygunluk eğrisi üzerinde, buharlaştırıcıının sıcaklığını karşılayan izotermi geçtiği noktadan çizilen (oh) eksene paralel doğruya kestiği nokta bulunur. Adiyabatik sıkıştırma sürecinde soğutucu akışkanın antropisi sabit kaldığı için bu noktadan geçen izotermi oluşturduğu sıcaklık adiyabatik sıkıştırma sürecinin sonundaki sıcaklığını ifade eder.

UYGULAMA

Bir soğutma devresinde buharlaştırıcı sıcaklığı (-25°C), kondansör sıcaklığı ($+25^{\circ}\text{C}$) ve emilen soğutucu akışkanın sıcaklığı da (-20°C)'dır. Ayrıca dönüştürücüde emilen soğutucu akışkan (10°C) ısıtılmaktadır. Bu verilerden yararlarak (NH_3), Freon -12 ve Freon -22 için adiyabatik sıkıştırma süreci sonundaki sıcaklığı saptayalım.

Adiyabatik sıkıştırma süreci sonundaki sıcaklığın belirlenmesinde (NH_3) için (Şekil-1.13)'de görülen diyagramdan, Freon -12 için (Şekil-1.14)'de görülen diyagramdan ve Freon -22 için (Şekil-1.15)'de görülen diyagramdan yararlanılır. Diyagramların kullanımına ilişkin olarak yukarıda yapılan açıklama uyarınca, adiyabatik sıkıştırma süreci sonundaki sıcaklık (NH_3) için (120°C), Freon -12 için (42°C) ve Freon -22 için (65°C) bulunur. Bunlar arasında en elverişli olan sıcaklık Freon -12 için bulunmuş olan sıcaklığıdır. Antalpik diyagramlardan başka ayrıca soğutucu akışkanlar için doygunluk basıncı, doygunluk sıcaklığı, sıvı ve buharın özgül hacmi, sıvı ve buharın antalpisi arasındaki ilişkiyi gösteren çizelgeler de vardır. 1.6 numaralı çizelge (NH_3), 1.7 numaralı çizelge Freon -12 ve 1.8 numaralı çizelge Freon -22 için hazırlanmıştır.

AMONYAK (NH_3)

1.6 Numaralı Çizelge

Sıcaklık °C	Mutlak Basıncı kg/cm²	Üzgül Hacim		Antalpi	
		Sıvı v' 1/kg	Buhar v'' m³/kg	Sıvı h' kcal/kg	Buhar h'' kcal/kg
-60	0.22	1.401	4.699	36.0	380.0
-59	0.24	1.403	4.430	37.0	380.4
-58	0.25	1.406	4.161	38.1	380.8
-57	0.27	1.408	3.927	39.1	381.2
-56	0.29	1.410	3.693	40.2	381.7
-55	0.31	1.413	3.491	41.2	382.1
-54	0.33	1.415	3.288	42.2	382.5
-53	0.35	1.417	3.111	43.2	382.9
-52	0.37	1.420	2.933	44.2	383.3
-51	0.39	1.422	2.778	45.2	383.7
-50	0.42	1.424	2.623	46.3	384.1
-49	0.44	1.427	2.487	47.3	384.5
-48	0.47	1.429	2.351	48.4	384.9
-47	0.50	1.432	2.232	49.4	385.3
-46	0.53	1.434	2.112	50.4	385.7
-45	0.56	1.437	2.007	51.4	386.1
-44	0.59	1.439	1.901	52.5	386.5
-43	0.62	1.442	1.808	53.5	386.9
-42	0.66	1.444	1.715	54.6	387.3
-41	0.69	1.448	1.633	55.7	387.7
-40	0.73	1.449	1.550	56.8	388.1
-39	0.77	1.452	1.475	57.8	388.5
-38	0.81	1.454	1.404	58.9	388.9
-37	0.86	1.457	1.338	59.9	389.2
-36	0.90	1.460	1.275	61.0	389.6
-35	0.95	1.462	1.215	62.0	390.0
-34	0.99	1.465	1.159	63.1	390.4
-33	1.05	1.468	1.106	64.2	390.8
-32	1.10	1.470	1.055	65.3	391.2
-31	1.16	1.473	1.008	66.3	391.5
-30	1.22	1.476	0.963	67.4	391.9
-29	1.28	1.478	0.920	68.5	392.3
-28	1.34	1.481	0.880	69.6	392.6
-27	1.41	1.484	0.842	70.6	393.0
-26	1.47	1.487	0.806	71.7	393.4
-25	1.55	1.489	0.771	72.8	393.7
-24	1.62	1.492	0.739	73.9	394.1
-23	1.69	1.495	0.708	74.9	394.4
-22	1.77	1.498	0.678	76.0	394.8
-21	1.86	1.501	0.650	77.1	395.1
-20	1.94	1.504	0.624	78.2	395.5
-19	2.03	1.507	0.598	79.2	395.8
-18	2.12	1.510	0.574	80.3	396.1
-17	2.21	1.512	0.551	81.4	396.5
-16	2.31	1.515	0.529	82.5	396.8
-15	2.41	1.518	0.509	83.6	397.1
-14	2.51	1.521	0.489	84.7	397.4
-13	2.62	1.524	0.470	85.8	397.7
-12	2.73	1.526	0.452	86.8	398.1
-11	2.85	1.531	0.435	87.9	398.4
-10	2.97	1.534	0.418	89.0	398.7
-9	3.09	1.537	0.403	90.1	399.0
-8	3.22	1.540	0.388	91.2	399.3
-7	3.35	1.543	0.373	92.3	399.6
-6	3.48	1.546	0.360	93.4	399.8
-5	3.62	1.550	0.347	94.5	400.1

1.6 Numaralı Çizelge

Sıcaklık °C	Mutlak Basıncı kg/cm²	Üzgül Hacim		Antalpi	
		Sıvı v' 1/kg	Buhar v'' m³/kg	Sıvı h' kcal/kg	Buhar h'' kcal/kg
-5	3.62	1.550	0.347	94.5	400.1
-4	3.76	1.553	0.334	95.6	400.4
-3	3.91	1.556	0.322	96.7	400.7
-2	4.06	1.559	0.311	97.8	401.0
-1	4.22	1.563	0.300	98.9	401.2
0	4.38	1.566	0.290	100.0	401.5
+1	4.54	1.569	0.280	101.1	401.8
+2	4.72	1.573	0.270	102.2	402.0
+3	4.89	1.576	0.261	103.3	402.3
+4	5.07	1.580	0.252	104.4	402.5
+5	5.26	1.583	0.243	105.5	402.8
+6	5.45	1.587	0.235	106.6	403.0
+7	5.65	1.590	0.227	107.8	403.3
+8	5.85	1.594	0.220	108.9	403.5
+9	6.06	1.596	0.213	110.0	403.7
+10	6.27	1.601	0.206	111.1	403.9
+11	6.49	1.604	0.199	112.2	404.2
+12	6.71	1.608	0.193	113.3	404.4
+13	6.95	1.612	0.187	114.5	404.6
+14	7.18	1.616	0.181	115.6	404.8
+15	7.43	1.619	0.175	116.7	405.0
+16	7.68	1.623	0.169	117.8	405.2
+17	7.93	1.627	0.164	119.0	405.4
+18	8.20	1.631	0.159	120.1	405.6
+19	8.46	1.635	0.154	121.2	405.7
+20	8.74	1.639	0.149	122.4	405.9
+21	9.02	1.643	0.145	123.5	406.1
+22	9.31	1.647	0.140	124.7	406.3
+23	9.61	1.651	0.136	125.8	406.4
+24	9.91	1.655	0.132	126.9	406.6
+25	10.22	1.659	0.128	128.1	406.7
+26	10.54	1.663	0.124	129.2	406.9
+27	10.87	1.667	0.121	130.4	407.0
+28	11.20	1.671	0.117	131.5	407.2
+29	11.55	1.676	0.114	132.7	407.3
+30	11.89	1.680	0.111	133.8	407.4
+31	12.25	1.684	0.107	135.0	407.5
+32	12.62	1.689	0.104	136.2	407.7
+33	12.99	1.693	0.101	137.3	407.8
+34	13.37	1.698	0.099	138.5	407.9
+35	13.76	1.702	0.096	139.6	408.0
+36	14.16	1.707	0.093	140.8	408.1
+37	14.57	1.711	0.091	142.0	408.1
+38	14.99	1.716	0.088	143.2	408.2
+39	15.41	1.721	0.086	144.3	408.3
+40	15.85	1.726	0.083	145.5	408.4
+41	16.29	1.730	0.081	146.7	408.4
+42	16.75	1.735	0.079	147.9	408.5
+43	17.21	1.740	0.077	149.1	408.5
+44	17.68	1.745	0.075	150.2	408.6
+45	18.16	1.750	0.073	151.4	408.6
+46	18.66	1.755	0.071	152.6	408.6
+47	19.16	1.761	0.069	153.8	408.7
+48	19.67	1.766	0.067	155.0	408.7
+49	20.19	1.771	0.065	156.2	408.7
+50	20.73	1.777	0.063	157.4	408.7

Üzgül Hacim

Antalpi

Freon-22 (F22)

1.8 Numaralı Çizelge

Sıcaklık °C	Mutlak Basıncı kg/cm²	Üzgül Hacim		Antalpi	
		Sıvı v' 1/kg	Buhar v'' m³/kg	Sıvı h' kcal/kg	Buhar h'' kcal/kg
-60	0.38	0.682	0.535	84.1	142.7
-59	0.40	0.684	0.507	84.4	142.8
-58	0.43	0.685	0.481	84.6	142.9
-57	0.45	0.686	0.457	84.9	143.0
-56	0.48	0.687	0.434	85.2	143.2
-55	0.50	0.688	0.413	85.4	143.3
-54	0.53	0.690	0.393	85.7	143.4
-53	0.56	0.691	0.373	85.9	143.5
-52	0.59	0.692	0.355	86.2	143.6
-51	0.62	0.694	0.338	86.4	143.7
-50	0.66	0.695	0.323	86.7	143.9
-49	0.69	0.696	0.303	86.9	143.9
-48	0.73	0.698	0.293	87.2	144.1
-47	0.76	0.699	0.280	87.5	144.2
-46	0.81	0.700	0.267	87.7	144.4
-45	0.85	0.702	0.255	88.0	144.5
-44	0.89	0.703	0.244	88.2	144.6
-43	0.93	0.704	0.233	88.5	144.7
-42	0.98	0.706	0.223	88.7	144.8
-41	1.03	0.707	0.214	89.0	144.9
-40	1.08	0.709	0.205	89.3	145.1
-39	1.13	0.710	0.196	89.5	145.2
-38	1.18	0.711	0.188	89.8	1

Freon-12 (F12)

1.7 Numaralı Çizelge

Sıcaklık t oc	Hücrelik P kg/cm²	Özgül Hacim		Antalpi	
		Sıvı v' 1/kg	Buhar v'' m³/kg	Sıvı h' kcal/kg	Buhar h'' kcal/kg
-60	0.231	0.635	0.639	87.7	130.0
-59	0.245	0.636	0.606	87.9	130.1
-58	0.259	0.637	0.575	88.1	130.2
-57	0.274	0.639	0.546	88.2	130.4
-56	0.290	0.639	0.519	88.4	130.5
-55	0.306	0.641	0.493	88.6	130.6
-54	0.324	0.642	0.469	88.8	130.7
-53	0.341	0.643	0.446	89.0	130.8
-52	0.360	0.644	0.425	89.2	130.9
-51	0.380	0.646	0.404	89.4	131.1
-50	0.400	0.647	0.385	89.6	131.2
-49	0.421	0.648	0.367	89.8	131.3
-48	0.443	0.649	0.350	90.0	131.4
-47	0.466	0.650	0.334	90.2	131.5
-46	0.490	0.651	0.319	90.4	131.6
-45	0.515	0.653	0.305	90.6	131.8
-44	0.541	0.654	0.291	90.8	131.9
-43	0.568	0.655	0.279	90.9	132.0
-42	0.596	0.657	0.266	91.1	132.1
-41	0.625	0.658	0.255	91.3	132.2
-40	0.655	0.659	0.244	91.5	132.4
-39	0.686	0.660	0.234	91.7	132.5
-38	0.719	0.662	0.224	91.9	132.6
-37	0.752	0.663	0.215	92.1	132.7
-36	0.787	0.664	0.206	92.3	132.8
-35	0.824	0.666	0.197	92.5	132.9
-34	0.861	0.667	0.189	92.8	133.1
-33	0.900	0.668	0.182	93.0	133.2
-32	0.940	0.670	0.175	93.2	133.3
-31	0.982	0.671	0.168	93.4	133.4
-30	1.024	0.672	0.161	93.6	133.5
-29	1.069	0.674	0.155	93.8	133.7
-28	1.115	0.675	0.149	94.0	133.8
-27	1.162	0.677	0.144	94.2	133.9
-26	1.211	0.678	0.138	94.4	134.0
-25	1.262	0.679	0.133	94.6	134.1
-24	1.314	0.681	0.128	94.8	134.2
-23	1.368	0.682	0.123	95.0	134.4
-22	1.423	0.683	0.119	95.2	134.5
-21	1.480	0.685	0.115	95.4	134.6
-20	1.540	0.687	0.111	95.6	134.7
-19	1.600	0.688	0.107	95.9	134.8
-18	1.663	0.690	0.103	96.1	134.9
-17	1.727	0.691	0.099	96.3	135.1
-16	1.794	0.692	0.096	96.5	135.2
-15	1.862	0.694	0.093	96.7	135.3
-14	1.932	0.695	0.089	96.9	135.4
-13	2.005	0.697	0.086	97.1	135.5
-12	2.079	0.699	0.084	97.4	135.6
-11	2.155	0.700	0.081	97.6	135.7
-10	2.234	0.702	0.078	97.8	135.9
-9	2.315	0.703	0.076	98.0	136.0
-8	2.398	0.705	0.073	98.2	136.1
-7	2.483	0.706	0.071	98.4	136.2
-6	2.571	0.708	0.068	98.7	136.3
-5	2.660	0.709	0.066	98.9	136.4

Sıcaklık t oc	Hücrelik P kg/cm²	Özgül Hacim		Antalpi	
		Sıvı v' 1/kg	Buhar v'' m³/kg	Sıvı h' kcal/kg	Buhar h'' kcal/kg
-5	2.660	0.709	0.066	98.9	136.4
-4	2.753	0.711	0.064	99.1	136.5
-3	2.848	0.713	0.062	99.3	136.6
-2	2.944	0.714	0.060	99.6	136.8
-1	3.045	0.716	0.058	99.8	136.9
0	3.146	0.717	0.057	100.0	137.0
+1	3.251	0.719	0.055	100.2	137.1
+2	3.358	0.720	0.053	100.4	137.2
+3	3.468	0.722	0.052	100.7	137.3
+4	3.580	0.724	0.050	100.9	137.4
+5	3.696	0.726	0.049	101.1	137.5
+6	3.813	0.727	0.047	101.3	137.6
+7	3.935	0.729	0.046	101.6	137.8
+8	4.058	0.731	0.044	101.8	137.9
+9	4.185	0.733	0.043	102.0	138.0
+10	4.313	0.734	0.042	102.3	138.1
+11	4.447	0.736	0.041	102.5	138.2
+12	4.583	0.738	0.040	102.7	138.3
+13	4.721	0.740	0.039	102.9	138.4
+14	4.862	0.741	0.037	103.2	138.5
+15	5.008	0.743	0.036	103.4	138.6
+16	5.155	0.745	0.035	103.6	138.7
+17	5.307	0.747	0.034	103.9	138.8
+18	5.460	0.749	0.033	104.1	138.9
+19	5.617	0.751	0.033	104.3	139.0
+20	5.779	0.752	0.032	104.6	139.1
+21	5.943	0.755	0.031	104.8	139.2
+22	6.111	0.757	0.030	105.1	139.3
+23	6.282	0.759	0.029	105.3	139.4
+24	6.458	0.760	0.028	105.5	139.5
+25	6.636	0.763	0.028	105.8	139.6
+26	6.817	0.764	0.027	106.0	139.7
+27	7.002	0.767	0.026	106.2	139.8
+28	7.193	0.769	0.026	106.5	139.9
+29	7.386	0.771	0.025	106.7	140.0
+30	7.581	0.773	0.024	107.0	140.1
+31	7.783	0.776	0.024	107.2	140.2
+32	7.990	0.778	0.023	107.4	140.2
+33	8.200	0.780	0.022	107.7	140.3
+34	8.409	0.782	0.022	107.9	140.4
+35	8.626	0.785	0.021	108.2	140.5
+36	8.847	0.787	0.021	108.4	140.6
+37	9.073	0.789	0.020	108.7	140.7
+38	9.299	0.792	0.020	108.9	140.8
+39	9.535	0.794	0.019	109.2	140.8
+40	9.771	0.797	0.019	109.4	140.9
+41	10.014	0.799	0.018	109.7	141.0
+42	10.257	0.802	0.018	109.9	141.1
+43	10.511	0.804	0.017	110.2	141.2
+44	10.763	0.807	0.017	110.4	141.2
+45	11.023	0.810	0.017	110.7	141.3
+46	11.283	0.813	0.016	110.9	141.4
+47	11.533	0.816	0.016	111.1	141.5
+48	11.828	0.819	0.015	111.4	141.6
+49	12.108	0.822	0.015	111.7	141.6
+50	12.386	0.824	0.015	111.9	141.7

UYGULAMA

Bir soğutma devresinin soğutma kapasitesi (10^4 kcal/saat)'dır. Buharlaştırıcı sıcaklığı (-10 °C), kondansör sıcaklığı da (+20 °C) olarak verilmiştir. Soğutucu akışkan olarak (NH_3) kullanıldığına göre, (kg) başına soğutulan ortamdan çekilen ısı miktarını ve soğutma devresinde dolaşım yapan soğutucu akışkanın hacim ve ağırlık olarak değerini bulalım.

(-10°C) sıcaklıkta buharın antalpisi ($h'' = 398,7$ kcal/kg) (+20°C) sıcaklıkta sıvının antalpisi de ($h' = 122,4$ kcal/kg) bulunur. Bu durumda soğutulan ortamdan (kg) başına çekilen ısı miktarı

$$h'' - h' = 398,7 - 122,4 = 276,3 \text{ kcal/kg}$$

$$h'' - h' = 276,3 \text{ kcal/kg}$$

olur. Soğutma devresinde dolaşım yapan soğutucu akışkanın ağırlık olarak değerini bulmak için soğutma kapasitesini soğutulan ortamdan çekilen ısı miktarına bölmek gereklidir. Soğutma devresinde dolaşım yapan soğutucu akışkanın ağırlık olarak değerini (G) ile gösterelim.

Bu durumda,

$$G = \frac{10000 \text{ kcal/saat}}{276,3 \text{ kcal/kg}} = 36,2 \text{ kg/saat}$$

$$G = 36,2 \text{ kg/saat}$$

elde edilir. Diğer yandan (-10°C) sıcaklıkta buharın özgül hacmi ($v'' = 0,418 \text{ m}^3/\text{kg}$)'dır. Buna göre, dolaşım yapan akışkanın hacim olarak değeri,

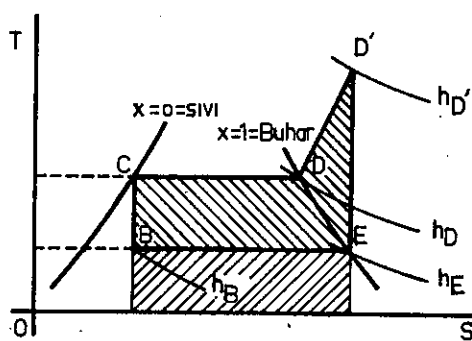
$$V = v'' \cdot G = 0,418 \cdot 36,2 = 15,21 \text{ m}^3/\text{saat}$$

$$V = 15,21 \text{ m}^3/\text{saat}$$

olur.

2.e) Sıcaklık-Antropi diyagramları ile Basınç-Antropi diyagramlarının karşılaştırılması

Sıcaklık - Antropi ($T - S$) diyagramlarında soğutulan ortamdan çekilen ısı miktarı ve bu ısı miktarını çekmek için harcanan işin ısıl eşdeğeri, yukarıda da dejinmiş olduğumuz gibi, diyagramın sınırladığı düzlem yüzeylerin alanı ile belirlenir. Soğutulan ortamdan çekilen ısı miktarını ve harcanan işin ısıl eşdeğeri bulmak için mutlaka diyagramın sınırladığı düzlem yüzeylerin alanını bulmak gereklidir. Basınç-Antalpi ($p - h$) diyagramları ile sıcaklık - Antropi ($T - S$) diyagramlarının bu sakıncası tamamen ortadan kaldırılmıştır. Çünkü Basınç - Antalpi ($p - h$) diyagramlarından yararlanarak soğutucu ortamdan çekilen ısı miktarı ile harcanan işin ısıl eşdeğeri doğrudan doğruya belirlemek mümkündür. (Şekil - 1.16)'da, soğutucu akışkanına ait bir ($T - S$) diyagramı görülmektedir. Bir soğutma devresinde sıkıştırmanın (ED) eğrisi



Sekil-1.16 Sicaklik-Antropi (T - S) Diyagramı

ile ifade edilmesi istenir. Ancak uygulamada bunu gerçeklestirmek olanaksızdır. Çünkü sıkıştırma sürecinde soğutucu akışından ısı almak gereklidir. Sıkıştırma sürecinde soğutucu akışından ısı alınamayacağı için sıkıştırma adiyabatik olur.

ve (σT) eksenine paralel (ED') doğrusu ile ifade edilir. Adiyabatik sıkıştırma sürecinde ağırlığı (G) olan akışkan kütlesine kompresörün ileteceği işin ısıl esdeğeri ağırlığı ($l \cdot kg$) olan soğutucu akışkan kütlesine göre düzenlenmiş Basınç-Antalpi ($p - h$) diyagramında (E) ve (D') noktalarının antalpisi saptanarak belirlenir. (E) noktasının antalpisini (h_E) ve (D') noktasının antalpisini de ($h_{D'}$) ile gösterelim. Bu durumda, adiyabatik sıkıştırma sürecinde kompresörün ağırlığı ($l \cdot kg$) olan soğutucu akışkan kütlesine ilettiği işin ısıl esdeğeri

$$h = h_D, -h_E$$

olur. (A) eşdeğerlik katsayısı ve (W) de adiyabatik sıkıştırma sürecinde kompresörün ağırlığı (G) olan soğutucu akışkan kütlesine ilettiği is olduğuna göre.

$$AW = G(h_D, -h_E)$$

eşitliğini yazabiliriz. Soğutma etkisi, bilindiği gibi,

$$SE = \frac{h_E - h_B}{h_D - h_E}$$

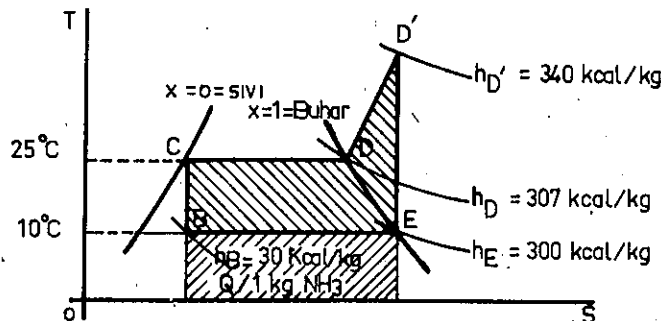
eşitliği ile ifade edilir. (1 Beygir saat)'lık işe karşılık soğutucuda elde edilen kuramsal frigori miktarı (632,318.SE)'dır. Gerçekte, (1 Beygir saat)'lık işe karşılık soğutucuda elde edilen frigori miktarı kuramsal frigori miktarından daha azdır. (1 Beygir saat)'lık işe karşılık soğutucuda elde edilen gerçek frigori miktarının kuramsal frigori miktarına oranını (η) ile gösterecek olursak 1 Beygir saat'lık işe karşılık soğutucuda elde edilen gerçek frigori miktarı (632,318.SE. η) olur. (1 saat)'ta sağlanması istenilen soğukluk miktarını (Q_S) ile gösterelim. Bu soğukluğu sağlayabilmek için gerekli işi (Beygir saat) olarak (W_S) ile gösterecek olursak

$$W_S = \frac{Q_S}{632,318 \cdot SE \cdot n}$$

eşitliğini yazabiliriz.

UYGULAMA

(Şekil-1.17)'de, soğutucu akışkan olarak amonyağın kullanıldığı bir soğutma makinasına ait antropik diyagram görülmektedir. Bu makinanın (1 saat) 'ta (25000 frigori) sağlama istenildiğine ve endike verim ($\eta = 0,80$) olduğuna göre, (Beygirsaat) olarak harcanan işi hesaplayalım.



Şekil-1.17

$$h_B = 30 \text{ kcal/kg}$$

$$h_E = 300 \text{ kcal/kg}$$

$$h_D' = 340 \text{ kcal/kg}$$

olarak saptanmıştır.

$$SE = \frac{h_E - h_B}{h_D' - h_E}$$

olduğu için

$$SE = \frac{h_E - h_B}{h_D' - h_E} = \frac{300 - 30}{340 - 300}$$

$$SE = 6,75$$

bulunur. Diğer yandan

$$Q_S = 25000 \text{ kcal}$$

$$\eta = 0,80$$

olarak verilmiş olduğuna göre,

$$W_S = \frac{Q_S}{632,318 \cdot SE \cdot \eta}$$

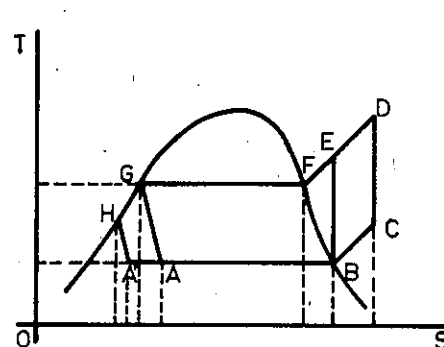
olduğu için

$$W_S = \frac{Q_S}{632,318 \cdot SE \cdot \eta} = \frac{25000}{632,318 \cdot 6,75 \cdot 0,80} = 7,321 \text{ Beygirsaat}$$

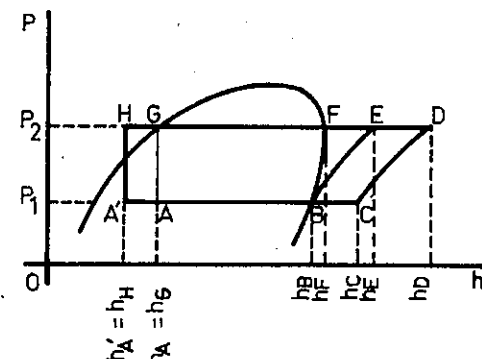
$$W_S = 7,321 \text{ Beygirsaat}$$

olur.

Aynı soğutucu akışkanı ait (Şekil-1.18)'de, (T-S) diyagramı ve (Şekil-1.19)'da da (p-h) diyagramı görülmektedir.



Şekil-1.18 (T-S) Diyagramı



Şekil-1.19 (p-h) Diyagramı

(Şekil-1.19)'da görülen diyagramda ordinatların gerçek değeri ($\ln P$) ile ifade edilmiştir. Bunun nedeni, diyagramın gereksiz yere büyümeye engel olmak düşüncesidir.

3) Kademeli sıkıştırma ve kademeli genleşme

3.a) Kademeli sıkıştırma

Kademesiz sıkıştırmada, sıkıştırma süreci sonunda sıcaklık çok yükseldiği için yağlama yağı yanabilir ve kompresörün parçaları da kolay aşınarak kısa sürede kullanılmayacak duruma gelebilir. İşte sıkıştırma süreci sonunda sıcaklığın yükselmesine engel olmak ve sıcaklık yükselmesinin sakincalarını ortadan kaldırmak amacıyla kademeli sıkıştırma yöntemine baş vurulur. Sıkıştırmada, sıkıştırma süreci sonunda ulaşılabilecek sıcaklığın daha başlangıçta saptanması zorunluluğu vardır. Çünkü kademeli sıkıştırma yöntemine baş vurulup vurulmayacağı sıkıştırma süreci sonunda ulaşılabilecek maksimal sıcaklık saptandıktan sonra ancak belirlenebilir. Genellikle, sıkıştırma süreci sonunda ulaşılabilecek sıcaklığın (100°C)'den daha büyük olmaması arzu edilir. Kademesiz sıkıştırmada, buharlaştırıcıda sıcaklık sınrı (-15°C) ve (-25°C) arasında değişir. Bilindiği gibi, kondansörün sıcaklığı ne kadar düşük olursa buharlaştırıcıda elde edilebilen sıcaklık da o kadar düşük olur. Sıkıştırma sürecinin sonundaki basıncın sıkıştırma sürecinin başındaki basıncı oranına sıkıştırma oranı denir ve bu (ϵ) ile gösterilir.

$$4,5 < \epsilon < 5$$

olursa sıkıştırma iki kademe ve

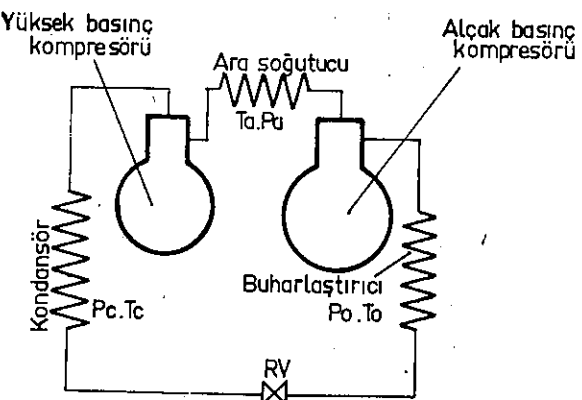
$$\epsilon > 20$$

olursa sıkıştırma üç kademe gerçekleştirilir. Bir soğutma tesisatında çok kademeli sıkıştırma yöntemi uygulandığı zaman farklı buharlaşma sıcaklıklarını elde edilir. Farklı buharlaşma sıcaklıklarının elde edilmesi bir ara basıncı gereklidir. Kondansör basıncını (p_c), buharlaştırıcıda en düşük doygunluk sıcaklığını karşılayan doygunluk basıncı (p_o) ve ara basıncı da (p_a) ile gösterelim. Bu durumda

$$P_a = \sqrt{P_c P_o}$$

eşitliğini yazabiliriz. Ara basıncı, soğutma tesisatında, kondansörle buharlaştırıcı arasına sıvı ayırcısı adı verilen bir cihazın yerleştirilmesini de zorunlu kılar.

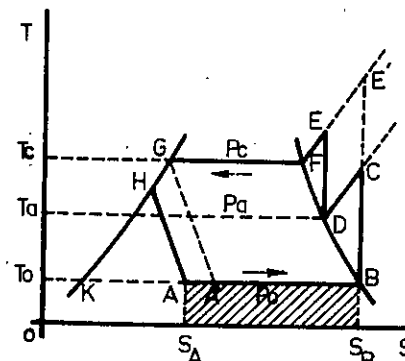
(Şekil-1.20)'de, sıkıştırmanın iki kademede gerçekleştirildiği bir soğutma tesisatı görülmektedir. Her sıkıştırma kademesi için ayrı bir kompresör vardır. Sıkıştırma sürecinin birinci kademesini gerçekleştiren kompresöre alçak basınç kompresörü ve ikinci kademesini gerçekleştiren kompresöre de yüksek basınç kompresörü adı verilir. Sıkıştırmanın iki kademede gerçekleştirildiği soğutma tesisatında yüksek ve alçak basınç kompresörlerinden başka bir buharlaştırıcı, bir kondansör, bir regülatör ventil ve su ile soğutulan borulardan oluşmuş bir ara soğutucu vardır. Alçak basınçlı



Şekil-1.20 Sıkıştırmanın iki kademede gerçekleştirildiği soğutma tesisatının fonksiyonel şeması

kompresör büyük hacimli, yüksek basınçlı kompresör de küçük hacimlidir. Alçak ve yüksek basınçlı kompresörlerin işlevi,

buharlaştırıcıdan emilen soğutucu akışkanın basıncını kondansör basıncına yükseltmektir. (Şekil-1.21)'de, sıkıştırmanın iki kademe ile gerçekleştirildiği soğutma tesisatına ait antropik diyagram görülmektedir. Sıkıştırma kademesiz gerçekleştirilmiş olsaydı adiyabatik sıkıştırma süreci, (oT) ve (oS) eksenlerinden oluşan dik açılı koordinatlar sisteminde (oT) eksenine paralel (BE') doğrusu ile gösterilirdi.



Şekil-1.21 Sıkıştırmanın iki kademe ile gerçekleştirildiği soğutma tesisatına ait antropik diyagram

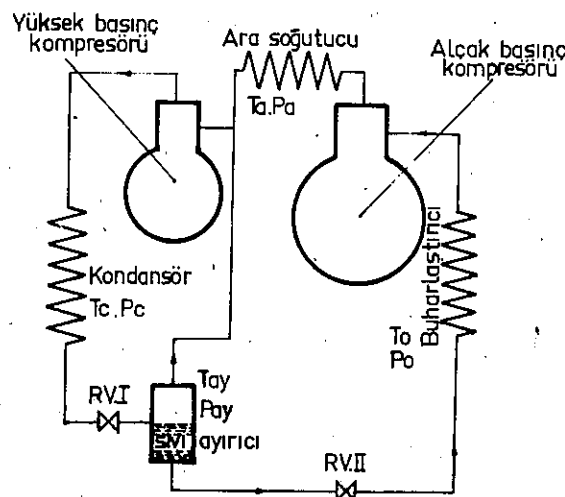
kademeli adiyabatik sıkıştırma süreci sonundaki sıcaklığın kademesiz adiyabatik sıkıştırma süreci sonundaki sıcaklıktan daha düşük olduğunu gözler önüne sermektedir. İki kademeli sıkıştırma süreci sonunda (E) noktasına gelen soğutucu akışkan kondansörde, kondansör basıncında, önce (F) noktasına ve sonra kondansör basıncında ve kondansör sıcaklığında yoğunlaşarak (G) noktasına gelir. (G) noktası yoğunlaşma sürecinin sonunu ifade eder. Kondansörde yoğunlaşan soğutucu akışkan aşırı soğutma ve basınç düşürme ile doygunluk eğrisi üzerinde (H) noktasına getirilebileceği gibi (K) noktasına da getirilebilir. Ancak soğutucu akışkan aşırı soğutma ve

sıkıştırma iki kademe ile gerçekleştiriliyor için sıkıştırma sürecinin birinci kademesini (oT) eksenine paralel (BC) doğrusu ve ikinci kademesini de (oT) eksenine paralel (DE) doğrusu ile göstermek gerekmektedir. (CD) eğrisi, ara soğutucuda sabit basınçta gerçekleştirilen soğutma sürecini ifade eder. (E) ve (E') noktaları kondansör basıncını karşılayan izobar üzerinde bulunurlar. Antropik diyagram üzerindeki bu açıklama iki

basınç düşürme ile doygunluk eğrisi üzerinde (H) noktasına geldiği zaman basıncın ve sıcaklığın buharlaştırıcıının basıncına ve sıcaklığına düşmesi (HA) eğrisini izler. (HA) eğrisinin izlenmesinin nedeni, basınç ve sıcaklık, buharlaştırıcıının basınç ve sıcaklığına düşerken (H) noktasında tamamen sıvı halde bulunan soğutucu akışkanın yeniden sıvı ve gaz fazlarına ayırmasıdır. (A) noktasında basıncı ve sıcaklığı buharlaştırıcıının basınç ve sıcaklığına eşit sıvı ve gaz fazlarından oluşan bir karışım vardır. ($\text{A}'\text{BS}_B\text{S}_A\text{A}$) alanı soğutulan ortamdan çekilen ısı miktarını (ABCDEFGHA) alanı da çevrimin oluşum sürecinde harcanan işin ısı eşdeğeri ifade eder. (KBCDEFGK) alanı, görüldüğü gibi, (ABCDEFGHA) alanından daha büyüktür. Kondansörde yoğunlaşan soğutucu akışkan aşırı soğutma ve basınç düşürme ile doygunluk eğrisi üzerinde (H) noktasına değil de (K) noktasına getirilmiş olsaydı soğutma devresinde harcanan işin ısı eşdeğeri daha büyük olurdu. Bu kısa açıklama, hemen belirtelim ki, aşırı soğutma ve basınç düşürmenin soğutma devresinde fazladan bir iş harcanmayı gerektirdiğini kanıtlamaktadır.

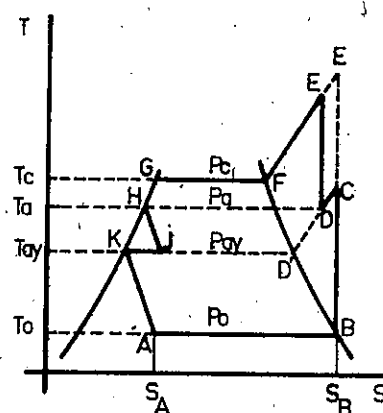
3.b) Kademe ile genleşme

Bir soğutma tesisatında sıkıştırma nasıl iki kademe ile gerçekleştirilebiliyorsa genleşme de iki kademe ile gerçekleştirilebilir. Genleşmenin iki kademe ile gerçekleştirilebilmesi için bir sıvı ayırcısı ile iki regülatöre gereksinme vardır. Sıvı ayırcısı kondansörle buharlaştırıcı arasına yerleştirilir ve ayrıca bir boru hattı ile yüksek basınç kompresörüne bağlanır. Regülatör ventilleri, sıvı ayırcısını kondansöre ve buharlaştırıcıya bağlayan boru hatları üzerine monte edilir. Ara soğutucuya alçak basınç kompresörü ile yüksek basınç kompresörü arasında yer verilir. (Şekil-1.22)'de, hem sıkıştırmanın ve hem de genleşmenin iki kademe ile gerçekleştirildiği bir soğutma tesisatının fonksiyonel şeması, (Şekil-1.23)'de de bu soğutma tesisatına ait antropik diyagram görülmektedir.



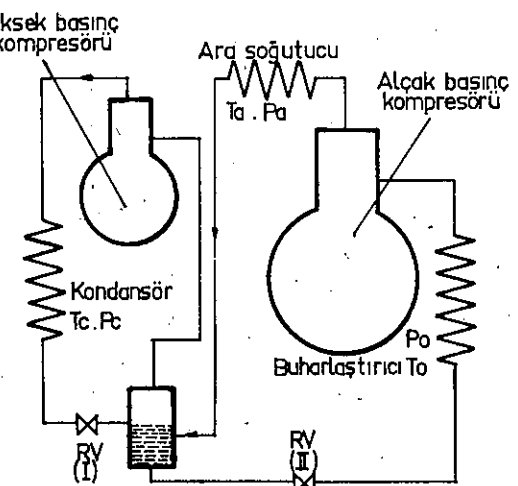
Şekil-1.22 Sıkıştırma ve Genleşmenin İki Kademe ile Gerçekleştirildiği Soğutma Tesisatının Fonksiyonel Şeması

Bu soğutma tesisatında yüksek basınç kompresörü ara soğutucudan geçen soğutucu akışkanla sıvı ayırcısından gelen soğutucu akışkanı birlikte emer ve basıncı kondansör basıncına yükselterek kondansöre gönderir. Bu soğutma tesisatında sıvı ayırcısının ara soğutucu gibi bir işlevi de vardır. (Şekil - 1.24)'de sıkıştırma ve genleşmenin iki kademe ile gerçekleştirildiğini göstermektedir.



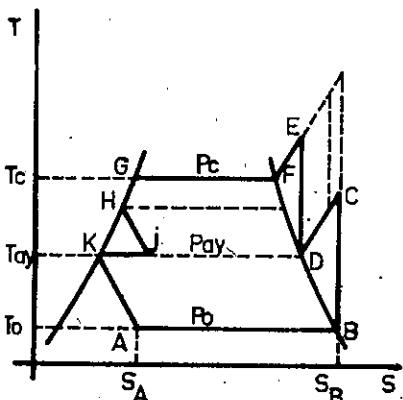
Şekil-1.23 Sıkıştırma ve Genleşmenin İki Kademe ile Gerçekleştirildiği Soğutma Tesisatına ait Antropik Diyagram

leştirdiğini soğutma tesisatının değişik bir şekli görülmektedir. Bu soğutma tesisatında alçak basınç kompresörü yüksek basınç kompresörü ile doğrudan bağlantılı değildir. Alçak basınç kompresörünün bastığı soğutucu akışkan ara soğutucudan geçerek sıvı ayırcısında toplanır. Daha sonra emme sürecinde sıvı ayırcısından gelerek yüksek basınç kompresörünün silindirine dolan soğutucu akışkan, sıkıştırma sürecinde basıncı kondansör basıncına yükseltilecek kondansöre basılır. Alçak basınç kompresörünün bastığı



Şekil-1.24 Sıkıştırma ve Genleşmenin İki Kademe ile Gerçekleştirildiği Soğutma Tesisatının Değişik bir Varigantının Fonksiyonel Şeması

ve ara soğutucudan geçerek sıvı ayırcısına gelen soğutucu akışkanın sıcaklığı ve basıncı sıvı ayırcısındaki sıcaklık ve basıncı düşürücü için sıkıştırma sürecinin ikinci kademesi sonundaki sıcaklık daha düşük bir değere sahip olur. (Şekil-1.25)'de bu soğutma tesisatına ait antropik diyagram görülmektedir.



Şekil-1.25 Sıkıştırma ve Genleşmenin İki Kademe ile Gerçekleştirildiği Soğutma Tesisatının Değişik Bir Variyantına Ait Antropik Diyagram

(Şekil-1.23)'deki (A BC DE FG H J KA) diyagram alanı, (Şekil-1.25)'deki (A BC DE FG H J KA) diyagram alanından daha büyktür. Bu, sıkıştırma ve genleşmenin iki kademe ile gerçekleştirildiği birinci soğutma tesisatında çevrimin oluşum sürecinde harcanan işin ısıl eşdeğerinin ikinci soğutma tesisatında çevrimin oluşum sürecinde harcanan işin ısıl eşdeğерinden daha fazla olduğunu gösterir.

4) Aynı sıcaklıkta çok sayıda buharlaştırıcı ile çalışan soğutma tesisatı

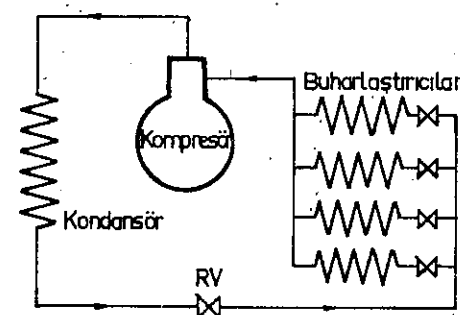
Aynı sıcaklıkta çok sayıda buharlaştırıcı ile çalışan soğutma tesisatında ana ilke, soğutucu akışkanın, aynı sıcaklığı sahip birden fazla buharlaştırıcıya dağıtılmasıdır. Böyle bir soğutma tesisatında buharlaştırıcıları ayrı ayrı çalıştırmak mümkün olduğu gibi tek bir buharlaştırıcı gibi çalıştırmak da mümkündür. Şimdi aynı sıcaklıkta çok sayıda buharlaştırıcı ile çalışan soğutma tesisatının nelerde ve hangi durumlarda kullanıldığına kısaca değinelim.

1^o) Aynı sıcaklıkta çok sayıda buharlaştırıcı ile çalışan soğutma tesisatı genellikle, soğutulacak ortam çok geniş ve tek bir buharlaştırıcı ile dolaşımı sağlanmak olanaksız olduğu zaman kullanılır. Soğutulacak ortam geniş

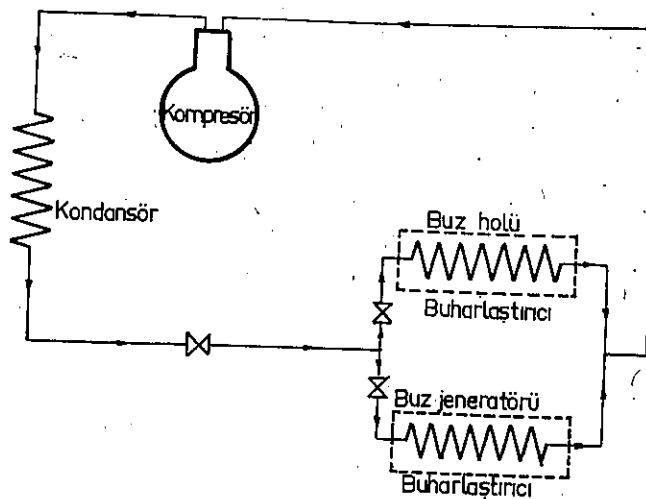
olursa biribirinden uzak bölgelerde iletişime rağmen farklı sıcaklıklar oluşur. Biribirinden uzak bölgelerde farklı sıcaklıkların oluşmasının soğutmada büyük sakincalar vardır ve bu sakincalar ancak soğutma tesisatında aynı sıcaklıkta çok sayıda buharlaştırıcı kullanılarak ortadan kaldırılabilir.

2^o) Bazı durumlarda soğutulan ortamları biribirinden yalıtmak zorunluluğu ortaya çıkar. İste biribirinden yalıtılmış soğutulan ortamlarda sıcaklığın ve nem oranının aynı değerlere sahip olması istenilirse aynı sıcaklıkta çok sayıda buharlaştırıcı ile çalışan soğutma tesisatından yararlanmak gereklidir.

3^o) Buz, bilindiği gibi, buz jeneratörlerinde üretilir. Buz jeneratörlerinde üretilen buzun buz hollerinde, (0°C)'nın biraz altındaki sıcaklıklarda bir süre bekletilmesi zorunluluğu ile karşılaşılır. Bunun için aynı sıcaklıkta iki buharlaştırıcı ile çalışan bir soğutma tesisatına gereksinme vardır. Paralel bağlanan bu buharlaştırıcılarından biri buz holünde diğerinin buz jeneratöründe kullanılır. (Şekil-1.26)'da, aynı sıcaklıkta paralel bağlanmış dört buharlaştırıcı ile çalışan bir soğutma tesisatının fonksiyonel şeması, (Şekil-1.27)'de de buz üretiminde kullanılan bir soğutma tesisatının fonksiyonel şeması görülmektedir.



Şekil-1.26 Aynı sıcaklıkta paralel bağlanmış dört buharlaştırıcı ile çalışan bir soğutma tesisatının fonksiyonel şeması



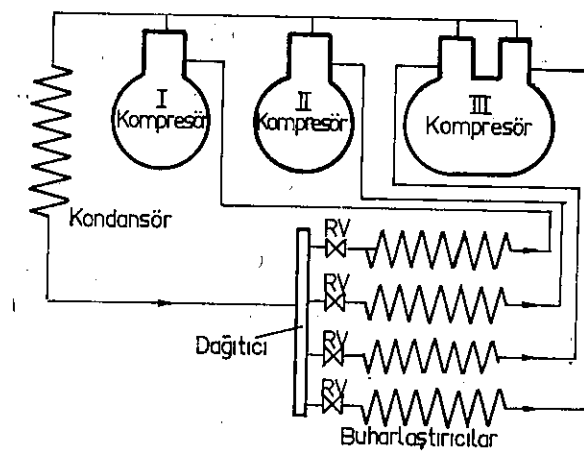
Şekil-1.27 Buz Üzeriminde Kullanılan Soğutma Tesisatının Fonksiyonel Şeması

Bir soğutma devresinde, paralel bağlanmış olan aynı sıcaklıkta buharlaştırıcıların aynı soğutma ortamını oluşturma olasılığı sanıldığı kadar fazla değildir. Çünkü soğutulan ortamların boyutları aynı olsa bile soğutulan maddelerin niteliklerinin farklı olması aynı soğukluğun elde edilmesini büyük ölçüde engeller. Ayrıca soğutulan ortamlardan birinin diğerlerinden daha fazla kullanılma olasılığı vardır ve bu çevre ile ısı alış-verisi yapıldığı için fazla kullanılan ortamda sıcaklığın yükselmesine neden olur. Paralel bağlanmış buharlaştırıcıların oluşturduğu soğutma ortamlarında aynı soğutma koşullarının gerçekleşmesi için bazen bunlar arasında bağlantı sağlamak zorunluluğu da ortaya çıkabilir.

Regülatör ventillerin aracılığı ile bir ya da birden fazla buharlaştırıcı soğutma devresi dışında bırakıldığı zaman kompresör kapasitesi devre dışı bırakılmayan

buharlaştırıcılar için fazla gelmeye başlar. Bu durumda sıvı seviyesi yükselir ve sıvı seviyesini sabit tutmak, için regülatör ventil aracılığı ile buharlaştırma hızlandırılır. Buharlaştırıcıda, bilindiği gibi, buharlaşma basıncı ve buharlaşma sıcaklığı daima sabit kalır. Bu hemen belirtelim ki, regülatör ventil aracılığı ile buharlaşmanın hızlandırılmasına rağmen soğutma tesisatının ekonomik çalışma niteliğini kaybetmesine neden olur.

Aynı sıcaklıkta çok sayıda buharlaştırıcı ile çalışan soğutma tesisatının yukarıda açıklamış olduğumuz sakıncalarını ortadan kaldırmak için ya kompresöre bir kapasite ayarlayıcısı bağlanır ya da kompresörün devir sayısı düşürülür. Özellikle büyük soğutma tesisatlarında, toplam kompresör kapasitesi birden fazla kompresöre dağıtılarak yani yerine göre bir ve yerine göre birden fazla kompresör devreye sokularak bu soruna bir çözüm getirilir. (Şekil-1.28)'de, toplam kompresör kapasitesinin birden fazla kompresöre dağıtıldığı bir soğutma tesisatının fonksiyonel şeması görülmektedir. Kompresörlerden ikisi tek ve biri

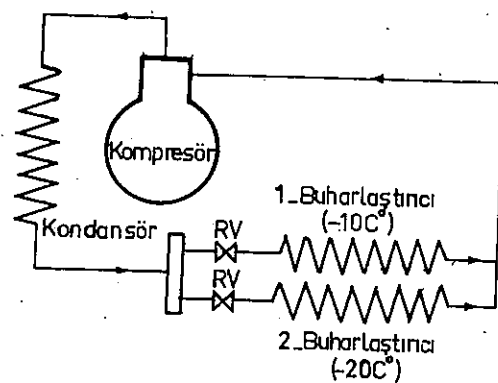


Şekil-1.28 Toplam Kompresör Kapasitesinin Üç Kompresöre Dağıtıldığı Bir Soğutma Tesisatının Fonksiyonel Şeması

de çift silindirlidir. Buharlaştırıcılar ayrı kompresörle re bağılmışlardır. Bu soğutma tesisatında yalnız bir kondansör vardır ve kondansörün dağıtıcı ile bağlantısını sağlayan boru hattı üzerine de regülatör ventil yerleştirilmiştir. Regülatör ventillerin dağıtıcı ile buharlaştırıcıların bağlantısını sağlayan boru hatları üzerine monte edilmesi gereklidir.

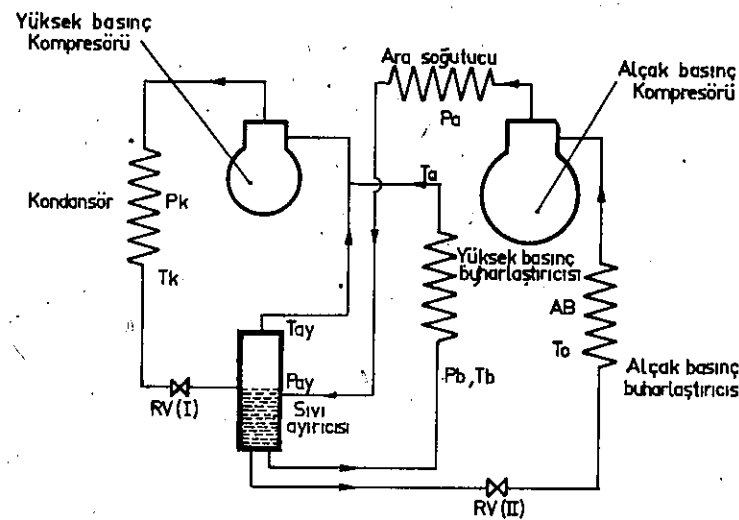
5) FARKLI SICAKLIKTA BİRDEN FAZLA BUHARLAŞTIRICI İLE CALIŞAN SOĞUTMA TESİSATI

Büyük soğutma tesislerinde çoğu zaman farklı buharlaştırıcı sıcaklıklarına gereksinme duyulur. Bu durumda farklı sıcaklıkta buharlaştırıcılarından yararlanılır. Farklı sıcaklıkta buharlaştırıcılar aynı sıcaklıkta buharlaştırıcılar gibi paralel bağlanır ve böyle bir soğutma tesisatında sadece bir kompresör kullanmak da mümkündür. (Şekil-1.29)'da, farklı sıcaklıkta buharlaştırıcı ile çalışan tek kompresörlü bir soğutma tesisatının fonksiyonel şeması görülmektedir. Paralel bağlanmış oldukları için buharlaştırıcıların kompresörle bağlantısı ortak bir boru hattı ile



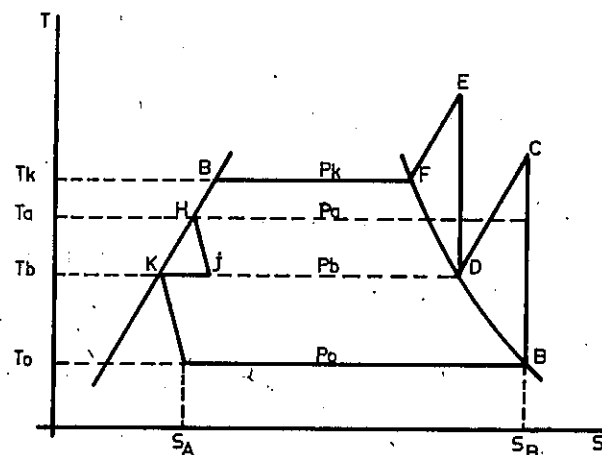
Şekil-1.29 Farklı Sıcaklıkta İki Buharlaştırıcı ile Çalışan Tek Kompresörlü Bir Soğutma Tesisatının Fonksiyonel Şeması

sağlanır. Uygulamada farklı sıcaklıkta buharlaştırıcı ile çalışan tek kompresörlü bir soğutma tesisatı pek kullanılmaz. Çünkü böyle bir soğutma tesisatında kompresörün boyutlarını en düşük sıcaklığa, örneğin (-20 °C)'ye göre sapmak zorunluğunu vardır ve bu, kompresörün boyutlarının olağanüstü büyütülmesini gerektirir. Kompresörün boyutlarını olağanüstü büyütmek yerine soğutma tesisatında iki kompresör kullanmak ve sıcaklıklarını farklı iki buharlaştırıcıyı da ayrı ayrı bu kompresörlere bağlamak soruna getirilecek daha gerçekçi bir çözüm olur. Çünkü bu durumda ancak her buharlaştırıcıyı hiçbir güçlükle karşılaşmaksızın ayrı bir sıcaklıkta çalıştırılabileceği ve her buharlaştırıcıya uygun düşen ayrı kompresör seçmek olanağı vardır. Buharlaştırıcılardan birinde sıcaklığın (-20 °C)'den daha düşük olması istenilirse bu taktirde iki kademeli bir soğutma tesisatından yararlanılır. (Şekil-1.30)'da, buharlaştırma sıcaklığı farklı iki buharlaştırıcı ile çalışan iki kademeli bir soğutma tesisatının fonksiyonel şeması ve (Şekil-1.31)'de de bu soğutma tesisatına ait antropik diyagram görülmektedir.



Şekil-1.30 Buharlaştırma Sıcaklığı Farklı İki Buharlaştırıcı ile Çalışan İki Kademeli Bir Soğutma Tesisatının Fonksiyonel Şeması

Soğutma tesisi alçak ve yüksek basınçlı iki kompresör, bir kondansör, bir sıvı ayırcısı, iki regülatör ventil, buharlaştırma sıcaklığı farklı iki buharlaştırıcı ve bir ara soğutucudan oluşmuştur. Buharlaştırıcılardan biri alçak basınç buharlaştırıcısı, diğerinin ise yüksek basınç buharlaştırıcısı olarak adlandırılır. Alçak basınç buharlaştırıcısı alçak basınç kompresörüne ve yüksek basınç buharlaştırıcısı ise yüksek basınç kompresörüne bağlanır. Alçak

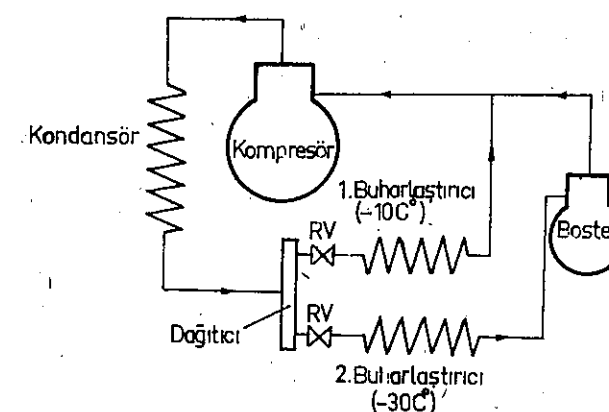


Şekil-1.31 Buharlaştırma Sıcaklığı Farklı İki Buharlaştırıcı ile Çalışan İki Kademeli Bir Soğutma Tesisatına Ait Antropik Diyagram

basınç buharlaştırıcısındaki buharlaştırma sıcaklığı yüksek basınç buharlaştırıcısındaki buharlaştırma sıcaklığından daha düşüktür. Her iki buharlaştırıcıya da soğutucu akışkan sıvı ayıricısından gelir. Ara soğutucu alçak basınç kompresörü ile sıvı ayıricısı arasına, regülatör ventillerden biri kondansörden çıkış hattı üzerine ve diğerinin de alçak basınç buharlaştırıcısını sıvı ayıricısına bağlayan boru hattı üzerine yerleştirilir. Yüksek basınç kompresörünün sıvı ayıricısından emme yapabilmesi için sıvı ayıricısı ayrı bir boru

hattı ile yüksek basınç kompresörüne bağlanır.

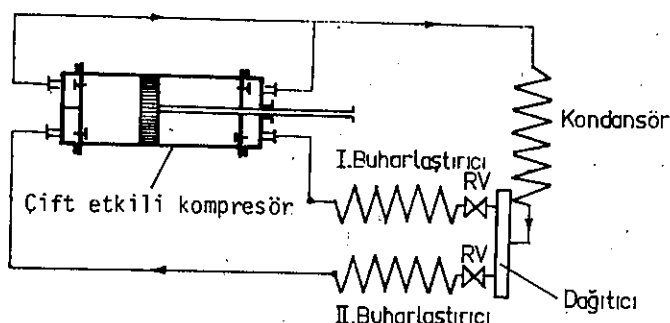
Buharlaştırıcılar arasındaki sıcaklığın çok yüksek ve buharlaştırıcılarından birinde buharlaşma sıcaklığının çok düşük olması istenildiği zaman soğutma tesisatında alçak basınç kompresörünün yerini soğutma teknide BOSTER adı verilen küçük bir yardımcı kompresör alır. BOSTER'in işlevi, buharlaştırma sıcaklığı düşük olan buharlaştırıcıdan gelen soğutucu akışkanın basincını buharlaştırma sıcaklığı yüksek olan buharlaştırıcıdaki basınçla yükseltmektir. (Şekil-1.32)'de, farklı sıcaklıkta iki buharlılaştırıcı ile çalışan BOSTER' monte edilmiş bir soğutma tesisatının fonksiyonel şeması görülmektedir. Bu soğutma



Şekil-1.32 Farklı Sıcaklıkta İki Buharlaştırıcı ile Çalışan BOSTER Monte Edilmiş Bir Soğutma Tesisatının Fonksiyonel Semasi

tesisatında, buharlaştırma sıcaklığı düşük olan buharlaştırıcı ile BOSTER seri, buharlaştırma sıcaklığı yüksek olan buharlaştırıcı ile buharlaştırma sıcaklığı yüksek olan buharlaştırıcı ve BOSTER paralel bağlanmışlardır. Kompresör, BOSTER'in bastığı soğutucu akışkanla buharlaştırma sıcaklığı yüksek olan buharlaştırıcıdan gelen soğutucu akışkanı aynı boru hattından emer ve kondansöre basar. Sıcaklıklarını

farklı iki buharlaştırıcı ile çalışan soğutma tesisatında çift etkili kompresörden de yararlanılabilir. Bu durumda buharlaştırıcılardan biri kompresörün bir kanadına diğer de öbür kanadına bağlanır. Çift etkili kompresörden yararlanılan soğutma tesisatı artık kullanılmamaktadır. (Şekil-1.33)'de, sıcaklıklarını farklı iki buharlaştırıcı ile çalışan ve çift etkili kompresörden yararlanılan bir soğutma tesisatının fonksiyonel şeması görülmektedir.



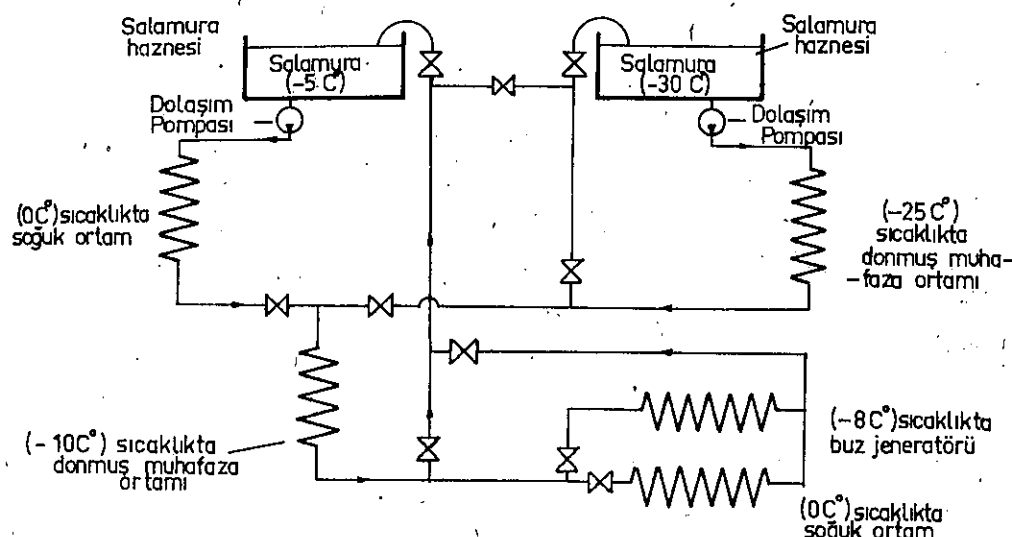
Şekil-1.33 Farklı Sıcaklıkta İki Buharlaştırıcı ile Çalışan ve Çift Etkili Kompresörden Yararlanılan Bir Soğutma Tesisatının Fonksiyonel Şeması

6) DOLAYLI SOĞUTMA YAPAN SOĞUTMA TESİSATLARI

Buraya deðin doğrudan soğutma yapan soğutma tesisatlarından bahsettim. Doðrudan soğutma yapan soğutma tesisatlarında, bilindiði gibi, buharlaştırıcı soğutulan ortama yerleştirilir. Buharlaştırıcıdan geçen soğutucu akışkan çok düşük bir basınçta ve bu basıncı karşılayan sıcaklıkta buharlaşarak gevreden ısı çeker ve ortamı doğrudan soğutur. Doðrudan soğutmanın en büyük sakıncası, herhangi bir arıza nedeniyle kompresör çalışmadığı zaman buharlaştırıcının işlevini yapamayarak soğutulan ortamdan ısı çekmemesi ve bunun sonucu sıcaklığın yükselmesidir. Sıcaklığın yükselmesi, çoğu

zaman, soğutulan ortamda kullanılan besin maddelerinin bozulmasına neden olur. Soğutulan ortamda sıcaklığın yükselmesine ve dolayısıyle besin maddelerinin bozulmasına engel olmak için soðukluğun biriktirilerek kullanılması gerekir. Biriktirilen soðukluk, kompresördeki arıza kısa sürede giderilebilirse soğutulan ortamda sıcaklığın sabit kalmasını sağlar ve besin maddelerinin bozulmasını önler.

Soðukluğun biriktirilmesi için bir ara maddeye gereksinme vardır. Soðukluğun biriktirilmesinde ara madde olarak, genellikle, SALAMURA adı verilen sodyum klörür, kalsiyumklorür ve magnezyumklorür çözeltileri kullanılır. Dolaylı soğutma tesisatında buharlaştırıcı, (-37 °C) sıcaklıkta bile sıvı halde kalan salamuranın bulunduğu bir kabın içerisinde yerleştirilir. Buharlaştırıcı, devamlı olarak salamuradan ısı çektiği için salamuranın sıcaklığı çok düşer. Sıcaklığı çok düşen salamura, bir dolaþım pompası ile soğutulması istenilen ortama yerleştirilen baðımsız serpantin birimlerine basılır ve böylece ortamın soğutulması sağlanmış olur. Soğutulması istenilen ortam salamuranın aracılıðı ile soðutulduğu için bu soğutma yöntemine, soğutma tekniðinde dolaylı soğutma adı verilir. Dolaylı soğutma yönteminin uygalandığı bir soğutma tesisatında, kompresörün herhangi bir nedenle bozulması, dolaþım pompası işlevini yerine getirdiği taktirde soğutmayı olumsuz yönde etkilemez. Dolaylı soğutma yönteminin uygalandığı bazı soğutma tesisatlarında farklı sıcaklıkta salamuralar da kullanılır. (Şekil-1.34)'de, sıcaklıklarını farklı (5) ayrı soğutma ortamını içeren farklı sıcaklıkta iki ayrı salamuranın kullanıldığı dolaylı bir soğutma tesisatının fonksiyonel şeması görülmektedir. (-25 °C) sıcaklığındaki donmuş muhafaza ortamından (-30 °C)'ye kadar soğutulmuş salamura ile ve (0 °C) sıcaklığındaki soğutma ortamından da (-5 °C)'ye kadar soğutulmuş salamura ile ısı çekilir. (-25 °C) sıcaklığındaki donmuş muhafaza ortamını terkeden salamura, daha sonra, sırasıyla (-10 °C)



Şekil-1.34 Sıcaklıklar Farklı (5) Ayı Soğutma Ortamını İçeren Farklı Sıcaklıkta İki Ayı Salamuranın Kullanıldığı Soğutma Tesisiyatının Fonksiyonel Şeması

sıcaklıktaki donmuş muhafaza ortamı ve (-8°C) sıcaklıklı buz jeneratörü gibi yüksek sıcaklıklı soğutma ortamlarına gönderilerek buraların da soğutulması sağlanır.

Dolaylı soğutma yönteminin uygulandığı soğutma tesisatlarında, sıcaklıklar farklı salamuraları belirli oranlarda karıştırarak değişik birçok ara sıcaklık elde etmek mümkündür.

KONTROL VE DEĞERLENDİRME SORULARI

- 1) Soğutma hangi yöntemlerle gerçekleştirilir ?
- 2) Soğurmeli soğutma nasıl yapılır ? Soğurmeli soğutma makinasını oluşturan ana ve ara organlar nelerdir ?
- 3) Endüstriyel tip soğurmeli soğutma makinasında buharlaştırıcıdaki, soğurma kabindaki, konsantratör ve kondansördeki basıncın değişmemesine, aynı kalmasına neden özen gösterilir ?
- 4) Endüstriyel tip soğurmeli soğutma makinasında soğutucu akışkan olarak ne kullanılır ?
- 5) Endüstriyel tip soğurmeli soğutma makinasında soğurucu çözeltilinin hangi özelliklere sahip bulunması gereklidir ?
- 6) Kimyasal yöntemle soğutma nasıl gerçekleştirilir ?
- 7) Mekanik yöntemle soğutma hangi yasaya dayanır ?
- 8) Kompresörlü kapalı soğutma devresini oluşturan ana ve ara organlar nelerdir ?
- 9) Süperhit miktarı nedir ?
- 10) Süperhit miktarı hangi sıcaklık sınırları arasında bulunmaktadır ?
- 11) Kapalı soğutma devresinin hangi kesimine yüksek basınç kanadı ve hangi kesimine de alçak basınç kanadı denir ?
- 12) Kapalı soğutma devresinde soğutucu akışkan hangi termodynamik koşullarda buharlaşır ve yoğunlaşır ?
- 13) Kritik basınç ve kritik sıcaklık nedir ?
- 14) Kapalı soğutma devrelerinde kullanılan soğutucu akışkanının kullanım değerini belirleyen öğeler ve bunların ortak nitelikleri nelerdir ?
- 15) Kompresörlü kapalı soğutma devrelerinde soğutucu akışkan olarak neler kullanılır ?

- 16) Çevrim nasıl oluşur ?
- 17) Kapalı dönüşüm nedir ve Clapeyron Koordinatları sisteminde nasıl gösterilir ?
- 18) Clapeyron Koordinatları sisteminde kapalı eğrinin sınırladığı düzlem yüzeyin alanı neyi ifade eder ?
- 19) Carnot Çevrimi nedir ve nasıl oluşur ?
- 20) Antropik diyagram nasıl oluşur ve antropik diyagram alanını neyi ifade eder ?
- 21) Verim nedir ?
- 22) Soğutma etkisi nedir ?
- 23) Frigori nedir ? Soğutucuda elde edilen kuramsal frigori miktarı neye karşılık bulunur ?
- 24) Doygunluk eğrisi nedir ?
- 25) Doygunluk eğrisinin hangi kesimine sıvı hattı ve hangi kesimine buhar hattı denir ?
- 26) Buhar titri nedir ?
- 27) Kuru buhar ve kızgın buhar nedir ?
- 28) İdeal çevrimin uygulamada gerçekleştirilememesinin nedenleri nelerdir ?
- 29) Regülatör ventil nereye yerleştirilir ve regülatör ventili işlevi nedir ?
- 30) Antalpik diyagramlar hangi eğrilerden oluşur.
- 31) Hangi nedenle kademeli sıkıştırma yöntemine baş vurulur ?
- 32) Bir soğutma devresinde hangi nedenlerle genleşme kademeli olarak gerçekleştirilir ?
- 33) Bir soğutma tesisatında hangi nedenlerle aynı sıcaklıkta çok sayıda buharlaştırıcı kullanılır ?
- 34) Bir soğutma tesisatında hangi nedenlerle farklı sıcaklıkta birden fazla buharlaştırıcı kullanılır ?
- 35) Dosterin işlevi nedir ?
- 36) Dolaylı soğutma nedir ve nasıl gerçekleştirilir ?

II. BÜLÖM

SOĞUTUCU DEVRELERDE ANA VE YARDIMCI ELEMANLAR

- 1) Soğutucu devrelerde ana elemanlar
 - 1.a) Kompresörler
 - 1.a.1) Kompresörün tanımı ve çeşitleri
 - 1.a.2) Kompresör kapasitesi
 - 1.a.3) Kompresörün gücü
 - 1.a.4) Endikatör diyagramı
 - 1.a.5) Kompresör kapasitesinin düzenlenmesi
 - 1.a.6) Kompresörün ana elemanları
 - 1.a.6.a) Emme filtresi
 - 1.a.6.b) Klapeler
 - 1.a.6.b.1) Saplı klapeler
 - 1.a.6.b.2) Sipiral yay klapeler
 - 1.a.6.b.3) Hörbiger klapesi
 - 1.a.6.b.4) Düşey tip eşit akımlı kompresörlerde kullanılan klapeler
 - 1.a.6.b.5) Basma klapeleri
 - 1.b) Kondansörler
 - 1.b.1) Kondansörlerin tanımı ve çeşitleri
 - 1.b.2) Hava soğutmalı kondansörler
 - 1.b.3) Su soğutmalı kondansörler
 - 1.b.3.a) İçten su akımlı kondansörler
 - 1.b.3.b) Dıştan su akımlı kondansörler
 - 1.b.3.b.1) Su içinde çalışan kondansörler
 - 1.b.3.b.2) Yağmurlamalı kondansörler
 - 1.b.3.b.3) Shell kondansörü
 - 1.b.4) Karma kondansörler

2) Soğutucu devrelerde yardımcı elemanlar

- 2.a) Hazne
- 2.b) Nem tutucu
- 2.c) Elektrovalflar
- 2.d) Soğutucu akışkanın kontrolü
 - 2.d.1) Şamandıralı alçak basınç valfi
 - 2.d.2) Şamandıralı yüksek basınç valfi
 - 2.d.3) Otomatik genleşme valfi
 - 2.d.4) Termostatik genleşme valfi
 - 2.d.5) Denkleştirencili termostatik genleşme valfi
- 2.e) Isı dönüştürücüsü
- 2.f) Hava gidericileri
- 2.g) Sıvı ayırcısı
- 2.h) Yağ ayırcıları
- 2.i) Ara soğutucular
- 2.j) Buharlaştırıcı basınç regülatörü

SOĞUTUCU DEVRELERDE ANA VE YARDIMCI ELEMANLAR

1) Soğutucu devrelerde ana elemanlar

1.a) Kompresörler

1.a.1) Kompresörün tanımı ve çeşitleri

Kompresörler, düşük basınç ve sıcaklığındaki soğutucu akışkanı buharlaştırıcıdan emen ve sıkıştırarak yoğunlaşdırıcıya basan cihazlardır.

Uygulama alanında şu tür kompresörlerle karşılaşılır:

- 1^o) Pistonlu kompresörler,
- 2^o) Santrifüj kompresörler,
- 3^o) Rotatif kompresörler.

Santrifüj kompresörlerden genellikle, çok yüksek kapasiteli soğutma tesislerinde yararlanılır. Bununla beraber soğutma tesislerinde en çok kullanılan kompresörler pistonlu kompresörlerdir. Pistonlu kompresörler, silindirin uzunluk ekseni konumuna göre yatay ve dikey silindirli kompresörler olmak üzere (2) bölüme ayrırlırlar. Dikey silindirli kompresörler, soğutucu devrelerde tercih edilen kompresörlerdir. Bunlar tek ya da çift silindirli olarak yapılrırlar. Yatay silindirli kompresörlerden büyük soğutma tesislerinde yararlanılmaktadır.

Soğutucu devrelerde kullanılan kompresörlerin basınçlı hava üretiminde kullanılan kompresörlerden farklı yanları vardır. Örneğin, basınçlı hava üretiminde kullanılan kompresörlerde silindir bloku üzerinde emme ve basma supapları bulunur. Halbuki soğutma kompresörlerinde emme ve basma supapları kaldırılmıştır. Bu kompresörlerde emme ve basma supaplarının işlevi piston üzerine yerleştirilmiş olan tek yönlü

özel bir klapa aracılığı ile yerine getirilir. Piston üst ölü noktadan alt ölü noktaya doğru hareket ederken soğutucu akışkan karterden silindire dolar ve alt ölü noktadan üst ölü noktaya doğru hareket ederken de silindirin içersine dolmuş olan soğutucu akışkan sıkıştırılarak yoğunlaştırıcıya basılır.

2.a.2) Kompresör kapasitesi

Kompresörün işlevi, bilindiği gibi, buharlaştıracı daki soğutucu akışkanı emmek ve yoğunlaştırıcıya basmaktır. İşte buharlaştırcıdan emilen ve yoğunlaştırıcıya basılan soğutucu akışkanın kompresörün aracılığı ile saat başına buharlaştırcıdan yoğunlaştırıcıya taşıdığı ısı miktarına KOMPRESÖR KAPASİTESİ denir. Kompresör kapasitesi (kcal/saat) olarak ifade edilir. Kompresör kapasitesi buharlaştırcının sıcaklığı ile yoğunlaştırıcının sıcaklığına bağlıdır. Kompresör kapasitesinin belirlenmesinde, çoğu zaman, (25°C)'lık yoğunlaşma sıcaklığı esas alınır.

(-10°C) buharlaştırcı sıcaklığı ve regülatör ventilden önce ($+10^{\circ}\text{C}$) sıvı sıcaklığı için POHLMAN adlı araştırcı tarafından düzenlenmiş kompresör kapasitesine ilişkin (2.1 Numaralı) çizelge görülmektedir.

Kuramsal kompresör kapasitesi, yukarıda yapmış olduğunuz tanım dan da anlaşılacağı gibi, pistonun süpürme hacmine, akışkanın soğutma kapasitesine, anamlin devir sayısına silindir sayısına bağlıdır. Kuramsal kompresör kapasitesini (kcal/saat) olarak (Q_T), pistonun süpürme hacmine (m^3) olarak (V_S), akışkanın soğutma kapasitesini (kcal/m^3) olarak (q), silindir sayısını (a) ve anamlin devir sayısını da (dev/dak) olarak (n) ile gösterecek olursak

$$Q_T = 60 \cdot V_S \cdot q \cdot a \cdot n$$

eşitliğini yazabiliz. Uygulamada, kuramsal kompresör

2.1 Numaralı Çizelge

Soğutucu Akışkan	Regülatör Ventilden Ünceki Sıvı Sıcaklığı + 10 °C	Buharlaştırcı Sıcaklığı				
		- 30 °C	- 20 °C	- 10 °C	0 °C	+ 5 °C
		Normal Kapasitenin Altı	Normal Kapasitenin Üstü			
Soğutucu Akışkan	Amonyak NH_3	-% 58	-% 33	Normal Kompresör Kapasitesi	+ % 45	+ % 75
	Karbondioksit CO_2	-% 47	-% 26		+ % 35	+ % 55
	Kükürtdioksit SO_2	-% 61	-% 36		+ % 50	+ % 86

kapasitesine ulaşmak olanaksızdır. Bunun nedeni hemen belirtelim ki, alınan bir dizi önlemlere karşın önüne geçilemiyen kayıplardır. Bu kayıpları şöyle sıralayabiliriz:

- 1^o) Yalıtmanın yetersizliği nedeniyle gevreden soğulan ısı,
- 2^o) Mekanik sürtünme kuvvetlerinin işinin ısıya dönüşmesi,
- 3^o) Emme hattında meydana gelen tikanma,
- 4^o) Emme ve basma hatlarındaki kütlesel ve ısıl kaçaklar.

Gerçek kompresör kapasitesinin bulunması için yükleme derecesinin bilinmesi gereklidir. Bir kompresörde gerçek emme hacminin pistonun süpürme hacmine oranına YÜKLEME DERECESİ denir. Yükleme derecesinin (λ), gerçek emme hacmini (V) ve pistonun süpürme hacmine de (V_S) ile gösterecek olursak yukarıda yapmış olduğumuz tanım uyarınca

$$\lambda = \frac{V}{V_S}$$

eşitliğini yazabiliriz. Yükleme derecesini, hemen belirtelim ki ölü hacim olumsuz yönde etkiler. Basma süreci sonunda ölü hacimde kalan soğutucu akışkan emmenin eksik yapılımasına yani gerçek emme hacminin küçülmesine neden olur. Gerçek emme hacmi küçülünce yükleme derecesi de düşer. Bunun için kompresörler, ölü hacim olanaklarının elverdiği ölçüde süpürme hacminin küçük bir kesrine eşit olacak şekilde projelendirilmeli ve imal edilmelidirler. Amonyak makinelerinde (50000 kcal/saat)'den daha küçük soğutma kapasiteleri için yükleme derecesinin (0,40 ve 0,60) arasında, (50000 kcal/saat)'den (100000 kcal/saat)'a kadar soğutma kapasiteleri için yükleme derecesinin (0,65 ve 0,75) arasında ve nihayet (100000 kcal/saat)'dan daha büyük soğutma kapasiteleri için yükleme derecesinin (0,75 ve 0,80) arasında bulunması istenir.

Gerçek kompresör kapasitesini bulmak için kuramsal kompresör kapasitesi ile yükleme derecesini çarpmak gereklidir. Gerçek kompresör kapasitesini (Q_G) ile göstererek olursak bu açıklama uýarınca

$$Q_G = Q_T \cdot \lambda = 60 \cdot V_S \cdot q \cdot a \cdot n \cdot \lambda$$

$$Q_G = 60 \cdot V_S \cdot q \cdot a \cdot n \cdot \lambda$$

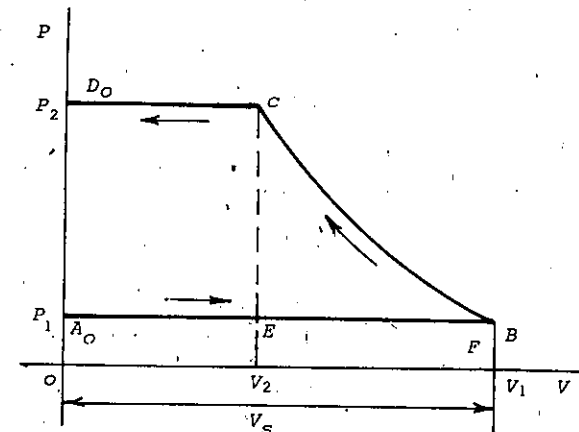
eşitliğini yazabiliriz. Kompresör çift etkili olursa kuramsal ya da gerçek kompresör kapasitesini bulmak için yukarıdaki eşitliklerden yararlanılarak bulunan değerleri (2) ile çarpmak gereklidir.

1.a.3) Kompresörün gücü

Bir kompresörün gücünün nasıl hesaplandığını açıklamadan önce Watt diyagramının oluşumu üzerinde duracağız. Watt diyagramının oluşumunu açıklarken kompresörde zararlı uzaklıðın daha açık bir deyiþle ölü hacmin sıfır olduğunu, dağıtımın yani emme ve basmanın yük kayipları ile eylemsizlik

kuvvetlerinin bulunmadığı sonsuz küçük basınç farkı ile çalışan otomatik klapelerle gerçekleştirildiðini, emme sürecinde sıcaklığın değişmediðini, mekanik sürtünme dirençlerinin bulunmadığını, sızdırmazlığın mükemmel olduğunu, emme ve basma süreçlerinde de silindir içerisinde basıncın sabit kaldığını kabul edeceðiz.

(Şekil-2.1)'de, tek etkili ve tek silindirli bir kompresöre ait kuramsal Watt diyagramı görülmektedir.



Şekil-2.1 Kuramsal Watt Diyagramı

Kompresörde, piston üst ölü noktadan alt ölü noktaya gelirken emme klapesi açılır ve silindirin içeriðine basıncı (P_1), sıcaklığı da (T_1) olan akışkan dolar. Akışkanın hacmi zararlı uzaklık sıfır olduğu için pistonun süpürme hacmine eşit olur. (OV) ve (op) eksenlerinden oluşan Clapeyron Koordinatları sisteminde, emme süreci, (OV) eksenine paralel (AOB) doğrusu ile gösterilir. Emme sürecinin sonunda emme klapesi kapanır ve piston geri dönüş hareketine başlar. Geri dönüş hareketine başlayan piston, emme sürecinde silindir içeriðine dolan akışkanı sıkıştırır. Sıkıştırılan akışkanın hacmi azalır fakat buna karşın basıncı artar. Basınç basıncının değerine ulaşınca basma klapesi kendiliðinden açılır.

ve piston, sıkıştırılmış olan akışkanı sabit basınçta kulanım yerine basar. Clapeyron Koordinatları sisteminde sıkıştırma süreci (BC) eğrisi ve basma süreci de (σV) eksenine paralel ($C D_O$) doğrusu ile ifade edilir. Basma sürecinin sonunda, basma klapesiinin kapandığı anda, emme klapesi yeniden açılır. Bu olgu salt çevrimin oluşumunu tamamlamak için (op) ekseni ile çakışan ($D_O A_O$) doğrusu ile gösterilir. Kompresörlerde pistonun arka yüzüne atmosferik basınç etki eder. Watt çevriminin oluşumu anamolin bir devrinde tamamlanır. Çevrim boyunca kompresörde akışkana iletilen mekanik yani endike iş çevrimin sınırladığı düzlem yüzeyin alanına eşdeğerdir. Bu açıklamadan da anlaşılacağı gibi, diyagram alanı endike işi ifade etmektedir. Emme işi ($A_O B$) doğrusun altında kalan düzlem yüzeyin alanı ile, sıkıştırma işi (BC) eğrisinin altında kalan düzlem yüzeyin alanı ile ve basma işi de ($C D_O$) doğrusunun altında kalan düzlem yüzeyin alanı ile gösterilir. Bu durumda

$$(A_O B C D_O) \text{ alanı} = (B C E F) \text{ alanı} + (C D_O O E) \text{ alanı} - (A_O B F O) \text{ alanı}$$

eşitliğini yazmak mümkün olur.

Kompresörde sıkıştırma ya izoterm, ya adiyabatik ya da politropiktir. Izoterm sıkıştırma sürecinde sıcaklık sabit kalır. Sıcaklığın sabit kalması için sıkıştırma sürecinde akışkanın soğutulması yani akışkandan ısı alınması gereklidir. Bunu gerçekleştirmek, uygulama alanında sanıldığından da güçtür. Adiyabatik sıkıştırma kuramsaldır. Adiyabatik sıkıştırma sürecinde, akışkan çevre ile ısı alış-verisi yapmaz ve akışkanın sıcaklığı yükselir. Uygulama alanında karşılaşılan sıkıştırma politropik sıkıştırmadır. Politropik sıkıştırma bir yani ile izoterm sıkıştırmaya diğer bir yani ile de adiyabatik sıkıştırmaya benzer. Politropik sıkıştırma sürecinde hem sıcaklık yükselir ve hem de akışkan çevre ile ısı alış-verisi yapar.

Kompresörde endike iş yani diyagram alanına eşdeğer olan iş, doğrudan doğruya, sıkıştırmanın türüne bağlıdır. Endike iş, sıkıştırma izoterm olduğu zaman

$$W_T = G \cdot P_1 v_1 \ln \left(\frac{P_2}{P_1} \right)$$

eşitliğinden, adiyabatik olduğu zaman

$$W_S = G \cdot \frac{\gamma}{\gamma-1} P_1 v_1 \left[\left(\frac{P_2}{P_1} \right)^{\frac{1}{\gamma}} - 1 \right]$$

eşitliğinden ve politropik olduğu zaman da

$$W_K = G \cdot \frac{k}{k-1} P_1 v_1 \left[\left(\frac{P_2}{P_1} \right)^{\frac{1}{k}} - 1 \right]$$

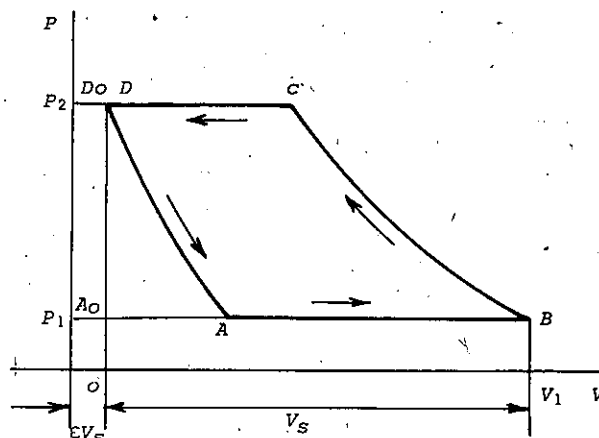
eşitliğinden yararlanılarak hesaplanır.

Uygulamada, biliği gibi, ölü hacimden kaçınmak olanaksızdır. Ölü hacim, piston üst ölü noktada iken silindir kapağı ile pistonun etkin yüzü arasında kalan hacimdir. Ölü hacmin silindreye oranı (ϵ) ile gösterilir ve oran etkeni olarak adlandırılır. Kompresörde kullanılan klapenin tipi, büyük ölçüde, ölü hacmi etkiler. Oran etkeninin değeri, klapenin tipine göre, (0,02) ile (0,20) arasında değişir.

Basma süreci sonunda silindir içerisinde kalan akışkanın genleşmesi nedeniyle kompresörlerde ölü hacmin ayrı bir yeri ve ayrı bir önemi vardır. Bunun için ölü hacme sahip bulunan tek etkili ve tek silindirli bir kompresöre ait Watt diyagramının oluşumunu da açıklayacağız.

(Şekil-2.2)'de, ölü hacme sahip bulunan tek etkili bir kompresöre ait kuramsal Watt diyagramı görülmektedir. Bu diyagramda (AB) doğrusu emme sürecini, (BC) eğrisi sıkıştırma sürecini, (CD) doğrusu basma sürecini ve (DA) eğrisi de

basma süreci sonunda ölü hacmin içeriği akışkanın genleşme sürecini ifade eder. Zararlı uzaklığın bulunmadığı, varsayılan kompresörde, bilindiği gibi, sıkıştırma sürecinin başındaki hacim silindreye eşittir. Halbuki ölü hacme sahip kom-



Şekil-2.2 Ölü Hacme Sahip Bulunan Tek Etkili Bir Kompresöre Ait Kuramsal Watt Diyagramı

resörde sıkıştırma sürecinin başındaki hacim silindreden daha büyktür. Silindre (V_s) ve sıkıştırma sürecinin başındaki hacimde (V_1) oljuna göre,

$$V_1 = V_s (1 + \epsilon)$$

eşitliği yazılabilir. Bu kompresörlerde basma, üst ölü noktayı karşılayan (D) noktası ile sınırlanmıştır. Basma sürecinin sonunda basma klapesi kapanır ve piston üst ölü noktadan alt ölü noktaya gelirken ölü hacimde kalan akışkan genleşir. Genleşme süreci, basınç emme basıncına düşünceye dek sürer. Basınç emme basıncına düşünce genleşme süreci son bulur. Bu durumda emme klapesi açılır silindirin içérisine akışkan dolmağa başlar. (DA) genleşme süreci sonunda silindirin içerisinde bulunan akışkanın ağırlığını

(G_1) ve (BC) basma süreci sonunda silindirin içerisinde bulunan akışkanın ağırlığını da (G_2) ile gösterelim. Buna göre, ölü hacme sahip bulunan tek etkili kompresörde diyagram alanına eşdeğer endike iş, sıkıştırma ve genleşme izoterm olduğu zaman

$$W_T = (G_1 - G_2) P_1 V_1 \ln \left(\frac{P_2}{P_1} \right)$$

eşitliğinden, adiyabatik olduğu zaman

$$W_S = (G_1 - G_2) \cdot \frac{\gamma}{\gamma-1} \cdot P_1 V_1 \left[\left(\frac{P_2}{P_1} \right)^{\frac{1}{\gamma}} - 1 \right]$$

eşitliğinden ve politropik olduğu zaman da

$$W_K = (G_1 - G_2) \cdot \frac{k}{k-1} \cdot P_1 V_1 \left[\left(\frac{P_2}{P_1} \right)^{\frac{1}{k}} - 1 \right]$$

eşitliğinden yararlanılarak bulunur.

Güçün hesabı, endike işin hesabına bağlıdır. Endike iş hesaplandıktan sonra gücü hesaplamak kolaylaşır. Güçün hesaplanması için kompresörde anamlin devir sayısı ile silindir sayısının bilinmesi de gereklidir. Anamlin devir sayısını (n), silindir sayısını da (a) ile gösterecek olursak kompresörün kuramsal gücünü (Beygir gücü) olarak

$$N = \frac{W \cdot n \cdot a}{60 \cdot 70}$$

eşitliğinden yararlanarak hesaplayabiliriz. Ancak bu eşitlikte (W) yerine, sıkıştırma ve genleşme izoterm olduğu zaman (W_T), adiyabatik olduğu zaman (W_S) ve politropik olduğu zaman da (W_K) koymak zorunluluğu vardır. Aynı verilere sahip çift etkili bir kompresörün gücünü hesaplamak için bu değerleri (2) ile çarpmak gereklidir.

1. UYGULAMA

Bir kompresörde silindre ($V_s = 12 \text{ dm}^3$), oran etkeni ($\epsilon = 0,05$) ve anamili devir sayısı da ($n = 120 \text{ dev/dak}$)dır. Emme atmosferik basınçta ve (17°C) sıcaklıkta, basma ($8,5 \cdot 10^4 \text{ kg/m}^2$) basınçta ve (227°C) sıcaklıkta yapılmaktadır. Bu kompresör tek silindirli ve tek etkilidir. Akişkan hava olduğuna göre, sıkıştırma ve genleşmenin politropik olduğunu varsayıarak kompresörün kuramsal gücünü hesaplayalım.

Kompresörün kuramsal gücünü bulmak için

$$N_k = \frac{W_k \cdot n \cdot a}{60 \cdot 75}$$

eşitliğinden yararlanacağız. Kompresörde sıkıştırma ve genleşme politropiktir. Bu nedenle önce politropik katsayıyı bulmak gereklidir. Politropik katsayı da

$$\frac{T_1}{T_2} = \left(\frac{P_1}{P_2} \right)^{\frac{1}{k}}$$

olduğu için

$$k = \frac{\ln \left(\frac{P_2}{P_1} \right)}{\ln \left(\frac{P_2}{P_1} \right) - \ln \left(\frac{T_2}{T_1} \right)}$$

eşitliğinden yararlanılarak bulunabilir.

$$P_1 = P_{atm} = 10^0 \text{ kg/m}^2$$

$$P_2 = 8,5 \cdot 10^4 \text{ kg/m}^2$$

$$t_1 = 17^\circ\text{C}$$

$$T_1 = 273 + t_1 = 273 + 17 = 290 \text{ K}$$

$$T_2 = 500 \text{ K}$$

olarak verildiğine göre,

$$k = \frac{\ln \left(\frac{P_2}{P_1} \right)}{\ln \left(\frac{P_2}{P_1} \right) - \ln \left(\frac{T_2}{T_1} \right)} = \frac{\ln \left(\frac{8,5 \cdot 10^4}{10^0} \right)}{\ln \left(\frac{8,5 \cdot 10^4}{10^0} \right) - \ln \left(\frac{500}{290} \right)} = 1,238$$

$$k = 1,238$$

olur. Bundan sonra sıkıştırma sürecinin başında silindirin içerisinde bulunan akışkanın ağırlığı ile basma sürecinin sonunda silindirin içerisinde bulunan akışkanın ağırlığını hesaplamak zorunluluğu vardır. Sıkıştırma sürecinin başında silindirin içerisinde bulunan akışkanın ağırlığı ile basma sürecinin sonunda silindirin içerisinde bulunan akışkanın ağırlığı Genel Gáz Kanunundan yararlanılarak bulunur. Genel Gáz Kanunu uyarınca

$$P_1 V_1 = G_1 R T_1$$

$$P_2 V_2 = G_2 R T_2$$

eşitliklerini yazabilirmiz.

$$V_s = 12 \text{ dm}^3 = 12 \cdot 10^{-3} \text{ m}^3$$

ve

$$\epsilon = 0,05$$

olarak verilmiştir.

$$V_1 = V_s (1 + \epsilon)$$

ve

$$V_2 = \epsilon V_s$$

olduğu için

80

$$V_1 = V_S(1 + \varepsilon) = 12 \cdot (1 + 0,05) = 12,6 \text{ dm}^3 = 12,6 \cdot 10^{-3} \text{ m}^3$$

$$V_1 = 12,6 \cdot 10^{-3} \text{ m}^3$$

ve

$$V_2 = \varepsilon V_S = 0,05 \cdot 12 = 0,6 \text{ dm}^3 = 0,6 \cdot 10^{-3} \text{ m}^3$$

$$V_2 = 0,6 \cdot 10^{-3} \text{ m}^3$$

bulunur. Havanın gaz sabiti, biliindiği gibi, ($29,4 \text{ kgm/kg} \cdot {}^\circ\text{K}$) dir. Bunları

$$P_1 V_1 = G_1 R T_1$$

ve

$$P_2 V_2 = G_2 R T_2$$

eşitliklerinde yerlerine koyacak olursak

$$G_1 = \frac{P_1 V_1}{R T_1} = \frac{10^4 \cdot 12,6 \cdot 10^{-3}}{29,4 \cdot 290} = 0,0148 \text{ kg}$$

$$G_1 = 0,0148 \text{ kg}$$

ve

$$G_2 = \frac{P_2 V_2}{R T_2} = \frac{8,5 \cdot 10^4 \cdot 0,6 \cdot 10^{-3}}{29,4 \cdot 500} = 0,003475 \text{ kg}$$

$$G_2 = 0,003475 \text{ kg}$$

elde ederiz. Endike işi bulmak için

$$W_k = (G_1 - G_2) \cdot \frac{k}{k-1} P_1 V_1 \left[\left(\frac{P_2}{P_1} \right)^{1-\frac{1}{k}} - 1 \right]$$

eşitliğinden yararlanılır.

$$v_1 = \frac{R T_1}{P_1} = \frac{29,4 \cdot 290}{10^4} = 0,85 \text{ m}^3/\text{kg}$$

$$v_1 = 0,85 \text{ m}^3/\text{kg}$$

olduğu için

$$W_k = (G_1 \cdot G_2) \cdot \frac{k}{k-1} \cdot P_1 v_1 \left[\left(\frac{P_2}{P_1} \right)^{1-\frac{1}{k}} - 1 \right] =$$

$$(0,0148 - 0,003475) \cdot \frac{1,238}{1,238-1} \cdot 10^4 \cdot 0,85 \cdot \left[\left(\frac{8,5 \cdot 10^4}{10^4} \right)^{1-\frac{1}{1,238}} - 1 \right]$$

$$W_k = 254,745 \text{ kgm}$$

elde edilir. Diğer yandan

$$n = 120 \text{ dev/dak}$$

$$a = 1$$

olarak verilmiştir. Bu durumda

$$N_k = \frac{W_k \cdot n \cdot a}{60 \cdot 75} = \frac{254,745 \cdot 120 \cdot 1}{60 \cdot 75} = 6,775 \text{ BG}$$

$$N_k = 6,775 \text{ BG}$$

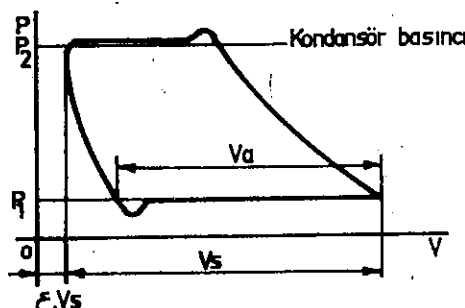
olarak bulunur.

1.a.4) ENDİKATÖR DİYAGRAMI

Ölü hacme sahip bir kompresöre ait endikatör diyagramı kuramsal Watt diyagramından az da olsa farklıdır. Endikatör diyagramının kuramsal Watt diyagramından farklı olmasının nedeni, emme ve basma klapelerinde oluşan yük kayipları ve eylemsizlik kuvvetleri, mekanik sürtünme dirençleri,

sıkıştırma sürecinin sonunda basma klapesi açılması için basıncın basma basıncının üstüne çıkarılması ve genleşme sürecinin sonunda da emme klapesi açılması için basıncın emme basıncının altına düşürülmesi gibi etkenlerdir. (Şekil 2.3)'de, tek etkili ve tek silindirli bir kompresöre ait endikatör diyagramı görülmektedir. Gerçek bir kompresörde piston üst ölü noktaya doğru hareket ederken ölü hacimde bulunan akışkan/genleşmeğa başlar. Genleşme, basınç buharlaştırıcı basıncına düşünceye dek sürer. Emme klapesinin açılması için

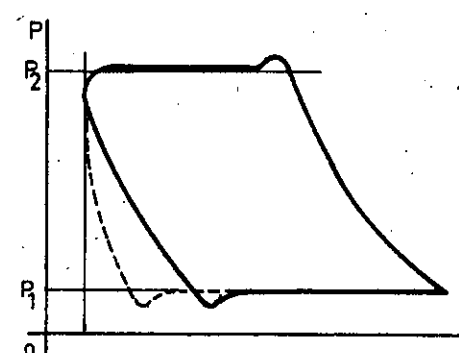
genleşme süreci sonundaki basıncın buharlaştırıcı basıncının altına düşmesi zorunluluğu vardır ve bu genleşme süreci uzatılarak ancak gerçekleştirilebilir. Basınç buharlaştırıcı basıncının altına düşünce emme klapesi açılır, silindirin içersine buharlaştırıcındaki soğutucu akışkan dolar. Piston alt ölü noktaya gelince emme süreci son bulur ve piston bu kez üst ölü noktaya doğru hareketine başlar. Sıkıştırma sürecinin daha başında basınç buharlaştırıcı basıncının üstüne çıktığı için emme klapesi kapanır. Sıkıştırma süreci basıncı kondansör basıncına yükseltmeye dek sürer. Sıkıştırma sürecinin sonunda basınç kondansör basıncına eşit olduğu için basma klapesi açılmaz. Basma klapesinin açılması ancak basma süreci sonundaki basınç kondansör basıncının üzerine çıkarılarak gerçekleştirilebilir. Bunun için basma sürecini uzatmak zorunluluğu ile karşılaşılır. Ölü hacmin büyük olması, emme ve basma klapelerinin güç açılıp kapanması gibi teknolojik yetersizlikler ve yapım hataları komprasyon gücünde ve buna bağlı olarak endikatör diyagramının oluşumuna olumsuz yönde



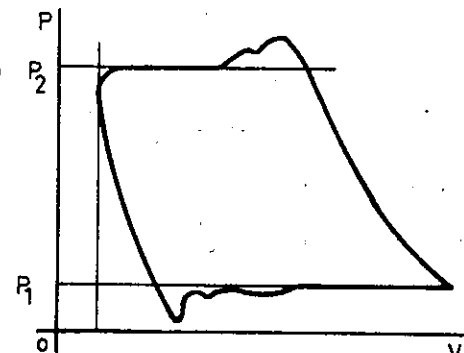
Şekil-2.3 Tek Etkili ve Tek Silindirli Bir Kompresöre Ait Endikatör Diyagramı

ton alt ölü noktaya gelince emme süreci son bulur ve piston bu kez üst ölü noktaya doğru hareketine başlar. Sıkıştırma sürecinin daha başında basınç buharlaştırıcı basıncının üstüne çıktığı için emme klapesi kapanır. Sıkıştırma süreci basıncı kondansör basıncına yükseltmeye dek sürer. Sıkıştırma sürecinin sonunda basınç kondansör basıncına eşit olduğu için basma klapesi açılmaz. Basma klapesinin açılması ancak basma süreci sonundaki basınç kondansör basıncının üzerine çıkarılarak gerçekleştirilebilir. Bunun için basma sürecini uzatmak zorunluluğu ile karşılaşılır. Ölü hacmin büyük olması, emme ve basma klapelerinin güç açılıp kapanması gibi teknolojik yetersizlikler ve yapım hataları komprasyon gücünde ve buna bağlı olarak endikatör diyagramının oluşumuna olumsuz yönde

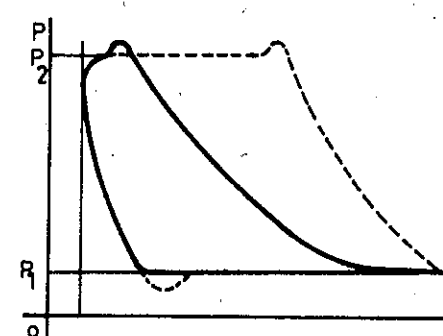
etkiler. Aşağıdaki şekillerde, teknolojik yetersizliklerin ve yapım hatalarının bulunduğu tek etkili ve tek silindirli kompresörlere ait endikatör diyagramları görülmektedir.



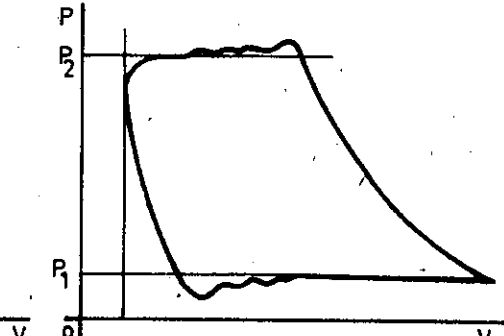
Şekil-2.4 Büyük Ölü Hacme Sahip Bir Kompresöre Ait Endikatör Diyagramı



Şekil-2.5 Emme ve Basma Klapeleri Çok Güç Açılıp Kapanan Bir Kompresöre Ait Endikatör Diyagramı



Şekil-2.6 Emme Klapesi Geç Kapanan Bir Kompresöre Ait Endikatör Diyagramı



Şekil-2.7 Klapе Yayahı Yeterli Olanmayan Bir Kompresöre Ait Endikatör Diyagramı

2. UYGULAMA

Buharlaştırıcı sıcaklığı (-10°C), kondansör sıcaklığı da ($+25^{\circ}\text{C}$) olan bir soğutma devresi oluşturulacaktır. Bu soğutma devresinde silindresi (8 dm^3), anamilinin devir sayısı ($n = 120 \text{ dev/dak}$), oran etkeni de ($\epsilon = 0,05$) olan tek etkili ve silindirli bir kompresör kullanılacaktır. Soğutucu akışkan olarak amonyaktan yararlanması düşünüldüğüne göre, pratik kompresör kapasitesi ile kuramsal kompresör gücünü hesaplayalım.

Kompresör kapasitesini bulmak için önce amonyağın buharlaştırıcı ve kondansör koşullarında durumunu belirlemek gereklidir.

1.5 Numaralı çizelgeden yararlanarak amonyağın buharlaştırıcı koşullarında doygunluk sıcaklığını ($t_1 = -10^{\circ}\text{C}$), doygunluk basıncını ($P_1 = 2,97 \cdot 10^4 \text{ kg/m}^2$), özgül hacmini ($v_1 = 0,418 \text{ m}^3/\text{kg}$), buhar antalpisini ($h'' = 398,7 \text{ kcal/kg}$) ve kondansör koşullarında da doygunluk sıcaklığını ($t_2 = 25^{\circ}\text{C}$), doygunluk basıncını ($P_2 = 10,22 \cdot 10 \text{ kg/m}^2$), sıvı antalpisini ($h' = 128,1 \text{ kcal/kg}$) olarak belirleyebiliriz.

Amonyağın soğutma kapasitesini bulmak için soğutulan ortamdan çekilen ısı miktarını bulmak zorunluluğu vardır. Soğutulan ortamdan çekilen ısı miktarı buharlaştırıcı koşullarındaki buhar antalpisinden kondansör koşullarındaki sıvı antalpisi çıkarılarak bulunur.

$$h'' = 398,7 \text{ kcal/kg}$$

ve

$$h' = 128,1 \text{ kcal/kg}$$

olarak belirlendiği için soğutulan ortamdan çekilen ısı miktarı

$$h'' - h' = 398,7 - 128,1 = 270,6 \text{ kcal/kg}$$

$$h'' - h' = 270,6 \text{ kcal/kg}$$

olur. Akışkanın soğutma kapasitesini bulmak için buharlaştırıcı koşullarında amonyağın özgül ağırlığı ile soğutulan ortamdan çekilen ısı miktarını çarpmak gereklidir. Buharlaştırıcı koşullarında amonyağın özgül ağırlığını (γ_{m1}) ile gösterelim. (v_1) özgül hacim olduğuna göre,

$$\gamma_{m1} = \frac{1}{v_1}$$

eşitliğini yazabilirim. Diğer yandan

$$v_1 = 0,418 \text{ m}^3/\text{kg}$$

olduğu için

$$\gamma_{m1} = \frac{1}{v_1} = \frac{1}{0,418} = 2,39 \text{ kg/m}^3$$

$$\gamma_{m1} = 2,39 \text{ kg/m}^3$$

bulunur. Yukarıda yapmış olduğumuz açıklama uyarınca (q), (kcal/m^3) olarak amonyağın soğutma kapasitesi olduğuna göre,

$$q = \gamma_{m1}(h'' - h')$$

eşitliğini yazmak mümkün olur. Bu eşitlikte (γ_{m1}) ile ($h'' - h'$) in değerlerini yerlerine koyacak olursak

$$q = \gamma_{m1}(h'' - h') = 2,39 \cdot 270,6 = 650 \text{ kcal/m}^3$$

$$q = 650 \text{ kcal/m}^3$$

elde ederiz.

Gerçek Kompresör kapasitesi, bilindiği gibi,

$$Q_G = 60 \cdot v_s \cdot q \cdot a \cdot n \cdot \lambda$$

eşitliğinden yararlanılarak hesaplanabilir. Bu eşitlikte yer alan (λ) yükleme derecesidir ve yükleme derecesini bulmak için

de önce gerçek emme hacmini bulmak gereklidir. Gerçek emme hacmi, sıkıştırma süreci başındaki hacimle genleşme süreci sonundaki hacim arasındaki farka eşittir. Sıkıştırma süreci başındaki hacmi bulmak için

$$V_1 = V_s(1 + \epsilon)$$

eşitliğinden yararlanılır.

$$V_s = 8 \text{ dm}^3 = 8 \cdot 10^{-3} \text{ m}^3$$

$$\epsilon = 0,05$$

olarak verilmiştir. Bu nedenle

$$V_1 = V_s(1 + \epsilon) = 8 \cdot 10^{-3}(1 + 0,05) = 8,4 \cdot 10^{-3} \text{ m}^3$$

$$V_1 = 8,4 \cdot 10^{-3} \text{ m}^3$$

olur. Diğer yandan

$$P_1 = 2,97 \cdot 10^4 \text{ kg/m}^2$$

$$P_2 = 10,22 \cdot 10^4 \text{ kg/m}^2$$

$$t_1 = -10^\circ\text{C}$$

$$T_1 = 273 + t_1 = 273 - 10 = 263^\circ\text{K}$$

$$T_1 = 263^\circ\text{K}$$

$$t_2 = 25^\circ\text{C}$$

$$T_2 = 273 + t_2 = 273 + 25 = 298^\circ\text{K}$$

$$T_2 = 298^\circ\text{K}$$

olduğu için politropik katsayı

$$k = \frac{\ln(\frac{P_2}{P_1})}{\ln(\frac{P_2}{P_1}) - \ln(\frac{T_2}{T_1})} = \frac{\ln(\frac{10,22 \cdot 10^4}{2,97 \cdot 10^4})}{\ln(\frac{10,22 \cdot 10^4}{2,97 \cdot 10^4}) - \ln(\frac{288}{263})} = 1,13$$

$$k = 1,13$$

olarak bulunur. Politropik genleşmede basınç ve hacim arasındaki ilişki, bilindiği gibi,

$$P_1 V_A^k = P_2 V_D^k$$

eşitliği ile ifade edilir. (V_D) genleşme sürecinin başında-ki ya da basma sürecinin sonundaki hacimdir. Genleşme sürecinin başında-ki ya da basma sürecinin sonundaki hacim ölü hacme eşittir. Bu durumda

$$V_D = V_2 = \epsilon \cdot V_s = 0,05 \cdot 8 \cdot 10^{-3} = 0,4 \cdot 10^{-3} \text{ m}^3$$

$$V_D = 0,4 \cdot 10^{-3} \text{ m}^3$$

olur ve

$$P_1 V_A^k = P_2 V_D^k$$

olduğu için

$$V_A = V_D \left(\frac{P_2}{P_1} \right)^{1/k} = 0,4 \cdot 10^{-3} \left(\frac{10,22 \cdot 10^4}{2,97 \cdot 10^4} \right)^{1/1,13} = 1,208 \cdot 10^{-3} \text{ m}^3$$

$$V_A = 1,208 \cdot 10^{-3} \text{ m}^3$$

olarak bulunur. Gerçek emme hacmini, daha önce olduğu gibi, (V) ile gösterecek olursak

$$V = V_1 - V_A$$

eşitliğini yazabiliriz.

$$V_1 = 8,4 \cdot 10^{-3} \text{ m}^3$$

$$V_A = 1,208 \cdot 10^{-3} \text{ m}^3$$

olduğu için

$$V = V_1 - V_A = 8,4 \cdot 10^{-3} - 1,208 \cdot 10^{-3} = 7,192 \cdot 10^{-3} \text{ m}^3$$

$$V = 7,192 \cdot 10^{-3} \text{ m}^3$$

olur ve

$$\lambda = \frac{V}{V_s} = \frac{7,192 \cdot 10^{-3}}{8 \cdot 10^{-3}} = 0,898$$

$$\lambda = 0,898$$

bulunur.

$$n = 120 \text{ dev/dak}$$

ve

$$a = 1$$

olarak verilmiştir.

$$Q_G = 60 \cdot V_s \cdot g \cdot a \cdot n \cdot \lambda$$

eşitliğinde, (g) ve (λ)'nın bulmuş olduğumuz değerleri ile (V_s), (a) ve (n)'nin verilmiş olan değerlerini yerlerine koyacak olursak

$$Q_G = 60 \cdot V_s \cdot g \cdot a \cdot n \cdot \lambda = 60 \cdot 8 \cdot 10^{-3} \cdot 650 \cdot 1 \cdot 120 \cdot 0,898 \approx 33622 \text{ kcal/saat}$$

$$Q_G = 33622 \text{ kcal/saat}$$

elde ederiz.

Kuramsal kompresör gücü,

$$N_k = \frac{W_k \cdot a \cdot n}{60 \cdot 75}$$

eşitliğinden yararlanılarak hesaplanır. Ancak bunun için

Önce, sıkıştırma ve genleşme politropik olduğuna göre endike işi bulmak gereklidir. Endike işi bulmak için bilindiği gibi,

$$W_k = (G_1 - G_2) \frac{k}{k-1} P_1 V_2 \left[\left(\frac{P_2}{P_1} \right)^{\frac{1}{k-1}} - 1 \right]$$

eşitliğinden yararlanılır. Ancak daha önce sıkıştırma sürecinin başında ve basma sürecinin sonunda silindirin içerisinde bulunan soğutucu akışkanın ağırlığını bulmak zorunluluğu vardır. Sıkıştırma sürecinin başında ve basma sürecinin sonunda silindirin içerisinde bulunan soğutucu akışkanın ağırlığını bulmak için Genel Gaz Kanunu uyarınca yazılabilcek

$$P_1 V_1 = G_1 R T_1$$

$$P_2 V_2 = G_2 R T_2$$

eşitliklerinden yararlanılır. Bu eşitliklerde yer alan (R), amonyağın gaz sabitidir. Universel gaz sibiti ($R_u = 0,848 \text{ kgm/mol.}^\circ\text{K}$) ve amonyağın molar ağırlığı da ($G_m = 17 \cdot 10^{-3} \text{ kg/mol}$) olduğuna göre, gaz sabiti

$$R = \frac{R_u}{G_m} = \frac{0,848 \text{ kgm/mol.}^\circ\text{K}}{17 \cdot 10^{-3} \text{ kg/mol}} \approx 49,9 \text{ kgm/kg.}^\circ\text{K}$$

$$R = 49,9 \text{ kgm/kg.}^\circ\text{K}$$

olarak bulunur. Diğer yandan

$$P_1 V_1 = G_1 R T_1$$

$$P_2 V_2 = G_2 R T_2$$

$$V_2 = V_B$$

$$V_2 = V_D$$

olduğu için

$$G_1 = \frac{P_1 V_1}{R T_1} = \frac{2,97 \cdot 10^4 \cdot 8,4 \cdot 10^{-3}}{49,9 \cdot 263} = 0,0191 \text{ kg}$$

$$G_1 = 0,0191 \text{ kg}$$

ve

$$G_2 = \frac{P_2 V_2}{R T_2} = \frac{10,22 \cdot 10^4 \cdot 0,4 \cdot 10^{-3}}{49,9 \cdot 288} = 0,00285 \text{ kg}$$

$$G_2 = 0,00285 \text{ kg}$$

olur. Şimdi

$$W_k = (G_1 - G_2) \cdot \frac{k}{k-1} \cdot P_1 V_1 \left[\left(\frac{P_2}{P_1} \right)^{\frac{1}{k-1}} - 1 \right]$$

eşitliğinde (G_1), (G_2), (k), (P_1), (P_2) ve (V_1)'in değerlerini yerlerine koyalım. Bu durumda

$$W_k = (0,0191 - 0,00285) \cdot \frac{1,13}{1,13-1} \cdot 2,97 \cdot 10^4 \cdot 0,418 \cdot \left[\left(\frac{10,22 \cdot 10^4}{2,97 \cdot 10^4} \right)^{\frac{1}{1,13-1}} - 1 \right] \# 89,5 \text{ kgm}$$

$$W_k = 89,5 \text{ kgm}$$

olur ve

$$N_k = \frac{W_k \cdot a \cdot n}{60 \cdot 75}$$

olduğu için

$$N_k = \frac{89,5 \cdot 1 \cdot 120}{60 \cdot 70} \# 2,39 \text{ BG}$$

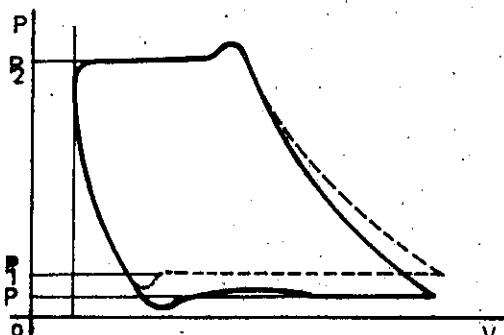
$$N_k = 2,39 \text{ BG}$$

olarak bulunur.

1.a.5) KOMPRESÖR KAPASİTESİNİN DÜZENLENMESİ

Soğutma tesisleri, bilindiği gibi, önceden saptanan kapasite için hesaplanır. Soğukluk gereksinmesi arttıkça soğutma tesisini büyütmek gereklidir. Bu arada hemen belirtelim ki, çok düşük ortam sıcaklığını da göz önünde bulundurmak zorunluluğu vardır. Isı, daima, yüksek sıcaklıktaki bir ortamdan düşük sıcaklıktaki bir ortama akar. Soğuk ortamla çevre arasındaki sıcaklık farkı ne kadar büyük olursa ısı alış-verisi de o kadar büyük olur. Soğuk ortama soğutulmak üzere konulan besin maddeleri, soğuk ortamla çevre arasındaki sıcaklık farkının azalmasına neden olur. Genellikle, soğuk ortama yerleştirilen besin maddelerinin sıcaklığı istenilen sıcaklığa 24 ya da 36 saatte düşürüleceğini gibi, soğutma tesisinin kapasitesi büyük tutulur. Soğutma devresindeki nem, kompresör kapasitesine olumsuz yönde etkiledir. Soğutma devresindeki nemin kompresör kapasitesine olumsuz yönde etkimesi güç kaybına ve soğutma maliyetinin yükselmesine neden olur. Kompresör kapasitesinin düzenlenerek soğutma maliyetinin düşürülmesinde baş vurulan birçok yöntem vardır. Biz bu yöntemlerden uygulama değeri yüksek olanlar üzerinde duracağız.

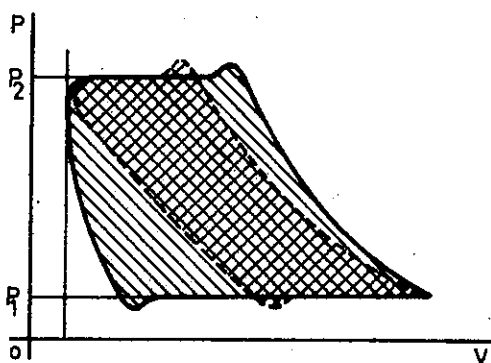
Kompresör kapasitesinin düzenlenmesinde izlenilen en önemli yöntem, emme sürecinde kompresörün silindirine dolan soğutucu akışkanın miktarını regülatör ventil aracılığı ile azaltmaktadır. Emme sürecinde kompresörün silindiri içerisinde giren soğutucu akışkanın miktarı regülatör ventil aracılığı ile azaltılırsa emme basıncı düşer. Emme basıncının düşmesi genleşme süreci sonundaki hacmin büyümeye ve gerçek emme hacminin de küçülmesine neden olur. Gerçek emme hacmi küçülünce kompresör kapasitesi azalır. (Şekil-2.8)'de, regülatör ventil aracılığı ile emme sürecinde silindir içerisinde gönderilen soğutucu akışkanın miktarı azaltılarak kapasitesi düşürülen bir kompresöre ait endikatör diyagramı görülmektedir.



Şekil-2.8

Kompresör kapasitesinin düzenlenmesinde başvurulan ikinci yöntem silindire bir kamara ekleyerek ölü hacmi artırmaktır. Ölü hacim arttırlınca genleşme süreci sonundaki hacim de artar. Genleşme süreci sonundaki hacmin artması gerçek emme hacminin azalmasına ve diyagram alanının küçülmesine neden olur. Bu yöntemle kompresör kapasitesini (≈ 50) oranında azaltmak mümkündür. (Şekil-2.9)'da, silindirine bir kamara eklenerek ölü hacmi arttırılan bir kompresöre ait endikatör diyagramı görülmektedir.

Üçüncü yöntem çok silindirli kompresör kullanmak esasına dayanır. Çok silindirli kompresörden yararlanıldığı zaman kapasiteyi düşürmek için ya silindirlerden biri devreden çıkarılır ya da silindirlerin ölü hacimleri arasında bağlantı kurulur.



Şekil-2.9

Üçüncü yöntem çok silindirli kompresör kullanmak esasına dayanır. Çok silindirli kompresörden yararlanıldığı zaman kapasiteyi düşürmek için ya silindirlerden biri devreden çıkarılır ya da silindirlerin ölü hacimleri arasında bağlantı kurulur.

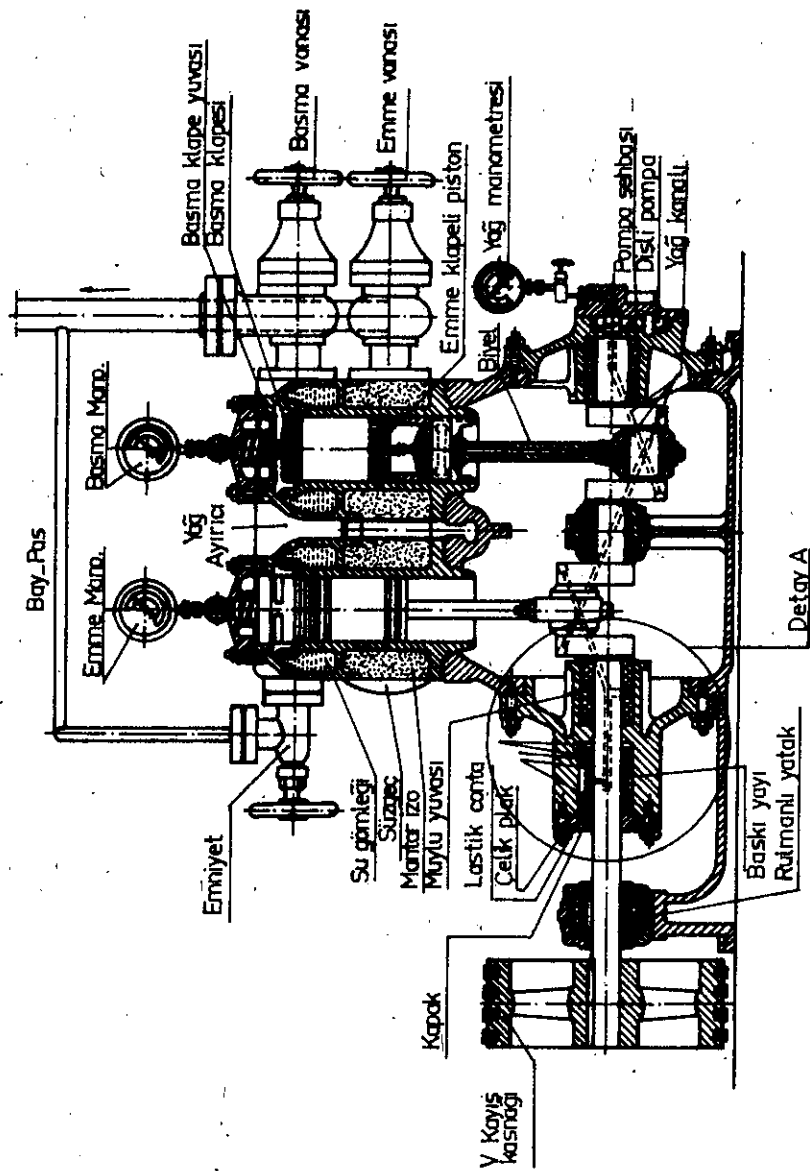
Kompröser kapasitesinin düzenlenmesinde izlenilen dördüncü yöntem oldukça ilginçtir. Bu yöntemde emme sürecinin sonunda emme klapesi hemen kapanmaz, sıkıştırma süreci başladıkten sonra bir süre açık tutulur. Sıkıştırma süreci başladıkten sonra bir süre emme klapesinin açık tutulması soğutucu akışkanın bir bölümünün emme hattına basılmasına neden olur. Soğutucu akışkanın bir bölümün emme hattına basıldığı için kompresör kapasitesi düşer. Bu yöntemin uygulanabilmesi emme klapesinin silindir kapağı üzerinde bulunmasını gerektirir. Emme klapesi piston üzerinde bulunan eşit akımlı kompröserlerde emme klapesinin kapanmasını geciktirmek olanaksızdır.

Beşinci yöntem birinci yöntemi anımsatan bir kompresör kapasitesi düzenleme yöntemidir. Bu yöntemde regulatör ventil yerine emme hattı üzerine yerleştirilen bir musluk elle açılıp kapatılarak emme sürecinde silindirin içeresine dolan soğutucu akışkanın miktarı ayarlanır.

Altıncı yöntem kolay olan bir yöntemdir. Bu yöntemde anamolinin devir sayısı düşürülür. Anamolinin devir sayısının düşürülmesinde çogu zaman kayış ve kademeli kasnak düzenlemelerinden yararlanılır.

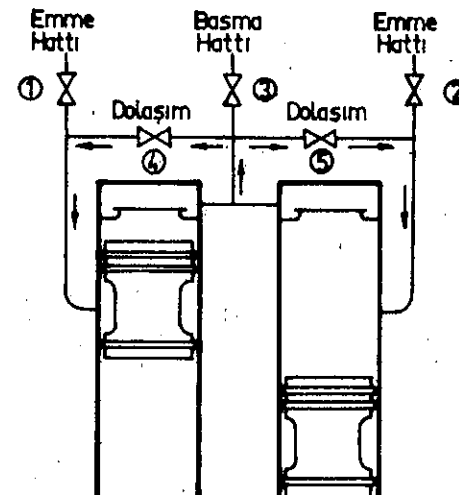
1.a.6) Kompresörün ana elemanları

(Şekil-2.10)'da, dik konumda çift silindirli bir kompresör görülmektedir. Silindirlerin kapasitesi aynı değere sahiptir. Uygulama alanında kapasitesi (300 000 kcal/saat) olan çift silindirli kompresörlerle de karşılaşılmaktadır. Çift silindirli kompresörlerde silindirlerden birini devreden çıkararak kapasiteyi (≈ 50) ve silindirlerin ölü hacimleri arasında bağlantı kurarak kapasiteyi (≈ 25) ve (≈ 75) arasında azaltmak mümkündür. Bir kompresörün ana elemanlarını şöyle sıralayabiliriz:



Şekil-2.10

- 1^o) Silindir,
- 2^o) Karter,
- 3^o) Piston, piston kolu, kranc mili, kasnak,
- 4^o) Emme ve basma klapeleri,
- 5^o) Kesici elemanlar (Ventiller)

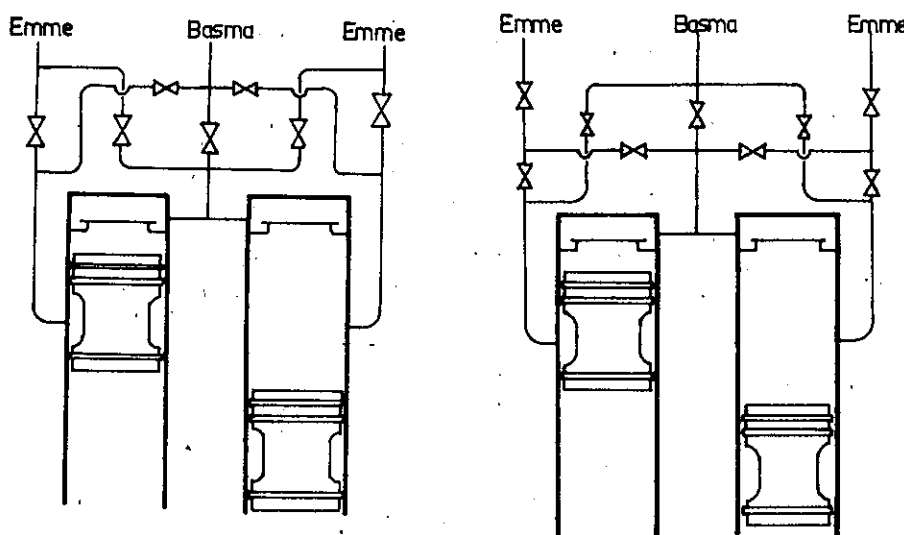


Şekil-2.11

Çift silindirli kompresörlerin çoğu zaman dolaşım hattı ile donatılması gereklidir. Dolaşım hattının işlevi, emme ve basma hatları arasında bağlantı kurarak kompresörün boşta çalışmasını sağlamaktır.

(Şekil-2.11)'de, çift silindirli bir kompresörde, emme ve basma hatları arasında dıştan bağlantı kurulan bir dolaşım hattının şeması görülmektedir. Emme ve basma hatları ile dolaşım hattı üzerinde ventiller vardır. Emme ve basma hatları üzerindeki ventillerin işlevi kompresörün buharlaştırıcı ve kondansör ile bağlantısını kesmek dolaşım hattı üzerindeki ventillerin işlevi de emme ve basma hatları arasında bağlantı kurarak dolasımı sağlamaktır. Emme ve basma hatları üzerindeki ventiller kapatılır, dolaşım hattı üzerindeki ventiller de açılırsa kompresör boşta çalışma konumuna girer. Boşta çalışma konumunda sıcaklık çok yükselir.

Bazan buharlaştıricının karlarının eritilmesi yani DEFROST için devrede soğutucu akışkanın akış yönünün tersine çevrilmesi ve kondansörün vakuma alınması zorunluluğu ortaya çıkar. Bu durumda (Şekil-2.12)'de görülen çapraz hatlardan yararlanılır. Bu hatlar, emme ve basma hatlarında emme ve basma ventillerinin altında ve üstünde kalan kesimler arasında çaprazlamasına bir bağlantı kurulmasını sağlar. Emme ve basma ventilleri kapatılır, çapraz hatlar üzerindeki ventiller de açılırsa emme hattı basma hattına, basma hattı da emme hattına dönüşür ve soğutucu akışkanın soğutma devresinde akış yönü değişmiş olur. (Şekil-2.13)'de aynı zamanda dolaşım devresi olarak yararlanılan çapraz hattın değişik bir varyantı görülmektedir.



Şekil-2.12 Soğutma Devresinde Soğutucu Akişkanın Akış Yönü Değiştirilmesinde Kullanılan Çapraz Hat

Şekil-2.13 Soğutma Devresinde Soğutucu Akişkanın Akış Yönü Değiştirilmesinde Kullanılan ve Kendisinden Dolaşım Devresi Olarak da Yararlanılan Çapraz Hattın Değişik Bir Varyantı

1.a.6.a) Emme Filtresi

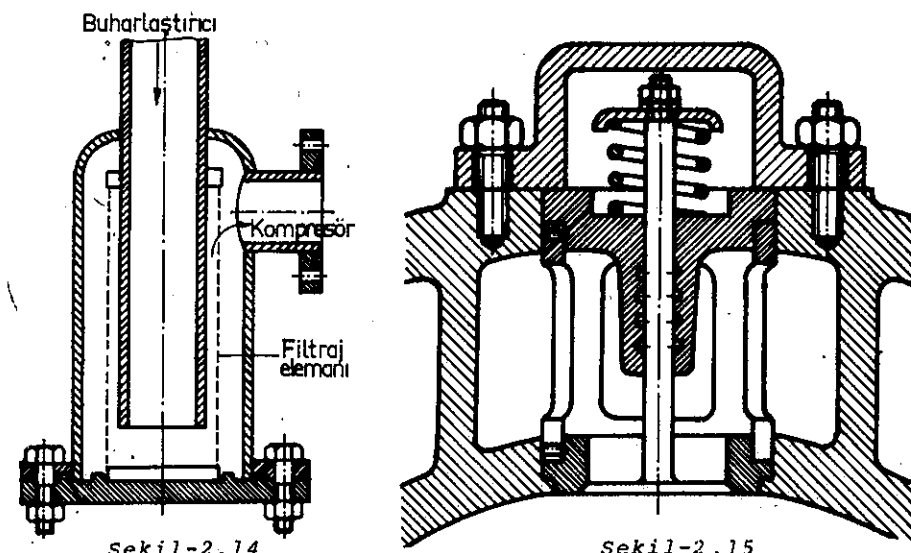
Emme hattı üzerine monte edilen emme滤resinin işlevi buharlaştıricıdan gelen soğutucu akışkanı soğutma devresine zararlı olabilecek yabancı maddelerden arındırmaktır. (Şekil-2.14)'de, emme hattı üzerine monte edilebilen böyle bir filtre görülmektedir. Yapılan deneysel araştırmalar sonunda filtraj elemanın ilk (50 saatte) değiştirilmesi zorunluluğu ortaya çıkmıştır.

1.a.6.b) Klapeler

Klapeleri, gerçekte, bir kompresörün en önemli parçaları arasında saymak gereklidir. Kompresörün düzenli çalışması için klapelerin işlevlerini eksiksiz yerine getirmesi zorunluluğu vardır. Klapelerin açılıp kapanması iki yüzü arasındaki basınç farkından ötürü kendiliğinden gerçekleşir.

1.a.6.b.1) Saplı Klapeler

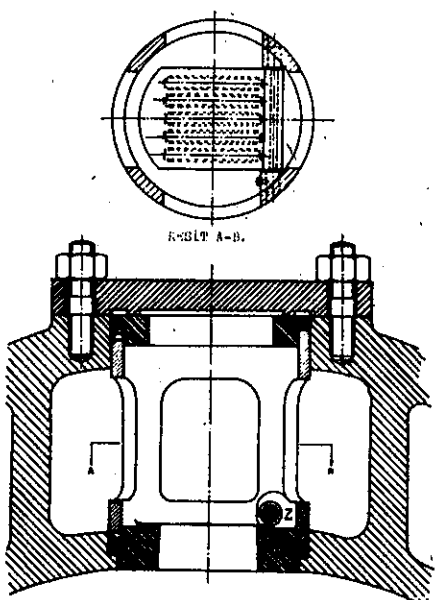
İlkel buhar makinalarında kullanılan klapelere çok benzeyen saplı klapelerin ilginç bir örneği (Şekil-2.15)'de görülmektedir. Klapenin taç adı verilen bölüm konik yapıdır.



Bunun nedeni klapenin klapa yuvasına iyice oturmasını sağlamaktır. Ayrıca pistonun geri dönüşe geçtiği anda klapenin kapanması için klapa sap tarafına yerleştirilen bir helisel yayla dengelenir.

1.a.6.b.2) Sipiral Yay Klapeler

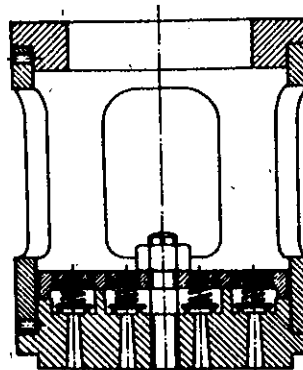
(Şekil-2.16)'da, bir sipiral yay klapa görülmektedir. Bu klapa, bir çelik plakanın bir ucu zemberek yani sıpiral yay şekline getirilerek yapılır. Sipiral klapenin kolay açılıp kapanmasına karşın açılma yüksekliğinin azlığı ve hem yay hem de klapa olarak işlevini sürdürmesi sakincalı yanını oluşturur. Sipiral yay klapelerden genellikle, kapasitesi 300 kcal/saat arasında değişen kompresörlerde yararlanılır.



Şekil-2.16 Sipiral yay klapa

1.a.6.b.3) Hörbiger Klapesi

(Şekil-2.17)'de, Hörbiger klapesi görülmektedir. Hörbiger klapesi, bir helisel yayla bu helisel yayın dengelediği küçük bir dairesel plakadan oluşmuştur. Bu klapa, sıpiral



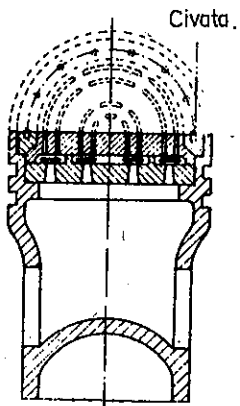
Şekil-2.17 Hörbiger Klapesi

1.a.6.b.4) Düşey tip eşit akımlı kompresörlerde kullanılan klapeler

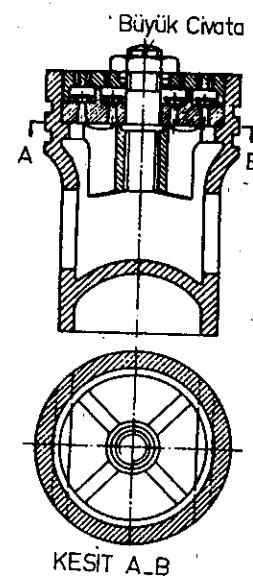
Düşey tip eşit akımlı kompresörlerde emme klapeleri piston üzerine yerleştirilir. Bunun nedeni, emme sürecinde, pistonun etkin yüzüne dağılmış menfezlerden silindir içeresine soğutucu akışkanın girmesini sağlamaktır. (Şekil-2.18)'de, küçük tip kompresörlerde ve (Şekil-2.19)'da da büyük tip kompresörlerde piston üzerine yerleştirilmiş olan emme klapeleri görülmektedir. Pul şeklindeki bu klapeler, klapa boşluğunda, uzunluk ekseni doğrultusunda rahatça hareket ederek emme menfezlerinin sıkıştırma sürecinde kapanmasını ve emme sürecinde açılmasını sağlarlar.

1.a.6.b.5) Basma Klapeleri

Basma klapeleri, özde emme klapelerinden pek farklı değildir. Ancak basma klapelerinin açılıp kapanma yönleri



Şekil-2.18 Küçük Tip Kompresörlerde Piston Üzerine Yerleştirilmiş Olan Emme Klapeleri



Şekil-2.19 Büyük Tip Kompresörlerde Piston Üzerine Yerleştirilmiş Olan Emme Klapeleri

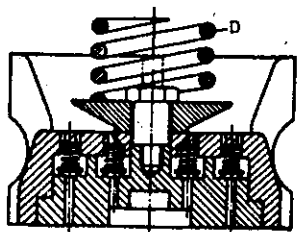
emmeye klapelerinin açılıp kapanma yönlerine terstir. (Şekil-2.20)'de, silindir kapağında, kafes adı verilen klapa yuvasına yerleştirilmiş basma klapeleri görülmektedir. Basma

klapeleri, basma süreci sonunda basma menfezlerinin hemen kapanması için helisel yayla dengeleñirler.

1.b) Kondansörler

1.b.1) Kondansörlerin Tanımı ve Çeşitleri

Kompresör tarafından sıkıştırılarak basıncı ve sıcaklığı yükseltilmiş olan soğutucu



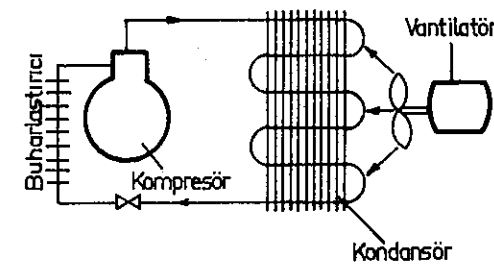
Şekil-2.20

akışından bu basınç ve sıcaklıkta ısı alarak yoğunlaşmasını yani sıvı hale gelmesini sağlayan cihazlara kondansör denir. Kondansör soğutma devresinin yüksek basınç kanadında bulunur. Uygulama alanında, soğutma devrelerinde şu tür kondansörlerden yararlanılır:

- 1°) Hava soğutmalı kondansörler,
- 2°) Su soğutmalı kondansörler,
- 3°) Karma kondansörler.

1.b.2) Hava soğutmalı kondansörler

Genellikle, gücü (5 B G)'ye kadar olan kompresör ya da kompresör grupları ile donatılmış soğutma devrelerinde hava soğutmalı kondansörler kullanılır. Hava soğutmalı kondansörler ya cebri dolaşımı ya da doğal dolaşımı olarak imal edilirler. Cebri dolaşımı hava soğutmalı kondansörlerde, soğutma bir vantilatörün sağladığı hava ile yapılır. Doğal dolaşımı hava soğutmalı kondansörlerde ise soğutmanın yapılabilmesi için çevredeki havanın doğal dolaşımından yararlanılır. Doğal dolaşımı kondansörler gürültüsüz çalışması istenilen ev tipi buz dolaplarında, cebri dolaşımı kondansörler de ev tipi buz dolaplarındaki kompresörlerden daha büyük kompresörlerin bulunduğu gıda pazarı, pastahane ve lokanta tipi soğutma tesislerinde kullanılırlar. (Şekil-2.21)'de, cebri dolaşımı hava soğutmalı bir soğutma devresinin fonksiyonel şeması görülmektedi.



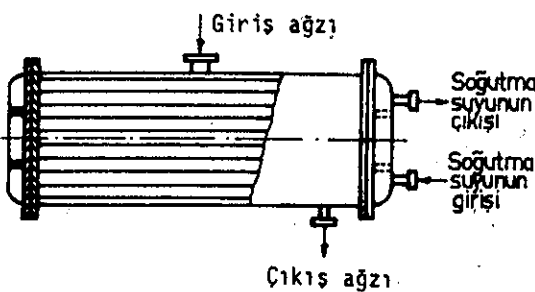
Şekil-2.21 Cebri Dolaşımı Hava Soğutmalı soğutma Devresinin Fonksiyonel Şeması

1.b.3) Su Soğutmalı Kondansörler

Su soğutmalı kondansörlerden, genellikle, sanayi tipi soğutma tesislerinde yararlanılır. Uygulama alanında değişik varyantları ile karşılaşılan bu kondansörlerin projelendirilmesi ve yapımı, kompresörün bastığı soğutucu akışkanın sahip olduğu ısının bir bölümünü, bu akışkanın içerisinde bulunduğu kabin çevresinde içten ya da dıştan su dolaştırarak soğurmak esasına dayanır.

1.b.3.a) İçten Su Akımlı Kondansörler

İçten su akımlı kondansörler, genellikle (Şekil-2.22)'de görüldüğü gibi, içerisinde sürekli su akımı bulunan boru demeti ile bu boru demetini çevreleyen silindirik bir kabdan oluşurlar. Boru demetini çevreleyen silindirik kabin üzerinde, kompresör ve buharlaştırıcı ile bağlantıyı sağlayan iki menfez vardır. Komprörün bastığı

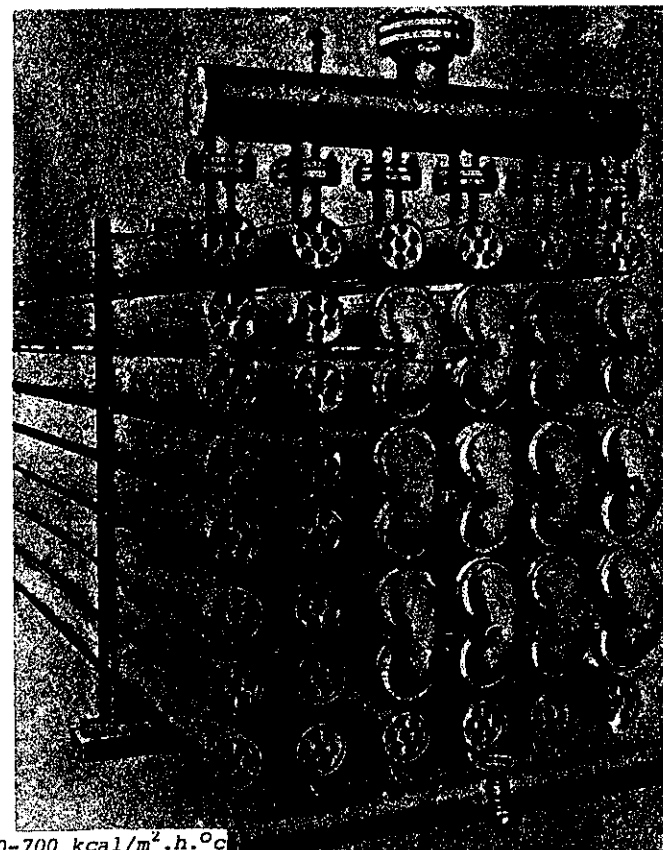


Şekil-2.22 İçten Su Akımlı Kondansör

soğutucu akışkan giriş menfezinden geçerek silindirik kaba dolar ve boruların içerisinde gezen su, sıcaklık farkından ötürü, gevreden devamlı ısı alarak soğutucu akışkanın yoğunlaşmasını sağlar.

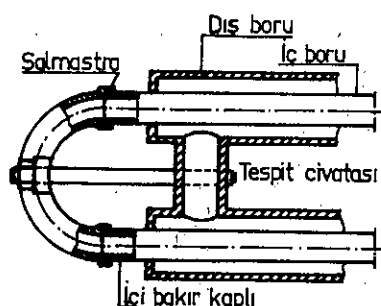
(Şekil-2.23)'de, büyük endüstriyel tip bir soğutma tesisinin soğutma devresinde yer alan, içten su akımlı

kondansörün değişik bir varyantı görülmektedir. Bu kondansörde, bir borunun içerisinde, çapı bu borunun çapından daha



Şekil-2.23

küçük olan bir ya da birkaç boru yerleştirilir ve iç boruların soğutma suyu, dış borulardan ters yönde, komprörün bastığı soğutucu akışkan geçirilir. Soğutma suyunun kullanımında savurganlığı önlemek ve bir birimde iç borulardan gezen soğutma suyunun kondansörü terketmeden diğer bütün birimlerdeki iç borulardan da geçmesini sağlamak için iç boruları (Şekil-2.24)'de görüldüğü gibi, dökmedemir dirseklerle birleştirmek gereklidir.



Şekil-2.24 Dökmedemir Dirsekle Birleştirilen İç Borular

Bu kondansörlerde ısı geçirme katsayısı ($600 \text{ kcal/m}^2 \cdot \text{saat} \cdot {}^\circ\text{C}$) ile ($700 \text{ kcal/m}^2 \cdot \text{saat} \cdot {}^\circ\text{C}$) arasında değişir. Isı geçirme katsayıısından, (1 m^2)'lik soğutma yüzeyinde, soğutucu akışkanın sıcaklığı ile soğutma suyunun sıcaklığı arasındaki farkın her bir derecesi için saat başına soğutucu akışından çekilen ısı miktarı anlaşılmalıdır.

Aşağıda, 2.2 Numaralı çizelgede, giriş ve çıkış yerleri arasında soğutma suyunun sıcaklığında meydana gelen artış ile soğutucu akışından saat başına (1000 kcal) ısı çekmek için kondansöre (m^3/saat) olarak gönderilmesi gereken su miktarı arasındaki ilişki görülmektedir.

2.2 Numaralı Çizelge

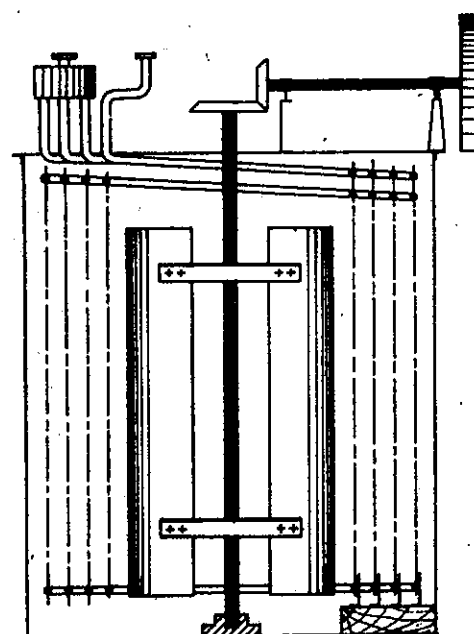
Giriş ve çıkış yerleri arasında soğutma suyunun sıcaklığında (${}^\circ\text{C}$) olarak meydana gelen artış	2	3	4	5	6	7	8	9	10
Soğutucu akışından saat başına (1000 kcal) ısı çekmek için kondansöre (m^3/saat) olarak gönderilmesi gereken su miktarı	0,68	0,45	0,34	0,27	0,23	0,19	0,17	0,15	0,135

1.b.3.b) Dıştan su akımı kondansörler

1.b.3.b.1) Su içinde çalışan kondansörler

Dıştan su akımı kondansörlerin değişik ve elemanter bir varyantı sayılan bu kondansörler, esas olarak, düşey

konumda silindirik bir kazanla bu kazan içeresine yerleştirilen helisel borulardan oluşmuşlardır. (Şekil-2.25)'de, su içinde çalışan bir kondansörün şeması görülmektedir. Soğutma



Şekil-2.25 Su içinde çalışan kondansör

suyu kazanın içerisinde bulunur. Soğutma suyunun zamana bağlı olarak dolasımını ve değişimini sağlamak için tavan ve tabana yakın yerlerde kazan üzerine ayrıca iki menfez yerleştirilir. Soğutma suyu, tabana yakın olan menfezden kazana girer ve tavana yakın olan menfezden de sıcaklığı artmış olarak kazanı terkeder. Kompresörün bastığı soğutucu akışkan helisel boruların içerisinde geçer. Boruların helisel yapılmasının nedeni, soğutucu akışkanın kondansörde kalma süresini uzatarak daha çok ısı terketmesini ve daha kolay yoğunlaşmasını sağlamaktır. Ayrıca soğutma suyunu hareketlendirerek serpatınların içerisinde geçen soğutucu akışkanın yoğunlaşma

hızını artırmak için kazana uzunluk ekseni doğrultusunda monte edilmiş bir pervaneden yararlanılır. Bu pervane hareketini konik dişli dizgesi ile bir motordan alır. Su içinde

$$K = 200 \text{ kcal/m}^2 \cdot \text{h} \cdot {}^\circ\text{C}$$



Şekil-2.25 a Batırıp daldırmalı eski tip kondansör

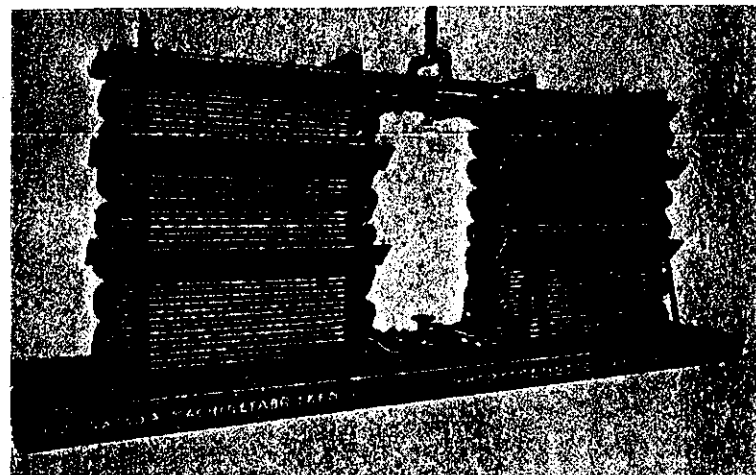
çalışan kondansörlerin ısı geçirme katsayısı yaklaşık olarak $(200 \text{ kcal/m}^2 \cdot \text{saat} \cdot {}^\circ\text{C})$ 'dır. Günümüzde artık bu tip kondansörler soğutma devrelerinde pek kullanılmamaktadır.

1.b.3.b.2) Yağmurlamalı kondansörler

Yağmurlamalı kondansörler yağmurlama borusu, serpantinler ve yağmurlanan soğutma suyunun toplandığı bir havuzdan oluşan yoğunlaştırıcılardır. (Şekil-2.26)'de, sanayi tipi soğutma tesislerinde kullanılan bir yağmurlamalı kondansör görülmektedir.

Yağmurlamalı kondansörlerde, kompresörün bastığı soğutucu akışkanın yoğunlaşması, serpantinler üzerine, sürekli olarak, yağmurlama borusundan soğutma suyu yağmurlanarak gerçekleştirilir. Serpantinler üzerine yağmurlanan soğutma suyunun çok az bir bölümü buharlaşır, arta kalan bölüm de havuda toplanır. Soğutma suyunun az da olsa bir bölümünün buharlaşması, yağmurlamalı kondansörlerin, binanın çatısına monte edilmesi zorunluluğunu ortaya çıkarır.

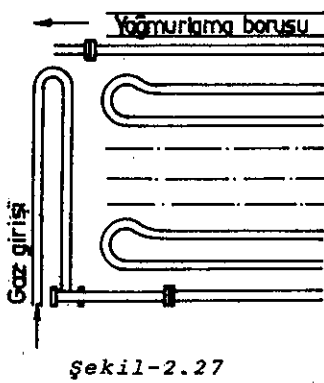
Kompresörün bastığı soğutucu akışkan serpantinlerde yukarıdan aşağıya doğru hareket eder. Soğutucu akışkanın akış yönü ile yağmurlanan suyun akış yönü aynı olduğu için bu kondansörlerde eşit akımlı kondansörler de denir. Eşit akımlı



Şekil-2.26 Yağmurlamalı Kondansör

kondansörlerde soğutucu akışkanla soğutma suyunun akım yönünün aynı olması, yoğunlaşan soğutucu akışkanın yoğunlaşma sıcaklığında kondansörü terketmesine neden olur. Yoğunlaşan soğutucu akışkanın yoğunlaşma sıcaklığında regülatör ventile gelmesi sakıncalıdır. Bu sakıncayı ortadan kaldırmak birinci yolu yoğunlaşan soğutucu akışkanı yardımcı su akımı ile soğutmak, ikinci yolu da karşı akımlı yağmurlamalı kondansörlerden yararlanmaktadır.

Karşı akımlı yağmurlamalı kondansörlerde, (Şekil-2.27)'de de görüldüğü gibi, kompresörün bastığı soğutucu akışkan serpantinlerin içerisinde aşağıdan yukarıya doğru hareket eder. Serpantinlerin üst kısmına gelinceye kadar yoğunlaşan soğutucu akışkan, burada, taze soğutma suyu ile temas ederek sahip olduğu ısının büyük bir bölümünü bırakır ve sıcaklığı doygunluk sıcaklığının çok altına düşer.

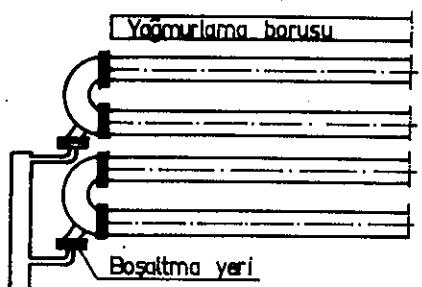


Şekil-2.27

Eşit akımlı kondansörlerin soğutma kapasitesinin ($250 \text{ kcal/m}^2.\text{saat.}^\circ\text{C}$) olmasına karşın karşı akımlı kondansörlerin soğutma kapasitesi ($750 \text{ kcal/m}^2.\text{saat.}^\circ\text{C}$) ile ($1000 \text{ kcal/m}^2.\text{saat.}^\circ\text{C}$) arasında değişir.

Yağmurlamalı kondansörlerde soğutma kapasitesini artttırmak için Amerika'da, ilginç bir yöntem geliştirilmiştir. Bu yöntemle (Şekil-2.28)'de görüldüğü gibi, büküntü yerlerinin

alt kısmına bir boşaltma borusu eklenerek soğutucu akışkanın yoğunlaşan bölümünden soğutma devresi ile bağlantılı bir hizmeye alınmakta ve yoğunlaşmayan bölümde serpantinlerin içerisinde bırakılmaktadır. Yağmurlamalı kondansörlerde, soğutma kapasitesi böylece ($900 \text{ kcal/m}^2.\text{saat.}^\circ\text{C}$)'ye kadar çıkarılabilmektedir.



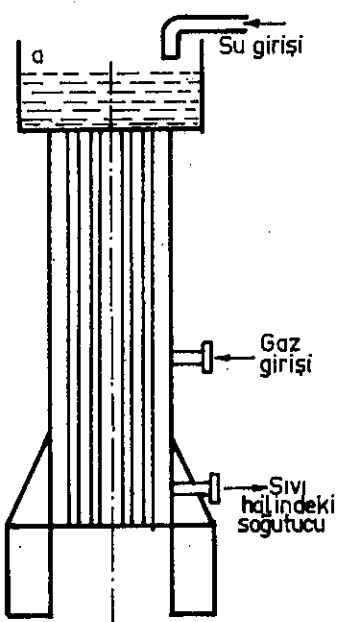
Şekil-2.28

1.b.3.b.3) Shell Kondansörü

Shell kondansörü, Amerika'da sanayi tipi soğutma tesislerinde çok kullanılan içten su akımlı kondansörlerin değişik bir varyantı olarak kabul edilebilir. Bu kondansör, (Şekil-2.29)'da, da şematik olarak görüldüğü gibi, düşey

konumda bir tüble bu tübe içine yerleştirilmiş olan borulardan oluşmuştur. Tübün üzerinde, soğutucu akışkanın gaz halinde iken kondansore girmesini ve yoğunlaştıktan sonra da kondansörden çıkışını sağlayan iki menfez vardır. Tübün üst kısmı bir yalağa, alt kısmı da bir havuza bağlanmıştır. Yalağa devamlı olarak soğutma suyu gönderilir. Soğutma suyu borulardan geçerek havuza dökülür. Soğutma suyu na borularda akarken dönel bir hareket de vermek için fırıldandırdan yararlanılır. Böylece hem boruların cidarlarında

buhar kabarcıklarının oluşması önlenmiş ve hem de bir hava akımı oluşturularak soğutmanın daha iyi yapılması sağlanmış olur.



Şekil-2.29 Shell Kondansörü

1.b.4) Karma Kondansörler

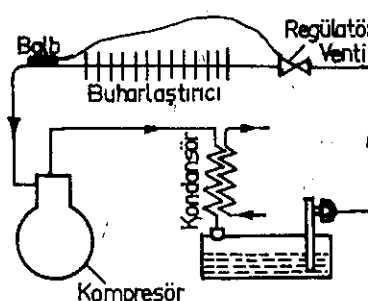
Karma kondansörlerin özde, su soğutmalı kondansörlerden fazla bir ayırmı yoktur. Bu kondansörlerde, genellikle, soğutma suyunun vantilatörlerin sağladığı hava akımı ile soğutularak yeniden kullanılması amaçlanır. Atmosferik sıcaklığın düşük olduğu durumlarda kondansörü sadece hava ile soğutmak da mümkündür.

Karma kondansörlerden soğutma suyu sağlananın güç olduğu yörenlerdeki soğutma tesislerinde yararlanılır. Bu kondansörlerdeki soğutma suyu gereksinimi su soğutmalı kondansörlerdeki soğutma suyu gereksiniminin ancak (0,1)'ini bulur.

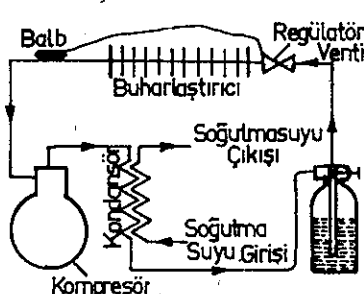
2) Soğutucu devrelerde yardımcı elemanlar

2.a) Hazne

Soğutma makinaları teknolojisinde, yedek sıvı tankı olarak da adlandırılan hazne, soğutma devresinin yüksek basınç kanadında kondansör çıkışına kondansörden daha düşük bir düzeye monte edilir. Haznenin işlevi, kondansörde yoğunlaşan soğutucu akışkanının depolanmasını ve gereksindiği zaman kullanımını sağlamaktır. Bazan haznenin, kondansör çıkışına, kondansörle aynı düzeye monte edilmesi zorluluğu ortaya çıkar. Bu durumda kondansör çıkış borusunun haznenin üst kısmına bağlanması gereklidir. Hazne, (Şekil-2.30)'da görülen soğutma devresinde kondansörden daha düşük bir düzeye ve (Şekil-2.31)'de görülen soğutma devresinde de kondansörle aynı düzeye kondansör çıkışına monte edilmiştir.



Şekil-2.30 Kondansörden daha düşük bir düzeye, haznenin kondansör çıkışına monte edilmiş olduğu soğutma devresinin fonksiyonel şeması



Şekil-2.31 Kondansörle aynı düzeye, haznenin kondansör çıkışına monte edilmiş olduğu soğutma devresinin fonksiyonel şeması

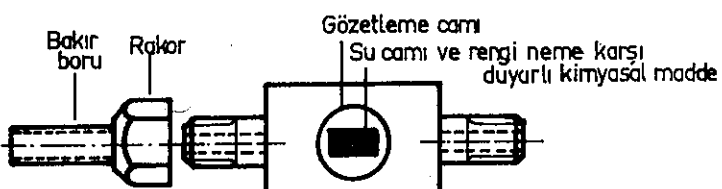
Haznenin hacmi, soğutma devresindeki tüm soğutucu akışkanın sıvı halde iken kapsadığı hacimden (≈ 20) daha büyük olmalıdır.

Kondansör çıkışında tamamen yoğunlaşmış olan soğutucu akışkan hıznede toplanır. Bazan çeşitli nedenlerle kondansör çıkışında yoğunlaşmayan soğutucu akışkan da hızneye sürüklendir. Bu durumda gaz halindeki soğutucu akışkanın sıvı hattına girmesini önlemek için sıvı hattı hıznenin tabanına dek uzatılır. Sıvı hattı hıznenin tabanına dek uzatılınca hıznenin üst kısmında toplanan gaz halindeki soğutucu akışkanın sıvı hattına girmesi önlenmemelidir. Gaz halindeki akışkan sıvı hattına girerek genleşme valfinin kadar sürüklendirse buharlaştırıcının yükleme derecesi ve buna bağlı olarak devrenin soğutma kapasitesi düşer.

2.b) Nem Tutucu

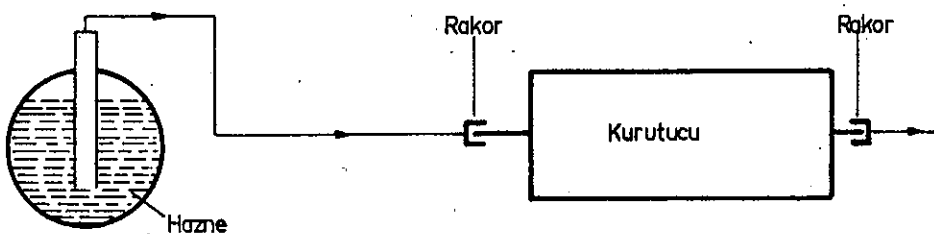
Soğutma devreleri kapali çalışan devrelerdir. Buna rağmen aşınan yerlerden, sızdırın arızalı valflardan ve bağlantı elemanlarından soğutma devrelerine hava ve hava ile birlikte bir miktar nem girebilir. Nem, bilindiği gibi, soğutma devresi için çok tehliklidir. Çünkü, termostatik genleşme valfinin kılcal kanalından geçerken buzlanmaya neden olur. Bu durumda kompresörün çalışmasına karşı soğutma gerçekleşmez, otomatik kontrol sistemi ile donatılmış soğutma devreleri durur ve genleşme valfi arızalanarak elden çıkar. Kılcal kanalın tıkanması soğutma kapasitesinin düşmesi yanında kompresörlerde vuruntuların meydana gelmesine de yol açar. Soğutma devreleri için çok tehlikeli olan nemin genleşme valfinin ulaşmasını engellemek için soğutma devrelerinde hızne ile genleşme valfi arasında içerisinde SILIKO-GEL (Na_2SiO_3) bulunan bir nem tutucu yerleştirilir. Nem tutucuya kurutucu da denir. (Şekil-2.32)'de, içerisinde SILIKO-GEL konulabilen bir nem tutucu görülmektedir. Nem tutucu, genellikle, soğutma

devresine seri olarak bağlanır. Nem tutucunun içerisinde bulunan siliko-Gel'in işlevini tamamladıktan sonra değiştirilmesi gereklidir. Siliko-Gel'in işlevini yapıp yapmadığı siliko-Gel'e katılan, rengi neme karşı duyarlı kimyasal maddelerden yararlanılarak anlaşılır.

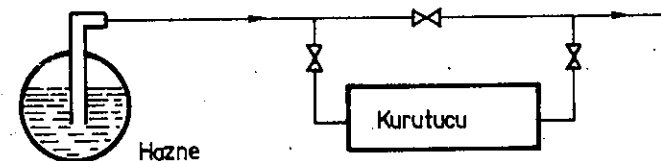


Şekil-2.32 Nem tutucu ve bağlantı elemanı

Küçük soğutma tesislerinde, nem tutucuyu, işlevini tamamladıktan sonra devre dışı bırakmak gereklidir. Bunun için nem tutucu devreye paralel olarak bağlanır. Nem tutucunun ana soğutma devresi ile bağlantısı ventillerle sağlanır. (Şekil-2.33)'de soğutma devresine seri, (Şekil-2.34)'de de soğutma devresine paralel olarak bağlanmış olan nem tutucunun fonksiyonel şeması görülmektedir.



Şekil-2.33 Soğutma Devresine Seri Olarak Bağlanmış Nem Tutucunun Fonksiyonel Şeması



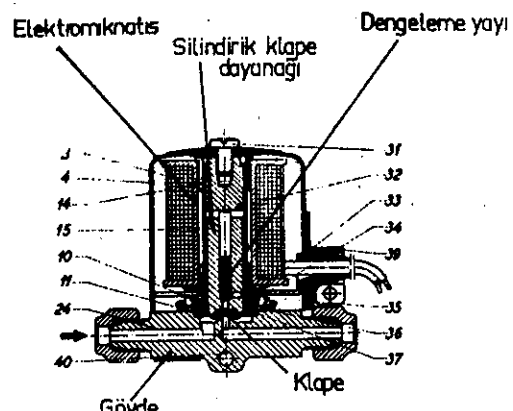
Şekil-2.34 Soğutma Devresine Paralel Olarak Bağlanmış Nem Tutucunun Fonksiyonel Şeması

Nemin, bilindiği gibi, hava ile karışık olduğu zaman oksitleyici etkisi vardır. Bunun için soğutma tesisatını çalıştırmadan öne kurutmak gereklidir. Soğutma tesisatının bütünü ile kurutulmasında basınçlı kuru sıcak havadan ya da vakum kompresöründen, buharlaştırıcıının kurutulmasında ise karbondioksit ve alkolden yararlanılır.

2.c) Elektrovalflar

Elektrovalflar, genellikle, birden fazla buharlaştırıcıının bulunduğu soğutma devrelerinde kullanılırlar. Bir soğutma devresinde buharlaştırıcılar aynı ya da farklı sıcaklıkta çalışırlar. Buharlaştırıcıları aynı sıcaklıkta çalışan soğutma devrelerinde kondansörle buharlaştırıcılar arasında sıvı hattı üzerine yerleştirilen elektrovalfların işlevi kompresörü, buharlaştırıcıları farklı sıcaklıkta çalışan soğutma devrelerinde yüksek sıcaklığındaki buharlaştırıcı ile kompresör arasında emme hattı üzerine yerleştirilen elektrovalfin işlevi de yüksek sıcaklığındaki buharlaştırıcıyı devre dışı bırakmaktadır.

(Şekil-2.35)'de, aynı ya da farklı sıcaklıkta birden fazla buharlaştırıcıının bulunduğu soğutma devrelerinde çok kullanılan bir elektrovalf görülmektedir. Bu elektrovalf, esas olarak, bir elektromagnat, yerleştirildiği hat üzerinde iki nokta arasında bağlantı sağlayan bir günde ve bir

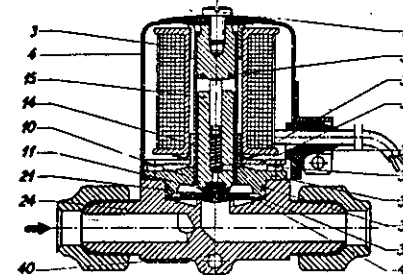


Şekil-2.35 Elektrovalf

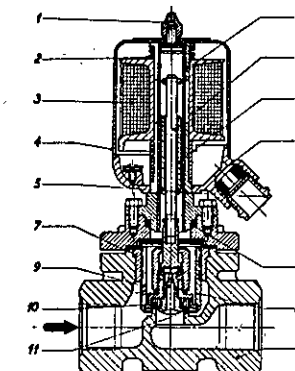
klape ile bu klapeye bağlı helisel yayla dengelenen bir silindirik dayanaktan oluşmuştur. Elektrovalfa termostatla kumanda edilir. Termostatın işlevi, matematik anlamda sonsuz küçük bir aralık için elektrovalfin bağlı olduğu elektrik devresini, sıcaklığın minimal değerinde açıp maksimal değerinde kapayaarak soğutucu ortamda sıcaklığı sabit tutmaktadır.

Sıcaklık maksimal değeri alınca termostat elektrovalfin bağlı olduğu elektrik devresini kapar. Bu durumda elektromagnat oluşur ve oluşan elektromagnat klapenin bağlı olduğu helisel yayla dengelenen silindirik dayanağı yukarı çekerek gövde üzerindeki menfezin açılmasını sağlar. Menfez açıldıktan sonra kondansörden buharlaştırıcıya ya da bularlaştırıcıdan kompresöre yeniden soğutucu akışkan akımı başlar. Sıcaklığın minimal değere düşmesi, termostatla kumanda edilen elektrovalfin bağlı olduğu elektrik devresinin açılmasına neden olur. Elektrovalfin bağlı olduğu elektrik devresi açılınca elektrik akımı kesilir, elektromagnat mıknatıs olma özelliğini kaybeder, klapenin bağlı olduğu silindirik dayanak helisel dengeleme yayı tarafından aşağıya itilir, klapa de klapa yuvasına oturarak soğutucu akışkan akımını durdurur. (Şekil-2.36), (Şekil-2.37)

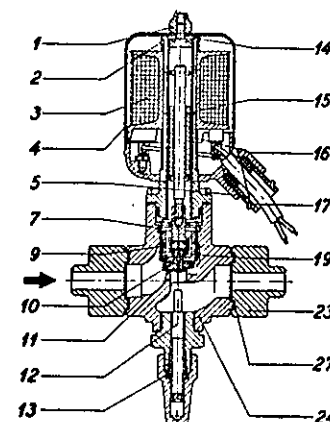
ve (Şekil-2.38)'de, uygulama alanında kullanılan değişik firmalar tarafından imal edilmiş elektrovalflar görülmektedir.



Şekil-2.36 Elektrovalf



Şekil-2.37 Elektrovalf

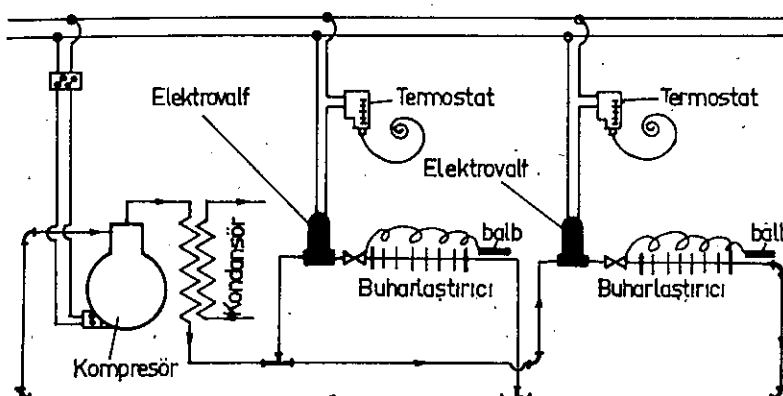


Şekil-2.38 Elektrovalf

Elektrovalfların soğutma devresine montajında elektromagnatın düşey konumda olmasına özen gösterilmelidir. Banzan bir elektrovalfin termostatik genleşme valfindan önce soğutma devresi üzerine yerleştirilmesi gerekdir. Bu durumda, elektrovalfin içerisinde bulunabilecek nemin donarak çalışmasına engel olmaması için termostatik genleşme valfi ile elektrovalf arasında en az (30 cm)'lik bir uzaklık bırakılmalıdır.

(Şekil-2.39)'da, aynı sıcaklıkta iki buharlaştırıcı içeren bir soğutma devresinin fonksiyonel şeması görülmektedir. Bu soğutma devresinde elektrovalfler, daha önce de açıklamış olduğumuz gibi, kondansörle buharlaştırıcılar

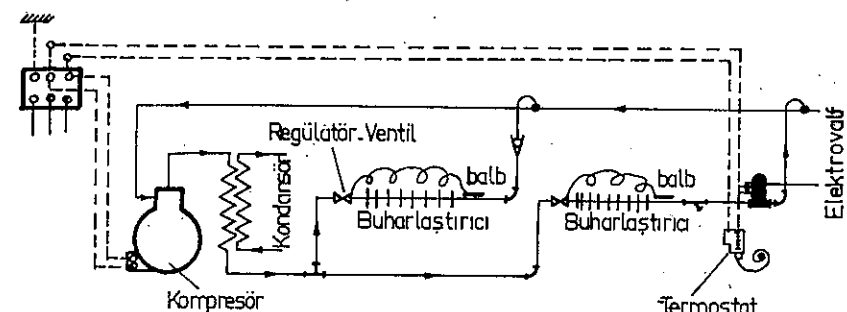
arasında sıvı hattı üzerine yerleştirilmişlerdir. Soğutulan ortamda sıcaklık minimal değeri alınca sıvı hattı üzerinde bulunan ve termostatla kumanda edilen elektrovalflar kondansörle buharlaştırıcıların bağlantısını keserler. Bu durumda



Sekil-2.39 Aynı sıcaklıkta iki buharlaştırıcı iigeren soğutma devresinin fonksiyonel şeması

emme hattında basınç düşer ve sıvı hattında da basınç yükseılır. Aradaki fark belirli bir değere ulaşınca başka bir düzenlemeye ile kompresör motorunun bağlı olduğu elektrik devresi açılır ve elektrik akımı kesildiği için kompresör durur. Kompressorün çalışması ve yeniden soğutucu akışkanı kondansöre basması, sıcaklığın maksimal değere yükselerek elektrovalfin açılmasına, soğutucu akışkan akımının başlamasına ve kanatlar arasındaki basınç farkının da önceki değerini almamasına bağlıdır.

Buharlaştırıcılar arasındaki sıcaklık farkının (12°C)'yi bulduğu soğutma devrelerinde elektrovalf, (Şekil-2.40)'da görüldüğü gibi, sıcaklığı daha yüksek olan buharlaştırıcıının çıkışında emme hattı üzerine monte edilir. Soğutulan ortamın sıcaklığı istenilen değere ulaşınca termostatla kumanda edilen elektrovalf sıcaklığı yüksek olan buharlaştırıcıyı, kom-



Sekil-2.40 Farklı sıcaklıkta iki buharlaştırıcı iigeren soğutma devresinin fonksiyonel şeması

presörle bağlantıyı keserek devre dışı bırakır. Sıcaklığı düşük olan buharlaştırıcı ile sıcaklığı yüksek olan buharlaştırıcı arasında hiçbir bağlantının olmaması gereklidir. Bu, hemen belirtelim ki, sıcaklığı düşük olan buharlaştırıcıının çıkışında emme hattı üzerine yerleştirilen tek yönlü bir klapa ile sağlanır.

2.d) SOĞUTUCU AKIŞKANIN KONTROLU

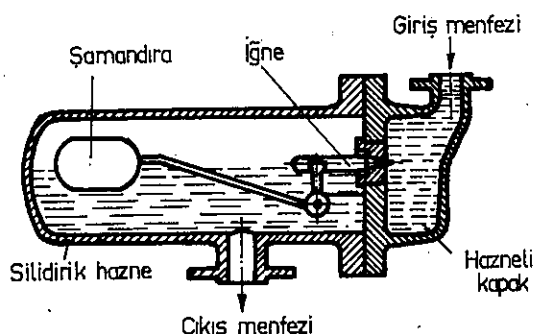
Bir soğutma devresinde, kompressorün aşırı yüklenmesizin yüksük verimle çalışması, soğutucu akışkanın gereksinme duyulan miktarda buharlaştırıcıya gönderilmesine bağlıdır. Soğutucu akışkanın gereksinme duyulan miktarda buharlaştırıcıya gönderilebilmesi için şu elemanlardan bir ya da birkaçının soğutma devresine monte edilmesi gereklidir:

- 1º) Şamandıralı alçak basınç valfi,
- 2º) Şamandıralı yüksek basınç valfi,
- 3º) Otomatik genleşme valfi,
- 4º) Termostatik genleşme valfi,

2.d.1) Şamandıralı alçak basınç valfi

Buharlaştırıcıya gönderilen soğutucu akışkan, soğutma devresinin alçak basınç kanadını oluşturan buharlaştırıcının içine ya da aynı düzeye olmak koşulu ile buharlaştırıcının dışına bir şamandıralı alçak basınç valfi yerleştirilerek kontrol edilir.

(Şekil-3.41)'de, şamandıralı alçak basınç valfi görülmektedir. Şamandıralı alçak basınç valfi, esas olarak, silindirik ana hazne, hizneli kapak, şamandıra ve şamandıra tarafından kumanda edilen iğneneden oluşmuştur. Ayrıca hizneli kapak üzerinde giriş menfezi ve silindirik ana hazne üzerinde

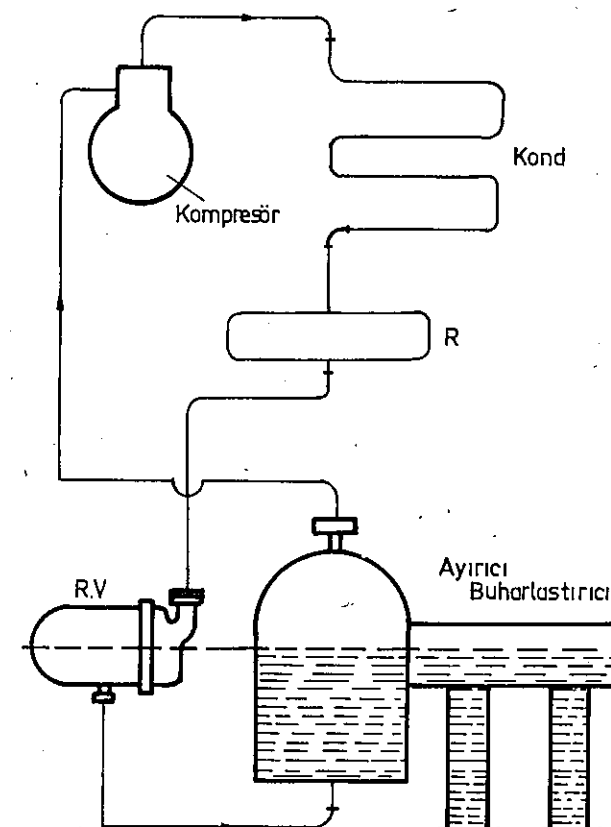


Şekil-3.41 Şamandıralı alçak basınç valfi

de çıkış menfezi vardır. Genellikle, buharlaştırıcının dışına, buharlaştırıcı ile aynı düzeye yerleştirilen bu tip şamandıralı alçak basınç valfi, giriş menfezi ile kondansöre ve çıkış menfezi ile de buharlaştırıcıya bağlanır. Silindirik ana hazne ile hizneli kapağı birleştiren geçiş menfezi, şamandıra tarafından kumanda edilen bir iğne ile kontrol altında bulundurulur. Silindirik ana haznede, herhangi bir nedenle sıvı seviyesi azalınca şamandıra aşağıya iner ve şamandıra tarafından kumanda edilen iğne de sola doğru hareket ederek geçiş menfezinin daha fazla açılmasını, hizneli kapaktan silindirik ana

hazneye daha fazla sıvı geçmesini ve böylece sıvı seviyesinin aynı kalmasını sağlar.

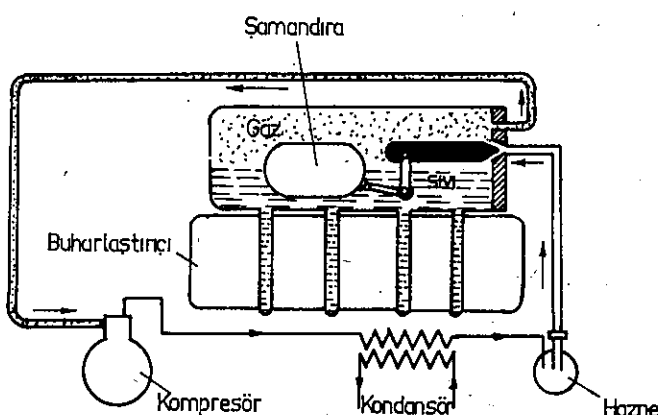
(Şekil-2.42)'de, buharlaştırıcının dışına, buharlaştırıcı ile kondansör arasına monte edilmiş şamandıralı alçak basınç valfinin bulunduğu bir soğutma devresinin fonksiyonel şeması görülmektedir.



Şekil-2.42 Buharlaştırıcının dışına, buharlaştırıcı ile kondansör arasına monte edilmiş şamandıralı alçak basınç valfinin bulunduğu bir soğutma devresinin fonksiyonel şeması

Şamandıralı alçak basınç valfi yukarıda açıklanmış olduğumuz gibi, buharlaştırıcıının içine de monte edilebilir. Soğutma devresinin yüksek basınç kanadında sıvı halde bulunan soğutucu akışkanın buharlaştırıcıya gelinceye dek yaklaşık olarak (% 20)'si buhar haline gelir. Buharlaştırıcıya içten monte edilen şamandıralı alçak basınç valfinin bir diğer işlevi de hemen belirtelim ki, kondansörden buharlaştırıcıya gelirken oluşan buharın buharlaştırıcıya girmesini engellemektir.

(Şekil-2.24)'de, buharlaştırıcıya içten monte edilmiş şamandıralı bir alçak basınç valfi ile bu valfin bulunduğu soğutma devresinin şeması görülmektedir.



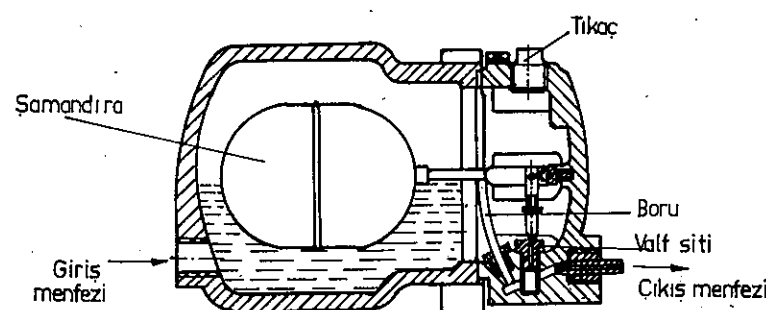
Şekil-2.43 Buharlaştırıcıya içten monte edilmiş şamandıralı alçak basınç valfi ve bu valfin bulunduğu soğutma devresinin şeması

2.d.2) Şamandıralı yüksek basınç valfi

Şamandıralı yüksek basınç valfi, soğutma devresinin yüksek basınç kanadında bulunan hazneye dıştan monte edilir. Kondansör çıkışında, tamamen yoğunlaşmış olan soğutucu

akışkan, bilindiği gibi, haznede toplanır. İçten şamandıralı yüksek basınç valfinin işlevi, haznede, sıvı seviyesini belirli bir düzeye tutmak ve gereksindiği kadar soğutucu akışkanın sıvı halde buharlaştırıcıya gelmesini sağlamaktır.

(Şekil-2.44)'de, şamandıralı bir yüksek basınç valfi görülmektedir. Bu valfların işleyışı, ilke olarak şamandıralı alçak basınç valflarının işleyişinden farksızdır. Haznede



Şekil-2.44 Şamandıralı yüksek basınç valfi

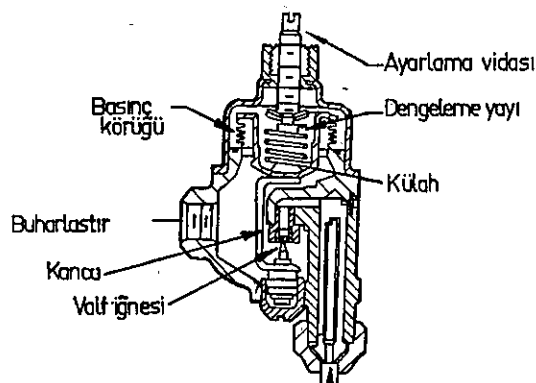
sıvı belirli bir düzeye ulaştıktan sonra ancak şamandıra tarafından kumanda edilen valf iğnesi yukarıya kalkarak menfezi açar ve soğutucu akışkanı buharlaştırıcıya doğru yol verir.

Şamandıralı yüksek basınç valfları, genellikle, buzdolapları ve dondurma makinaları gibi, soğutucu akışkan olarak (SO_2)'den yararlanılan tek buharlaştırıcılı tesislerde kullanılır.

2.d.3) Otomatik genleşme valfi

(Şekil-2.45)'de, otomatik genleşme valfi görülmektedir. Bu valfin asıl işlevi, kondansörden buharlaştırıcıya giden soğutucu akışkanın miktarını otomatik olarak ayarlamaktır. Otomatik genleşme valfi, üzerinde giriş ve çıkış ağızları bulunan gövde, kavak, ayarlama vidası, helisel dengeleme

yayı, basınç körüğü ve valf iğnesinden oluşmuştur. Valf iğnesi, kanca ile körük ve helisel dengeme yayı tarafından dengelenen külah adı verilen bir parçaya bağlanmıştır.



Sekil-2.45 Otomatik genleşme valfi

Valf kapalı konumda iken çıkış menfezi boşluğunda bulunan soğutucu akışkan çıkış menfezinden geçerek buharlaştırıcıya yönlenir. Soğutucu akışkan buharlaştırıcıda buharlaşır ve çıkış menfezi boşluğunda basınç buharlaştıracı basıncına düşer. Çıkış menfezi boşluğunda basınç buharlaştıracı basıncına düşünce valf iğnesinin kondansörle bağlantılı olan yüzüne etkiyen basınç kuvvetleri valf iğnesini aşağıya doğru iterek ara menfezin açılmasını sağlar. Sonra kondansörden gelen soğutucu akışkan ara menfezden geçerek çıkış menfezi boşluğuna dolar ve buradaki basınç çok kısa bir zaman için kondansör basıncına eşit olur. Bu durumda basınç körüğü ve helisel dengeme yayı tarafından dengelenen valf iğnesi külah ve külaha bağlı kancanın aracılığı ile yukarıya doğru çekilerek ara menfezi kapatır. Ara menfezin açılması ve kondansörden gelen soğutucu akışkanın yeniden çıkış menfezi boşluğuna dolması için daha önce çıkış menfezi boşluğunda bulunan soğutucu akışkanın buharlaştıracıya yönlenerek orada buharlaşması gereklidir. Kompresörün devreye girmesi ile kondansörden kompresöre

soğutucu akışkan akımını başlatan bu valf, kompresör devreden çıkışcaya dek çalışmasını otomatik olarak sürdürür.

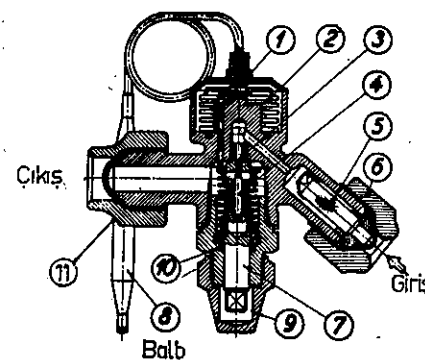
2.d.4) Termostatik genleşme valfi

Bilindiği gibi, soğutma makinaları teknolojisinde, soğutucu akışkanın buharlaştırcıda buharlaşma sıcaklığını aşan sıcaklık fazlasına, daha açık bir deyişle buharlaştırcının giriş ve çıkış sıcaklıklarını arasındaki farka SÜPERHİT MİKTARI denir. İşte termostatik genleşme valfinin işlevi, bâlb yani duyar eleman aracılığı ile buharlaştırcıdan çıkış sıcaklığına bağlı olarak buharlaştıracıya giden soğutucu akışkan miktarı ile süperhit miktarını ayarlamaktır.

(Şekil-3.46)'da, termostatik genleşme valfi görülmektedir. Bu termostatik genleşme valfinin ana elemanları şunlardır:

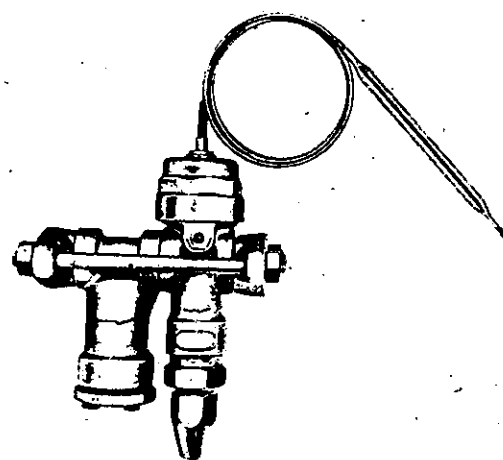
- 1) İtici pimler,
- 2) Basınç körüğü,
- 3) Valf kovanı,
- 4) Valf iğnesi,
- 5) Filtre,
- 6) Giriş menfezi rakoru,
- 7) Ayarlamavidası,
- 8) Duyar elemanla bağlantılı sağlayan kuyruk,
- 9) Kör tapa,
- 10) Salmastrâ,
- 11) Çıkış menfezi rakoru.

Çeşitli tip ve kapasitede imal edilen termostatik genleşme valflarının denemesi, genellikle, (28 At)'lık basınçca göre yapılır. Duyar eleman ($+ 80^{\circ}\text{C}$) sıcaklığa kadar kullanılabilir. Valf soğutma devresine her konumda bağlanabilir. Ancak duyar elemanı yani balbi buharlaştırcı çıkışına yatay konumda bağlamak gereklidir. Bazan emme hattı düşey konumda

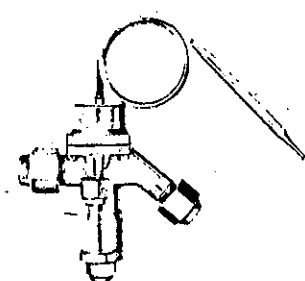


Şekil-2.46

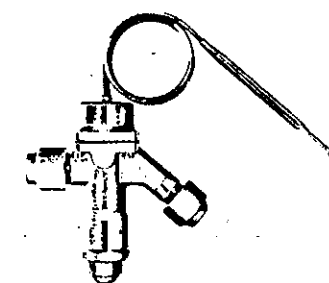
olur. Bu durumda yapılacak iş, duyar elemanı ağızı yukarıya gelecek şekilde monte etmektir. (Şekil-2.47), (Şekil-2.48) ve (Şekil-2.49)'da çeşitli firmalar tarafından imal edilmiş termostatik genleşme valfları görülmektedir.



Şekil-2.47



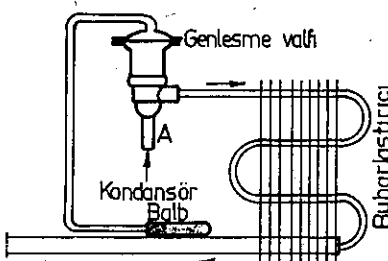
Şekil-2.48



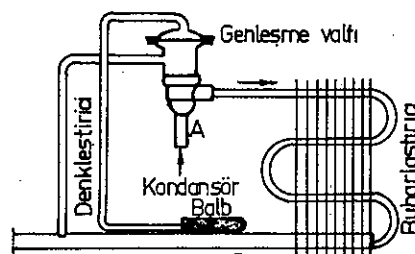
Şekil-2.49

2.d.5) Denkleştiricili termostatik genleşme valfi

Soğutma devresinin alçak basınç kanadında meydana gelen basınç düşmesi hem kompresör kapasitesinin ve hem de termostatik genleşme valfi kapasitesinin düşmesine neden olur. Bunun önüne geçmek için termostatik genleşme valfına bir denkleştirici eklenir. Denkleştirici emme hattını, buharlaştırıcıdan çıkışta termostatik genleşme valfina bağlayan ince bir borudur. (Şekil-2.50)'de denkleştiricisiz, (Şekil-2.51)'de de denkleştiricili termostatik genleşme valfinin soğutma devresi üzerindeki konumu görülmektedir.

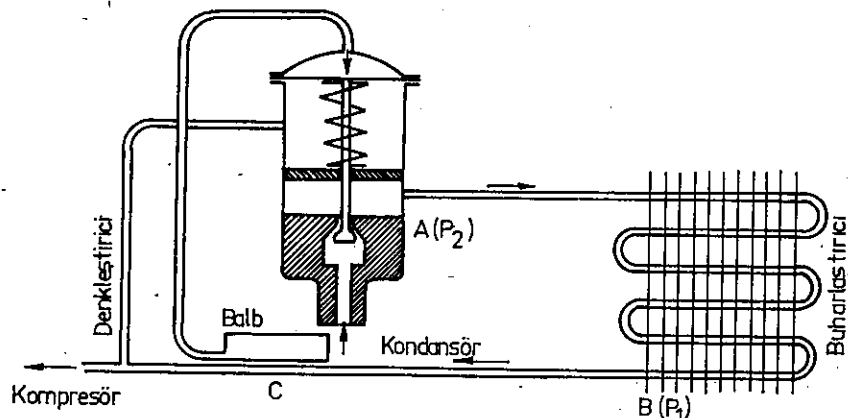


Şekil-2.50 Denkleştiricisiz termostatik genleşme valfinin soğutma devresi üzerindeki konumu



Şekil-2.51 Denkleştiricili termostatik genleşme valfinin soğutma devresi üzerindeki konumu

Bu kısa tanım ve belirlemeden sonra şimdi de (Şekil-2.51)'de şematik olarak gösterilen elemanter bir denkleştircili termostatik genleşme valfinin çalışmasını açıklayalım. Valf, görüldüğü gibi, esas olarak silindirik gövde,



Şekil-2.52 Denkleştircili termostatik genleşme ve valfinin fonksiyonel şeması

kapak, kapakla silindirik gövde arasına yerleştirilmiş diyafram, ayırma plakası ve valf klapesi ile helisel denkleştirme yayından oluşmuştur. Diyaframın üstünde kalan bölüm duyar elemana, altında kalan bölüm de buharlaştırıcının çıkışında emme hattına bağlanmıştır. Basınç diyaframın altındaki bölümde emme basıncına, üstündeki bölümde de balb basıncına eşittir. Diyaframın alt yüzüne etkiyen kuvvet, alt hücredeki basınç kuvvetleri ile helisel dengeme yanında oluşan gerilme kuvvetinin toplamıdır. Diyaframın alt yüzüne etkiyen kuvvet üst yüzüne etkiyen basınç kuvvetlerinden daha büyük olduğu zaman klapa kapanır ve kondansörden buharlaştırıcıya soğutucu akışkan akımı kesilir, daha küçük olduğu zaman klapa açılır ve bu kez kondansörden buharlaştırıcıya soğutucu akışkan

akımı başlar. Aşağıda, 2.3 Numaralı çizelgede, emme basıncı, buharlaştırıcıya giriş ve buharlaştırıcıdan çıkış sıcaklıklar ile süperhit miktarı gösterilmektedir.

2.3 Numaralı Çizelge

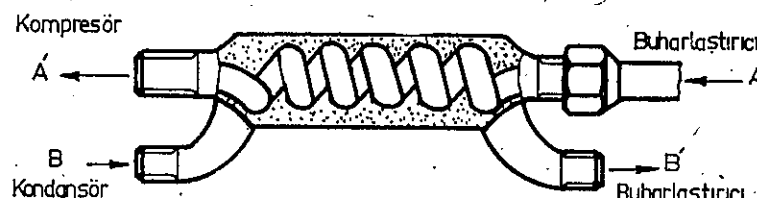
Emme Basıncı (Kg/cm ²)	Buharlaştırıcının girişindeki Sıcaklık (°c)	Buharlaştırıcının çıkışındaki Sıcaklık (°c)	Süperhit Miktarı (°c)
0,57	- 17,6	- 12,2	5,4
0,50	- 15,6	- 12,2	3,4
0,48	- 15	- 12,8	2,2
0,64	- 17,8	- 12,2	5,6
0,79	- 15,6	- 11,7	3,9
0,86	- 14,4	- 11,1	3,3
0,72	- 16,7	- 12,2	4,5

2.e) Isı dönütürücüsü

Isı dönütürücünün işlevi, buharlaştırıcıdan çıkan soğutucu akışkanın kompresöre daha yüksek bir sıcaklıkta emilmesini sağlayarak kompresör kapasitesini yükseltmek ve işleyişi düzgünleştirmektir.

Soğutma devresinde, kondansörden buharlaştırıcıya gelen soğutucu akışkanın sıcaklığının mümkün olduğu kadar düşük olması arzu edilir. Isı dönütürücüsü kullanılmadığı zaman soğutucu akışkanın buharlaştırıcıya giriş sıcaklığı kondansör sıcaklığına eşit olur yani (20°C) ile (25°C) arasında bulunur. Buharlaştırıcıdan çıkış sıcaklığı (-10°C)'dır. Buharlaştırıcıdan çıkış sıcaklığının böylesine düşük olması

kompresörün işleyişine olumsuz yönde etkiler. Bunun önüne geçmek için buharlaştırıcıdan kompresöre giden soğutucu akışkan, karşı akım esasına göre çalışan bir ısı dönüştürücüsünden geçirilir. Böylece hem kondansörden buharlaştırıcıya giden soğutucu akışkanın sıcaklığı düşürülmüş ve hem de buharlaştırıcıdan kompresöre giden soğutucu akışkanın sıcaklığı yükseltilmiş olur. (Şekil-2.53)'de, karşı akım esasına göre çalışan bir ısı dönüştürücüsü görülmektedir.



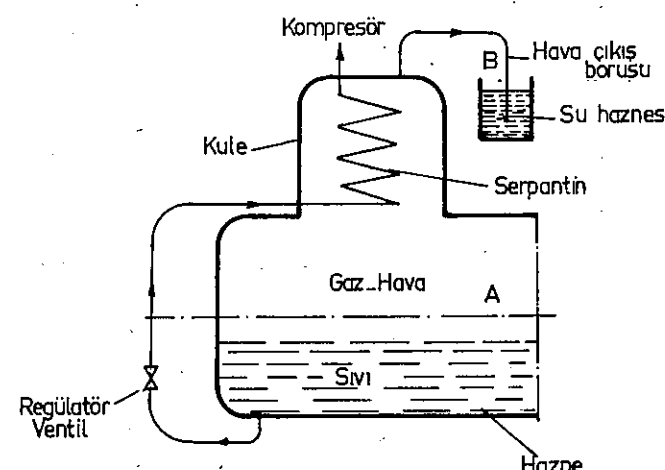
Şekil-2.53 Karşı akım esasına göre çalışan ısı dönüştürücüsü.

2.f) Hava gidericileri

Soğutma devrelerinin havadan arındırılması gereklidir. Çünkü, soğutma devrelerinde bulunan hava, ısınan kompresör yağının yanmasına, kompresörde sıkıştırma sonundaki basıncın artmasına ve soğutma kapasitesinin düşmesine neden olur. Soğutma devrelerinin havası vakum kompresörü ile boşaltılır. Ancak soğutma devrelerine, zamanla, bağlantı yerlerinden, aşınmış kompresör contalarından hava sızabilir. Bağlantı yerlerinden ve aşınmış kompresör contalarından sızan hava, tesisat durunca bir boşaltma musluğundan yararlanılarak dışarıya atılır. Bu arada hava ile birlikte bir miktar soğutucu akışkan da sürekli olarak sızdırılır. (Şekil-2.54)'de amonyaklı soğutma tesisatında kullanılan hava giderme düzeninin fonksiyonel şeması görülmektedir.

Soğutma tesisatına sızmış olan hava, genellikle, havanın kule adı verilen üst kısmında amonyak buharı ile birlikte

toplanır. Kulede amonyak buharı ile birlikte toplanmış olan hava bir boru ile alınır ve içerisinde su bulunan ayrı bir açık hazneye gönderilir. Burada amonyak suda çözülmerek havadan ayrılır. Hava suda çözülmemiş için açık hazneyi terkeder.

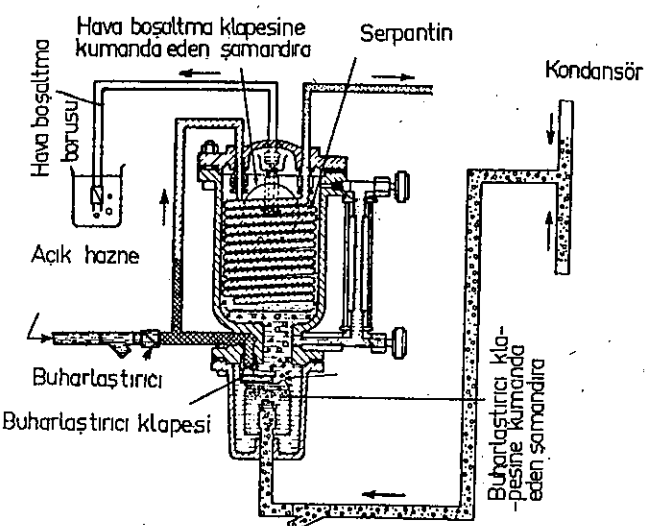


Şekil-2.54 Amonyaklı soğutma tesisatında kullanılan hava giderme düzeninin fonksiyonel şeması.

Böylece soğutma tesisatının havası alınmış olur.

(Şekil-2.55)'de, soğutma tesislerinde hava giderici olarak kullanılan geliştirilmiş bir cihaz ve bu cihazın fonksiyonel şeması görülmektedir. (Şekil-2.55)'de görülen cihazın çalışması, soğutucu akışkanı yoğunlaştırarak havadan ayırmak ve soğutucu akışkanından ayrılan havayı da dışarıya atmak esasına dayanır.

Hava giderme cihazı, görüldüğü gibi, havanın işlevini de yerine getiren silindirik gövde (8), kapak (9), serpentin (4) buharlaştırıcı klapesi (2), buharlaştırıcı klipesine kumanda eden şamandıra (1), seviye göstergesi (5), hava boşaltma klipesi (7) ve hava boşaltma klipesine kumanda eden şamandıradan (6) oluşmuştur.



Şekil-2.55, Soğutma tesislerinde hava giderici olarak kullanılan geliştirilmiş bir cihaz ve bu cihazın fonksiyonel şeması

Soğutucu akışkan - hava karışımı, cihaza alt taraftan girer. (1) numaralı şamandırada toplanan soğutucu akışkan - hava karışımı, şamandırانın yukarıya kalkarak buharlaştırıcı klopesini kapamasını sağlar. Basınç belirli bir değere ulaşınca, şamandırda üzerindeki klapa açılır ve bu klapenin kapandığı menfezden geçen soğutucu akışkan - hava karışımı içerisinde serpantin (4) bulunan silindirik gövdeye (8) dolar. Burada soğutucu akışkan ısı kaybederek yoğunlaşır ve hava da gövdenin üst kısmında toplanır. Sıvı seviyesi yükselse (3) numaralı şamandırı, yukarıya kalkarak, hava boşaltma klopesinin açılmasını sağlar. Bu durumda, gövdenin üst kısmında toplanmış olan hava, boşaltma borusundan gereken dışarıya çıkar. Ancak hava ile birlikte az da olsa soğutucu akışkanın sürüklenebileceği göz önünde bulundurularak boşaltma borusunun ucu, atmosfere değil de haznede su içeresine açılır. (1) Numaralı

şamandırı, dışındaki basınç içindeki basınçtan daha yüksek bir değere ulaştığı için aşağıya inerek buharlaştırıcı klopesinin açılmasını ve sıvı haldeki soğutucu akışkanın da buharlaştırıcıya yönelmesini sağlar.

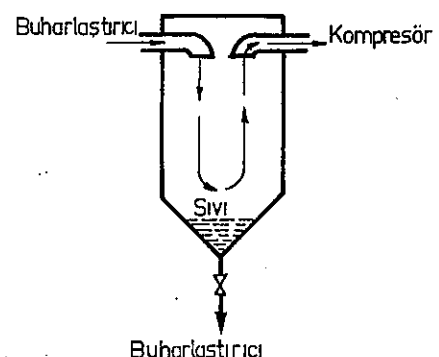
2.g) Sıvı ayırcısı

Helisel biçimde yapılmış olan buharlaştırıcılarında, çoğu zaman, kondansörden gelen soğutucu akışkanın tamamı buharlaşmaz ve bir bölümü sıvı halde kalır. Soğutucu akışkanın sıvı halde kalan bölümünü buharlaşan bölüm ile birlikte emme hattından geçerek kompresöre sürüklendir. Bu, hemen belirtelim ki, kompresör kapasitesinin düşmesine neden olur. İşte, buharlaştırıcıda, soğutucu akışkanın sıvı halde kalan bölümünün buharlaşan bölüm ile birlikte kompresöre sürüklendirmesine engel olmak için sıvı ayırcısı denilen elemanter bir cihazdan yararlanılır. Emme hattına bağlanan bu cihaz, (Şekil-2.56)'da da görüldüğü gibi, üzerinde içe dönük giriş ve çıkış lüleleri bulunan, tabanı konik yapılmış kapalı silindirik bir kabdır. Bu cihazda, buharlaştırıcıdan gelen buharın hızı ve yönü değiştirilerek beraberinde sürüklendiği sıvının dipte toplanması sağlanır.

Dipte toplanan sıvı bir boru ile yeniden buharlaştırıcıya yönlendirilir. Ancak sıvayı doygunluk sıcaklığından uzaklaştırmak için buharlaştırıcıya göndermeden önce bir ısı dönütürücüsünden geçirmek gereklidir.

2.h) Yağ ayırcıları

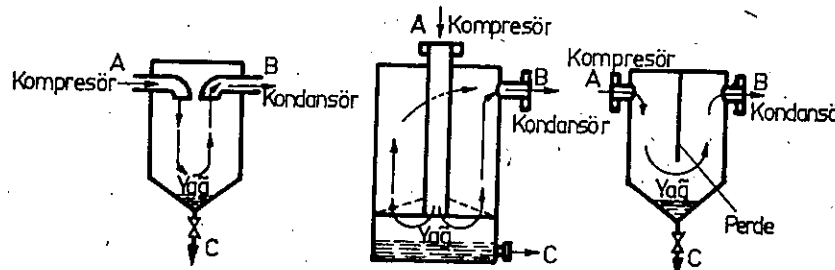
Kompresörlü soğutma devrelerinde, karterde bulunan soğutma yağı çoğu zaman soğutucu akışkanla birlikte sürüklendir. Bu hemen belirtelim



Şekil-2.56 Sıvı ayırcısı

ki, karterdeki yağın azalarak yağlama işlevini yerine getirmemesine, pistonun ve yatakların sarmasına neden olabilir. Ayrıca kondansöre ve buharlaştırıcıya sürükleşen yağ, ısı alış-verişine engel olarak soğutma kapasitesini de düşürür. Kompresörün çıkışına yerleştirilen yağ ayırcısının asıl görevi, soğutucu akışkanı karışan yağının kondansöre ve buharlaştırıcıya geçmesini önlemektir.

(Şekil-2.57)'de, kompresörlü soğutma devrelerinde zorunlu olarak kullanılan yağ ayırcısının üç değişik şekli görülmektedir. Bu yağ ayırcılarında, soğutucu akışkan,



Şekil-2.57 Yağ ayırcısının üç değişik varyantı

yön ve hız değişiminden yararlanılarak beraberinde sürüklemeş olduğu yağından arındırılır. Yağ, cihazın, genellikle konik yapılan dip tarafında toplanır. Toplanan yağı dışarıya almak için ayrıca cihazın dibine üzerinde ventil bulunan bir boşaltma borusu eklenir.

Kompresör çalışırken karterdeki yağ seviyesi devamlı olarak kontrol edilmelidir. Yağ seviyesinin düştüğü gözlenirse kartere hemen yağ eklenmelidir. Kartere yağ doldurulurken ve dolduruluktan sonra yapılması gereken işleri şöyle sıralayabiliriz:

- 1^o) Emme hattı üzerindeki servis vanası kapatılır,
- 2^o) Kompresör, karter basıncı ($0,0703 \text{ kg/cm}^2$)'ye düşüne dek çalıştırılır ve sonra durdurulur.

3^o) Yağ ventili yavaş yavaş açılarak kartere istenilen seviyede yağ doldurulur ve sonra bu ventil kapatılır,

4^o) Emme ve basma hatları üzerindeki servis valfları açılır ve kompresör çalıştırılarak yeniden soğutma devresine sokulur.

Karterde bulunan yağlama yağının yaklaşık (2000 saat)¹ lik bir çalışma döneminden sonra yenişi ile değiştirilmesi gereklidir. Bu durumda karterdeki eski yağ boşaltılır. Karterdeki eski yağ boşaltılırken şunlara dikkat edilir:

- 1^o) Emme hattı üzerindeki servis valfi kapatılır,
- 2^o) Karter basıncı ($0,0703 \text{ kg/cm}^2$)'ye düşürüldükten sonra kompresör durdurulur.
- 3^o) Basma hattı üzerindeki servis valfi kapatılır,
- 4^o) Yağ boşaltma deliğinin tapası açılarak kirli yağ boşaltılır,
- 5^o) Yağ boşaltma deliğinin tapası, kirli yağ tamamen boşaltıldıktan sonra yerine takılır.

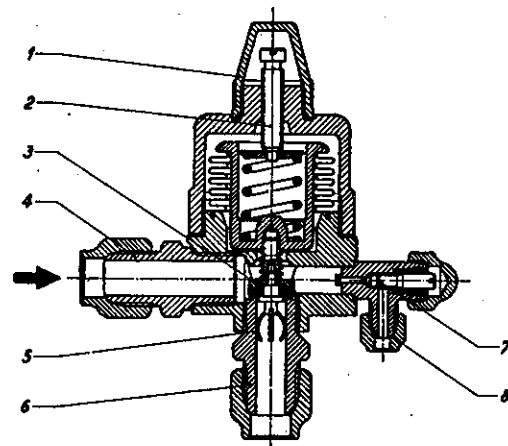
2.i) Ara soğutucular

Kompresörlerde, sıkıştırma sonu sıcaklığı, sıkıştırma oranına bağlı olarak değişir. Sıkıştırma sonu sıcaklığının yüksek olması çok sakincalıdır. Çünkü bu hem yağlama yağının niteliğine ve hem de soğutma devresinin işleyişine olumsuz yönde etkir. Sıkıştırma sonu sıcaklığının düşük bir düzeyde kalması için çogu kez kademeli sıkıştırma yöntemine başvurulur. Kademeli sıkıştırma ayrıca ara soğutuculardan da yararlanılır.

2.j) Buharlaştırıcı basınç regülatörü

Buharlaştırıcının çıkışında emme hattına bağlanan buharlaştırıcı basınç regülatörünün işlevi, buharlaştırıcı basıncını sabit tutarak sıcaklığın değişmemesini sağlamaktır.

(Şekil-2.58)'de, bir buharlaştıracı basınç regülatörü görülmektedir. Buharlaştıracı sıcaklığı soğutucu akışkanın doygunluk basıncına bağlıdır. Doygunluk basıncında meydana getirilecek küçük bir değişiklik buharlaştıracı sıcaklığına olduğu gibi yansır. Doygunluk basıncı (2) numaralı ayar vidalarından yararlanılarak ayarlanır. Buharlaştıracı basınç regülatörüne,

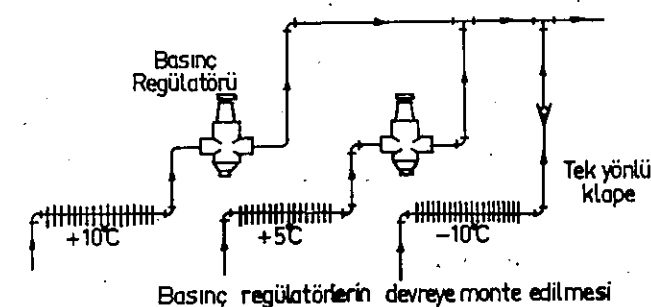


Şekil-2.58 Buharlaştıracı basınç regülatörü

- 1- Bakalit külâh 2- Ayar vidası 3- Valf siti
- 2- Giriş râkoru 5- Baskı mandali 6- Çıkış râkoru
- 7- Manometre ile bağlantıyı sağlayan servis valfi
- 8- Manometre bağlantı râkoru

doygunluk basıncını ayarlamak için önce (8) numaralı manometre bağlantı râkorundan yararlanılarak bir manometre takılır. (7) numaralı servis valfi açılır ve (2) numaralı ayar vidası sağa ya da sola çevrilerek manometrenin istenilen değeri göstermesi sağlanır. Manometrenin istenilen değeri göstermesi sağlandiktan sonra servis valfi kapatılır, manometre sökülkerek yerine bir kör tapa takılır ve servis valfi yeniden açılır. Soğutucu akışkan akımının termostatik genleşme valfları ile kontrol edildiği ve birden fazla buharlaştıracının bulunduğu

soğutma devrelerinde, en soğuk buharlaştıracının çıkışına tek yönlü klapa, diğer buharlaştırcıların çıkışına da mutlaka birer basınç regülatörü bağlanır. (Şekil-2.59)'da birden fazla buharlaştıracının bulunduğu bir soğutma devresinde basınç regülatörleri ile tek yönlü klapenin konumu görülmektedir.



Şekil-2.59 Üç buharlaştıracının bulunduğu bir soğutma devresinde basınç regülatörleri ile tek yönlü klapenin konumu

Aşağıda, 2.4 Numaralı çizelgede metilklorid, Freon-12, amonyak ve Freon - 22 gibi soğutucu akışkanlara ait doygunluk basıncı ile doygunluk sıcaklığı arasındaki ilişkiler gösterilmiştir.

BASINÇ VE SICAKLIK

2.4 Numaralı Çizelge

Sıcaklık		Metil Klorid CH ₃ Cl		Freon - 12		Amonyak NH ₃		Freon - 22	
°C	F°	kg/cm ²	Ibs/in ²	kg/cm ²	Ibs/in ²	kg/cm ²	Ibs/in ²	kg/cm ²	Ibs/in ²
- 50	- 58	0.26	3.7	0.39	5.3	0.4	5.9	0.6	9.4
- 45	- 49	0.36	5.1	0.51	7.1	0.55	7.9	0.85	12
- 40	- 40	0.49	6.87	0.65	9.3	0.7	10.4	1.0	15.3
- 35	- 31	0.64	9.0	0.82	12	1.0	13.5	1.35	19
- 30	- 22	0.78	11.0	1.0	14.6	1.2	17.3	1.7	23.8
- 25	- 13	1.0	14.0	1.26	18	1.54	22	2.0	29.2
- 20	- 4	1.2	17.2	1.53	21.9	1.94	27.6	2.5	35.4
- 15	+ 5	1.46	21	1.86	26.5	2.4	34.2	3.0	43
- 10	+ 14	1.78	25.7	2.2	31.8	2.96	42	3.6	51.6
- 5	+ 23	2.14	31.0	2.66	38	3.6	51.5	4.0	61
0	+ 32	2.57	37.0	3.14	44.8	4.37	62.3	5.0	72.5
+ 5	+ 41	3.0	44.0	3.69	52.5	5.25	74.8	6.0	85
+ 10	+ 50	3.62	60	4.31	61.4	6.27	89.2	7.0	99.4
+ 15	+ 59	4.26	62	5.0	72	7.42	105	8.0	115
+ 20	+ 68	4.98	71	5.77	82.2	8.74	124	9.4	133
+ 25	+ 77	5.8	81.4	6.6	94	10.2	145	10.6	153
+ 30	+ 86	6.7	94.7	7.5	108	11.9	169	12.3	174.5
+ 35	+ 95	7.74	108	8.6	123	13.8	196	14	198
+ 40	+ 104	8.87	124	9.77	139	15.6	225	15.8	225
+ 45	+ 113	10	140	11.0	156	18	258	18	253
+ 50	+ 122	11.3	158	12.4	176	20.7	295	20	284

KONTROL VE DEĞERLENDİRME SORULARI

- 1) Kompresörün işlevi nedir ? Uygulama alanında hangi tür kompresörlerle karşılaşılır ?
- 2) Soğutma devrelerinde kullanılan kompresörlerle basınçlı hava üretiminde kullanılan kompresörler arasındaki farklılar nelerdir ?
- 3) Kompresör kapasitesi nedir ?
- 4) Kompresör kapasitesi hangi değişkenlere bağlıdır ?
- 5) Gerçek kompresör kapasitesinin kuramsal kompresör kapasitesinden daha küçük olmasının nedenleri nelerdir ?
- 6) Yükleme derecesi nedir ?
- 7) Gerçek kompresör kapasitesi nasıl bulunur ?
- 8) Watt diyagramı nasıl oluşur ? Diyagram alanı neyi ifade eder ?
- 9) Ölü hacim ve silindire neyi ifade eder ?
- 10) Oran etkeni nedir ve hangi sınırlar arasında değişir ?
- 11) Endikatör diyagramının kuramsal Watt diyagramından farklı olmasının nedenleri nelerdir ?
- 12) Kompresörün gücüne ve endikatör diyagramının oluşumuna olumsuz yönde etkiyen etkenler nelerdir ?
- 13) Kompresör kapasitesinin düzenlenmesinde hangi yöntemler izlenir ?
- 14) Çift silindirli kompresörlerin dolaşım hattı ile donatılmışının nedenleri nelerdir ?
- 15) Defrost yani buharlaştırıcıda biriken karların eritilmesi için ne yapılır ?
- 16) Emme滤resi hangi hat üzerine monte edilir ? Emme filterinin işlevi nedir ?

- 17) Filtraj elemanı kaç saatte bir değiştirilmelidir ?
- 18) Kondansör nedir ve soğutma devresinin hangi kanadında bulunur ?
- 19) Soğutma devrelerinde hangi tür kondansörler kullanılır ?
- 20) Haznenin işlevi nedir ? Hazne, soğutma devresi üzerinde nereye monte edilir ?
- 21) Soğutma devresinde nemin neden olduğu arızalar nelerdir ?
- 22) Nem tutucunun işlevi nedir ?
- 23) Nem tutucu soğutma devresine genellikle, nasıl bağlanır ?
- 24) Hangi soğutma devrelerinde nem tutucu işlevini tamamlandıktan sonra devre dışı bırakılır ?
- 25) Soğutma tesisatı hangi nedenlerle kurutulur ?
- 26) Soğutma tesisatının bütünüyle ve buharlaştırıcıının kısmen kurutulmasında nelerden yararlanılır ?
- 27) Elektrovalflar hangi soğutma devrelerinde kullanılır ?
- 28) Termostadın işlevi nedir ?
- 29) Elektrovalf soğutma devresine hangi konumda monte edilmelidir ?
- 30) Montajda, termostatik genleşme valfi ile elektrovalf arasında kaç (cm)'lik uzaklık bırakılmalıdır ?
- 31) Aynı sıcaklıkta iki buharlaştırıcı içeren bir soğutma devresinde elektrovalf nereye monte edilir ?
- 32) Farklı sıcaklıkta buharlaştırıcılar içeren bir soğutma devresinde elektrovalf nereye monte edilir ?
- 33) Soğutucu akışkanın gereksinme duyulan miktarda buharlaştırıcıya gönderilebilmesi için hangi elemanların soğutma devresi üzerinde monte edilmesi gereklidir ?
- 34) Şamandıralı alçak basınç valfinin işlevi nedir ve bu valf soğutma devresi üzerinde nereye monte edilir ?

- 35) Şamandıralı yüksek basınç valfinin işlevi nedir ve bu valf soğutma devresi üzerinde nereye monte edilir ?
- 36) Şamandıralı yüksek basınç valflarından hangi soğutucu akışkanın kullanıldığı soğutma devrelerinde yararlanılır ?
- 37) Otomatik genleşme valfinin işlevi nedir ?
- 38) Termostatik genleşme valfinin işlevi nedir ?
- 39) Termostatik genleşme valflarının denemesi hangi basınca göre yapılır ?
- 40) Duyar elemanı yani BALB hangi sıcaklığa kadar kullanılabilir ?
- 41) Duyar elemanı buharlaştırıcıdan çıkış hattı üzerinde hangi konumda monte etmek gereklidir ?
- 42) Termostatik genleşme valfina hangi amaçla denkleştirici eklenir ?
- 43) Isı dönüştürücünün işlevi nedir ?
- 44) Isı dönüştürücüsü soğutma devresi üzerinde nereye monte edilir ?
- 45) Hava gidericileri hangi amaçla kullanılır ?
- 46) Sıvı ayırcısının işlevi nedir ?
- 47) Sıvı ayırcısı, soğutma devresinde hangi hatta bağlanır ?
- 48) Yağ ayırcısının işlevi nedir ?
- 49) Kartere yağ doldurulurken hangi işler yapılır ?
- 50) Karterdeki eski yağ boşaltılırken hangi önlemler alınır ?
- 51) Ara soğutuculardan hangi amaçla yararlanılır ?
- 52) Buharlaştırıcı basınç regülatörünün işlevi nedir ?

III. B Ö L Ö M
Ç E Ş I T L İ U Y G U L A M A L A R

- 1) Buz Yapımı
 - 1.a) Genel tanım ve açıklamalar
 - 1.b) Buz jeneratörü
 - 1.c) Buz jeneratöründe çekilen ısı miktarının hesabı
- 2) Soğutucu akışkan olarak Freon kullanılan otomatik meyve soğutma tesisatının hesabı
- 3) Hızlı dondurma kavramı ve hızlı dondurma yöntemleri
 - 3.a) Tanım ve açıklamalar
 - 3.b) Hızlı dondurma yöntemleri
 - 3.b.1) Hava ile hızlı dondurma yöntemi
 - 3.b.2) Salamura ile hızlı dondurma yöntemleri
 - 3.b.2.a) Otessen Yöntemi
 - 3.b.2.b) Zarotschenzeff Yöntemi
 - 3.b.2.c) Petersen Yöntemi
 - 3.b.3) Değdirme ile hızlı dondurma yöntemi
 - 3.c) Soğuk hücrelerde depolama
 - 3.d) Dondurma ortamı

Ç E Ş İ T L İ U Y G U L A M A L A R

1) BUZ YAPIMI

1.a) Genel tanım ve açıklamalar

Önceleri, kışın soğuk günlerinde doğal olarak elde edilen buz, büyük çukurlarda, üzeri saman ve toprakla örtülmerek saklanır, yazın sıcak günlerinde de kullanılırdı.⁽¹⁾ Ancak buz gereksiniminin giderek artması ve büyük boyutlara ulaşması, teknolojik yöntemlerle yapay buz yapımını gündeme getirmiştir.

Doğal buz, her şeyden önce, arı ve temiz değildir. Doğal buzun arı ve temiz olmaması, her şeyden önce kullanım yerini sınırlar.

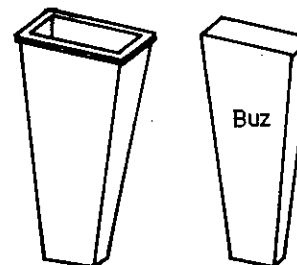
Yapay buz yapımında, genellikle, dolaylı soğutma yönünden yararlanır. Dolaylı soğutma yöntemi uyarınca buz jeneratöründe salamura soğutulur ve su doldurulmuş buz kalıpları da salamuranın içerisinde daldırılarak buz elde edilir.

Atmosferik basınçta su, bilindiği gibi, (0°C) sıcaklıkta donar. Ancak donmanın hızlı olması için buz jeneratöründe salamura sıcaklığı, genellikle, (-8°C)'de tutulur.

Buzun kolay çıkması için buz kalıpları (Şekil-3.1)'de görüldüğü gibi, kesik piramit şeklinde yapılır. Buz kalıplarının iç yüzünün de pürüzsüz olması gereklidir. Buz kalıplarının

⁽¹⁾ Elektrik akımının, buzdolabının ve buz fabrikasının bulunmadığı dönemlerde, buz yapımı için kışın kar toplanır, ahşap kablar içerisinde tokmakla dövülerek, iyice sıkıştırılır ve buz bloku haline getirilirdi. Bu buz blokları yerde açılan oldukça derin bir kuyuda bir saman tabakası üzerine yerleştirilerek yanları ve üzeri yine samanla örtülüdür. Daha sonra kuyunun üzerine kıl keçe serilir, kıl keçe toprakla örtülü ve toprak da tokmakla dövülerek sıkıştırılırdı. Yazın bu çukurlar açılır, gerektiği kadar buz bloku alındıktan sonra yeniden kapatılırdı.

yapımında paslanmaz çelik sac kullanılır. Ancak paslanmaz çelik sacın bulunmadığı durumlarda galvanizli sac da kullanılabilir.



Şekil-3.1 Buz kalibi

Buz jeneratöründe, buz kalıpları, şasi üzerinde, düşey konumda yan yana dizilerek askiya alınır.

Buzun hacmi, bilindiği gibi, kendisini oluşturan suyun hacminden daha büyütür. Bu nedenle buz, buz kalıbına sıkışır. Buzun kalıptan kolayca çıkarılabilmesi için, kalıpların, içerisinde ($+15^{\circ}\text{C}$) sıcaklıkta su bulunan bir havuza daldırılıp çıkarılması gereklidir.

Üretilen buzun saydam ve sert olması da önemlidir. Buz kalıbına doldurulan suyun içerisinde, donma sürecinde hava kabarcıklarının sıkışıp kalması buzun matlaşmasına neden olur. Bunun önüne geçmek yani donma sürecinde, suyun içerisinde hava kabarcıklarının sıkışıp kalmasını önlemek için buz kalıplarını, buzlanma başlayıcaya dek belirli aralıklarla sallanmak gereklidir.

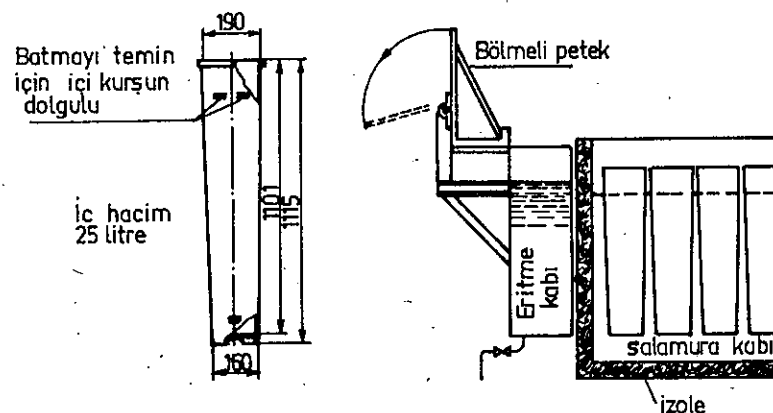
1.b) Buz jeneratörü

Buz jeneratörü, esas olarak, paslanmaz çelik sactan yapılmış üstü açık prizmatik bir kabla bir buharlaştırıcıdan oluşmuştur. Soğutma devresinin diğer ana ve ara elementleri dışında oldukları için buz jeneratörünü oluşturan elementler arasında bunlara yer verilmemiştir. Buz jeneratörünün çevre ile ısı alış-verisi yapmasını önlemek için iyi yalıtlaması ve ayrıca tahtadan yapılmış bir zarfın içerisinde yerleştirilmesi gereklidir.

Prizmatik kabin içerisinde salamura vardır ve bu salamura buharlaştırıcı ile soğutulur. Buz jeneratörlerinde

buharlaştırıcı olarak ya eski tip serpentin ya da yeni tip çelik borulu kazan kullanılır. Salamuranın dolaşımını sağlamak için buz jeneratöründe buharlaştırıcının önüne ayrıca bir plaka yerleştirilir. Bu durumda plakanın arkasında kalan salamura kolay soğur ve meydana gelen sıcaklık farkı da salamuranın kab içerisinde kendiliğinden dolaşımını sağlar.

(Şekil-3.2)'de, bir buz jeneratöründe salamura kabı, şasi üzerinde askiya alınmış düşey konumda buz kalıpları ve içerisinde ($+ 15^{\circ}\text{C}$) sıcaklıkta su bulunan buz çözme kabı görülmektedir. Büyük işletmelerde, şasi üzerine yerleştirilen buz kalıplarının şasi ile birlikte toplu olarak çıkarılması ya da salamura kabına yerleştirilmesi için şasinin iki başına birer kanca monte edilir. Bu kancaların işlevi, hemen belirtelim ki, bir zincirle şasinin vinç kancasına bağlanmasını sağlamaktır. (Şekil-3.3)'de, iki başına birer kanca mon-

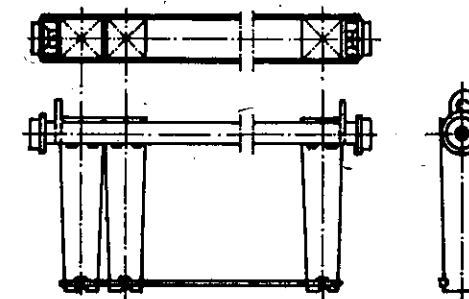


Şekil-3.2 Buz jeneratöründe salamura kabı, şasi üzerinde askiya alınmış buz kalıpları ve buz çözme kabı

te edilmiş olan bir şasi görülmektedir.

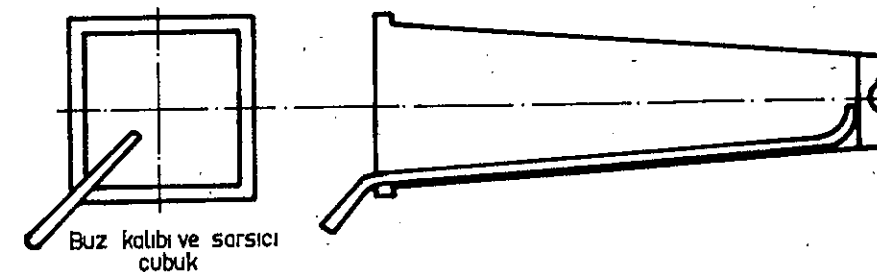
Buz jeneratöründe, buz kalıpları içerisinde bulunan su, gevreden merkeze doğru donmaya başlar. Şehir suyundan yapılan buz koyu beyaz renkte, damitik sudan yapılan buz

da saydam olur. Damitik sudan yapılan buza kristal buz adı verilir. Kristal buzun maliyeti yüksektir. Çünkü damitik su elde etmek için ayrı bir tesis kurmak ve buna bağlı olarak ek bir harcama yapmak gereklidir.



Şekil-3.3 İki başına birer kanca monte edilmiş olan şasi

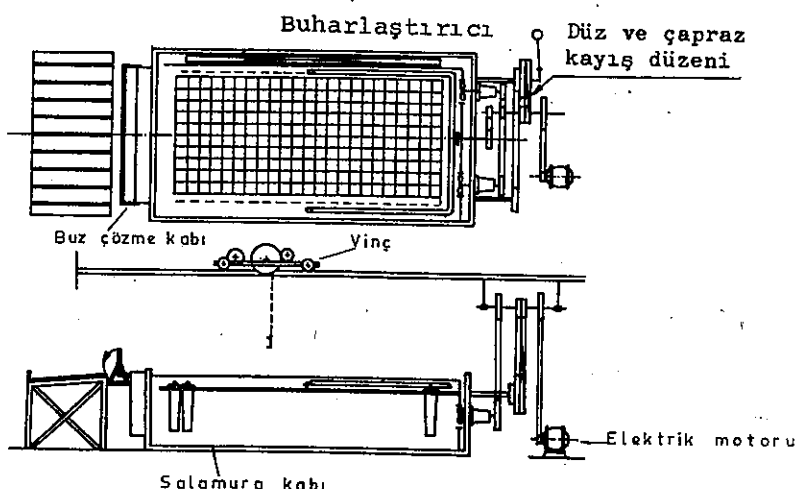
Buzu kalıplardan kolayca çıkarmak ve donma başlayıncaya dek belirli aralıklarla kalıpları sarsarak hava kabarcıklarının sıkışıp kalmasını önlemek amacıyla buz kalıplarının içerisine, (Şekil-3.4)'de görüldüğü gibi, boydan boya uçları eğri birer demir çubuk yerleştirilir. Büyük işletmelerde, buzlanma başlayıncaya dek belirli aralıklarla buz



Şekil-3.4

kalıplarının sarsılması, mekanik düzenlemeye ile bir elektrik motorundan güç ve hareket alınarak gerçekleştirilir.

Buz jeneratörlerinde ortalama donma süresi (16) saat olarak belirlenmiştir ve salamura sıcaklığı hiçbir zaman (-8°C)'nın altına düşürülmelidir. Salamura sıcaklığı (-8°C)'nın altına düşürülürse buz kırıcı görünümü ve kırılgan olur. Aşağıda, (Şekil-3.5)'de, komple bir buz jeneratörünün şeması öرülülmektedir.



Şekil-3.5 Komple bir buz jeneratörü

1.c) Buz jeneratörlerinde çekilen ısı miktarının hesabı

Buz jeneratörlerinde, buz oluşturulurken (kg) buz başına çekilen ısı miktarını bulmak için her şeyden önce, buz kalibine doldurulan suyun sıcaklığını ile buzun oluşturduğu salamura sıcaklığını bilmek gereklidir. Buz kalibine doldurulan suyun sıcaklığını (t_1) ve buzun oluşturduğu salamura sıcaklığını da (t_2) ile gösterelim. Bilindiği gibi, suyun

özgül ısınma ısısı ($C_1 = 1 \text{ kcal/kg.}^{\circ}\text{C}$), buzun özgül ısınma ısısı ($C_2 = 0,5 \text{ kcal/kg.}^{\circ}\text{C}$) ve (0°C) sıcaklıkta su için durum değiştirmeye ısısı da ($q_0 = 80 \text{ kcal/kg}$)'dır. Buz kalibine doldurulan (t_1) sıcaklığındaki suyu (t_2) sıcaklığında buz haline getirmek için (kg) su başına çekilmesi gereken ısı miktarını (q_s) ile gösterecek olursak

$$q_s = q_0 + C_1(t_1 - t_0) + C_2(t_0 - t_2)$$

eşitliğini yazabilirim. Ancak buna, kuramsal ısı miktarını bulmak için buz kalibinden çekilen ısı miktarını da eklemek gereklidir. (25 kg)'lık buz üretiminde kullanılan standart bir buz kalibinin ağırlığı (10,5 kg)'dır. Sayısal olarak (kg) buz başına düşen buz kalibi ağırlığına oran etkeni denir. Oran etkeni standart buz kalibinin ağırlığı, üretilen buzun ağırlığına bölünerek bulunur. Oran etkenini (m) ile gösterelim. Bu durumda

$$m = \frac{10,5}{25} = 0,42$$

$$m = 0,42$$

olur. Buzun oluşum sürecinde (kg) buz başına buz kalibinden çekilmesi gereken ısı miktarı (q_c) ve buz kalibinin yapımında kullanılan gereçin özgül ısınma ısısı da (c) olsun. Buna göre,

$$q_c = c(t_1 - t_2)$$

eşitliği yazılabilir. Diğer yandan kuramsal ısı miktarını (q_T) ile gösterecek olursak, yukarıda yapmış olduğumuz açıklamaya uygunca

$$q_T = q_s + q_c = q_0 + c_1(t_1 - t_0) + c_2(t_0 - t_2) + c(t_1 - t_2)$$

$$q_T = q_0 + c_1(t_1 - t_0) + c_2(t_0 - t_2) + c(t_1 - t_2)$$

eşitliğini yazabilirim.

Salamura kabini gevreden tamamen yalıtmak ve salamura kabı ile çevre arasındaki ısı alış-verişini önlemek olanaksızdır. Bu nedenle buzun oluşum sürecinde, (kg) buz başına çekilen gerçek ısı miktarı kuramsal ısı miktarından daha büyük olur. Yapılan deneysel araştırmalar sorunda gerçek ısı miktarının yaklaşık olarak kuramsal ısı miktarının (1,2) katına eşit olduğu kanıtlanmıştır. Gerçek ısı miktarını (q_G) ile gösterelim. Bu durumda

$$q_G = 1,2 q_T = 1,2 [q_0 + c_1(t_1 - t_0) + c_2(t_0 - t_2) + c(t_1 - t_2)]$$

$$q_G = 1,2 [q_0 + c_1(t_1 - t_0) + c_2(t_0 - t_2) + c(t_1 - t_2)]$$

eşitliği yazılabilir. Aşağıda, POHLMAN adlı araştırcı tarafından düzenlenenmiş olan 3.1 Numaralı çizelgede, (- 8 °C) sıcaklıkta, buz jeneratörlerinde, belirli ağırlık sınırları arasındaki buz üretiminde, (kg) buz başına çekilen gerçek ısı miktarı görülmektedir.

3.1 Numaralı Çizelge

Oretilen Buzun ağırlığı G (kg)	Çekilen gerçek ısı miktarı q_G (kcal/kg)	Oretilen Buzun ağırlığı G (kg)	Çekilen gerçek ısı miktarı q_G (kcal/kg)
5 < G < 5	160	50 < G < 200	130 > q_C > 125
5 < G < 10	160 > q_G > 150	200 < G < 300	125 > q_C > 120
10 < G < 15	150 > q_G > 140	300 < G < 400	120 > q_C > 115
15 < G < 20	140 > q_G > 135	400 < G < 500	115 > q_C > 110
20 < G < 50	135 > q_G > 130	G > 500	110

UYGULAMA

Bir buz jeneratöründe, her biri (64 adet) buz kalıbindan oluşan (5) ayrı batarya vardır. Bir buz kalibi (25 dm³) su almaktadır. Buz kalıplarına doldurulan suyun sıcaklığı (+ 10 °C), buz jeneratöründe salamura sıcaklığı da (- 8 °C)'dır. Buz jeneratöründe buz (16 saatte) oluşmaktadır. Buz kalıplarının yapımında kullanılan paslanmaz çeliğin özgül ısınma ısısı ($c = 0,12 \text{ kcal/kg.}^{\circ}\text{C}$) olduğuna göre, tesisin soğutma kapasitesini hesaplayalım.

Soğutma kapasitesini hesaplayabilmek için önce (kg) buz başına çekilen gerçek ısı miktarını bulmak gereklidir. (kg) buz başına çekilen gerçek ısı miktarının hesaplanması,

$$q_G = 1,2 [q_0 + c_1(t_1 - t_0) + c_2(t_0 - t_2) + c(t_1 - t_2)]$$

eşitliğinden yararlanılır.

$$c = 0,12 \text{ kcal/kg.}^{\circ}\text{C}$$

$$c_1 = 1 \text{ kcal/kg.}^{\circ}\text{C}$$

$$c_2 = 0,5 \text{ kcal/kg.}^{\circ}\text{C}$$

$$t_1 = 10^{\circ}\text{C}$$

$$t_2 = -8^{\circ}\text{C}$$

$$t_0 = 0^{\circ}\text{C}$$

ve

$$q_0 = 80 \text{ kcal/kg}$$

olduğu için

$$q_G = 1,2[80 + 1.10 + 0,5.8 + 0,12(10 + 8)] = 115,392 \text{ kcal/kg}$$

$$q_G = 115,392 \text{ kcal/kg}$$

olur. Buz jeneratöründe, her biri (64 adet) buz kalibinden oluşan (5) ayrı batarya olduğu için (16 saatte)

$$G = 5 \cdot 64 \cdot 25 = 8000 \text{ kg}$$

$$G = 8000 \text{ kg}$$

buz üretilir. Bu durumda (saat) başına buz jeneratöründe üretilen buz miktarı (500 kg) olur. Tesisin soğutma kapasitesini bulmak için saat başına üretilen buz miktarı ile (kg) buz başına çekilen gerçek ısı miktarını çarpmak gereklidir. Bu na göre, tesisin soğutma kapasitesinin

$$q_G \cdot \frac{G}{16} = 115,392 \cdot 500 = 57696 \text{ kcal/saat}$$

olduğu ortaya çıkar.

Buz jeneratörlerinde donma süresi çok önemlidir. Buz kalıplarında bulunan su, önceleri, çeperlerle doğrudan temas ettiği için ısı kaybı yüksek olur. Fakat buz kalıplarında çeperlere en yakın olan yerlerde donma başlayınca buzun kötü bir iletken olması nedeniyle ısı kaybı azalır ve donmanın çevreden merkeze doğru ilerlemesi yavaşlar. (25 dm^3)'luk buz kalibinde (25 kg)'lık bir buz bloku elde etmek için gerekli sürenin minimal değeri (14 saat)'tir. Bu süreyi azaltmak için ilk yaklaşımda buz kalibinin hacmini küçültmek ve kalınlığını azaltmak gerektiği anlaşılır.

2) Soğutucu akışkan olarak Freon kullanılan otomatik meyve soğutma tesisatinin planlanması ve hesabı

Bir soğutma tesisatinin planlanması ve hesabının yapılabilmesi için önce eldeki verilerin ortaya konması gereklidir. Örneğin soğutulacak maddenin türü, hangi sıcaklıkta saklanacağı, saklama yerinin yapısı, kaç günde bir yüklenceği, soğutmanın doğrudan ya da dolaylı yapılip yapılmayacağı,

soğutma tesisatinin otomatik çalışıp çalışmayıacağı, soğutma suyunun nitelik ve niceliği, hep saptanması, belirlenmesi ve bilinmesi zorunlu olan verilerdir.

Bir soğutma tesisatinin planlanmasına ve hesabına gelmeden önce yapılması zorunlu işlerle saptama ve belirlemeleri önemine göre şöyle sıralayabiliriz:

1^o) Endüstriyel soğutma tesisleri yalnızca besin maddelerinin saklanması ve korunmasında değil bazı kimyasal ve endüstriyel maddelerin de saklanması ve korunmasında kullanılır. Bu nedenle her şeyden önce saklanacak ve korunacak maddelerin türü belirlenir,

2^o) Saklanacak ve korunacak maddelerin nicelik ve niteliklerine göre, soğuk ortamın boyutları saptanır,

3^o) Çeşitli besin maddeleri ile kimyasal ve endüstriyel maddelerin hangi sıcaklıkta saklanması ve korunmasının uygun olduğu araştırılır,

4^o) Saklama ve koruma sıcaklığına göre, soğuk ortamın konstrüksiyon ve izolasyon kalınlığı saptanır,

5^o) Soğuk ortama günlük olarak yerleştirilecek maddelerin miktarı araştırılır,

6^o) Isı transmisyon hesabı yapılır,

7^o) Soğutmanın nasıl yapılacağı belirlenir,

8^o) Soğutulan ortamla buharlaştırıcıda soğutucu akışkan arasında bulunması istenilen sıcaklık farkına göre, bağıl nem, buharlaştırıcı ve kompresör kapasitesi hesaplanır,

9^o) Kompresör kapasitesine uygun bir kompresör seçilir,

10^o) Kondansör kapasitesi belirlenir ve soğutma suyunun niteliğine göre kondansör tipi saptanır,

11^o) (saat) başına kullanılacak soğutma suyu miktarına göre, su pompasının boyutları hesaplanır,

12^o) Salamuralı yani dolaylı soğutma sistemi kullanıldacıkça salamura tankının boyutları belirlenir,

13^o) Hava soğutucusunun kullanım amacına göre türü saptanır,

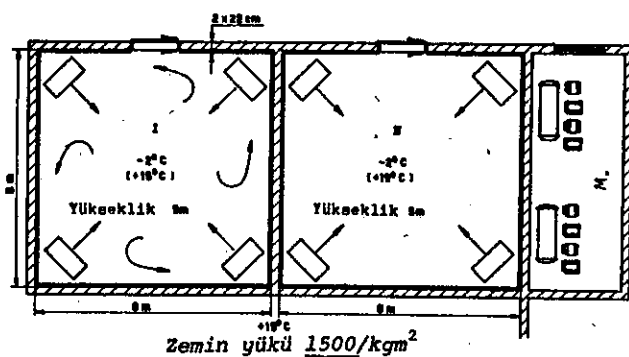
14^o) Gönderilen havanın miktarı ve karşılaştığı dirençler göz önünde bulundurularak vantilatör kapasitesi hesaplanır,

15^o) Hava dolasım ve dağıtım borularının çapı belirlenir,

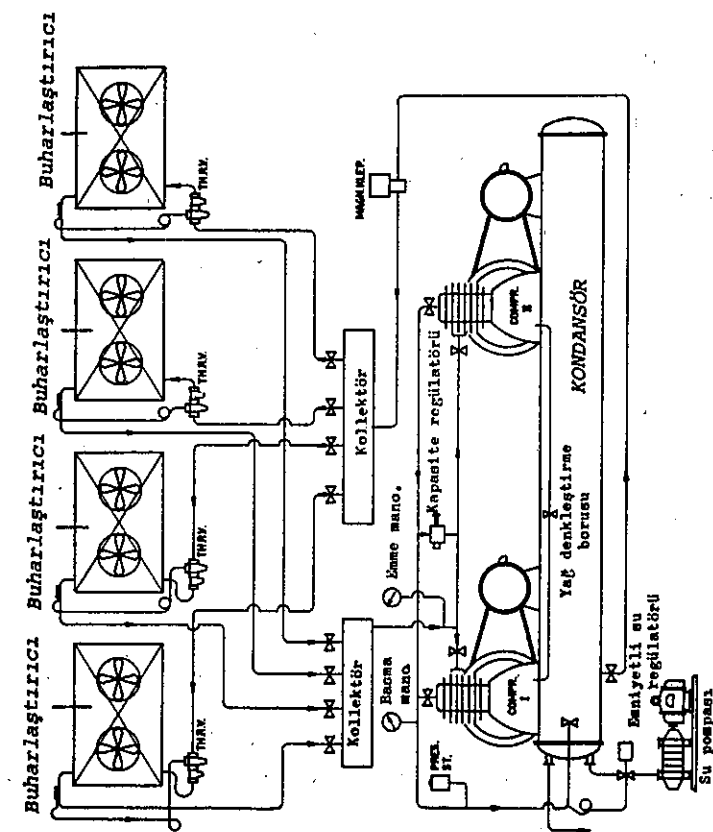
16^o) Soğutma tesisatı otomatik çalışacağına göre, gerekli mekanik ve elektronik düzenleme araçları seçilir,

17^o) Son olarak tesisatın yapım ve montaj resimleri çizilir.

(Şekil-3.6)'da, (2) kamaralı basit bir soğuk deponun yerleşim planı, (şekil-3.7)'de de bu soğuk depoya monte edilen soğutma tesisatının fonksiyonel şeması görülmektedir.



Şekil-3.6 (2) kamaralı soğuk deponun yerleşim planı



Şekil-3.7 (2) kamaralı soğuk depoya monte edilen soğutma tesisatının fonksiyonel şeması

UYGULAMA

(Şekil-3.6)'da görülen 2 kamaralı soğuk depoda elma, armut ve portakal gibi meyvelerin (- 2 °C) sıcaklıkta saklanması ve korunması istenmektedir. Soğuk deponun ön ve yan duvarları ile çatısı atmosferle bağlantılıdır. Arka duvar soğuk depoya sıcaklığı (+15 °C) olan ortamdan ayırmaktadır. Dış hava sıcaklığı, çatı üzerinde (+ 50 °C), ön ve yan duvarlarının çevresinde de (+ 25 °C) olmaktadır. Soğuk depoda zeminin yüklenme dayanımı (1500 kg/m^2) olarak saptanmıştır. Elma, armut ve portakallar taban alanı ($0,212 \text{ m}^2$) ve yüksekliği de (30 cm) olan kasaların içérisine yerleştirildikten sonra soğuk depoya konulmaktadır. Bir üretim merkezinden soğuk depoya günde bürüt (16290 kg) taze mal gönderilmektedir. Bu taze malın net (13864 kg)'ni meyveler ve (2444 kg)'ını da ağaç kasalar oluşturmaktadır. Soğuk deponun ana boyutları yerleşim planı üzerinde gösterilmiştir. Bu verilerden yararlanarak soğuk depoya yapılabilecek yüklemenin maksimal değerini, ısı transferini, meyve ve kasalardan çekilmesi gereken ısı miktarını, kompresörün çalışma sürecini hesaplayalım ve buharlaştırıcıının seçimi ile kondansörün seçimini yapalım.

a) SOĞUK DEPOYA YAPILABILECEK YÜKLEMENİN MAKSİMAL DEĞERİ

Soğuk depoya yapılabilecek yüklemenin maksimal değerini bulmak için önce soğuk depo tabanının alanını hesaplamak gerekmektedir. Soğuk depo tabanının yaklaşık olarak (% 10)'u malı rahat yerleştirmek ve dolaşım için boş bırakılır. Buna göre, soğuk depoda yararlanılabilen alan

$$S = 2 \cdot 8 \cdot 8 \cdot \frac{90}{100} \# 115 \text{ m}^2$$

$$S = 115 \text{ m}^2$$

olur. Zeminin yüklenme gerilimi bilindiği gibi, (1500 kg/m^2) olarak saptanmıştır. Zeminin kaldırabilecegi maksimal yükün

ağırlığını bulmak için yararlanılabilen alanla yüklenme gerilimini çarpmak gerekmektedir. Tabanın kaldırabilecegi yükün ağırlığını (M_p) ile gösterecek olursak

$$M_p = 115 \cdot 1500 = 172500 \text{ kg}$$

$$M_p = 172500 \text{ kg}$$

elde ederiz. Soğuk depoda yararlı alanı örten meyvelerin yerleştirildiği kasaların sayısını (n_1) ile gösterelim. Kasanın oturma yüzeyinin alanı ($S_o = 0,212 \text{ m}^2$) ve yüksekliği de ($h = 30 \text{ cm}$) olarak verilmiştir. Bu durumda yararlı alanı örten kasaların sayısı,

$$n_1 = \frac{S}{S_o} = \frac{115}{0,212} \# 543$$

$$n_1 = 543$$

olur. Genellikle standart kasaların ağırlığı (3 kg)'dır ve bunların her birine (17 kg) kadar meyve yerleştirilebilir.

Yararlı alanı örten (543) dolu kasanın soğuk depoda zeminine yapabilecegi etki

$$M_G = (3 + 17) \cdot n_1 = 20 \cdot 5430 = 10860 \text{ kg}$$

$$M_G = 10860 \text{ kg}$$

olarak bulunur. Soğuk depoya kaç sıra kasa konulabileceğini bulmak için tabanın taşıyabilecegi maksimal yükün ağırlığını tek sıra yararlı alanı örten kasaların ağırlığına bölmek gerekmektedir. Sıra sayısını (n_2) ile gösterecek olursak

$$n_2 = \frac{M_p}{M_G}$$

eşitliğini yazabiliriz. Buradan

$$n_2 = \frac{M_p}{M_G} = \frac{172500}{10860} \# 15$$

$$n_2 = 15$$

eldə ederiz. Buna göre soğuk depoya yerleştirilecek kasa sayısı

$$N = n_1 \cdot n_2 = 543 \cdot 15 = 8145$$

$$N = 8145$$

olur. Diğer yandan soğuk depoya günde (16290 kg) yani (815) kasa taze mal girmesi, soğuk depoda zeminin taşıyabileceği maksimal yükün ağırlığı (172500 kg) olduğuna göre, yaklaşık olarak (10) günlük yükleme yapılabileceğini gösterir.

b) ÇEVREDEN SOĞUK DEPOYA TRANSFER OLAN ISI MİKTARI İLE SOĞUK DEPODAN ÇEKİLECEK ISI MİKTARININ HESABI

Cevre ile soğuk depo arasında büyük sıcaklık farkının bulunması, yalıtım ne kadar iyi yapılrsa yapılışın çevreden soğuk depoya ısı transferine neden olur. Çevreden soğuk depoya transfer olan ısı miktarını bulmak için duvarların boyutlarını ve yapının niteliğini, duvarların iç yüzüne, zemin ve tavana kaplanan yalıtma maddesinin kalınlığı ile ısı geçirgenlik katsayısını bilmek gereklidir.

Ön, arka ve yan duvarlar çift tuğla duvarlardır. Duvarların iç yüzü ile zemin ve tavana kaplanan yalıtım maddesinin kalınlığının (10 cm) olduğunu kabul edelim. 3.6 Numaralı çizelgeden yararlanılarak iç yüzü, (10 cm) kalınlığında yalıtım maddesi ile kaplı olan çift tuğla duvar için ısı geçirgenlik katsayı ($K = 0,27 \text{ kcal}/\text{m}^2 \cdot \text{saat} \cdot {}^\circ\text{C}$) olarak belirlenir. Ancak sıcaklığı ($+ 15 {}^\circ\text{C}$) olan ortamla bağlantılı arka duvar için ısı geçirgenlik katsayı, belirlenen bu değerin (0,95) katına eşit alınır. Duvarlardan, zemin döşemesinden ve tavandan soğuk depoya transfer olan ısı miktarı, çevre ve soğuk depo arasındaki sıcaklık farkı ile bunların alanı ve ısı geçirgenlik katsayı çarpılarak bulunur. Soğuk depoya ön duvardan transfer olan ısı miktarını (Q_1), yan duvarlardan transfer olan ısı miktarını (Q_1'), arka

duvardan transfer olan ısı miktarını (Q_2), zemin döşemesinden transfer olan ısı miktarını (Q_3) ve tavandan transfer olan ısı miktarını da (Q_4) ile gösterelim. Soğuk depoyu sırırlayan ön ve yan duvarların iç ve dış yüzleri arasındaki sıcaklık farkı (Δt_1), arka duvarın iç ve dış yüzleri arasındaki sıcaklık farkı (Δt_2), zemin döşemisinin üst ve alt kısımları arasındaki sıcaklık farkı (Δt_3), tavanın üst ve alt kısımları arasındaki sıcaklık farkı (Δt_4) olsun. Bu durumda yukarıda yapmış olduğumuz açıklama uyarınca

$$Q_1 = S_1 \cdot K \cdot \Delta t_1$$

$$Q_1' = S_1' \cdot K \cdot \Delta t_1$$

$$Q_2 = 0,95 \cdot S_2 \cdot K \cdot \Delta t_2$$

$$Q_3 = S_3 \cdot K \cdot \Delta t_3$$

$$Q_4 = S_4 \cdot K \cdot \Delta t_4$$

eşitliklerini yazabiliriz.

S_1 - ön duvar iç yüzünün alanı

$$S_1 = 2 \cdot 8 \cdot 5 = 80 \text{ m}^2$$

S_1' - Yan duvar iç yüzünün alanı

$$S_1' = 2 \cdot 8 \cdot 5 = 80 \text{ m}^2$$

S_2 - arka duvar iç yüzünün alanı

$$S_2 = 2 \cdot 8 \cdot 5 = 80 \text{ m}^2$$

S_3 - zemin döşemesinin alanı

$$S_3 = 2 \cdot 8 \cdot 8 = 128 \text{ m}^2$$

S_4 - tavan iç yüzünün alanı

$$S_4 = 2 \cdot 8 \cdot 8 = 128 \text{ m}^2$$

ve

158

$$\Delta t_1 = (+ 25^{\circ}\text{C}) - (- 2^{\circ}\text{C}) = 27^{\circ}\text{C}$$

$$\Delta t_2 = (+ 15^{\circ}\text{C}) - (- 2^{\circ}\text{C}) = 17^{\circ}\text{C}$$

$$\Delta t_3 = (+ 10^{\circ}\text{C}) - (- 2^{\circ}\text{C}) = 12^{\circ}\text{C}$$

$$\Delta t_4 = (+ 50^{\circ}\text{C}) - (- 2^{\circ}\text{C}) = 52^{\circ}\text{C}$$

olduğu için

$$Q_1 = S_1 \cdot K \cdot \Delta t = 80 \cdot 0,27 \cdot 27 = 583,2 \text{ kcal/saat}$$

$$Q_1 = 583,2 \text{ kcal/saat}$$

$$Q'_1 = S'_1 \cdot K \cdot \Delta t_1 = 80 \cdot 0,27 \cdot 27 = 583,2 \text{ kcal/saat}$$

$$Q'_1 = 583,2 \text{ kcal/saat}$$

$$Q_2 = 0,95 \cdot S_2 \cdot K \cdot \Delta t_2 = 0,95 \cdot 80 \cdot 0,27 \cdot 17 = 348,84 \text{ kcal/saat}$$

$$Q_2 = 348,84 \text{ kcal/saat}$$

$$Q_3 = S_3 \cdot K \cdot \Delta t_3 = 128 \cdot 0,27 \cdot 12 = 414,72 \text{ kcal/saat}$$

$$Q_3 = 414,72 \text{ kcal/saat}$$

$$Q_4 = S_4 \cdot K \cdot \Delta t_4 = 128 \cdot 0,27 \cdot 52 = 1797,12 \text{ kcal/saat}$$

$$Q_4 = 1797,12 \text{ kcal/saat}$$

olarak.

Çevreden soğuk depoya transfer olan ısı miktarı, ayrı ayrı ön, yan ve arka duvarlarla döşeme ve tavandan soğuk depoya transfer olan ısı miktarlarının toplamıdır. Bu tanım uyarınca

$$Q = Q_1 + Q'_1 + Q_2 + Q_3 + Q_4$$

eşitliğini yazabiliz.

$$Q = Q_1 + Q'_1 + Q_2 + Q_3 + Q_4$$

eşitliğinden yararlanılarak

$$Q = 583,2 + 583,2 + 348,84 + 414,72 + 1797,12 = 3727,08 \text{ kcal/saat}$$

$$Q = 3727,08 \text{ kcal/saat}$$

elde edilir. Buna ayrıca işçilerin girip çıkışması ve aydınlatmanın neden olduğu ısı transferi ile soğuk deponun havasının yenilenmesinin yol açtığı ısı transferini eklemek gereklidir. Yapılan deneysel araştırmalarla işçilerin girip çıkışması ile aydınlatmanın neden olduğu ısı transferinin çevreden soğuk depoya transfer olan ısı miktarının (% 12)'sine ulaştığı gösterilmiştir. Bu durumda işçilerin girip çıkışması ve aydınlatma nedeniyle soğuk depoya transfer olan ısı miktarı

$$Q_p = 0,12 \cdot Q = 0,12 \cdot 3727,08 = 447,25 \text{ kcal/saat}$$

olur. Soğuk deponun havasının içinde (2) kez yenilendiğini varsayıyalım. Buna göre yenilenen havanın hacmi

$$V = \frac{2 \cdot 2 \cdot 8 \cdot 8,5}{24} = 53,33 \text{ m}^3/\text{saat}$$

$$V = 53,33 \text{ m}^3/\text{saat}$$

olarak bulunur. Soğuk depoya (+ 25^{\circ}\text{C}) sıcaklıkta giren hava, sıcaklığı (- 2^{\circ}\text{C}) oluncaya dek soğutulmaktadır. Soğuk depoda sabit hacimde tutulan havadan çekilen ısı miktarını bulmak için önce havanın sabit hacimdeki özgül ısınma ısısı ile ağırlığını bulmak gereklidir. (A) eşdeğerlik katsayısı ve (R) de gaz sabiti olduğuna göre, havanın sabit hacimdeki özgül ısınma ısısı

$$C_V = \frac{AR}{\gamma - 1}$$

ve ağırlığı da

$$G = \frac{P \cdot V}{R T_1}$$

eşitliğinden yararlanılarak hesaplanır. Ayrıca sabit hacimde tutulan havadan çekilen ısı miktarını hesaplamak için

$$Q_H = G \cdot C_V (T_2 - T_1)$$

eşitliğinden yararlanılır.

$$Q_H = G \cdot C_V (T_2 - T_1)$$

eşitliği ile

$$C_V = \frac{A R}{\gamma - 1}$$

ve

$$G = \frac{P \cdot V}{R T_2}$$

eşitliklerinin birleşiminden

$$Q_H = \frac{P V}{T_2} \cdot \frac{A}{\gamma - 1} (T_2 - T_1)$$

eşitliği elde edilir.

$$P = P_{atm} = 10^4 \text{ kg/m}^2$$

$$V = 53,33 \text{ m}^3/\text{saat}$$

$$t_2 = 25^\circ\text{C}$$

$$T_2 = 273 + t_2 = 273 + 25 = 298^\circ\text{K}$$

$$T_2 = 298^\circ\text{K}$$

$$t_1 = -2^\circ\text{C}$$

$$T_1 = 273 + t_1 = 273 - 2 = 271^\circ\text{K}$$

$$T_1 = 271^\circ\text{K}$$

$$A = \frac{1}{427} \text{ kcal/kgm}$$

$$\gamma = 1,41$$

olduğu için

$$Q_H = \frac{PV}{T_2} \cdot \frac{A}{\gamma - 1} (T_2 - T_1) = \frac{10^4 \cdot 53,33}{298} \cdot \frac{1}{1,41 - 1} \cdot \frac{1}{427} \cdot (298 - 271) = 277 \text{ kcal/saat}$$

$$Q_H = 277 \text{ kcal/saat}$$

olur. Bu durumda, çevreden soğuk depoya transfer olan toplam ısı miktarı

$$\Sigma Q = Q_H + Q_p + Q = 227 + 447,25 + 3727,08 = 4451,33 \text{ kcal/saat}$$

$$\Sigma Q = Q_H + Q_p + Q = 44551,33 \text{ kcal/saat}$$

olarak bulunur.

Soğuk depoda, elma, armut ve portakallar, genellikle, (- 2 °C) sıcaklıkta bağıl nem (0,90) olan havada saklanır ve korunurlar. Bağıl nem, bilindiği gibi, (1 m³) havanın içerdiği su buharı miktarının aynı sıcaklıktaki (1 m³) havayı doyuran su buharı miktarına oranıdır. Soğuk depoyu gevreleyen ve sıcaklığı (+ 25 °C) olan havanın bağıl nemi (0,70) kabul edilir. (- 2 °C) sıcaklıkta (1 m³) havayı doyuran su buharının ağırlığı ($4,209 \cdot 10^{-3}$ kg) ve (+ 25 °C) sıcaklıkta (1 m³) havayı doyuran su buharının ağırlığı da ($22,87 \cdot 10^{-3}$ kg)'dır. Bu durumda (- 2 °C) sıcaklıkta bağıl nem (0,90) olan havanın mutlak nemi

$$G_{m1} = 0,9 \cdot 4,209 \cdot 10^{-3} = 3,788 \cdot 10^{-3} \text{ kg/m}^3$$

$$G_{m1} = 3,788 \cdot 10^{-3} \text{ kg/m}^3$$

ve ($+ 25^{\circ}\text{C}$) sıcaklıkta bağıl nemi (0,70) olan havanın mutlak nemi de

$$G_{m_2} = 0,7 \cdot 22,87 \cdot 10^{-3} = 17,009 \cdot 10^{-3} \text{ kg/m}^3$$

$$G_{m_2} = 17,009 \cdot 10^{-3} \text{ kg/m}^3$$

olur. (m^3) hava başına soğuk depoda yoğunlaşan su buharının ağırlığını (ΔG) ile gösterecek olursak

$$\Delta G = G_{m_2} - G_{m_1}$$

eşitliğini yazabiliriz. Bu eşitlikten yararlanılarak

$$\Delta G = G_{m_2} - G_{m_1} = 16,009 \cdot 10^{-3} - 3,788 \cdot 10^{-3} = 12,221 \cdot 10^{-3} \text{ kg/m}^3$$

$$\Delta G = 12,221 \cdot 10^{-3} \text{ kg/m}^3$$

elde edilir. Bundan sonra havanın içerisinde bulunan su buharının ($+ 25^{\circ}\text{C}$) sıcaklıkta buhar halinden ($- 20^{\circ}\text{C}$) sıcaklıkta buz haline gelmesi için çekilmesi gereken ısı miktarını hesaplamak gereklidir. ($+ 25^{\circ}\text{C}$) sıcaklıkta su buharının durum değiştirmeye ısısı (0°C) ve ($+ 200^{\circ}\text{C}$) sıcaklık sınırları arasında geçerli olan

$$r = 606,5 - 0,695 t_2$$

şeklindeki Regnault Denkleminden yararlanılarak bulunur.

$$t_2 = 25^{\circ}\text{C}$$

olduğu için

$$r = 606,5 - 0,695t = 606,5 - 0,695 \cdot 25 = 589,125 \text{ kcal/kg}$$

$$r = 589,125 \text{ kcal/kg}$$

olur. Suyun özgül ısınma ısısı ($c_1 = 1 \text{ kcal/kg} \cdot ^{\circ}\text{C}$), (0°C) sıcaklıkta suyun durum değiştirmeye ısısı ($q_0 = 80 \text{ kcal/kg}$) ve buzun özgül ısınma ısısı da ($c_2 = 0,5 \text{ kcal/kg} \cdot ^{\circ}\text{C}$)'dır. (kg)

başına ($+ 25^{\circ}\text{C}$) ve (0°C) sıcaklık sınırları arasında sudan çekilen ısı miktarını (q_1), (0°C) ve ($- 2^{\circ}\text{C}$) sıcaklık sınırları arasında buzdan çekilen ısı miktarını (q_2) ile gösterelim.

$$q_1 = c_1(t_2 - t_0)$$

$$q_2 = c_2(t_0 - t_1)$$

olduğu için

$$q_1 = c_1(t_2 - t_0) = 1(25 - 0) = 25 \text{ kcal/kg}$$

$$q_1 = 25 \text{ kcal/kg}$$

$$q_2 = c_2(t_0 - t_1) = 0,5 [0 - (-2)] = 1 \text{ kcal/kg}$$

$$q_2 = 1 \text{ kcal/kg}$$

olarak bulunur. ($+ 25^{\circ}\text{C}$) sıcaklıkta buhar halinden ($- 2^{\circ}\text{C}$) sıcaklıkta buz haline getirmek için su buharından (kg) başına çekilmesi gereklili ısısı miktarı (q) olsun. Bu durumda,

$$q = r + q_1 + q_0 + q_2$$

eşitliğini yazılabilir.

$$r = 589,125 \text{ kcal/kg}$$

$$q_1 = 25 \text{ kcal/kg}$$

$$q_0 = 80 \text{ kcal/kg}$$

$$q_2 = 1 \text{ kcal/kg}$$

olarak bulunduğu için

$$q = r + q_1 + q_0 + q_2 = 589,125 + 25 + 80 + 1 = 695,125 \text{ kcal/kg}$$

$$q = 695,125 \text{ kcal/kg}$$

olur. Donma odasına giren havanın içerdiği su buharının yoğunlaşması, donması ve sonra ($- 2^{\circ}\text{C}$) sıcaklığına dek soğutulması

eşitliklerini yazabiliriz. Diğer yandan

$$G_m = 13864 \text{ kg}$$

$$G_k = 2444 \text{ kg}$$

$$\Delta t_1 = 25 - (-2) = 27^\circ\text{C}$$

olarak verildiği için

$$Q_m = \frac{G_m}{24} \cdot C_m \cdot \Delta t_1 = \frac{13846}{24} \cdot 0,92 \cdot 27 = 14332,68 \text{ kcal/saat}$$

$$Q_m = 14332,68 \text{ kcal/saat}$$

ve

$$Q_k = \frac{G_k}{24} \cdot C_k \cdot \Delta t_1 = \frac{2444}{24} \cdot 0,60 \cdot 27 = 2749,41 \text{ kcal/saat}$$

$$Q_k = 2749,41 \text{ kcal/saat}$$

bulunur.

Soğuk depodan çekilecek ısı miktarı, soğuk depoya transfer olan toplam ısı miktarı ile havanın içeriği su buharının yoğunlaşması, donması ve soğuması için çekilmesi gerekliliğini hesaplamış olmak yeterli değildir. Ayrıca soğuk depoya günlük giren taze maldan çekilecek ısı miktarını da hesaplamak gereklidir. Soğuk depoya günlük giren taze malın yaklaşık olarak (2444 kg)'ını ağaç kasalar ve (13846 kg)'ını da elma, armut ve portakal gibi meyveler oluşturmaktadır. Meyvelerin özgül ısınma ısısı ($C_m = 0,92 \text{ kcal/kg.}^\circ\text{C}$), ve ağaç kasaların özgül ısınma ısısı da ($C_k = 0,60 \text{ kcal/kg.}^\circ\text{C}$)dır. (saat) başına meyvelerden çekilecek ısı miktarını (Q_m) ve ağaç kasalarından çekilecek ısı miktarını da (Q_k) ile gösterelim. Soğuk depoya günlük giren meyvelerin ağırlığını (G_m) ve kasaların ağırlığını (G_k) ile gösetersek olursak bu durumda

$$Q_T = Q_B + Q_m + Q_k + \Sigma Q$$

eşitliğini yazabiliriz.

$$\Sigma Q = 4451,33 \text{ kcal/saat}$$

$$Q_B = 453,044 \text{ kcal/saat}$$

$$Q_m = 14332,68 \text{ kcal/saat}$$

ve

$$Q_k = 2749,41 \text{ kcal/saat}$$

olduğu için

için çekilmesi gereken ısı miktarının hesabında

$$Q_B = V \cdot \Delta G \cdot q$$

eşitliğinden yararlanılır.

$$V = 53,33 \text{ m}^3/\text{saat}$$

$$\Delta G = 12,221 \cdot 10^{-3} \text{ kg/m}^3$$

ve

$$q = 695,125 \text{ kcal/kg}$$

olduğu için

$$Q_B = V \cdot \Delta G \cdot q = 53,33 \cdot 12,221 \cdot 10^{-3} \cdot 695,125 = 453,044 \text{ kcal/saat}$$

$$Q_B = 453,044 \text{ kcal/saat}$$

olur.

Soğutma kapasitesi, daha açık bir deyişle (saat) başına soğuk depodan çekilecek ısı miktarı bulunurken sadece soğuk depoya transfer olan toplam ısı miktarı ile giren havanın içeriği su buharının yoğunlaşması, donması ve soğuması için çekilmesi gerekliliğini hesaplamış olmak yeterlidir. Ayrıca soğuk depoya günlük giren taze maldan çekilecek ısı miktarını da hesaplamak gereklidir. Soğuk depoya günlük giren taze malın yaklaşık olarak (2444 kg)'ını ağaç kasalar ve (13846 kg)'ını da elma, armut ve portakal gibi meyveler oluşturmaktadır. Meyvelerin özgül ısınma ısısı ($C_m = 0,92 \text{ kcal/kg.}^\circ\text{C}$), ve ağaç kasaların özgül ısınma ısısı da ($C_k = 0,60 \text{ kcal/kg.}^\circ\text{C}$)dır. (saat) başına meyvelerden çekilecek ısı miktarını (Q_m) ve ağaç kasalarından çekilecek ısı miktarını da (Q_k) ile gösterelim. Soğuk depoya günlük giren meyvelerin ağırlığını (G_m) ve kasaların ağırlığını (G_k) ile gösetersek olursak bu durumda

$$Q_m = \frac{G_m}{24} \cdot C_m \cdot \Delta t_1$$

ve

$$Q_k = \frac{G_k}{24} \cdot C_k \cdot \Delta t_1$$

$$Q_T = Q_B + Q_m + Q_k + \Sigma Q = 453,044 + 14332,68 + 2749,41 + 4451,33 = \\ 21986,464 \text{ kcal/saat}$$

$Q_T = 21986,464 \text{ kcal/saat}$
olur.

C) KOMPRESÖR KAPASİTESİ, BUHARLAŞTIRICI VE KONDANSÖR SEÇİMİ

Kompresör kapasitesi soğuk depodan çekilecek ısı miktarına eşdeğerdir ve bu yukarıda görüldüğü gibi ($Q_T = 21986,464 \text{ kcal/saat}$) olarak bulunmuştur. Gerçekte, kompresör kapasitesinin saptanmasında ayrıca işime ile soğuk depoya giren ısı miktarı ile meyvelerin yavaş yanması sonunda ortaya çıkan ısı miktarı da göz önünde bulundurulur. Hatta bunlara, soğuk depoda hava dolaşımını sağlayan vantilatörler için gereksinen gücün ısıl eşdeğerini de eklemek gereklidir. Ancak hesapların karmaşıklığı ve asıl amaçtan uzaklaşılıbileceği düşünülerek bunlardan kaçınılmıştır.

Soğuk deponun her kamarasında (4) buharlaştırıcı vardır. Bu durumda her buharlaştırıcının minimal soğutma kapasitesinin

$$\frac{21986,464 \text{ kcal/saat}}{8} = 2748,308 \text{ kcal/saat}$$

olması gereklidir.

Büyük endüstriyel tesislerde, soğutma devresinde tek kompresör bulunması, konstrüktörler tarafından sakıncalı bulunmaktadır. Bu durumda hem kompresörün boyutlarını büyütmek hem de kompresörü bütün bir gün çalışırmak zorunluluğu ortaya çıkar. İşte böylesine sakıncaları ortadan kaldırmak için büyük endüstriyel tesislerde soğutma devresine, paralel olarak, kapasitesi aynı olan (2) ve daha fazla kompröser bağlanır.

Örneğin soğutma devresine (2) kompresör bağılandığı zaman kompresör kapasitesi (10993,232 kcal/saat) (3) kompresör bağılandığı zaman kompresör kapasitesi de (7328,821 kcal/saat) olur. Uygulamada, kapasitesini bulmuş olduğumuz bu kuramsal değerlere yakın olan kompresör seçmek gereklidir.

Endüstriyel soğutma tesislerinde, standart buharlaştırıcı ve kondansörler kullanılır. Standart buharlaştırıcı ve kondansörlerin seçimi, aşağıda görülen 3.2 Numaralı Çizelge ile 3.3 Numaralı çizelgeden yararlanılarak yapılabilir.

Buharlaştırıcılarda kanat aralığı kapasiteye bağlı olarak değişir. Ancak kanat aralığı ne kadar büyük olursa soğutma yüzeyi ve soğutma kapasitesi de o kadar küçük olur. Soğutma teknliğinde kanatlara lamel denir. Lamel aralığı, soğuk ortamın sıcaklığı göz önünde bulundurularak saptanır.

Buharlaştırıcıdaki soğutucu akışkanla soğutulan ortam arasındaki sıcaklık farkının (7°C) olduğunu varsayıyalım. Bu durumda her (1°C) sıcaklık farkı için soğutma kapasitesi

$$\frac{2748,308 \text{ kcal/saat}}{7} = 392,615 \text{ kcal/saat}$$

olur. ($392,615 \text{ kcal/saat}$)'lık soğutma kapasitesine en yakın soğutma kapasitesi (395 kcal/saat) olduğu için 3.2 Numaralı çizelgeden yararlanılarak buharlaştırıcı tipi (S 12 - 3950), vantilatör sayısı (2), vantilatör debisi ($2560 \text{ m}^3/\text{saat}$) ve güç gereksinimi de ($170 \cdot 10^{-3} \text{ kw}$) olarak belirlenir. Buna göre, soğuk deponun havası günde (2) kez değiştirileceği için vantilatörlerin toplam ($1/4$ saat) çalışmaları yeterlidir.

Tesisin soğutma kapasitesi ($21986,464 \text{ kcal/saat}$)'dır. 3.3 Numaralı çizelgede, buna en yakın olan soğutma kapasitesi ($20\,000 \text{ kcal/saat}$) olduğu için kondansör tipi (WME 200) olarak

BUHARLAŞTIRICILAR İÇİN

3.2 Numaralı Çizelge

Buharlaştırıcı Tipi	Kapasite(kcal/saat)		Soğutma Yüzeyi m ²	Vantilatör Sayısı	Vantilatör	
	1 ⁰ C Sıcaklık Farkı İçin	10 ⁰ C Sıcaklık Farkı İçin			Debi (m ³ /saat)	Güç İhtiyacı (Watt.)
S 12 - 300	30	300	2,5	1	300	25
- 350	35	350	2,9	1	300	25
- 450	45	450	3,4	1	800	50
- 550	55	550	4,2	1	800	50
- 650	65	650	4,9	1	800	50
- 750	75	750	5,6	1	800	50
- 800	80	800	6,2	1	1280	85
- 850	85	850	6,6	1	1280	85
-1000	100	1000	7,8	1	1280	85
-1150	115	1150	8,8	1	1280	85
-1350	135	1350	10,2	1	1280	85
-1400	140	1400	10,9	1	1280	85
-1800	180	1800	13,6	1	2240	150
-2100	210	2100	16,3	2	2560	170
-2500	250	2500	19,1	2	2560	170
-2900	290	2900	22,3	2	2560	170
-3300	330	3300	25,5	2	2560	170
-3950	395	3950	30,2	2	2560	170
-4300	430	4300	32,9	2	2560	170
-4650	465	4650	35,6	2	4480	300
-5100	510	5100	39,2	2	4480	300
-5450	545	5450	42,1	2	4480	300
-5650	565	5650	43,4	2	6000	480
-6250	625	6250	48,1	2	6000	480
-6500	650	6500	50,5	2	6000	480
-7450	745	7450	57,4	2	8040	840

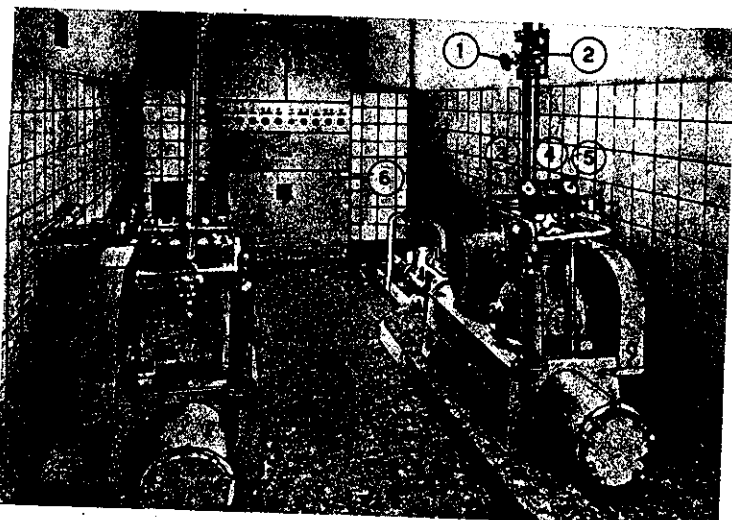
KONDANSÜRLER İÇİN

3.3 Numaralı Çizelge

Kondansör Tipi wme	Kapasite kcal/saat	Kullanılan Soğutma Suyu l/saat	Gaz hattı inc"	Sıvı hattı	Soğutma Suyu Hattı
15	1500	300	1/2"	3/8"	1/2"
20	2000	400	1/2"	3/8"	1/2"
25	2500	500	1/2"	3/8"	1/2"
33	3300	660	5/8"	3/8"	3/4"
45	4500	900	5/8"	3/8"	3/4"
55	5500	1100	5/8"	3/8"	3/4"
65	6500	1300	3/4"	3/8"	4/4"
80	8000	1600	3/4"	1/2"	1 "
100	10000	2000	1 "	1/2"	1 "
120	12000	2400	1 "	1/2"	1 "
160	16000	3200	1 "	1/2"	1 $\frac{1}{2}$ "
200	20000	4000	5/4"	5/8"	1 $\frac{1}{2}$ "
250	25000	5000	5/4"	5/8"	1 $\frac{1}{2}$ "
300	30000	6000	5/4"	5/8"	1 $\frac{1}{2}$ "

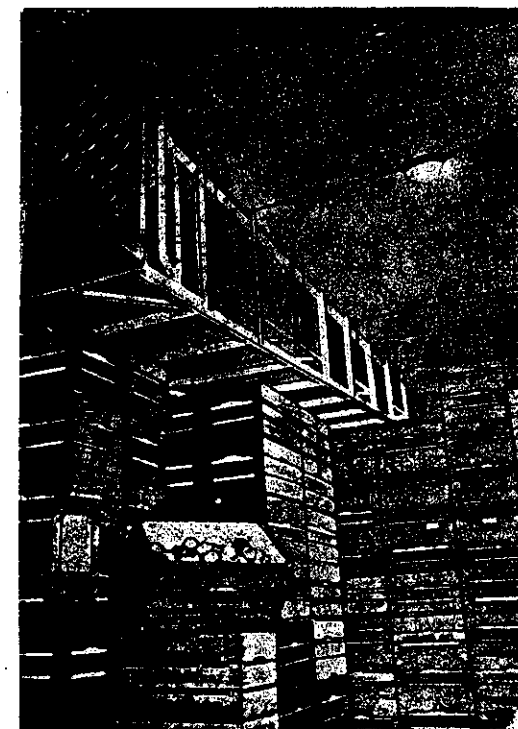
belirlenir. Bu kondansörde (4000 dm³/saat) soğutma suyu, kullanmak gereklidir. Ayrıca 3.3 Numaralı çizelgeden yararlanarak kondansörde gaz, sıvı ve soğutma suyu taşıyan boruların çapını da belirlemek mümkündür. Bu soğutma tesisiinde soğutucu akışkan olarak Freon-12 ya da metilklorür (CH₃Cl) kullanılması uygun olur.

(Şekil-3.8)'de soğuk deponun makina dairesi ve (Şekil-3.9)'da da soğuk deponun içi görülmektedir.



Şekil-3.8 Soğuk Depo Makina Dairesi

- 1- Emme hattı Vanası
- 2- Sıvı hattı Vanası
- 3- Manometre
- 4- Yüksek ve Alçak basınç güvenlik supabları
- 5- Vakum Manometresi
- 6- Elektrik paneli
- 7- Emme hattı pompası su filtersi
- 8- Yağ göstergesi
- 9- Su soğutmalı kondansör
- 10- Gözetleme camlı kurutucu



Şekil-3.9 Soğuk Deponun iç görünüşü

3) HIZLI DONDURMA KAVRAMI VE HIZLI DONDURMA YÖNTEMLERİ

3.a) Tanım ve açıklamalar

Besin maddelerinin düşük sıcaklıkta hızlı dondurulması gereklidir. Çünkü hızlı soğutmada küçük kristalli buz oluşur ve böylece besin maddelerinin dokusu korunmuş olur. Hızlı olmayan soğutmada, oluşan buz kristalleri çok iri olduğu için besin maddelerinin dokusunu korumak olanaksızdır.

Su, bilindiği gibi, bulunduğu sıcaklıktan (0°C) sıcaklığına gelinceye dek soğutulur ve sonra bu sıcaklıkta tamamen donar. Et ve balık gibi besin maddelerinde bulunan suyun donması böyle olmaz. Bu besin maddelerinde bulunan suyun donması

kademeli olarak gerçekleşir. Örneğin etin içeriği suyun (0°C) sıcaklığta (% 76)'sı, (-10°C) sıcaklığta (% 84)'ü, (-20°C) sıcaklığta (% 90)'nı, (-30°C) sıcaklığta (% 92)'si ve balığın içeriği suyun ($-1,1^{\circ}\text{C}$) sıcaklığta (% 32)'sı ($-3,3^{\circ}\text{C}$) sıcaklığta (% 76)'sı, (-8°C) sıcaklığta da ancak (% 89)'u donar. Etin içeriği suyun tamamen donması için sıcaklığın (-60°C)'ye ve balığın içeriği suyun tamamen donması için sıcaklığın (-25°C)'ye düşürülmesi gereklidir.

Dondurulan besin maddelerinin bozulmadan uzun süre kalabilmesi doğrudan doğruya başlangıçtaki donma hızına bağlıdır. Besin maddelerini olumsuz yönde etkileyen bakterilerin üremesi normal sıcaklıklarda artar. Buna düşük sıcaklıklarda engel olmak mümkün değildir ve (-40°C) sıcaklığta bu bakterilerin olumsuz etkileri ve üremesi tamamen önlenebilir.

Besin maddelerinin korunabilirliğinin salt başlangıçtaki donma hızına bağlı olduğunu kabul etmek de bir yerde yanlışçı olabilir. Besin maddelerinin korunabilirliğinde soğutma yöntemleri gibi belirleyici nitelikte bazı dış etkenleri de göz önünde bulundurmak gereklidir. Besin maddelerinin hızlı dondurularak korunmasında kullanılan endüstriyel değeri yüksek yöntemleri söyle sıralayabiliriz:

- 1^o) Hava ile hızlı dondurma yöntemi
- 2^o) Salamura ile hızlı dondurma yöntemi
- 3^o) Değdirme ile hızlı dondurma yöntemi

Şimdi sırasıyla besin maddelerinin hızlı dondurularak korunmasında kullanılan bu yöntemleri inceleyelim.

3.b) HIZLI DONDURMA YÖNTEMLERİ

3.b.1) Hava ile hızlı dondurma yöntemi

Hava ile hızlı dondurma yönteminin esasını belirlenen donma sıcaklığına dek soğutulan havanın vantilatörlerin aracılığı ile bir tünelde, bant üzerinde bir uctan diğer uca belirli

bir hızla hareket eden besin maddeleri üzerine gönderilmesi oluşturur.

Banda verilecek hızın tünelin bir ucundan diğer ucuna gelinceye dek besin maddelerinin tamamen donmasını sağlayabilecek nicelikte olması gereklidir. Bu yöntemle hacmi (200 m^3) kadar olan soğutma tünelinde (600 kg) ile (800 kg) arasında balık ya da eti dondurmak mümkündür.

UYGULAMA

Bir soğutma tünelinde, hava ile hızlı dondurma yönteminden yararlanılarak (saat) başına (300 kg) balık dondurulmaktadır. Balığın soğutma tüneline giriş sıcaklığı ($t_G = +5^{\circ}\text{C}$), donma sıcaklığı da ($t_D = -25^{\circ}\text{C}$)'dır. Balık için donma noktası ($t_{DN} = -4^{\circ}\text{C}$) olarak belirlenmiştir. Balığın donma öncesi özgül ısınma ısısı ($C_1 = 0,82 \text{ kcal/kg.}^{\circ}\text{C}$), donma sonrası özgül ısınma ısısı ($C_2 = 0,43 \text{ kcal/kg.}^{\circ}\text{C}$) ve (-4°C) sıcaklığda durum değişikliği ısısı da ($q_{DN} = 61 \text{ kcal/kg}$)'dır. Soğutma teknlığında, durum değişikliği ısısına katılaşma ısısı da denir. Soğutma tünelinde ortam sıcaklığı (-35°C) ve buharlaştırıcı sıcaklığı da (-42°C) olarak belirlenmiştir. Bu verilerden yararlanarak soğutma kapasitesi ile vantilatör kapasitesini ve buharlaştırıcıda soğutma yüzeyi alanını hesaplayalım.

a) Soğutma kapasitesi

Soğutma kapasitesini bulmak için donma noktasına kadar çekilen ısı miktarı ile donma ve donma noktasının altındaki soğutma süreçlerinde çekilen ısı miktarını hesaplamak gereklidir. Donma noktasına kadar çekilen ısı miktarını (Q_1), donma sürecinde çekilen ısı miktarını (Q_D) ve donma noktasının altındaki soğutma sürecinde çekilen ısı miktarını da (Q_3) ile göstererek olursak

$$Q_1 = G \cdot C_1 \cdot \Delta t$$

ve

$$Q_D = G \cdot q_{DN}$$

$$Q_2 = G \cdot C_2 \cdot \Delta t_2$$

eşitliklerini yazabiliriz. Bu eşitliklerde yer alan (G) (saat) başına dondurulan balık miktarını göstermektedir.

$$\Delta t_1 = t_G - t_{DN} = +5 - (-4) = 9^{\circ}\text{C}$$

$$\Delta t_1 = 9^{\circ}\text{C}$$

$$\Delta t_2 = t_{DN} - t_D = -4 - (-25) = 21^{\circ}\text{C}$$

$$\Delta t_2 = 21^{\circ}\text{C}$$

$$G = 300 \text{ kg/saat}$$

$$C_1 = 0,82 \text{ kcal/kg.}^{\circ}\text{C}$$

$$C_2 = 0,43 \text{ kcal/kg.}^{\circ}\text{C}$$

ve

$$q_{DN} = 61 \text{ kcal/kg}$$

olarak verilmiştir. Buna göre,

$$Q_1 = G \cdot C_1 \cdot \Delta t_1 = 300 \cdot 0,82 \cdot 9 = 2214 \text{ kcal/saat}$$

$$Q_1 = 2214 \text{ kcal/saat}$$

$$Q_D = G \cdot q_{DN} = 300 \cdot 61 = 18300 \text{ kcal/saat}$$

$$Q_D = 18300 \text{ kcal/saat}$$

ve

$$Q_2 = G \cdot C_2 \cdot \Delta t_2 = 300 \cdot 0,43 \cdot 21 = 2709 \text{ kcal/saat}$$

$$Q_2 = 2709 \text{ kcal/saat}$$

olur. Bunların toplamı kuramsal soğutma kapasitesini verir. Kuramsal soğutma kapasitesini (Q_T) ile gösterecek olursak

$$Q_T = Q_1 + Q_D + Q_2$$

eşitliğini yazabiliriz.

$$Q_1 = 2214 \text{ kcal/saat}$$

$$Q_D = 18300 \text{ kcal/saat}$$

$$Q_2 = 2709 \text{ kcal/saat}$$

olduğu için

$$Q_T = Q_1 + Q_D + Q_2 = 2214 + 18300 + 2709 = 23223 \text{ kcal/saat}$$

$$Q_T = 23223 \text{ kcal/saat}$$

bulunur. Gerçek soğutma kapasitesi, vantilatörlerin çalışmasından ileri gelen ısınma ve ısı transferi nedeniyle kuramsal soğutma kapasitesinin ($\frac{1}{4}$ 25)'i kadar kuramsal soğutma kapasitesinden daha büyük olur. Gerçek soğutma kapasitesini (Q_G) ile gösterelim. Yukarıda yapmış olduğumuz açıklama uyarınca

$$Q_G = Q_T + 0,25 \cdot Q_T = 1,25 Q_T$$

$$Q_G = 1,25 \cdot Q_T$$

eşitliğini yazabiliriz. Buradan

$$Q_G = 1,25 \cdot Q_T = 1,25 \cdot 23223 = 29028,75 \text{ kcal/saat}$$

$$Q_G = 29028,75 \text{ kcal/saat}$$

b) Vantilatör kapasitesi

Vantilatör kapasitesinin bulunmasında uygulama değeri yüksek kuramsal olmayan sade bir yöntemden yararlanacağız. Yapılan deneysel araştırmalarla her (1 kcal/saat)'lık soğutma kapasitesi için ($1,5 \text{ m}^3/\text{saat}$)'lık toplam vantilatör kapasitesine

gereksinme olduğu gösterilmiştir. Toplam vantilatör kapasitesini (V_K) ile gösterelim. Soğutma kapasitesi (Q_G) ve eşdeğerlik katsayısı da (μ) olduğuna göre,

$$V_K = \mu \cdot Q_G$$

eşitliğini yazabiliriz.

$$\mu = 1,5 \text{ m}^3/\text{kcal}$$

$$Q_G = 29028,75 \text{ kcal/saat}$$

olduğuna göre, toplam vantilatör kapasitesi

$$V_K = \mu \cdot Q_G = 1,5 \cdot 29028,75 = 43543,125 \text{ m}^3/\text{saat}$$

$$V_K = 43543,125 \text{ m}^3/\text{saat}$$

olur. Soğutmanın verimli olabilmesi için soğutma tünelinde hava (5 m/sn)'lik hızla akmalıdır.

$$1 \text{ saat} = 3600 \text{ saniye}$$

$$5 \text{ m/sn} = 3600 \cdot 5 = 18000 \text{ m/saat}$$

olduğuna göre, bu akım hızının elde edilebilmesi için soğutma tünelinin kesit alanının

$$\frac{43543,125}{18000} \approx 2,43 \text{ m}^2$$

olması gereklidir. Bu, genişliği (3 m) ve yüksekliği de (0,81 m) olan bir dikdörtgenin alanına eşittir.

c) Buharlaştırıcıda soğutma yüzeyi alanı

Soğutma devresinde soğutucu akışkan olarak Freon-22 kullanıldığını varsayıyalım. Bu durumda soğutucu buz kaplar ve geçirgenlik katsayısı ($7 \text{ kcal/m}^2 \cdot \text{saat} \cdot {}^\circ\text{C}$) ile ($8 \text{ kcal/m}^2 \cdot \text{saat} \cdot {}^\circ\text{C}$)

arasında, fazla büyük sayılamiyacak bir değer alır. Ortam sıcaklığı ile buharlaştırıcı sıcaklığı arasındaki fark (7°C) dir. Soğutma kapasitesi ($Q_G = 29028,75 \text{ kcal/saat}$) olduğuna göre, buharlaştırıcı da soğutma yüzeyi alanının maksimal değeri

$$S_{\max} = \frac{Q_G}{7,7} = \frac{29028,75}{49} = 592,42 \text{ m}^2$$

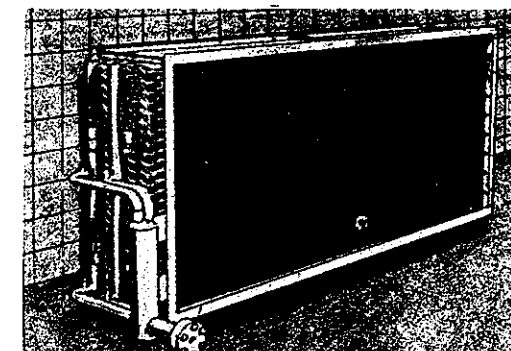
$$S_{\max} = 592,42 \text{ m}^2$$

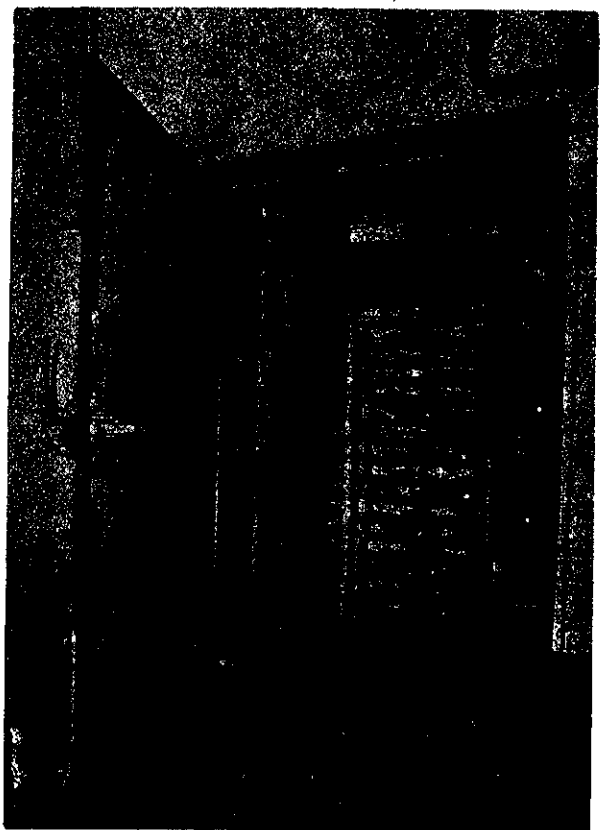
ve minimal değerini de

$$S_{\min} = \frac{Q_G}{7,8} = \frac{29028,75}{75} = 518,37 \text{ m}^2$$

$$S_{\min} = 518,17 \text{ m}^2$$

olur. (Şekil-3.10)'da hava ile hızlı dondurma yönteminde yararlanılan bir buharlaştırıcı görülmektedir. Soğutucu akışkan olarak kullanılan Freon-22, bu buharlaştırıcıda bir kolektörün aracılığı ile borulara dağıtilır. Soğutucu akışkanın kolektör aracılığı ile borulara dağıtilması soğutucu akışkanla birlikte sürükleen yağıın buharlaştırıcıya girmesine de engel olur. (Şekil-3.11)'de modern bir soğutma tüneli görülmektedir.





Şekil-3.11 Modern soğutma tüneli

3.b.2) Salamura ile hızlı dondurma yöntemleri

3.b.2.a) OTESSEN Yöntemi

OTESSEN yönteminden genellikle, Batı Avrupa ülkelerinde balıkların saklanması ve korunmasında yararlanılır. Bu yöntemde balıklar salamuranın içerisinde, salamura ile birlikte donma sıcaklığına dek soğutulurlar. Donma sıcaklığına dek soğutulan balıkların üzerinde çok ince bir buz tabakası oluşur. Otessen yöntemi ile büyük bir soğutma hızı sağlanabilir. Ancak bu koşullarda salamura ile elde edilebilecek en düşük sıcaklığın (-21 °C) olması ve salamura sıcaklığı yüksek olduğu

zaman balıkların tuzlanması Otessen yönteminin olumsuz yanlarını oluşturur.

3.b.2.b) ZAROTSCHENZEFF YÖNTEMİ

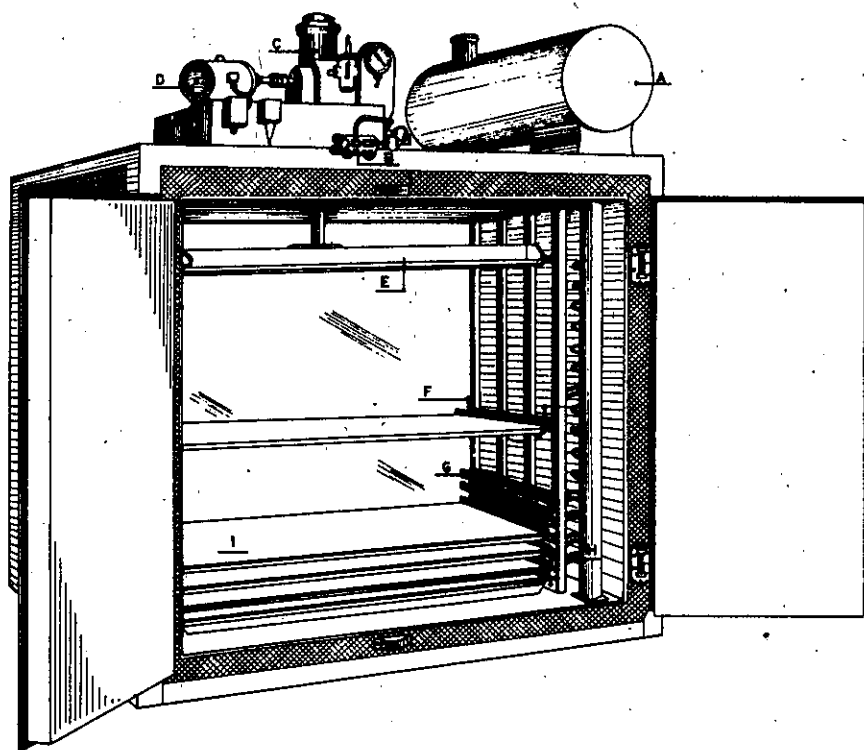
Zarotschenzeff yöntemine de balıkların saklanması ve korunmasında başvurulur. Bu yöntemde balıkların hızlı donması, fiskiyelerle üzerlerine salamura püskürtülerek gerçekleştirilir. Fiskiyelerin tikanmaması için salamuranın filtrajı zorunludur. Zarotschenzeff yöntemine göre çalışan bir soğutma tesisinin işletmesi ve bakımı güçtür.

3.b.2.c) PETERSEN YÖNTEMİ

Petersen yöntemi, tüm besin maddelerinin hızlı dondurulmasında yararlanılabilen bir yöntemdir. Besin maddelerinin biçim ve niteliklerine göre yapılmış olan ince cidarlı kablar besin maddeleriyle doldurulur ve sonra, buz jeneratörlerinde olduğu gibi, bu kablar askiya alınarak salamuranın içeresine daldırılır. Salamura ile doğrudan temas etmedikleri için Petersen yöntemi ile hızlı dondurmadada besin maddelerinin tuzlanarak bozulması söz konusu değildir.

3.b.3) Değdirmen ile hızlı dondurma yöntemi

Değdirmen ile hızlı dondurma yöntemi, içerisinde (-35 °C) sıcaklıkta amonyak akımı bulunan plakaların iyi ambalajlanmış besin maddelerine temas ettirilerek bunları hızlı soğutması esasına dayanır. (Şekil-3.12)'de, değdirmen ile hızlı dondurma yöntemine göre çalışan bir soğutma dolabı görülmektedir. Bu soğutma dolabında plakalar hareketlidir. İki plaka arasındaki uzaklık besin maddesi paketlerinin boyutlarına göre ayarlanır. Plakalar arasına yerleştirilecek paketlerin aynı büyüklükte olması gereklidir. Farklı büyülüklükte paketler plakaların oturmasına ve temasına engel olur. Soğutma dolabı ayrıca hidrolik sistemle kumanda edilen



Şekil-3.12 Değdirmen ile hızlı soğutma yöntemine göre çalışan soğutma dolabı

- A. NH_3 besleme tankı
- B. 4 yollu 2 geçişli yön değiştirme valfi
- C. Hidrolik kaldırma düzeni
- D. Pompa ünitesi
- E. Bası̄ı plakası
- F. Ayar civatası
- G. Bası̄ı parçası
- H. Esnek hat
- I. Dondurucu plaka

bir sıkıştırma plakası ile donatılmıştır. Hidrolik sistemle kumanda edilen sıkıştırma plakasının işlevi, hemen belirte lim ki, soğutma plakalarına etkiyerek bu plakaların besin

maddesi paketlerine iyici temas etmesini sağlamaktır. En geçerli olan sıkıştırma besin maddesi paketleri ile soğutma plakaları arasında boşluk kalmasının önüne geçen sıkıştırmadır. Ambalajlanmış ıspanak, taze fasulye, bezelye gibi sebzeler genellikle bu yöntemle soğutularak saklanır ve korunurlar.

3.c) Soğuk hücrelerde depolama

Soğutma tünelinde hızlı dondurulan besin maddeleri daha sonra soğuk hücrelerde depolanarak saklanır. Besin maddelerinin uzun süre korunabilirliği, bilindiği gibi, koruma sıcaklığına bağlıdır. Soğuk hücrelerde depolanarak saklanan besin maddelerinin kurumasına engel olmak için bağıl nemin (% 90) çevresinde tutulması zorunluluğu vardır. Koruma sıcaklığı ne kadar düşük olursa besin maddelerinin korunabilme süresi de o kadar uzun olur. Ayrıca korunabilme süresinin uzaması işletme harcamalarının artmasına yol açar.

Yapılan deneysel araştırmalarla besin maddelerinin ($-20^{\circ}C$) sıcaklıkta (4 ay), ($-24^{\circ}C$) sıcaklıkta (6 ay) ve ($-28^{\circ}C$) sıcaklıkta da (9 ay) bozulmadan saklanabilecegi gösterilmiştir. Balıkhanelerde balıkların bozulmadan (6 ay) saklanabilmesi için ($-20^{\circ}C$) sıcaklık ve (9 ay) saklanabilmesi için de ($-24^{\circ}C$) sıcaklık yeterlidir. Ancak balıkların, kütle kaybına engel olmak için telefon kâğıdına sarılarak depolanmasında yarar vardır. Balıkların uzun süre saklanmak için depolanmasında kurumanın önüne geçmek de önemli bir sorundur. Çünkü soğuk hücrelerde bağıl nemin (% 90) çevresinde tutulması kurumaya engel olunmasında yeterli değildir. Kurumanın tamamen önüne geçmek için balıkları dondurulduktan sonra ($0^{\circ}C$) sıcaklıkta suya daldırıp çıkararak üzerinde ince bir buz katmanının oluşmasını sağlamak gereklidir.

Koyun ve sığır etinin (4 ay) korunabilme sıcaklığı ($-18^{\circ}C$), (6 ay) korunabilme sıcaklığı da ($-20^{\circ}C$)'dır

Soğuk hücrelerde saklanan koyun ve sığır eti izgaralar üze-
rine istif edilir. Izgaralarda hava dolasımı kendiliğinden
gerçekleştiği için koyun ve sığır etini, mezbahalarda oldu-
ğu gibi, askiya almak da gerekmek. Aşağıda, Pohlmann adlı
araştırcı tarafından düzenlenen 3.4 Numaralı çizelgede
 $(+5^{\circ}\text{C})$ sıcaklıkta bulunan (1 kg) baliği (-20°C) sıcak-
lığı getirmek için çeşitli soğutma yöntemlerine göre çekil-
mesi gereken ısı miktarı görülmektedir.

3.4 Numaralı Çizelge

	Doğrudan Soğutma		Salamura ile dolaylı soğutma	
	Değdirme ile hızlı dondurma	Hava ile hızlı dondurma	Salamura buhar- harılaştırıcı ile doğrudan temas eder	Salamura hava ile soğutulur
Buharlaşma sıcaklığı	(-34°C) - (-36°C)	(-42°C) - (-45°C)	(-39°C) - (-41°C)	-42°C
Salamura	-	-	(-34°C) - (-36°C)	-37°C
Hava	-	(-32°C) - (-35°C)	-	-27°C
$(+5^{\circ}\text{C})$ ve (-20°C) arası- ndan çekilen ısı miktarı	75 kcal/kg	75 kcal/kg	75 kcal/kg	75 kcal/kg
İs transferi	3 kcal/kg	10 kcal/kg	3 kcal/kg	7 kcal/kg
Pompa ve vantilatör isi karşılığı	-	20 kcal/kg	5 kcal/kg	28 kcal/kg
Soğutma biçimü	3 kcal/kg	3 kcal/kg	3 kcal/kg	3 kcal/kg
Vagon ya da taşıyıcı- ciların soğutulması	-	4 kcal/kg	-	-
Geçirgenlik	9 kcal/kg ~ 14 kcal/kg	8 kcal/kg	9 kcal/kg ~ 14 kcal/kg	7 kcal/kg

3.d) Dondurma ortamı

Dondurma ortamı için soğukluk gereksiniminin saptan-
ması oldukça güçtür. Dondurma ortamı için soğukluk gereksini-
mi, bu ortama giren maddelerin türü ve transfer olan ısı mik-
tarı göz önünde bulundurularak hesaplanır. Transfer olan ısı
miktarının hesaplanması pek o kadar güçlüklerle karşılaşıl-
maz. Ancak dondurma ortamına giren maddelerin dondurulacağı
sıcaklık çok önemlidir. (-15°C) sıcaklıkta yavaş, (-20°C)
sıcaklıkta hızlı ve (-30°C) sıcaklıkta da (deep freeze) ya-
ni derin soğutma yapılır. Dondurma ortamında, söz konusu olan
besin maddelerinin saklanması değil saklamak için dondurulma-
sıdır. Dondurma ortamında donan besin maddeleri, yukarıda da
açıklamış olduğumuz gibi, dondurma hücrelerinde saklanır. An-
cak mezbahalarda et kombinelerinde, sebze ve meyve hallerinde
olduğu gibi bazı zorunlu durumlarda geçici olarak besin madde-
lerinin dondurma ortamında saklandığı da olur.

Dondurma ortamında besin maddelerinin donması için ge-
çen süre işletme harcamalarına etkir. Sığır, dana ve koyun eti
için yavaş donma (144 saat)'ta ve hızlı donma da (72 saat)'ta
gerçekleşir. Donma tünellerinde, hızlı hava dolasımı nedeniyle
bu süreyi yavaş donmada (96 saat)'a, hızlı donmada (48) saata
kadar düşürmek mümkündür. Donma tünellerinin boyutları gereklilikinden daha büyük tutulmalıdır. Ayrıca bu tünelere besin
maddeleri hava akımına engel olmayacak biçimde yerleştirilmeli-
lidir.

Soğukluk gereksiniminin hesaplanması büyük kolay-
lıklar sağlayan çizelgelerden yararlanmak gereklidir. Aşağıda bu
amaçla düzenlenmiş olan 3.5 Numaralı çizelge ile 3.6 Numaralı
çizelge görülmektedir.

3.5 Numaralı Çizelge

Besin Maddelerinin Türü	Üzgül Isınma Isısı		Katılışma Isısı Kcal/kg	Yavaş yanma Isısı Kcal/Ton (24 saatte)
	Donma önesi Kcal/kg. °C	Donma sonrası Kcal/kg. °C		
Çilek	-	-	71,6	825-935
Elma	0,92	-	67	165-230
Kuşkonmaz	0,93	0,44	75	-
Muz	0,92	-	60	825
Frenk üzümü	0,91	0,4-0,5	67-70	1100-1650
Bira	0,90	-	72	-
Çiçekler	0,93	-	-	440-495
Baklagiller	0-0,92	0,47	71	680
Tereyağı	0,55-0,60	0,34	47	-
Çikolata	0,76	-	20-30	-
Limon	0,92	-	66-71	110
Sanayi buzu	0,78	0,45	52	-
Ozüm	0,92	-	63	165-275
Yumurta	0,76	0,40	56	-
Bezelye	0,80	0,42	60	960
Kümes hayvanı	0,80	0,42	59	-
Peynir	0,44	0,29	26	-
Margarin	0,80	-	30	-
Süt	0,90	0,47	70	-
Kavun	0,92	-	71	-
Seftali	0,92	-	70	385-490
Bitkisel yağ	0,35	-	-	-
Domuz yağı	0,54	0,31	29-35	-
Krem-Kaymak	0,65	0,36	47	-
Portakal	0,92	-	68	150
Tuzlu domuz eti	0,55	0,31	17	-
Domates	0,93	0,49	75	-
Soğan	0,91	-	64-71	165-275
Balıklar	0,82	0,43	61	-
Kızarmış balık	0,76	-	-	-
Kurutulmuş Balık	0,54	0,34	0,34	-
Balık yağı	0,68	0,38	50	-
Sığır eti yağlı	0,608	0,355	41	-
Sığır eti yağsız	0,776	0,42	56	-
Domuz eti	0,512	0,32	31-36,6	-
Dana eti	0,704	0,40	50	-
Koyun eti	0,60	0,35	40	-
Koyun eti yağsız	0,73	0,41	53	-

3.6 Numaralı Çizelge

Duvarın Niteliği (cm)	Duvar kalınlığı (cm)	Yalıtım maddesinin kalınlığı (cm)								
		6	8	10	12	14	16	18	20	24
1/2 Tuğla	11	0,48	0,36	0,31	0,26	0,23	0,20	0,18	0,16	0,14
1 Tuğla	22	0,46	0,36	0,30	0,25	0,22	0,20	0,17	0,16	0,13
1 1/2 Tuğla	33	0,43	0,33	0,29	0,25	0,21	0,18	0,17	0,15	0,13
2 Tuğla	44	0,41	0,32	0,27	0,24	0,21	0,18	0,17	0,15	0,13

UYGULAMA

Bir mezbahanın donma odasında, günlük olarak, (1000 kg) dana eti (- 10 °C) sıcaklıkta saklanacaktır. Donma odasının yüksekliği ($h = 4 \text{ m}$), taban alanı da ($10 \text{ m} \cdot 10 \text{ m} = 100 \text{ m}^2$)'dır. Donma odası, sıcaklığı (+ 2 °C) olan soğuk depolarda çevrili olduğu için dana eti donma odasına (+ 2 °C)'ye dek yapılan bir ön soğutmadan sonra yerleştirilecektir. Donma odasının duvarları tek tuğladır. Çevre ile yüksek düzeyde ısı alış-verişine engel olmak için duvarların iç yüzü ile tavan ve zemin, kalınlığı (16 cm) olan yalıtım maddesi ile kaplanmıştır. Bu verilerden yararlanarak çevreden donma odasına transfer olan toplam ısı miktarı ile donma odasından çekilmesi gereken ısı miktarını ve kompresör kapasitesini hesaplayalım.

a) ÇEVREDEN DONMA ODASINA TRANSFER OLAN ISI MIKTARI İLE DONMA ODASINDAN ÇEKILECEK ISI MIKTARININ HESABI

Ön, arka ve yan duvarlar tek tuğla duvarlardır. Zeminde çift sıra tuğla döşenmiş olduğunu kabul edelim. Ön, arka ve yan duvarlarla tavan ve zemin, kalınlığı (16 cm) olan yalıtım maddesi örneğin poliüretanla kaplanmış olduğu için 3.6 Numaralı çizelgeden yararlanarak ısı geçirgenlik katsayısi ($K = 0,20 \text{ kcal/m}^2 \cdot \text{saat. } ^\circ\text{C}$) olarak belirleyebiliriz. Ön, arka

ve yan duvarlardan transfer olan ısı miktarını (Q_1), ve zemin döşemesinden transfer olan ısı miktarını (Q_2) ve tavanдан transfer olan ısı miktarını da (Q_3) ile gösterelim. Ön, arka ve yan duvarların iç yüzünün toplam alanı (S_1), zemin döşemesinin alanı (S_2), tavan iç yüzünün alanı (S_3), ön, arka ve yan duvarların iç ve dış yüzleri arasındaki sıcaklık farkı (Δt_1), zemin döşemesinin üst ve alt kısımları arasındaki sıcaklık farkı (Δt_2), tavanın üst ve alt kısımları arasındaki sıcaklık farkı da (Δt_3) olsun. Bu durumda

$$Q_1 = S_1 \cdot K \cdot \Delta t_1$$

$$Q_2 = S_2 \cdot K \cdot \Delta t_2$$

$$Q_3 = S_3 \cdot K \cdot \Delta t_3$$

eşitliklerini yazabiliriz.

$$S_1 = (10 + 10 + 10 + 10) \cdot 4 = 160 \text{ m}^2$$

$$S_1 = 160 \text{ m}^2$$

$$S_2 = 10 \cdot 10 = 100 \text{ m}^2$$

$$S_2 = 100 \text{ m}^2$$

$$S_3 = 10 \cdot 10 = 100 \text{ m}^2$$

$$S_3 = 100 \text{ m}^2$$

$$\Delta t_1 = (+ 2^\circ\text{C}) - (- 10^\circ\text{C}) = 12^\circ\text{C}$$

$$\Delta t_1 = 12^\circ\text{C}$$

$$\Delta t_2 = (0^\circ\text{C}) - (- 10^\circ\text{C}) = 10^\circ\text{C}$$

$$\Delta t_2 = 10^\circ\text{C}$$

$$\Delta t_3 = (+ 25^\circ\text{C}) - (- 10^\circ\text{C}) = 35^\circ\text{C}$$

$$\Delta t_3 = + 35^\circ\text{C}$$

olduğu için

$$Q_1 = S_1 \cdot K \cdot \Delta t_1 = 160 \cdot 0,20 \cdot 12 = 348 \text{ kcal/saat}$$

$$Q_1 = 348 \text{ kcal/saat}$$

$$Q_2 = S_2 \cdot K \cdot \Delta t_2 = 100 \cdot 0,20 \cdot 10 = 20 \text{ kcal/saat}$$

$$Q_2 = 200 \text{ kcal/saat}$$

$$Q_3 = S_3 \cdot K \cdot \Delta t_3 = 100 \cdot 0,20 \cdot 35 = 700 \text{ kcal/saat}$$

$$Q_3 = 700 \text{ kcal/saat}$$

bulunur. Ön, arka ve yan duvarlarla zemin döşemesi ve tavan-dan donma odasına transfer olan toplam ısı miktarını (Q) ile gösterecek olursak

$$Q = Q_1 + Q_2 + Q_3$$

eşitliğini yazmak mümkün olur. Buradan

$$Q = Q_1 + Q_2 + Q_3 = 348 + 200 + 700 = 1284 \text{ kcal/saat}$$

$$Q = 1284 \text{ kcal/saat}$$

elde edilir.

Dondurma odasının havası yükleme yapılırken günde

(1) kez yenilenir. Buna göre, yenilenen hava miktarı

$$V = \frac{10 \cdot 10 \cdot 4}{24} = 16,666 \text{ m}^3/\text{saat}$$

$$V = 16,666 \text{ m}^3/\text{saat}$$

olarak bulunur. Taze hava donma odasına (+ 2^\circ\text{C}) sıcaklıkta girer ve orada sıcaklığı (- 10^\circ\text{C}) oluncaya dek soğutulur. (+ 2^\circ\text{C})'den (- 10^\circ\text{C})'ye dek soğutulan havadan çekilmesi gereken ısı miktarı

$$Q_H = G \cdot C_V (T_2 - T_1)$$

eşitliğinden yararlanılarak bulunur.

ve

$$C_V = \frac{A R}{\gamma - 1}$$

$$G = \frac{P V}{R T_2}$$

olduğu için

$$Q_H = \frac{P V}{T_2} \cdot \frac{A}{\gamma - 1} (T_2 - T_1)$$

eşitliği elde edilir.

$$P = P_{atm} = 10^4 \text{ kg/m}^2$$

$$V = 16,666 \text{ m}^3/\text{saat}$$

$$A = \frac{1}{427} \text{ kcal/kgm}$$

$$\gamma = 1,41$$

$$t_1 = -10^\circ\text{C}$$

$$T_1 = 273 + t_1 = 273 - 10 = 263^\circ\text{K}$$

$$T_1 = 263^\circ\text{K}$$

$$t_2 = +2^\circ\text{C}$$

$$T_2 = 273 + t_2 = 273 + 2 = 275^\circ\text{K}$$

$$T_2 = 275^\circ\text{K}$$

olarak verilmiştir. Bu nedenle

$$Q_H = \frac{P V}{T_2} \cdot \frac{A}{\gamma - 1} (T_2 - T_1) = \frac{10^4 \cdot 16,666}{275} \cdot \frac{1}{1,41-1} \cdot (275-263) = 41,54 \text{ kcal/saat}$$

$$Q_H = 41,541 \text{ kcal/saat}$$

olur.

$$Q = 1248 \text{ kcal/saat}$$

ve

$$Q_H = 41,541 \text{ kcal/saat}$$

olduğu için çevreden donma odasına transfer olan toplam ısı miktarı

$$\Sigma Q = Q + Q_H = 1248 + 41,541 = 1325,541 \text{ kcal/saat}$$

$$\Sigma Q = 1325,541 \text{ kcal/saat}$$

olarak bulunur.

(+ 2 °C) sıcaklıkta havanın bağıl nemini (0,76) ve (- 10 °C) sıcaklıkta havanın bağıl nemini de (0,90) kabul edebiliriz. (+ 2 °C) sıcaklıkta (1 m³) havayı doyuran su buharının ağırlığı ($5,580 \cdot 10^{-3}$ kg) ve (- 10 °C) sıcaklıkta (1 m³) havayı doyuran su buharının ağırlığı da ($2,303 \cdot 10^{-3}$ kg)'dır. Bu durumda (+ 2 °C) sıcaklıkta bağıl nem (0,76) olan havanın mutlak nemi

$$G_{m1} = 0,76 \cdot 5,580 \cdot 10^{-3} = 4,240 \cdot 10^{-3} \text{ kg/m}^3$$

$$G_{m1} = 4,240 \cdot 10^{-3} \text{ kg/m}^3$$

ve (- 10 °C) sıcaklıkta bağıl nem (0,90) olan havanın mutlak nemi de

$$G_{m2} = 0,90 \cdot 2,303 \cdot 10^{-3} = 2,070 \cdot 10^{-3} \text{ kg/m}^3$$

$$G_{m2} = 2,072 \cdot 10^{-3} \text{ kg/m}^3$$

olur. (m³) hava başına, donma odasında yoğunlaşan ve daha sonra donan su buharının ağırlığını (ΔG) ile gösterecek olursak

$$\Delta G = G_{m1} - G_{m2}$$

eşitliğini yazabiliris. Bu eşitlikten yararlanılarak

$$\Delta G = G_{m_1} - G_{m_2} = 4,240 \cdot 10^{-3} - 2,072 \cdot 10^{-3} = 2,168 \cdot 10^{-3} \text{ kg/m}^3$$

$$\Delta G = 2,168 \cdot 10^{-3} \text{ kg/m}^3$$

elde edilir. (+ 2 °C) sıcaklığındaki su buharının (- 10 °C) sıcaklığına buz haline gelmesi için çekilmesi gereken ısı miktarı şöyle hesaplanır:

r - (+ 2 °C) sıcaklığındaki su için durum değiştirmeye所需的热量

$$r = 606,5 - 0,695 \cdot t_2 = 606,5 - 0,695 \cdot 2 = 605,11 \text{ kcal/kg}$$

$$r = 605,11 \text{ kcal/kg}$$

q_1 - suyu (+ 2 °C) sıcaklığından (0 °C) sıcaklığına getirmek için çekilmesi gerekliliği miktari

c_1 - suyun özgül ısınma ısisı

$$c_1 = 1 \text{ kcal/kg.}^{\circ}\text{C}$$

$$q_1 = c_1(t_2 - t_0) = 1 (2 - 0) = 2 \text{ kcal/kg}$$

$$q_1 = 2 \text{ kcal/kg}$$

q_0 - (0 °C) sıcaklığındaki su için durum değiştirmeye所需的热量

$$q_0 = 80 \text{ kcal/kg}$$

q_2 - buzun (0 °C) sıcaklığından (- 10 °C) sıcaklığına getirilmesi için çekilmesi gerekliliği miktari

c_2 - buzun özgül ısınma ısisı

$$c_2 = 0,5 \text{ kcal/kg.}^{\circ}\text{C}$$

$$q_2 = c_2(t_0 - t_1) = 0,5 [0 + (- 10)] = 5 \text{ kcal/kg}$$

$$q_2 = 5 \text{ kcal/kg}$$

$$q = q_1 + q_0 + q_2 = 605,11 + 2 + 80 + 5 = 692,11 \text{ kcal/kg}$$

$$q = 692,11 \text{ kcal/kg}$$

Donma odasına giren havanın içerdığı su buharının yoğunlaşması, donması ve sonra (- 10 °C) sıcaklığına dek soğutulması için çekilmesi gerekliliği miktari

$$Q_B = V \cdot \Delta G \cdot q$$

eşitliğinden yararlanılarak hesaplanır.

$$V = 16,666 \text{ m}^3/\text{saat}$$

$$\Delta G = 2,168 \cdot 10^{-3} \text{ kg/m}^3$$

ve

$$q = 692,11 \text{ kcal/kg}$$

olduğu için

$$Q_B = V \cdot \Delta G \cdot q = 16,666 \cdot 2,168 \cdot 10^{-3} \cdot 692,11 = 25,007 \text{ kcal/saat}$$

$$Q_B = 25,007 \text{ kcal/saat}$$

olarak bulunur.

Donma odasından çekilecek ısı miktarını bulmak için ayrıca günlük olarak donma odasında saklanan dana etinden çekilmesi gerekliliği miktarnı da hesaplamak gereklidir. 3.5 Numaralı çizelgeden yararlanılarak dana etinin donma öncesi özgül ısınma ısisı ($C_{D1} = 0,704 \text{ kcal/kg.}^{\circ}\text{C}$), donma sonrası özgül ısınma ısisı ($C_{D2} = 0,40 \text{ kcal/kg.}^{\circ}\text{C}$) ve katılaşma ısisı da ($q_k = 50 \text{ kcal/kg}$) olarak belirlenir. Donma öncesi çekilen ısı miktarını (Q_{D1}), donma sonrası çekilen ısı miktarını (Q_{D2}) ve katılaşma yani donma sürecinde çekilen ısı miktarını da (Q_{Dk}) ile gösterelim. Bu durumda

$$Q_{D1} = G_D \cdot C_{D1} (t_2 - t_0)$$

$$Q_{Dk} = G_D \cdot q_k$$

$$Q_{D_2} = G_D \cdot C_{D_2} (t_0 - t_1)$$

eşitliklerini yazabiliriz.

$$G_D = \frac{1000}{24} = 41,666 \text{ kg/saat}$$

olduğu için

$$Q_{D_1} = G_D \cdot C_{D_1} (t_2 - t_0) = 41,666 \cdot 0,704 \cdot (2-0) = 58,665 \text{ kcal/saat}$$

$$Q_{D_1} = 58,665 \text{ kcal/saat}$$

$$Q_{Dk} = G_D \cdot q_k = 41,666 \cdot 50 = 2083,3 \text{ kcal/saat}$$

$$Q_{Dk} = 2083,3 \text{ kcal/saat}$$

$$Q_{D_2} = G_D \cdot C_{D_2} (t_0 - t_1) = 41,666 \cdot 0,4 \cdot [0 - (-10)] = 166,664 \text{ kcal/saat}$$

$$Q_{D_2} = 166,664 \text{ kcal/saat}$$

olur. ($+ 2^\circ\text{C}$) ve ($- 10^\circ\text{C}$) sıcaklık sınırları arasında dana etinden çekilmesi gerekliliği ısı miktarını (Q_D) ile gösterelim. Bu durumda

$$Q_D = Q_{D_1} + Q_{Dk} + Q_{D_2}$$

eşitliği yazılabilir.

$$Q_{D_1} = 58,665 \text{ kcal/saat}$$

$$Q_{Dk} = 2083,3 \text{ kcal/saat}$$

$$Q_{D_2} = 166,664 \text{ kcal/saat}$$

olduğu için

$$Q_D = Q_{D_1} + Q_{Dk} + Q_{D_2} = 58,665 + 2083,3 + 166,664 = 2308,629 \text{ kcal/saat}$$

$$Q_D = 2308,629 \text{ kcal/saat}$$

bulunur.

Donma odasından çekilecek ısı miktarı, çevreden donma odasına transfer olan toplam ısı miktarına taze havanın içerdığı su buharının yoğunlaşması, donması, soğuması için çekilmesi gerekliliği ısı miktarı ile dana etinden çekilmesi gerekliliği ısı miktarı ilâve edilerek bulunur. Donma odasından çekilecek ısı miktarını (Q_T) ile gösterecek olursak

$$Q_T = Q_D + Q_B + \Sigma Q$$

eşitliğini yazabiliriz.

$$Q_D = 2308,629 \text{ kcal/saat}$$

$$Q_B = 25,007 \text{ kcal/saat}$$

$$\Sigma Q = 325,541 \text{ kcal/saat}$$

olarak bulunduğu için

$$Q_T = Q_D + Q_B + \Sigma Q = 2308,629 + 25,007 + 325,541 = 2659 \text{ kcal/saat}$$

$$Q_T = 2659,171 \text{ kcal/saat}$$

olur.

b) KOMPRESÖR KAPASİTESİ

Mezbahada, soğutma tesisi kompresörün günde (16) saat çalıştığını kabul edelim. Bu durumda kompresör kapasitesi

$$\frac{24}{16} \cdot Q_T = \frac{24}{16} \cdot 2659,171 = 3988,7563 \text{ kcal/saat}$$

olarak bulunur. Uygulamada bunu (4000 kcal/saat) almak gereklidir.

KONTROL VE DEĞERLENDİRME SORULARI

- 1) Yapay buz yapımına hangi nedenlerle gereksinme duyulmuştur?
- 2) Buz yapımında hangi soğutma yönteminden yararlanılır?
- 3) Buz kalıplarının yapımında nelere dikkat edilir ve hangi gereçler kullanılır?
- 4) Buz kalıptan nasıl çıkarılır?
- 5) Buzun matlaşmasının önüne nasıl geçilir?
- 6) Buz jeneratörlerinde hangi tip buharlatıcı kullanılır?
- 7) Kristal buz nasıl elde edilir?
- 8) Buz jeneratörlerinde ortalama donma süresi kaç saatdir?
- 9) Buz jeneratörlerinde salamura sıcaklığı hangi nedenlerle (- 8 °C)'nin altına düşürülmez?
- 10) Bir soğutma tesisatının planlanması ve hesabına geçilmeden önce yapılması zorunlu işler nelerdir?
- 11) Hızlı dondurmaya neden baş vurulur?
- 12) Et ve balık gibi besinlerin içerdiği su nasıl donar?
- 13) Besin maddelerinin bozulmasına neden olan bakterilerin üremesi nasıl önlenir?
- 14) Besin maddelerinin hızlı dondurularak korunmasında hangi endüstriyel soğutma yöntemlerinden yararlanılır?
- 15) Hangi amaçla besin maddeleri soğuk hücrelerde depolanır?
- 16) Besin maddelerinin korunmasına engel olmak için bağıl nem derecesi ne kadar olmalıdır?
- 17) Besin maddelerinin korunabilme süresi neye bağlıdır?
- 18) Balıkların saklanmasında kütte kaybına engel olmak için hangi önlem alınır?
- 19) Dondurma ortamı için soğukluk gereksinimi nasıl hesaplanır?

IV. BÜLÖM

KLİMA

1) TEMEL KAVRAMLAR VE TANIMLAR

- 1.a) Giriş
- 1.b) Nemli hava
 - 1.b.1) Mutlak nem
 - 1.b.2) Bağıl nem
 - 1.b.3) Çığ noktası
 - 1.b.4) Yaş termometre sıcaklığı
 - 1.b.5) Bağıl nemin belirlenmesi
 - 1.b.5.a) Psikrometrik çizelgelerden yararlanarak bağıl nemin belirlenmesi
 - 1.b.5.b) Higrometrelerden yararlanılarak bağıl nemin belirlenmesi
 - 1.b.6) Nemli havanın antalpisi
 - 1.b.7) Nemli havanın antalpisinin grafik olarak gösterilmesi
 - 1.b.7.a) Antalpik diyagramın oluşumu
 - 1.b.7.b) Antalpik diyagramın kullanımı

2) BİR ELEMANTER KLİMA TESİSİNİN HESABI

- 2.a) Klİma için hava hazırlanırken denetim altında bulunulması gereken etkenler
 - 2.a.1) Akım hızı
 - 2.a.2) Sıcaklık ve bağıl nem derecesi
- 2.b) Klİma cihazı
 - 2.b.1) Kış işletmesi hesabı
 - 2.b.2) Yaz işletmesi hesabı

K L İ M A

1) Temel kavramlar ve tanımlar

1.a) Giriş

Latin kökenli bir sözcük olan klima, iklim anlamına gelir. İklim sözcüğünden bir ülkeyi etkisi altında bulunan coğrafi ve atmosferik koşullar ya da sıcaklık, atmosferik basınç, rüzgär ve fırtına gibi atmosferin durumunu ve belirli bir yerdeki değişimini karakterize eden meteorolojik olguların tümü anlaşıılır.

İnsanın biyolojik yapısı yanında ruh ve beden sağlığı da meteorolojik olgulardan çok etkilenir. Çevremizi, çevremizde geçen doğa olaylarını algıladığımız duyularla ancak tanıyabilir, anlayabilir ve değerlendirebiliriz. Atmosferik ortamda dokunma duyusu ile algıladığımız duyuların başında sıcaklık ve soğukluk duyuları gelir. Yerine göre, sıcaklık duygusunu algıladığımız zaman serinlemek ve soğukluk duygusunu algıladığımız zaman da ısınmak isteriz.

Rahat çalışabileceğimiz, rahat dirlenebileceğimiz ve rahat eğlenebileceğimiz bir ortamın oluşturulabilmesi için yapay yollarla ve teknolojik yöntemlerle atmosferik çevre koşullarının değiştirilmesi gereklidir. Günüümüzde, yaşamımızı rahat sürdürbileceğimiz bir ortamın oluşturulması için atmosferik çevre koşullarının değiştirilerek yerine göre sıcaklık yerine göre de soğukluk duyularına dönüştürülmesini sağlayan yapay yolların ve teknolojik yöntemlerin tümüne **KLİMA** denilmektedir.

Su, bilindiği gibi, atmosferik basınçta kolay buharlaşır. Yeryüzünün dörtte üçünün denizlerle örtülü olması ve suyun da atmosferik basınçta kolay buharlaşması yeryüzünü çevreleyen hava tabakasının devamlı olarak su buharı ile

beslenmesine neden olur. Yeryüzünün herhangi bir yerinde, atmosferin içeriği su buharının miktarı bu yerin denizden uzaklığuna, yüksekliğine ve sıcaklığına bağlıdır. Yeryüzünü çevreleyen hava tabakasının içeriği su buharına **NEM** denir. Havanın içeriği su buharı yani nem insan sağlığı için çok önemlidir. Sıcakta terleyen bir kişi, terin buharlaşmasıyla rahatlar. Eğer çevrenin havası su buharı ile doygun hale gelmiş ise ter buharlaşmaz ve bunalma yol açar. Hava su buharı yanında karbondioksit, kükürtdioksit, karbonmonoksit gibi gazlarla çeşitli nitelikte tozları da içerir. Bunun için tiyatro, sinema, konferans salonu gibi kültür ve eğlence merkezleri ile işyerlerinde teneffüs edilen havanın bu gibi sağlığa zararlı maddelerden temizlenmesi ve mensucat fabrikalarında olduğu gibi iplik imal edilirken pamuk liflerinin kopmaması için ortamın belirli bir nemlilikte tutulması gereklidir. Kültür ve eğlence merkezleri ile işyerlerinde havanın temizlenmesi ve ortamın belirli bir nemlilikte tutulması ancak klima cihazlarından yararlanılarak gerçekleştirilebilir.

1.b) Nemli hava

Çevremizi saran atmosfer, salt oksijen ve azot karışımı olan havadan oluşmamıştır. Havanın içerisinde yüksek oranda su buharı da vardır. Havanın içeriği su buharının miktarı çevre koşullarına ve meteorolojik olgulara bağlı olarak değişir. Havanın içeriği su buharı, yukarıda da kısaca değişimmiş olduğumuz gibi, insanın hem biyolojik yapısına ve hem de beden ve ruh sağlığına etkiler. Örneğin deniz kıyısında, (30°C) sıcaklıkta bunalan, nefes alıp-vermekte güçlük çeken ve hatta baygınlık geçiren bir kişi, (1500 m) yüksekte, bir yaylada yine (30°C) sıcaklıkta bunalmaz, nefes alıp-vermekte güçlük çekmez ve kendisini zinde hisseder. Sıcaklığın aynı olmasına karşın

sonucun farklı olmasının nedeni, deniz kıyısında havanın içerdeği su buharı miktarının yaylada havanın içerdeği su buharı miktarından farklı olmasıdır.

1.b.1) Mutlak nem

(1 m^3) nemli havanın içerdeği su buharı miktarının kuru hava miktarına oranına mutlak nem denir. Buna göre, mutlak nem (1 kg) kuru havanın içerdeği su buharı miktarı olarak da tanımlamak mümkündür. Mutlak nemi belirlemek için (1 m^3) nemli hava, nem tutucu bir madde olan kalsiyumklorür (Ca Cl_2) üzerinden geçirilir. Kalsiyumklorür nemli havanın içerdeği su buharını tutar. Kalsiyumklorürün nemli havanın geçirilmeden önceki ağırlığı ile nemli hava geçirildikten sonraki ağırlığı arasındaki fark, nemli havanın içerdeği su buharı miktarını yani mutlak nemi ifade eder. (1 m^3) nemli havanın içerdeği su buharının ağırlığını (g_s), kuru havanın ağırlığını (g_h) ve mutlak nemi de (x) ile gösterecek olursak

$$x = \frac{g_s}{g_h}$$

eşitliğini yazabiliz. Nemli hava, su buharı ile kuru hava karışımıdır. Nemli havayı oluşturan elemanlardan su buharının kısmi basıncı çok düşüktür. Bunun için yetkin gazlara uygulanabilen Genel Gaz Kanunu ve Dalton Kanunu nemli havaya, nemli havayı oluşturan su buharı ile kuru havaya uygulanabilir. (1 m^3) nemli havayı oluşturan su buharının kısmi basıncını (P_s), kuru havanın kısmi basıncını (P_h) ile gösterelim. Nemli havanın mutlak sıcaklığı (T), basıncı (P), su buharının gaz sabiti (R_s) ve kuru havanın gaz sabiti de (R_h) olduğuna göre Dalton Kanunu uyarınca

$$P = P_s + P_h$$

eşitliğini, Genel Gaz Kanunu uyarınca da

$$P_s \cdot V = g_s \cdot R_s \cdot T$$

ve

$$P_h \cdot V = g_h \cdot R_h \cdot T$$

eşitliklerini yazabiliz.

$$x = \frac{g_s}{g_h}$$

ve

$$V = 1 \text{ m}^3$$

olduğu için

$$x = \frac{P_s}{P_h} \cdot \frac{R_h}{R_s}$$

eşitliği elde edilir. Suyun molar ağırlığı ($G_{ms} = 18 \cdot 10^{-3} \text{ kg/mol}$) ve kuru havanın molar ağırlığı da ($G_{mh} = 28,84 \cdot 10^{-3} \text{ kg/mol}$) dur. Üniversel Gaz Sabiti ($R_u = 0,848 \text{ kgm/mol} \cdot ^\circ\text{K}$) olduğu için suyun gaz sabiti

$$R_s = \frac{R_u}{G_{ms}} = \frac{0,848 \text{ kgm/mol} \cdot ^\circ\text{K}}{18 \cdot 10^{-3} \text{ kg/mol}} = 47,1 \text{ kgm/kg} \cdot ^\circ\text{K}$$

$$R_s = 47,1 \text{ kgm/kg} \cdot ^\circ\text{K}$$

ve kuru havanın gaz sabiti de

$$R_h = \frac{R_u}{G_{mh}} = \frac{0,848 \text{ kgm/mol} \cdot ^\circ\text{K}}{28,84 \cdot 10^{-3} \text{ kg/mol}} = 29,4 \text{ kgm/kg} \cdot ^\circ\text{K}$$

$$R_h = 29,4 \text{ kgm/kg} \cdot ^\circ\text{K}$$

olur. (R_s) ve (R_h)'nin bulmuş olduğumuz değerlerini

$$x = \frac{P_s}{P_h} \cdot \frac{R_h}{R_s}$$

eşitliğinde yerlerine koyacak olursak

$$x = \frac{P_s}{P_h} \cdot \frac{R_h}{R_s} = \frac{29,4}{47,1} \cdot \frac{P_s}{P_h} = 0,6242 \cdot \frac{P_s}{P_h}$$

$$x = 0,6242 \cdot \frac{P_s}{P_h}$$

eşitliğini elde ederiz. Bu açıklama göstermektedir ki, mutlak nem, nemli havayı oluşturan elemanlardan su buharının kısmi basıncının kuru havanın kısmi basıncına oranının (0,6242) katına eşit olmaktadır.

1.b.2) Bağıl nem

(1 m³) nemli havanın içeriği su buhari miktarının aynı sıcaklık ve aynı toplam basınçta içerebileceği maksimal su buhari miktarına oranına bağıl nem denir. Bağıl nem (ϕ), (1 m³) havanın içeriği su buharının ağırlığını (g_s), aynı sıcaklık ve aynı toplam basınçta içerebileceği maksimal su buhari miktarını da (g_d) ile gösterecek olursak yukarıda yapmış olduğumuz tanım uyarınca

$$\phi = \frac{g_s}{g_d}$$

eşitliğini yazabilirim. Diğer yandan (1 m³) nemli havanın içerebileceği maksimal su buharının kısmi basıncını (P_d) ile gösterelim. Bu durumda Genel Gaz Kanunu göre,

$$P_s \cdot V = g_s \cdot R_s \cdot T$$

ve

$$P_d \cdot V = g_d \cdot R_s \cdot T$$

eşitliklerini yazabilirim. Bu eşitliklerle

$$\phi = \frac{g_s}{g_d}$$

eşitliğinin birleşimini yapacak olursak

$$\phi = \frac{P_s}{P_d}$$

eşitliğini elde ederiz.

$$x = 0,6242 \cdot \frac{P_s}{P_h}$$

olduğu için

$$\phi = \frac{x}{0,6242} \cdot \frac{P_h}{P_d}$$

olur.

1.b.3) Çığ noktası

Sabit basınçta soğutulan nemli havanın içeriği su buharının yoğunlaşmaya başladığı sıcaklığı çığ noktası denir. Çığ noktasını saptayabilmek için bu tanımdan da anlaşılacağı gibi su buhari ve kuru hava karışımının sabit basınçta soğutulması gereklidir. Karışımın özgül hacmini (v), basıncını (P), gaz sabitini (R), karışımı oluşturan elemanlardan su buharının özgül hacmini (v_s), kısmi basıncını (P_s), gaz sabitini de (R_s) ile gösterecek olursak mutlak sıcaklık (T) olduğuna göre, Genel Gaz Kanunu uyarınca

$$P_s \cdot v_s = R_s \cdot T$$

ve

$$P \cdot v = R \cdot T$$

eşitliklerini yazabilirim. Bu eşitliklerin birleşiminden

$$\frac{P_s}{P} = \frac{R_s}{R} \cdot \frac{v}{v_s}$$

eşitliği elde edilir. Diğer yandan

$$v_s = \frac{V}{g_s}$$

ve

$$v = \frac{V}{G}$$

olduğu için

$$\frac{P_s}{P} = \frac{R_s}{R} \cdot \frac{g_s}{G}$$

olur. Bu eşitlik açık olarak göstermektedir ki, karışımın basıncı ve ağırlık oranları değişmedikçe su buharının kısmi basıncı da değişmemektedir.

Termodinamikte doygunluk basıncı ile doygunluk sıcaklığı arasındaki ilişkiyi gösteren denklemelere Gerilme Denklemi adı verilir. Gerilme denklemi

$$t = f(P)$$

şeklinde ifade edilir. (op) ve (ot) eksenlerinden oluşan dik açılı koordinatlar sisteminde genel denklemi

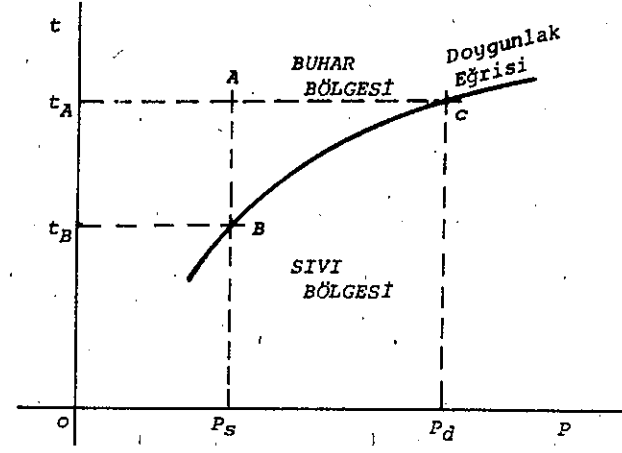
$$t = f(P)$$

olan eğriye doygunluk eğrisi denir. (Şekil-4.1)'de, (op) ve (ot) eksenlerinden oluşan dik açılı koordinatlar sisteminde, genel denklemi

$$t = f(P)$$

olan doygunluk eğrisi görülmektedir. Bu eğrinin üstünde kalan bölge buhar bölgesi, altında kalan bölge de sıvı bölgesidir. Buhar bölgesi içinde herhangi bir nokta alalım ve bu noktayı da (A) ile gösterelim. (A) noktasından (op) ve (ot) eksenlerine birer dikme indirelim. Doygunluk eğrini, (A) noktasından (op) eksenine indirilen dikme (B) noktasında ve (A) noktasından (ot) eksenine indirilen dikmenin uzantısı da (c) noktasında keser. Su buharı ve kuru

hava karışımı sabit basınçta soğutulursa sıcaklık azalır. Doygunluk eğrisi üzerinde bulunan (B) noktasına gelindiği zaman su buharı yoğunlaşmaya başlar. Su buharının yoğunlaşmaya başladığı (B) noktası çığ noktasıdır. (B) noktasının (op) ekseninden uzaklığı çığ noktasının sıcaklığını ve



t_A - karışım sıcaklığı
 t_B - çığ noktası sıcaklığı

Şekil-4.1

(ot) ekseninden uzaklığı da çığ noktasının sıcaklığını karşılayan doygunluk basıncını ifade eder. Çığ noktası sıcaklığını karşılayan doygunluk basıncı, su buharı ve kuru hava karışımında su buharının kısmi basıncıdır. Doygunluk eğrisi üzerinde bulunan (c) noktasının apsisi yani (ot) ekseninden uzaklığı su buharı ve kuru hava karışımının sıcaklığını karşılayan doygunluk basıncını gösterir. Bu doygunluk basıncı ($1 m^3$) nemli havanın yani su buharı ve kuru hava karışımının karışım sıcaklığında içerebileceği maksimal su buharının kısmi basıncıdır.

UYGULAMA

Deniz seviyesinde atmosferik basınçta ve (27°C) sıcaklıkta nemli havanın hacimsel olarak (% 2,75) su buharı içерdiği saptanmıştır. Buna göre, su buharının kısmi basıncını, (1 kg) kuru havanın içerdeği su buharının ağırlığını yani mutlak nemi, bağıllı nem derecesini ve çığ noktası sıcaklığını bulalım. Su buharının kısmi basıncını bulmak için Genel Gaz Kanunundan yararlanmak gereklidir. Atmosferik basınçta ve (27°C) sıcaklıkta, hacimsel olarak (% 2,75) su buharı içeren belirli bir miktar nemli hava alalım ve hacmini de (V) ile gösterelim. Nemli havanın içerdeği su buharının kısmi basıncı (P_s), gaz sabiti (R_s), ağırlığı (g_s) olsun. Mutlak sıcaklığı (T) ile gösterecek olursak Genel Gaz Kanunu uyarınca

$$P_s \cdot V = g_s \cdot R_s \cdot T$$

eşitliğini yazabilirmiz. Nemli havanın içerdeği su buharının sabit sıcaklıkta basıncı toplam basıncı yani karışımın basıncına eşit olduğu zaman hacmi (V_1) olsun. Bu durumda Genel Gaz Kanunu uyarınca

$$P \cdot V_1 = g_s \cdot R_s \cdot T$$

eşitliğini yazmak mümkün olur.

$$P_s \cdot V = g_s \cdot R_s \cdot T$$

$$P \cdot V_1 = g_s \cdot R_s \cdot T$$

eşitliklerinin birleşiminden

$$P_s \cdot V = P \cdot V_1$$

eşitliği elde edilir.

$$P = P_{\text{atm}} = 1,0336 \cdot 10^4 \text{ kg/m}^2$$

$$V_1 = 0,0275 \cdot V$$

olduğu için

$$P_s = P \cdot \frac{V_1}{V} = 1,0336 \cdot 10^4 \cdot \frac{0,0275 \cdot V}{V} = 0,028424 \cdot 10^4 \text{ kg/m}^2$$

$$P_s = 0,028424 \cdot 10^4 \text{ kg/m}^2$$

olur. Dalton Kanununa göre karışımın basıncı, karışımı oluşturan elemanların kısmi basınçlarının toplamına eşittir. Karışımı oluşturan elemanlardan kuru havanın kısmi basıncını (P_h) ile gösterelim. Bu durumda

$$P = P_h + P_s$$

eşitliğini yazabilirmiz.

$$P = 1,0336 \cdot 10^4 \text{ kg/m}^2$$

$$P_s = 0,028424 \cdot 10^4 \text{ kg/m}^2$$

olduğu için

$$P_h = P - P_s = 1,0336 \cdot 10^4 - 0,028424 \cdot 10^4 = 1,005176 \cdot 10^4 \text{ kg/m}^2$$

$$P_h = 1,005176 \cdot 10^4 \text{ kg/m}^2$$

bulunur. (1 kg) kuru havanın içerdeği su buharı miktarı, bilindiği gibi, mutlak nemdir ve bu

$$x = 0,6242 \cdot \frac{P_s}{P_h}$$

eşitliğinden yararlanılarak hesaplanır.

$$P_s = 0,028424 \cdot 10^4 \text{ kg/m}^2$$

$$P_h = 1,005176 \cdot 10^4 \text{ kg/m}^2$$

olduğu için

$$x = 0,6242 \cdot \frac{P_s}{P_h} = 0,6242 \cdot \frac{0,028424 \cdot 10^4}{1,005176 \cdot 10^4} = 0,01765$$

$$x = 17,65 \text{ g/kg}$$

olur. Su buharı için karışımının yani nemli havanın sıcaklığını karşılayan doygunluk basıncı

$$\lg P_d = 17,443 - \frac{2795}{T} - 3,869 \lg T$$

şeklindeki Joseph Bertrand formülüünden yararlanılarak hesaplanır.

$$t = 27^\circ\text{C}$$

$$T = 273 + t = 273 + 27 = 300^\circ\text{K}$$

$$T = 300^\circ\text{K}$$

olduğu için

$$\lg P_d = 17,443 - \frac{2795}{T} - 3,869 \lg T = 17,443 - \frac{2795}{300} - 0,869 \cdot \lg 300 = -1,457581$$

$$\lg P_d = -1,45781$$

olur. Buradan

$$P_d = 0,034867 \text{ kg/cm}^2$$

bulunur. Bağlı nem derecesi, bilindiği gibi,

$$\phi = \frac{P_s}{P_d}$$

eşitliği ile verilir.

$$P_s = 0,029424 \cdot 10^4 \text{ kg/m}^2$$

$$P_d = 0,034867 \cdot 10^4 \text{ kg/m}^2$$

olduğu için

$$\phi = \frac{P_s}{P_d} = \frac{0,029424 \cdot 10^4}{0,034867 \cdot 10^4} = 0,843$$

$$\phi = 0,843$$

olur.

Aşağıda, 4.1 Numaralı çizelgede su buharı ve kuru hava karışımının sıcaklığı ile bu sıcaklığı karşılayan doygunluk basıncı arasındaki ilişki görülmektedir.

4.1 Numaralı Cizelge

Nemli Havanın Sıcaklığı (°C)	0	10	20	30	40	50	60	70	80	90	100	110	120
Su Buharının Doygunluk Basıncı (mm Hg)	4,6	9,2	17,5	31,6	55,3	92,5	148	236	356	525	760	1074	1485

1.b.4) Yaş termometre sıcaklığı

Belirli bir su kütlesinin doygun olmayan hava tarafından etkilendiğini varsayılmı. Suyun sıcaklığı doygun olmayan havanın sıcaklığından daha büyük olursa sudan havaya ısı akımı başlar ve su ağır ağır buharlaşarak sıcaklığı düşer. Suyun sıcaklığı havanın sıcaklığına eşit olunca sudan havaya ısı akımı son bulur. Ancak hava doygunlaşmadığı için buharlaşma devam eder. Buharlaşmanın devam etmesi suyun sıcaklığının havanın sıcaklığının altına düşmesine neden olur. Bu durumda havadan suya ters yönde bir ısı akımı başlar. Buharlaşan suyun kaybettiği ısı miktarı havadan suya iletilen ısı miktarından büyük olursa suyun sıcaklığı düşmeye devam eder. Bir süre sonra öyle bir sıcaklığa gelinir ki, artık buharlaşan suyun kaybettiği ısı miktarı havadan suya iletilen ısı miktarına eşit olur. İşte bu sıcaklık Termodinamikte ve Klima Tekniğinde YAŞ TERMOMETRE SICAKLIĞI denir. Haznesine ıslak pamuk sarılan bir

termometrenin gösterdiği sıcaklık yaşı termometre sıcaklığıdır. Üzerinden hava geçirilen su yaşı termometre sıcaklığına kadar ancak soğutulabilir.

1.b.5) Bağıl nemin belirlenmesi

1.b.5.a) Psikrometrik çizelgelerden yararlanılarak bağıl nemin belirlenmesi

Kuru termometre sıcaklığı ile yaş termometre sıcaklığı arasındaki farklara göre düzenlenmiş olan psikrometrik çizelgelerden yararlanılarak bağıl nemi belirlemek mümkündür. Aşağıda 4.2 Numaralı çizelge ile 4.3 Numaralı çizelge psikrometrik farkla kuru termometre sıcaklığı ve bağıl nem arasındaki ilişki görülmektedir.

UYGULAMA

Havanın kuru termometre ile ölçülen sıcaklığı ($2,8^{\circ}\text{C}$) ve yaş termometre ile ölçülen sıcaklığı da ($1,2^{\circ}\text{C}$) olduğuna göre, psikrometrik çizelgelerden yararlanarak bağıl nem bulalım.

Bunun için 4.2 Numaralı psikrometrik çizelgeden yararlanmak gereklidir. Kuru termometre ile ölçülen sıcaklık ($2,8^{\circ}\text{C}$) ve yaş termometre ile ölçülen sıcaklık da ($1,2^{\circ}\text{C}$) olduğu için psikrometrik fark

$$2,8 - 1,2 = 1,6^{\circ}\text{C}$$

olur. (2°C) kuru termometre sıcaklığında ($1,5^{\circ}\text{C}$) psikrometrik fark için bağıl nem ($0,76$) ve (3°C) kuru termometre sıcaklığında ($1,5^{\circ}\text{C}$) psikrometrik fark için bağıl nem ($0,77$) dir. Bu durumda ($2,8^{\circ}\text{C}$) kuru termometre sıcaklığı ($1,5^{\circ}\text{C}$) psikrometrik fark için bağıl nem

$$\phi_1 = 0,76 + 0,8 (0,77 - 0,76) = 0,768$$

$$\phi_1 = 0,768$$

4.2 Numaralı Çizelge

Kuru Termometre Sıcaklığı ($^{\circ}\text{C}$)	Psikrometrik Fark ($^{\circ}\text{C}$)												
	0,5	1	1,5	2	2,5	3	3,5	4	4,5	5	5,5	6	6,6
Bağıl Nem Derecesi													
-9	84	69	54	38		14							
-8	85	70	56	40	27	19							
-7	87	73	59	45	32	24							
-6	87	74	61	49	36	28		5					
-5	89	76	64	52	40	28		10					
-4	89	77	65	54	44	32		15					
-3	89	78	67	57	46	36	29	19					
-2	90	79	69	59	49	40	30	23					
-1	90	81	71	62	51	42	33	27		5			
0	91	81	72	63	54	46	37	31		10			
1	91	83	75	66	58	50	42	34	26	18			
2	92	84	76	68	60	52	45	37	30	22			
3	92	84	77	69	62	54	47	40	33	25			
4	92	85	78	70	63	56	49	42	36	29			
5	93	86	79	72	65	58	51	45	38	32	26	16	
6	93	86	79	73	66	60	53	47	41	35	29	23	
7	93	87	80	75	67	61	55	49	43	37	31	26	
8	94	87	81	75	69	62	57	51	45	40	34	29	
9	94	88	82	76	70	64	58	53	47	42	36	31	
10	94	88	82	77	71	65	60	55	49	44	39	34	
11	94	88	83	77	72	66	61	56	51	46	41	36	
12	94	89	83	78	73	68	62	57	53	48	43	38	
13	95	89	84	79	74	69	64	59	54	49	45	40	
14	95	90	84	79	74	70	65	60	56	51	46	42	
15	95	90	85	80	75	71	66	61	57	53	48	44	
16	95	90	85	81	76	71	67	62	58	54	50	46	
17	95	90	86	81	77	72	68	63	59	55	51	47	
18	95	91	86	82	77	73	69	65	61	56	53	49	
19	95	91	86	82	78	74	70	65	62	58	54	50	
20	96	91	87	83	78	74	70	66	63	59	55	51	
21	96	91	87	83	79	75	71	67	64	60	56	52	
22	96	92	88	83	80	75	72	68	64	61	57	54	
23	96	92	88	84	80	76	72	69	65	61	58	55	
24	96	92	88	84	80	77	73	70	66	62	59	56	
25	96	92	88	85	81	77	74	70	67	63	60	57	
26	96	92	88	85	81	78	74	71	67	64	61	58	
27	96	93	89	85	81	78	75	71	68	65	62	59	
28	96	93	89	86	82	79	75	72	68	65	62	59	
29	96	93	89	86	82	79	76	72	69	66	63	60	
30	96	93	89	86	83	79	76	73	70	67	64	61	

4.3 Numaralı Çizelge

Kuru Termometre Sıcaklığı (°C)	Donma sıcaklığı altında psikrometrik fark (°C)																			
	0	0,1	0,2	0,3	0,4	0,5	0,6	0,7	0,8	0,9	1	1,2	1,5	1,7	2	2,2	2,5	2,7	3	3,5
Bağıl Nem Derecesi																				
-20	100	93	86	79	71	64	57	50	42	34	27									
-19	100	94	87	80	75	68	60	53	46	40	34									
-18	100	95	89	82	76	70	64	56	50	46	38	26								
-17	100	95	90	84	78	72	66	60	54	48	44	33								
-16	100	95	90	84	79	74	69	63	58	54	48	37								
-15	100	96	91	85	81	76	70	66	61	56	52	43	28							
-14	100	95	92	87	82	78	73	69	64	56	52	42	28							
-13	100	96	92	88	84	79	75	70	67	62	59	50	39	29						
-12	100	96	92	89	84	81	76	73	68	65	62	54	42	34	-					
-11	100	97	93	89	86	82	78	76	71	67	64	57	47	39	29					
-10	100	97	94	90	87	84	80	77	74	69	67	60	50	43	33					
-9	100	97	94	91	87	84	82	79	75	72	69	62	54	47	38	32				
-8	100	97	95	92	88	85	83	80	76	73	70	65	56	51	40	36	27			
-7	100	98	95	92	89	87	84	81	78	76	73	67	59	54	45	41	32			
-6	100	97	95	92	90	87	85	81	79	76	74	69	61	56	49	43	36	31		
-5	100	98	96	94	91	89	86	83	81	78	76	72	64	59	52	47	40	35	28	
-4	100	98	96	94	91	89	86	84	82	80	77	73	65	61	54	50	44	38	32	
-3	100	98	96	94	92	89	87	84	82	80	78	74	67	63	57	52	46	42	36	
-2	100	98	96	94	92	90	88	85	83	81	79	75	69	65	59	55	49	45	40	30
-1	100	98	96	94	92	90	88	86	85	83	81	77	71	67	62	58	51	48	42	33
0	100	98	96	94	92	91	89	87	85	83	81	78	72	69	63	60	54	51	46	37

olur. Diğer yandan (2°C) kuru termometre sıcaklığı (2°C) psikrometrik fark için bağıl nem ($0,68$) ve (3°C) kuru termometre sıcaklığı (2°C) psikrometrik fark için bağıl nem ($0,69$)'dur. Buna göre, ($2,8^{\circ}\text{C}$) kuru termometre sıcaklığı (2°C) psikrometrik fark için bağıl nem

$$\phi_2 = 0,68 + 0,8 (0,69 - 0,68) = 0,688$$

$$\phi_2 = 0,688$$

olarak bulunur. Havanın kuru ve yaşı termometrelerle ölçülen sıcaklığına göre belirlenen psikrometrik fark ($1,5^{\circ}\text{C}$)'den büyük ve (2°C)'den küçük olduğu için ($2,8^{\circ}\text{C}$) kuru termometre sıcaklığında bağıl nem de ($\phi_1 = 0,768$)'den küçük ve ($\phi_2 = 0,688$)'den büyük olur.

$$\phi_1 - \phi_2 = 0,768 - 0,688 = 0,08$$

$$2 - 1,5 = 0,5^{\circ}\text{C}$$

olduğuna göre (1°C) psikrometrik fark için bağıl nem değişimi

$$\frac{\phi_1 - \phi_2}{0,5} = \frac{0,08}{0,5} = 0,16$$

olur ve buradan

$$\phi = \phi_1 - 0,1 \cdot 0,16 = 0,768 - 0,016 = 0,752$$

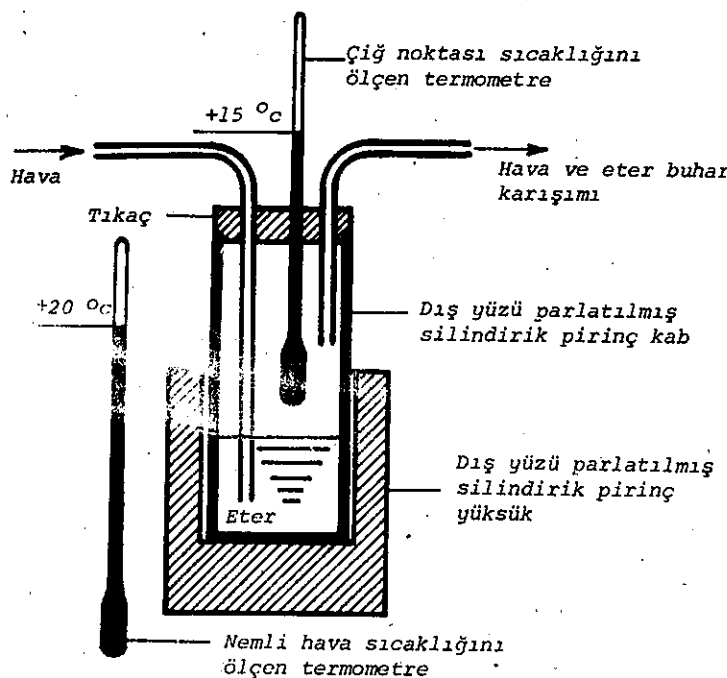
$$\phi = 0,752$$

elde edilir.

1.b.5.b) Higrometrelerden yararlanılarak bağıl nemin belirlenmesi

Bağıl nemin ölçümü yani higrometrik durumun belirlenmesi için higrometre adı verilen aletlerden yararlanılır. Havanın içerdiği su buharının yani mutlak nemin ölçümünde

başvurulan en pratik yöntem, bilindiği gibi, hacmi bilinen bir miktar havayı nem tutucu nitelikte kimyasal maddeleri içeren (u) borularından geçirerek ve sonra bu kimyasal maddelerin kütle değişimini duyarlı tartı aletleriyle saptamaktır. Ancak günümüzde tartı yöntemi pratik olmasına karşın yalnızca bayağı higrometrelerin ayarlanması sırasında kullanılmaktadır. Uygulama alanında yoğunlaşmalı ya da kaydedici higrometrelerle karşılaşılır. Yoğunlaşmalı higrometrede nemli hava yavaş yavaş soğutulan parlak bir madensel yüzeyin üzerinden geçirilir ve buğulanmanın başladığı anda madensel yüzeyin sıcaklığı ölçülür. Bu sıcaklık çığ noktası sıcaklığıdır ve yavaş yavaş soğutulan parlak madensel yüzey üzerinden geçirilen (t) sıcaklığındaki havanın içerdiği su buharının kısmi basıncına eşit olan doygunluk basıncını karşılar. (Şekil-4.2)'de yoğunlaşmalı Alluard higrometresi görülmektedir. Yoğunlaşmalı Alluard higrometresi dış yüzü parlatılmış



Sekil-4.2 Yoğunlaşmalı Alluard Higrometresi

silindirik pirinç bir kab, bu kabın üzerine geçirilen yine dış yüzü parlatılmış silindirik pirinç bir yüksük, çığ noktası sıcaklığı ile nemli hava sıcaklığının ölçümünde kullanılan iki sıvı termometresi ve hava giriş borusu ile hava - eter buharı karışımı çıkış borusundan oluşmuştur. Dış yüzü parlatılmış silindirik kabın içerisinde sıcaklığı çığ noktası sıcaklığına dek düşürmeye yarayan eter vardır. Eterin içerisindeinden hava geçirilir. Eter, içerisindeinden geçirilen havadan ısı alarak buharlaşır ve dış yüzü parlatılmış silindirik pirinç kabın sıcaklığının çığ noktası sıcaklığına düşmesini sağlar. Sıcaklığın çığ noktası sıcaklığına düşmesi, silindirik pirinç kabın parlatılmış dış yüzünde buğulanmanın başlaması ile anlaşılır. Dış yüzü parlatılmış silindirik pirinç yüksüğün işlevi, buğulanmanın başladığı anın, gözlemci tarafından yüzeyler arasında bir karşılaştırma yapılarak pek az hata ile saptanmasını mümkün kılmaktır. Yukarıda eter aracılığı ile soğutulan silindirik pirinç kabtan çok iyi yalıtılması da gereklidir. Çığ noktası sıcaklığı, dış yüzü parlatılmış silindirik kabın içerisinde yerleştirilmiş olan sıvı termometresinin aracılığı ile belirlenir.

Bağırsaktan yapılmış çok ince tellerle saç telleri, bilindiği gibi, havanın içerdiği su buharından etkilenirler. Havadaki nem miktarı artınca bağırsaktan yapılmış ince tellerle saç tellerinin boyu uzar, buna karşın havadaki nem miktarı azalınca bu tellerin boyu kısalır. Kaydedici higrometreler, bağırsaktan yapılmış ince tellerle saç tellerinin bu özelliğinden yararlanılarak gerçekleştirilmiş olan higrometrelerdir. Bu higrometrelerde havanın içerdiği su buharı miktarına bağlı olarak bağırsaktan yapılmış ince tellerin ya da saç tellerinin boyunda meydana gelen değişiklik bir göstergenin aracılığı ile uzunluk ekseni etrafında dönen bir silindirin üzerine sarılmış olan bölmeli bir kâğıda geçirilir. Bölmeli kâğıttan yararlanılarak gün boyunca havadaki nemin değişimi incelenir. Aşağıda 4.4 Numaralı çizelgede doygun havanın sıcaklığı, özgül ağırlığı ve su tutumu arasındaki ilişki görülmektedir.

4.4 Numaralı Çizelge

Sıcaklık °C	Kuru Havanın Sıçaklık Özgül Ağırlığı kg/m³	Doygun Havanın Su Tutumu		Sı- cak- lık °C	Kuru Havanın Sıçaklık Özgül Ağırlığı kg/m³	Doygun Havanın Su Tutumu	
		g/m³	g/kg			g/m³	g/kg
-20	1,3955	1,060	0,76	+10	1,2475	9,372	7,513
-18	1,3845	1,367	0,915	+12	1,2387	10,618	8,572
-16	1,3738	1,473	1,072	+14	1,2301	12,007	9,761
-14	1,3631	1,761	1,270	+16	1,2216	13,554	11,20
-12	1,3527	2,028	1,499	+18	1,2131	15,270	12,70
-10	1,3424	2,303	1,716	+20	1,2049	17,177	14,40
-8	1,3323	2,680	2,012	+22	1,1967	19,286	16,30
-6	1,3223	3,117	2,357	+24	1,1858	21,617	18,40
-4	1,3124	3,623	2,761	+26	1,1807	24,168	20,70
-2	1,3027	4,209	3,231	+28	1,1728	27,016	23,40
0	1,2932	4,876	3,770	+30	1,1650	30,130	26,30
+2	1,2838	5,580	4,387	+32	1,1574	33,548	29,50
+4	1,2748	6,370	4,983	+34	1,1497	37,288	33,10
+6	1,2654	7,259	5,737	+36	1,1424	41,393	37,0
+8	1,2564	8,257	6,572				

1. Uygulama

(20 °C) sıcaklıkta havanın bağılı nemi ($\phi = 0,60$) olarak belirlenmiştir. Sıcaklık (20 °C)'den (14 °C)'ye düşürüldüğü zaman havanın bağılı nemini ve çığ noktası sıcaklığını hesaplayalım.

Bağılı nem, bilindiği gibi,

$$\phi = \frac{g_s}{g_d}$$

eşitliği ile ifade edilir. Burada (g_s), (1 m³) havanın içeriği su buharının ağırlığını ve (g_d) de aynı sıcaklık ve aynı toplam basınçta içerebileceği maksimal su buharının ağırlığını yani doygun havanın su tutumunu göstermektedir. 4.4 Numaralı çizelgeden (+ 20 °C) sıcaklıkta doygun havanın su

tutumunu (17,177 g/m³) olarak belirleyebiliriz. (20 °C) sıcaklıkta havanın bağılı nemi ($\phi = 0,60$) olarak belirlenmiş olduğuna göre

$$0,60 = \frac{g_s}{17,177}$$

eşitliği yazılabilir ve buradan

$$g_s = 0,60 \cdot 17,177 = 10,3062 \text{ g/m}^3$$

$$g_s = 10,3062 \text{ g/m}^3$$

elde edilir. Yine 4.4 numaralı çizelgeden (15 °C) sıcaklıkta doygun havanın su tutumunu (12,007 g/m³) olarak belirlemek mümkündür. (15 °C) sıcaklıkta havanın bağılı nemini (ϕ_1) ile gösterecek olursak doygun havanın su tutumu (g_{d1}) olduğuna göre

$$\phi_1 = \frac{g_s}{g_{d1}}$$

eşitliğini yazabilirim.

$$g_s = 10,3062 \text{ g/m}^3$$

$$g_{d1} = 12,007 \text{ g/m}^3$$

olduğu için

$$\phi_1 = \frac{g_s}{g_{d1}} = \frac{10,3062}{12,007} = 0,858$$

$$\phi_1 = 0,858$$

olur. Nemli havanın yani kuru hava ve su buharı karışımının sıcaklığını karşılayan doygunluk basıncını

$$\lg P_d = 17,443 - \frac{2795}{T} - 3,869 \cdot \lg T$$

şeklindeki Joseph Bertrand Formülünden yararlanarak hesaplayabiliriz.

$$t = 20^{\circ}\text{C}$$

$$T = 273 + t = 273 + 20 = 293^{\circ}\text{K}$$

$$T = 293^{\circ}\text{K}$$

olduğu için

$$\lg p_d = 17,443 - \frac{2795}{T} - 3,869 \cdot \lg T = 17,443 - \frac{2795}{293} - 3,869 \cdot \lg 293 = -1,64054$$

$$\lg p_d = -1,64054$$

olur. Buradan

$$p_d = 0,02288 \text{ kg/cm}^2$$

bulunur.

$$\phi = \frac{P_s}{P_d}$$

olarak verilmiştir.

$$\phi = 0,60$$

$$P_d = 0,02288 \cdot 10^4 \text{ kg/m}^2$$

olduğu için

$$P_s = \phi \cdot P_d = 0,60 \cdot 0,02288 \cdot 10^4 = 0,013728 \cdot 10^4 \text{ kg/m}^2$$

$$P_s = 0,01372 \cdot 10^4 \text{ kg/m}^2$$

olarak elde edilir. (P_s), (20°C) sıcaklıkta nemli havadaki su buharının kısmi basıncıdır. (20°C) sıcaklıkta nemli havadaki su buharının kısmi basıncını karşılayan doygunluk sıcaklığı çıkış noktası sıcaklığıdır.

$$P_s = 0,013728 \cdot 10^4 \text{ kg/m}^2$$

olduğu için 4.5 Numaralı çizelgeden yararlanılarak çıkış noktası sıcaklığı ($11,36^{\circ}\text{C}$) bulunur.

Holborn, Nenning ve Baumann adlı araştırmacılar tarafından yapılmış deneysel araştırmaların sonuçlarına göre düzenlenmiş olan ve su buharının doygunluk sıcaklığı ile doygunluk basıncı arasındaki ilişkisi gösteren çizelge

4.5 Numaralı Çizelge

Sıcaklık (°C)	0	1	2	3	4	5	6	7	8	9
	Doygunluk Basıncı (kg/cm²)									
0	0,0062	0,0067	0,0072	0,0077	0,0083	0,0089	0,0095	0,0102	0,0109	0,0117
10	0,0125	0,0134	0,0143	0,0153	0,0163	0,0174	0,0185	0,0197	0,0210	0,0224
20	0,0238	0,0253	0,0269	0,0286	0,0304	0,0322	0,0342	0,0363	0,0384	0,0407
30	0,0431	0,0456	0,0483	0,0511	0,0541	0,0572	0,0604	0,0633	0,0673	0,0711
40	0,0750	0,0791	0,0834	0,0878	0,0925	0,0974	0,1026	0,1079	0,1135	0,1194
50	0,1255	0,1318	0,1485	0,1455	0,1527	0,1602	0,1681	0,1762	0,1848	0,1936
60	0,2028	0,2124	0,2224	0,2328	0,2435	0,2547	0,2664	0,2785	0,2910	0,3040
70	0,3175	0,3315	0,3460	0,3611	0,3768	0,3929	0,4097	0,4269	0,4449	0,4635
80	0,4828	0,5027	0,5233	0,5445	0,5666	0,5894	0,6129	0,6371	0,6623	0,6881
90	0,7149	0,7425	0,7710	0,8004	0,8307	0,8620	0,8942	0,9274	0,9617	0,9970
100	1,0333	1,0707	1,1093	1,1490	1,1898	1,2320	1,2752	1,3196	1,3655	1,4124
110	1,4609	1,5107	1,5618	1,6144	1,6634	1,7239	1,7808	1,8392	1,8994	1,9611
120	2,0243	2,0892	2,1559	2,2243	2,2944	2,3664	2,4401	2,5021	2,5932	2,6727
130	2,7540	2,8374	2,9229	3,0102	3,0999	3,1917	3,2856	3,3818	3,4802	3,5810
140	3,6839	3,7894	3,8972	4,0078	4,1201	4,2356	4,3536	4,4742	4,5973	4,7233
150	4,8521	4,9934	5,1177	5,2548	5,395	5,538	5,635	5,833	5,985	6,141
160	6,299	6,461	6,627	6,795	6,967	7,142	7,320	7,502	7,639	7,874
170	8,072	8,268	8,469	8,673	8,882	9,094	9,311	9,531	9,755	9,984
180	10,216	10,453	10,695	10,040	11,190	11,444	11,704	11,967	12,235	12,509
190	12,786	13,069	13,356	13,648	13,944	14,247	14,555	14,866	15,184	15,508
200	15,836	16,170	16,510	16,855	17,205	17,561	17,923	18,291	18,664	19,044
210	19,429	19,820	20,213	20,621	21,031	21,446	21,869	22,298	22,733	23,175
220	23,523	24,078	24,540	25,008	25,433	25,965	26,454	26,951	27,454	27,965
230	28,483	29,008	29,541	30,080	30,628	31,183	31,746	32,316	32,895	31,481
240	34,076	34,673	35,239	35,907	36,535	37,172	37,816	38,467	39,123	39,797
250	40,476	41,162	41,859	42,565	43,279	44,001	44,734	45,476	46,227	46,987
260	47,758	48,537	49,326	50,125	50,934	51,752	52,581	53,419	54,267	55,126
270	55,995	56,874	57,764	58,665	59,576	60,497	61,430	62,374	63,329	64,295
280	65,274	66,263	67,263	68,276	69,299	70,336	71,386	72,449	73,522	74,608
290	75,705	76,815	77,94	79,08	80,23	81,39	82,57	83,76	84,96	86,18
300	87,41	88,65	89,90	91,17	92,45	93,745	95,055	96,38	97,715	99,06
310	100,42	101,80	103,19	104,60	106,02	107,46	108,91	110,37	111,85	113,35
320	114,86	116,39	117,94	119,50	121,07	122,66	124,27	125,90	127,55	129,21
330	130,89	132,58	138,28	136,01	137,75	139,51	141,30	143,10	144,91	146,74
340	148,60	150,46	152,34	154,25	156,17	158,12	160,09	162,07	164,07	166,09
350	168,12	170,17	172,25	174,34	176,46	178,60	180,75	182,94	185,15	187,39
360	189,63	191,91	194,21	196,54	198,91	201,32	203,74	206,20	208,68	211,19
370	213,73	216,30	218,89	221,54	224,24					

2. Uygulama

Sıvı termometresi ile ölçülen nemli hava sıcaklığı (30°C)'dır. Yoğunlaşmalı Alluart Higrometresinde dış yüzü parlatılmış silindirik pırınc kabin büğulandığı sıcaklık (10°C) olarak belirlendiğine göre, havanın bağıl nemini hesaplayalım. Havanın bağıl nemini hesaplamak için önce Joseph Bertrand Formülüünden yararlanarak (30°C) ve (10°C) doygunluk sıcaklığını karşılayan doygunluk basınçlarını bulmak gereklidir.

$$t_1 = 30^{\circ}\text{C}$$

$$T_1 = 273 + t_1 = 273 + 30 = 303^{\circ}\text{K}$$

$$T_1 = 303^{\circ}\text{K}$$

olduğu için

$$\lg p_1 = 17,443 - \frac{2795}{T_1} - 3,869 \quad \lg T_1 = 17,443 - \frac{2795}{303} - 3,869 \cdot \lg 303$$

$$\lg p_1 = -1,382122$$

$$p_1 = 0,041483 \text{ kg/cm}^2$$

ve

$$t_2 = 10^{\circ}\text{C}$$

$$T_2 = 273 + t_2 = 273 + 10 = 283^{\circ}\text{K}$$

$$T_2 = 283^{\circ}\text{K}$$

olduğu için

$$\lg p_2 = 17,443 - \frac{2795}{T_2} - 3,869 \cdot \lg T_2 = 17,443 - \frac{2795}{283} - 3,869 \cdot \lg 283$$

$$\lg p_2 = -1,91926$$

$$p_2 = 0,012043 \text{ kg/cm}^2$$

bulunur. Diğer yandan

$$\phi = \frac{P_s}{P_d}$$

olduğu ve

$$P_s = P_2 = 0,012043 \cdot 10^4 \text{ kg/m}^2$$

$$P_d = P_1 = 0,041483 \cdot 10^4 \text{ kg/m}^2$$

olarak bulunduğu için

$$\phi = \frac{P_s}{P_d} = \frac{0,012043 \cdot 10^4}{0,041483 \cdot 10^4} = 0,2903$$

$$\phi = 0,2903$$

olur.

3. Uygulama

(20°C) sıcaklıkta (1 kg) su buharının atmosferik basınçta kaç (m^3) kuru havayı doygun hale getirebileceğini araştıralım. (1 m^3) karışımında su buharının kısmi basıncını (P_s), ağırlığını (g_s) ve kuru havanın kısmi basıncını (P_h), ağırlığını da (g_h) ile gösterelim. Su buharının gaz sabiti (R_s) ve kuru havanın gaz sabiti de (R_h) olduğuna göre, Genel Gaz Kanunu uyarınca

$$P_s = g_s \cdot R_s \cdot T$$

ve

$$P_h = f_h \cdot R_h \cdot T$$

eşitliklerini yazabiliriz. Bu eşitlıkların birleşiminden

$$g_h = g_s \cdot \frac{P_h}{P_s} \cdot \frac{R_s}{R_h}$$

eşitliği elde edilir. 4.4 Numaralı çizelgeden yararlanarak (20°C) sıcaklıktaki doygun havanın su tutumunu ($17,177 \text{ g/m}^3$) olarak belirleyebiliriz.

$$P_s = 0,02288 \cdot 10^4 \text{ kg/m}^2$$

$$P_h = P_{\text{atm}} - P_s = 10^4 - 0,02288 \cdot 10^4 = 0,97712 \cdot 10 \text{ kg/m}^2$$

$$P_h = 0,97712 \cdot 10^4 \text{ kg/m}^2$$

$$R_s = 47,1 \text{ kgm/kg. } ^\circ\text{K}$$

$$R_h = 29,4 \text{ kgm/kg. } ^\circ\text{K}$$

olduğu için

$$g_h = g_s \cdot \frac{P_h}{P_s} \cdot \frac{R_s}{R_h} = 17,177 \cdot \frac{0,9712 \cdot 10^4}{0,02288 \cdot 10^4} \cdot \frac{47,1}{29,4} = 1175,1727 \text{ g/m}^3$$

$$g_h = 1175,1727 \text{ g/m}^3$$

olur. Bu açıklama (1 m^3) karışımın ağırlık olarak ($17,177 \text{ g}$) su buharı ile ($1175,1727 \text{ g}$) kuru havadan oluştuğunu göstermektedir. 4.4 Numaralı çizelgeden (20°C) sıcaklıktaki kuru havanın özgül ağırlığını ($1,2049 \text{ kg/m}^3$) olarak bulabiliriz. (20°C) sıcaklıktaki kuru havanın özgül hacmi ($0,82994 \text{ m}^3/\text{kg}$) olduğu için (1 m^3) karışımı oluşturan ($1175,1727 \text{ g}$) kuru havanın hacmi ($0,97532 \text{ m}^3$) olur. Açık olarak görülüyor ki, ($17,177 \text{ g}$) su buharı ($0,97532 \text{ m}^3$) kuru havayı doyurmaktadır. ($17,177 \text{ g}$) su buharı ($0,97532 \text{ m}^3$) kuru havayı doyurduğuna göre, (1 kg) su buharı

$$\frac{1000}{17,177} \cdot 0,97532 = 56,78057 \text{ m}^3$$

kuru havayı doygun hale getirir.

4. Uygulama

(50°C) sıcaklıkta ve (75 mm Hg) basınçta (10 dm^3) su buharının sıcaklığı aynı kalmak koşulu ile basıncı ($92,5 \text{ mm Hg}$)'ye yükseltiliyor ve hacmi de (5 dm^3)'e düşürlüyor. Bu dönüşüm sürecinde yoğunlaşan su buharının ağırlığını hesaplayalım. Dönüşüm sürecinde yoğunlaşan su buharının ağırlığını, su buharını yetkin gaz kabul etmek koşulu ile Genel Gaz Kanunundan yararlanarak hesaplayabiliriz. Su buharının gaz sabitini (R_s), dönüşüm sürecinin başında ağırlığını (g_1) basıncını (P_1), hacmini (V_1), sıcaklığını (T_1) ve dönüşüm sürecinin sonunda da ağırlığını (g_2), basıncını (P_2), hacmini (V_2), sıcaklığını (T_2) ile gösterecek olursak Genel Gaz Kanunu uyarınca

$$P_1 V_1 = g_1 R_s T_1$$

ve

$$P_2 V_2 = g_2 R_s T_2$$

eşitliklerini yazabiliriz. Deniz seviyesinde atmosferik basınç (760 mm Hg) ya da ($1,0336 \cdot 10^4 \text{ kg/m}^2$)'dır. Buna göre,

$$P_1 = \frac{1,0336 \cdot 10^4}{760} \cdot 75 = 0,102 \cdot 10^4 \text{ kg/m}^2$$

$$P_1 = 0,102 \cdot 10^4 \text{ kg/m}^2$$

ve

$$P_2 = \frac{1,0336 \cdot 10^4}{760} \cdot 92,5 = 0,1258 \cdot 10^4 \text{ kg/m}^2$$

$$P_2 = 0,1258 \cdot 10^4 \text{ kg/m}^2$$

olur. Diğer yandan

$$V_1 = 10 \text{ dm}^3 = 10 \cdot 10^{-3} \text{ m}^3$$

$$V_2 = 5 \text{ dm}^3 = 5 \cdot 10^{-3} \text{ m}^3$$

$$t_1 = t_2 = 50^{\circ}\text{C}$$

$$T_1 = T_2 = 273 + t_1 = 273 + 50 = 323^{\circ}\text{K}$$

$$T_1 = T_2 = 323^{\circ}\text{K}$$

olarak verilmiştir.

$$R_s = 47,1 \text{ kg m/kg}^{\circ}\text{K}$$

olduğu için

$$P_1 V_1 = g_1 \cdot R_s \cdot T_1$$

$$P_2 V_2 = g_2 \cdot R_s \cdot T_2$$

eşitliklerinden yararlanılarak

$$g_1 = \frac{P_1 V_1}{R_s T_1} = \frac{0,102 \cdot 10^4 \cdot 10^{-2}}{47,1 \cdot 323} = 0,0006704 \text{ kg}$$

$$g_1 = 0,0006704 \text{ kg} = 0,6704 \text{ g}$$

ve

$$g_2 = \frac{P_2 V_2}{R_s T_2} = \frac{0,1258 \cdot 10^2 \cdot 5 \cdot 10^{-3}}{47,1 \cdot 323} = 0,0004134 \text{ kg}$$

$$g = 0,0004134 = 0,4134 \text{ g}$$

bulunur. Bu durumda, dönüşüm sürecinde yoğunlaşan buhar miktarı

$$g_1 - g_2 = 0,6704 - 0,4134 = 0,257 \text{ g}$$

$$g_1 - g_2 = 0,257 \text{ g}$$

olur.

5.. Uygulama

Hacmi (2 dm^3) olan bir kapalı kabta (30°C) sıcaklıkta ve (760 mm Hg) basınçta kuru hava bulunmaktadır. Bu kabin

îçersine (30°C) sıcaklıkta (20 mg) su gönderiliyor ve bunun aynı sıcaklıkta tamamen buharlaşması sağlanıyor. Su buharının kısmi basıncını, bağıl nem derecesini ve su buharı - kuru hava karışımının ağırlığını hesaplayalım.

(30°C) sıcaklıkta (20 mg) su buharının kısmi basıncını Genel Gaz Kanunu'ndan yararlanarak bulabiliriz. Genel Gaz Kanunu uyarınca, su buharının kısmi basıncı (P_s) olduğuna göre,

$$P_s \cdot V = g_s \cdot R_s \cdot T$$

eşitliğini yazabilirim.

$$t = 30^{\circ}\text{C}$$

$$T = 273 + t = 273 + 30 = 303^{\circ}\text{K}$$

$$T = 303^{\circ}\text{K}$$

$$g_s = 20 \text{ mg} = 20 \cdot 10^{-3} \text{ g} = 20 \cdot 10^{-6} \text{ kg}$$

$$R_s = 47,1 \text{ kgm/kg}^{\circ}\text{K}$$

$$V = 2 \text{ dm}^3 = 2 \cdot 10^{-3} \text{ m}^3$$

olarak verilmiştir. Bu durumda

$$P_s \cdot V = g_s \cdot R_s \cdot T$$

eşitliğinden yararlanılarak

$$P_s = g_s \cdot R_s \cdot \frac{T}{V} = 20 \cdot 10^{-6} \cdot 47,1 \cdot \frac{303}{2 \cdot 10^{-3}} = 0,01427 \cdot 10^4 \text{ kg/m}^2$$

$$P_s = 0,01427 \cdot 10^4 \text{ kg/m}^2$$

bulunur. Bağıl nem, bilindiği

$$\phi = \frac{P_s}{P_d}$$

eşitliği ile verilir. (30°C) sıcaklıkta su buharının doygunluk basıncı

$$\lg p_d = 17,443 - \frac{2795}{T} - 3,869 \lg T$$

Şeklindeki Joseph Bertrand Formülünden yararlanılarak hesaplanabilir.

$$T = 303 \text{ } ^\circ\text{K}$$

olduğu için

$$\lg p_d = 17,443 - \frac{2795}{T} - 3,869 \cdot \lg T = 17,443 - \frac{2795}{303} - 3,869 \lg 303$$

$$\lg p_d = -1,3821$$

$$P_d = 0,041485 \text{ kg/cm}^2$$

olur.

$$\phi = \frac{P_s}{P_d}$$

eşitliğinde (P_s) ve (P_d)'nin bulmuş olduğumuz değerlerini yerine koymak olursak

$$\phi = \frac{P_s}{P_d} = \frac{0,01427 \cdot 10^4}{0,041485 \cdot 10^4} = 0,343$$

$$\phi = 0,343$$

buluruz. Hacmi (2 dm^3), sıcaklığı (30°C) ve basıncı da (760 mm Hg) olan kuru havanın ağırlığını Genel Gaz Kanunu ile hesaplamak mümkündür. Kuru havanın ağırlığını (g_h) ve gaz sabitini de (R_h) ile gösterecek olursak Genel Gaz Kanunu uyarınca

$$P \cdot V = g_h \cdot R_h \cdot T$$

eşitliğini yazabiliriz.

$$V = 2 \text{ dm}^3 = 2 \cdot 10^{-3} \text{ m}^3$$

$$P = 760 \text{ mm Hg} = 1,0336 \cdot 10^4 \text{ kg/m}^2$$

$$T = 303 \text{ } ^\circ\text{K}$$

olarak verilmiştir. Havanın gaz sabiti ($R_h = 29,4 \text{ kgm/kg. } ^\circ\text{K}$) olduğuna göre,

$$g_h = \frac{P \cdot V}{R_h \cdot T} = \frac{1,0336 \cdot 10^4 \cdot 2 \cdot 10^{-3}}{29,4 \cdot 303} = 0,00232 \text{ kg}$$

$$g_h = 0,00232 \text{ kg}$$

bulunur. Su buhari - kuru hava karışımının ağırlığı su buharının ağırlığı ile kuru havanın ağırlığının toplamıdır. Buna göre, su buhari - kuru hava karışımının ağırlığı

$$g_h + g_s = 2320 \cdot 10^{-6} + 20 \cdot 10^{-6} = 2340 \cdot 10^{-6} \text{ kg}$$

$$g_h + g_s = 2340 \cdot 10^{-6} \text{ kg} = 2,34 \text{ g}$$

olur.

1.b.6) Nemli havanın antalpisi (Su buhari-kuru hava karışımının sabit basınçtaki ısı tutumu)

Bir gaz karışımının antalpisi yani sabit basınçtaki ısı tutumu bu gaz karışımını oluşturan elemanların antalplerinin toplamına eşittir. Gaz karışımının ağırlığını (G), gaz karışımını oluşturan elemanların ağırlığını da (G_1), (G_2), (G_3), ..., (G_n) ile gösterelim. Birim ağırlık için gaz karışımının antalpisi (h) ve gaz karışımını oluşturan elemanların antalpisi de (h_1), (h_2), (h_3), ..., (h_n) olursa yukarıda yapmış olduğumuz açıklama uyarınca

$$G \cdot h = G_1 \cdot h_1 + G_2 \cdot h_2 + G_3 \cdot h_3 + \dots + G_n \cdot h_n$$

eşitliğini yazabiliriz. Bu eşitliği (1 kg) kuru hava ve ($x \text{ kg}$) su buharından oluşan bir su buharı - kuru hava karışımı için, (kg) başına su buharının antalpisi (h_s), kuru havanın antalpisi (h_h) ve su buharı - kuru hava karışımının antalpisi de (h) olduğuna göre

$$(1+x) \cdot h = h_h + x \cdot h_s$$

şeklinde yazabiliz.

$$(1+x) \cdot h = h_h + x \cdot h_s$$

eşitliğini yararlanılabilir ve kullanılabilir bir duruma getirmek için havanın sabit basıncındaki özgül ısınma ısısı ile su buharının sabit basıncındaki özgül ısınma ısısını hesaplamak gereklidir. Havanın ve su buharının sabit basıncındaki özgül ısınma ısısı

$$C_p - C_v = A R$$

ve

$$\frac{C_p}{C_v} = \gamma$$

eşitliklerinden yararlanılarak hesaplanır. Bu iki eşitliğin birleşiminden

$$C_p = \frac{\gamma}{\gamma-1} A R$$

ve

$$C_v = \frac{A R}{\gamma-1}$$

eşitlikleri elde edilir. Hava, molekül yapısı (2) atomlu olan oksijen ve azot karışımıdır. Su buharının molekül yapısı (3) atomludur. Bu nedenle hava için ($\gamma = 1,41$) ve su buharı için ($\gamma = 1,33$) alınır. Havanın gaz sabiti ($R_h = 29,4 \text{ kgm/kg.}^{\circ}\text{K}$) ve su buharının gaz sabiti de ($R_s = 47,1 \text{ kgm/kg.}^{\circ}\text{K}$)'dır. Havanın sabit basıncındaki özgül

ısınma ısısını (C_{ph}) ve su buharının sabit basıncındaki özgül ısınma ısısını da (C_{ps}) ile gösterelim. (A) eşdeğerlik kat sayısıdır ve değeri ($1/427 \text{ kcal/kgm}/^{\circ}\text{K}$)'dır. Bu durumda havanın sabit basıncındaki özgül ısınma ısısı

$$C_{ph} = \frac{\gamma_h}{\gamma_h - 1} \cdot A \cdot R_h = \frac{1,41}{1,41 - 1} \cdot \frac{1}{427} \cdot 29,4 = 0,2367 \text{ kcal/kg.}^{\circ}\text{K}$$

$$C_{ph} = 0,2367 \text{ kcal/kg.}^{\circ}\text{K} = 0,2367 \text{ kcal/kg.}^{\circ}\text{C}$$

ve su buharının sabit basıncındaki özgül ısınma ısısı da,

$$C_{ps} = \frac{\gamma_s}{\gamma_s - 1} \cdot A \cdot R_s = \frac{1,33}{1,33 - 1} \cdot \frac{1}{427} \cdot 47,1 = 0,4445 \text{ kcal/kg.}^{\circ}\text{K}$$

$$C_{ps} = 0,4445 \text{ kcal/kg.}^{\circ}\text{K} = 0,4445 \text{ kcal/kg.}^{\circ}\text{C}$$

olarak

$$h_s = r_o + C_{ps} \cdot t = r_o + 0,4445 \cdot t$$

ve

$$h_h = C_{ph} \cdot t = 0,2367 \cdot t$$

olduğu için

$$(1+x) \cdot h = h_h + x \cdot h_s$$

eşitliğinden yararlanarak

$$(1+x) \cdot h = 0,2367 \cdot t + x(r_o + 0,4445 \cdot t)$$

eşitliğini yazabiliz. Belirli bir sıcaklıkta ve belirli bir toplam basıncada (1 kg) kuru havayı doyuran su buharı miktarını (x) ile gösterelim. Bu durumda doygusal karışımın antalpisi

$$(1+x) \cdot h = 0,2367 \cdot t + x(r_o + 0,4445 \cdot t)$$

eşitliğinden yararlanılarak bulunur. Yukarıdaki eşitliklerde

yer alan (r_0), (1 kg) suyun (0 °C) sıcaklıkta buharlaşma ısısıdır ve değeri (597 kcal) olarak belirlenmiştir.

Sabit basınçta tutulan nemli havanın sıcaklığının (t_1)'den (t_2)'ye getirildiğini kabul edelim. Ağırlığı (1+x) olan nemli havanın (t_1) sıcaklığındaki antalpisi

$$(1+x) \cdot h_1 = 0,2367 \cdot t_1 + x(r_0 + 0,4445 \cdot t_1)$$

ve (t_2) sıcaklığındaki antalpisi de

$$(1+x) \cdot h_2 = 0,2367 \cdot t_2 + x(r_0 + 0,4445 \cdot t_2)$$

eşitliğinden yararlanılarak hesaplanır. Bu eşitlıkların birleşiminden

$$(1+x)(h_2 - h_1) = (t_2 - t_1)(0,2367 + x \cdot 0,4445)$$

eşitliği elde edilir. Sıcaklığı (t_1)'den (t_2)'ye getirilen nemli havanın ağırlığını (G), (t_1) ve (t_2) sıcaklıklarının sınırladıkları dönüşüm sürecinde çevreden alınan ya da çevreye verilen ısı miktarını da (Q_1) ile gösterecek olursak

$$Q_1^2 = \frac{G}{1+x} [(t_2 - t_1)(0,2367 + x \cdot 0,4445)]$$

eşitliğini yazabiliriz. (t_1) ve (t_2) sıcaklıklarının sınırladıkları dönüşüm sürecinde, ağırlığı (G) olan nemli havanın çevreden aldığı ya da çevreye verdiği ısı miktarı nemli hava için hazırlanmış diyağramlardan yararlanılarak da bulunabilir.

1. Uygulama

(750 mm Hg) basınç altında ve (50 °C) sıcaklıkta, bağıl nemi ($\phi = 0,50$) olan (1 kg) nemli havanın antalpisini hesapyalım.

Nemli havanın antalpisi yani sabit basınçtaki ısı tutumu, bilindiği gibi,

$$(1+x) \cdot h = 0,2367 \cdot t + x(r_0 + 0,4445 \cdot t)$$

eşitliğinden yararlanılarak hesaplanır. Ancak daha önce (x)'i bulmak gereklidir. Bağıl nem

$$\phi = \frac{P_s}{P_d}$$

eşitliği ile verilir. (P_s) nemli havanın içerdiği su buharının kısmi basıncı, (P_d) de (50 °C) sıcaklığı karşılayan doygunluk basıncıdır. Doygunluk basıncı,

$$\lg P_d = 17,443 - \frac{2795}{T} - 3,869 \lg T$$

şeklindeki Joseph Bertrand Formülünden yararlanılarak bulunur.

$$t = 50 ^\circ C$$

$$T = 273 + t = 273 + 50 = 323 ^\circ K$$

$$T = 323 ^\circ K$$

olduğu için

$$\lg P_d = 17,443 - \frac{2795}{T} - 3,869 \lg T = 17,443 - \frac{2795}{323} - 3,869 \lg 323$$

$$\lg P_d = -0,9183$$

$$P_d = 0,12068 \text{ kg/cm}^2$$

olur.

$$\phi = \frac{P_s}{P_d}$$

eşitliğinde (ϕ) ve (P_d)'nin değerlerini yerlerine koyacak

olursak (P_s)'nin değerini

$$P_s = \phi \cdot P_s = 0,50 \cdot 0,12069 \cdot 10^4 = 0,060345 \cdot 10^4 \text{ kg/m}^2$$

$$P_s = 0,060345 \cdot 10^4 \text{ kg/m}^2$$

olarak buluruz. Karışımın basıncısı (P) ile gösterelim.

$$P = 750 \text{ mm Hg}$$

olarak verildiği için

$$P = \frac{P_{atm}}{760} \cdot 750 = \frac{1,0336 \cdot 10^4}{760} \cdot 750 = 1,0199 \cdot 10^4 \text{ kg/m}^2$$

$$P = 1,0199 \cdot 10^4 \text{ kg/m}^2$$

olur. Bu durumda, karışımın içeriği kuru havanın kısmi basıncı

$$P_h = P - P_s = 1,0199 \cdot 10^4 - 0,060345 \cdot 10^4 = 0,9595 \cdot 10^4 \text{ kg/m}^2$$

$$P_h = 0,9595 \cdot 10^4 \text{ kg/m}^2$$

bulunur. Karışımın hacmini bulmak için Genel Gaz Kanunu uyarınca

$$P_h \cdot V = R_h \cdot T$$

eşitliğini yazabiliriz.

$$R_h = 29,4 \text{ kgm/kg. } {}^\circ\text{K}$$

$$T = 323 \text{ } {}^\circ\text{K}$$

$$P_h = 0,9595 \cdot 10^4 \text{ kg/m}^2$$

olduğu için

$$V = \frac{R_h \cdot T}{P_h} = \frac{29,4 \cdot 323}{0,9595 \cdot 10^4} = 0,9897 \text{ m}^3$$

$$V = 0,9897 \text{ m}^3$$

olur. Karışımın içeriği su buharının ağırlığı, Genel Gaz Kanununa göre yazabileceğimiz

$$P_s \cdot V = x \cdot R_s \cdot T$$

eşitliğinden yararlanılarak bulunur.

$$P_s = 0,060345 \cdot 10^4 \text{ kg/m}^2$$

$$V = 0,9897 \text{ m}^3$$

$$R_s = 47,1 \text{ kgm/kg. } {}^\circ\text{K}$$

olarak bulunmuş ve

$$T = 323 \text{ } {}^\circ\text{K}$$

olarak verilmiştir. Bu durumda

$$x = \frac{P_s \cdot V}{R_s \cdot T} = \frac{0,060345 \cdot 10^4 \cdot 0,9897}{47,1 \cdot 323} = 0,03925 \text{ kg}$$

$$x = 0,03925 \text{ kg}$$

olarak elde edilir.

$$(1+x) h = 0,2367 \cdot t + x (r_o + 0,4445 \cdot t)$$

eşitliğinde (x)'in, (t)'nin ve (r_o)'ın değerlerini yerlerine koymalı.

$$r_o = 597 \text{ kcal/kg}$$

$$t = 50 \text{ } {}^\circ\text{C}$$

$$x = 0,03925$$

olduğu için

$$h = \frac{1}{1+0,03925} \cdot 0,2367 \cdot 50 + 0,03925(597 + 0,4445 \cdot 50) = 34,7746 \text{ kcal/kg}$$

$$h = 34,7746 \text{ kcal/kg}$$

2. Uygulama

Bağışlı nemi ($\phi = 0,60$) olan ($t_1 = 40^\circ\text{C}$) sıcaklığındaki nemli hava (760 mm Hg) basınç altında ($t_2 = 90^\circ\text{C}$)'ye kadar ısıtılmaktadır. (1 kg) nemli havanın bu koşullarda ısıtılması için gerekli ısı miktarını hesaplayalım.

(40°C) sıcaklığı karşılayan doygunluk basıncını

$$\lg P_d = 17,443 - \frac{2795}{T_1} - 3,869 \cdot \lg T_1$$

şeklindeki Joseph Bertrand Formülünden yararlanarak hesaplayabiliriz.

$$t_1 = 40^\circ\text{C}$$

$$T_1 = 273 + t_1 = 273 + 40 = 313^\circ\text{K}$$

$$T_1 = 313^\circ\text{K}$$

olarak verildiği için

$$\lg P_d = 17,443 - \frac{2795}{T_1} - 3,869 \cdot \lg T_1 = 17,443 - \frac{2795}{313} - 3,869 \cdot \lg 313$$

$$\lg P_d = -1,14196$$

$$P_d = 0,072117 \text{ kg/m}^2$$

olur. Bağışlı nem

$$\phi = \frac{P_s}{P_d}$$

eşitliği ile ifade edilir.

$$\phi = 0,60$$

olarak verildiği için

$$P_s = \phi \cdot P_d = 0,60 \cdot 0,72117 \cdot 10^4 = 0,04327 \cdot 10^4 \text{ kg/m}^2$$

$$P_s = 0,04327 \cdot 10^4 \text{ kg/m}^2$$

bulunur. Karışımı oluşturan su buharı ve kuru hava için Genel Gaz Kanunu uyarınca, (V) karışımın hacmi olduğuna göre,

$$P_s \cdot V = x \cdot R_s \cdot T_2$$

ve

$$P_h \cdot V = R_h \cdot T_2$$

eşitliklerini yazabiliriz. Bu eşitliklerin birleşiminden

$$x = \frac{P_s}{P_h} \cdot \frac{R_h}{R_s}$$

eşitliği elde edilir.

$$R_h = 29,4 \text{ kgm/kg. } ^\circ\text{K}$$

$$R_s = 47,1 \text{ kgm/kg. } ^\circ\text{K}$$

ve

$$P_h = P - P_s = 1,0336 \cdot 10^4 - 0,04327 \cdot 10^4 = 0,99033 \cdot 10^4 \text{ kg/m}^2$$

$$P_h = 0,99033 \cdot 10^4 \text{ kg/m}^2$$

olduğu için

$$x = \frac{P_s}{P_h} \cdot \frac{R_h}{R_s} = \frac{0,04327 \cdot 10^4}{0,99033 \cdot 10^4} \cdot \frac{29,4}{47,1} = 0,02727$$

$$x = 27,27 \text{ g/kg}$$

olur. (t_1) ve (t_2) sıcaklıklarının sınırladıkları ısıtma süresinde (1 kg) nemli havaya verilmesi gereken ısı miktarı

$$q_1^2 = \frac{1}{1+x} \cdot [(t_2 - t_1) \cdot (0,2367 + x \cdot 0,4445)]$$

esitliğinden yararlanılarak hesaplanır.

$$t_1 = 40^\circ\text{C}$$

$$t_2 = 90^\circ\text{C}$$

olarak verilmiştir.

$$x = 27,27 \text{ g/kg}$$

olarak bulunduğu için

$$q_1^2 = \frac{1}{1+0,02727} \cdot [(90-40)(0,2367 + 0,02727 \cdot 0,4445)] = 12,11 \text{ kacal/kg}$$

$$q_1^2 = 12,11 \text{ kacal/kg}$$

olur.

1.b.7) Nemli havanın antalpisinin grafik olarak gösterilmesi

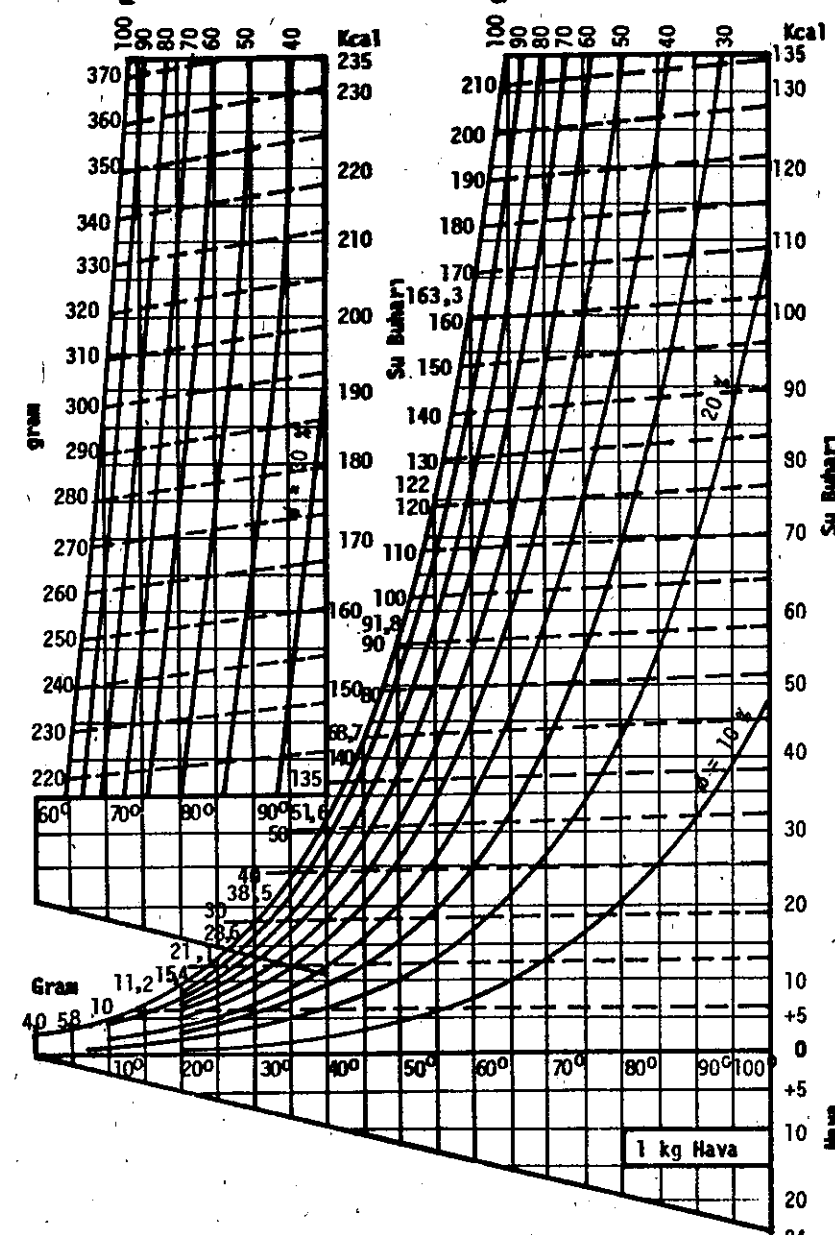
1.b.7.a) Antalpik diyagramının oluşumu

Yatay konumda sıcaklık ve düşey konumda antalpi eksenlerinin oluşturdukları dik açılı koordinatlar sisteminde nemli hava diyagramları bağıl nem eğrileri ile su buharının eşit ağırlık eğrilerinden oluşur. (Şekil-4.3)'de, böyle bir nemli hava diyagramı görülmektedir. Yatay konumda sıcaklık ekseninin altında kalan bölgeye kuru havanın antalpisini belirlemek için denklemi

$$h_h = C_{hp} \cdot t = 0,2367 \cdot t$$

olan doğru çizilir. Bu doğrunun üzerinde alınan bir noktanın ordinatı sıcaklığı bu noktanın apsisini karşılayan (1 kg) kuru havanın atmosferik basınçta antalpisini ifade eder.

(mm Hg) olarak toplam basınç karışımın yanı nemli havanın bütün durumları için sabit kabul edilir. Diyagramın



Şekil-4.3 Karışımın sıcaklığı, bağıl nem, karışımın içeridiği kuru havanın antalpisi ile su buharının antalpisi ve ağırlığı arasındaki ilişkili gösteren diyagram

sol yanında en dışta bulunan eğri doygunluk eğrisi olarak adlandırılır. Doygunluk eğrisinin ifade ettiği bağıl nem derecesi ($\phi = 1$)'dır. Bu eğrinin alt yanında sırası ile $(0,90, 0,80, 0,70, 0,60, \dots, 0,10)$ 'luk bağıl nem derecesini gösteren bağıl nem eğrileri bulunur. Bağıl nem derecesi ($\phi = 0$) olursa bu bağıl nem derecesini ifade eden eğri sıcaklık ekseni ile çakışır. Bağıl nem derecesinin sıfır olduğu karışımında su buharı bulunmaz. Bu durumda karışımıma kuru hava demek yerinde olur.

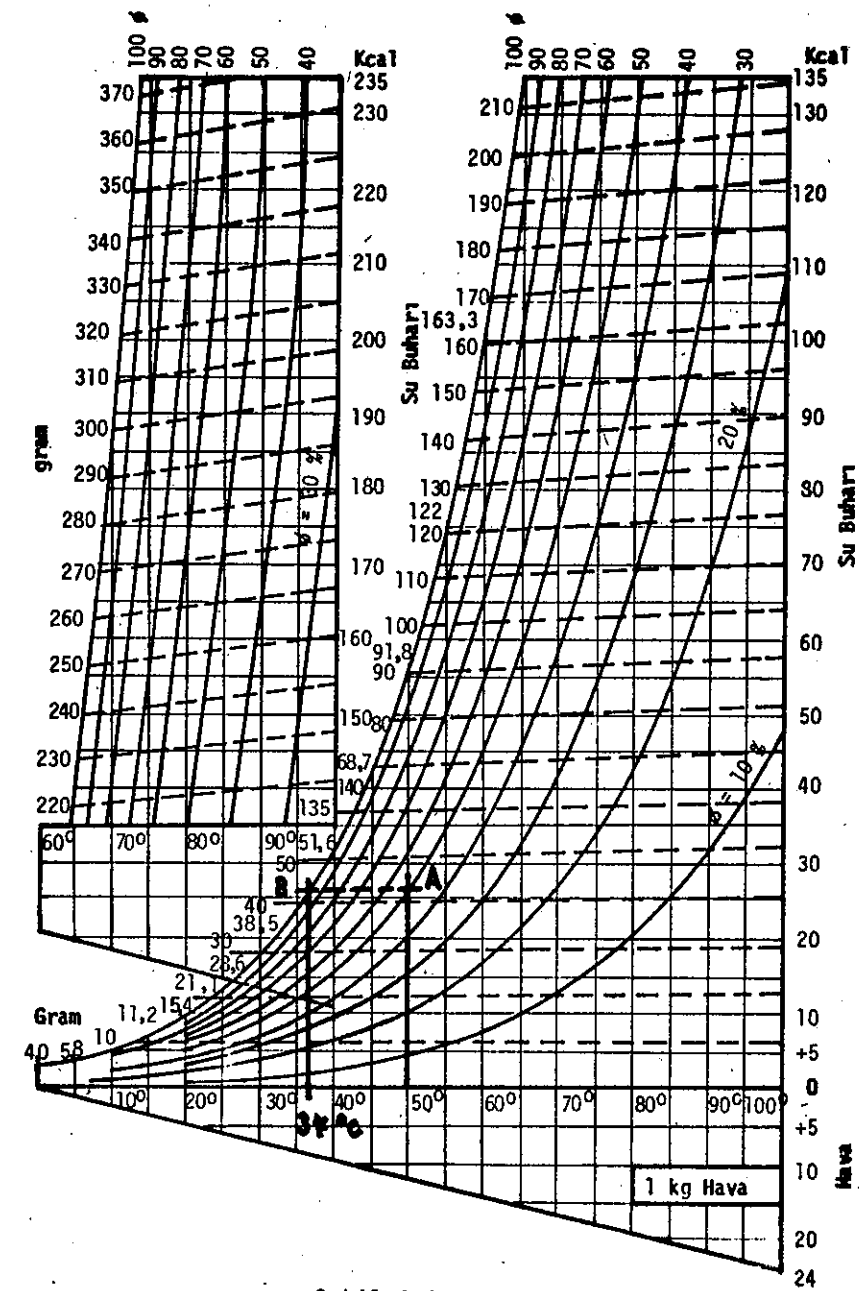
Diyagramın sıcaklık ekseninin üstünde kalan kesiminde alınan her nokta, bu noktanın koordinatlarını oluşturan sıcaklık ve karışımın içeriği su buharının antalpisi ile bağılı nem derecesi tarafından tanımlanır. Karışımın toplam antalpisi, kuru havanın aynı sıcaklığı karşılayan antalpisi karışımın içeriği su buharının antalpisine eklenerek bulunur. Karışımı oluşturan elemanlardan kuru havanın ağırlığı daima (1 kg) olarak alınır. Su buharının eşit ağırlık eğrileri diyagram üzerinde kesik çizgilerle gösterilmiştir. Gerçekte, dar bir alanda doğru çizgi kabul edilmesi gereken bu eğriler yukarıya çıkıldıkça sıcaklık ekseni ile daha büyük bir açı yaparlar.

1.b, 7.b) Antalpik diyagramının kullanımı

Diyagram üzerinde alınan her nokta nemli havanın belirli bir durumunu gösterir. Bir noktayı sıcaklık ve antalpi- den oluşan koordinatları ile bağıl nem eğrisi üzerindeki ve su buharı eşit ağırlık eğrileri arasındaki konumu karakterize eder.

1. Uygulama

Bağıl nem derecesi ($\phi_1 = 0,50$) olan ($t = 50^{\circ}\text{C}$) sıcaklıkta nemli hava soğutulmaktadır. Nemli havanın içerdiği su buharının yoğunşmaya başladığı çıkış noktası sıcaklığını saptayalım.



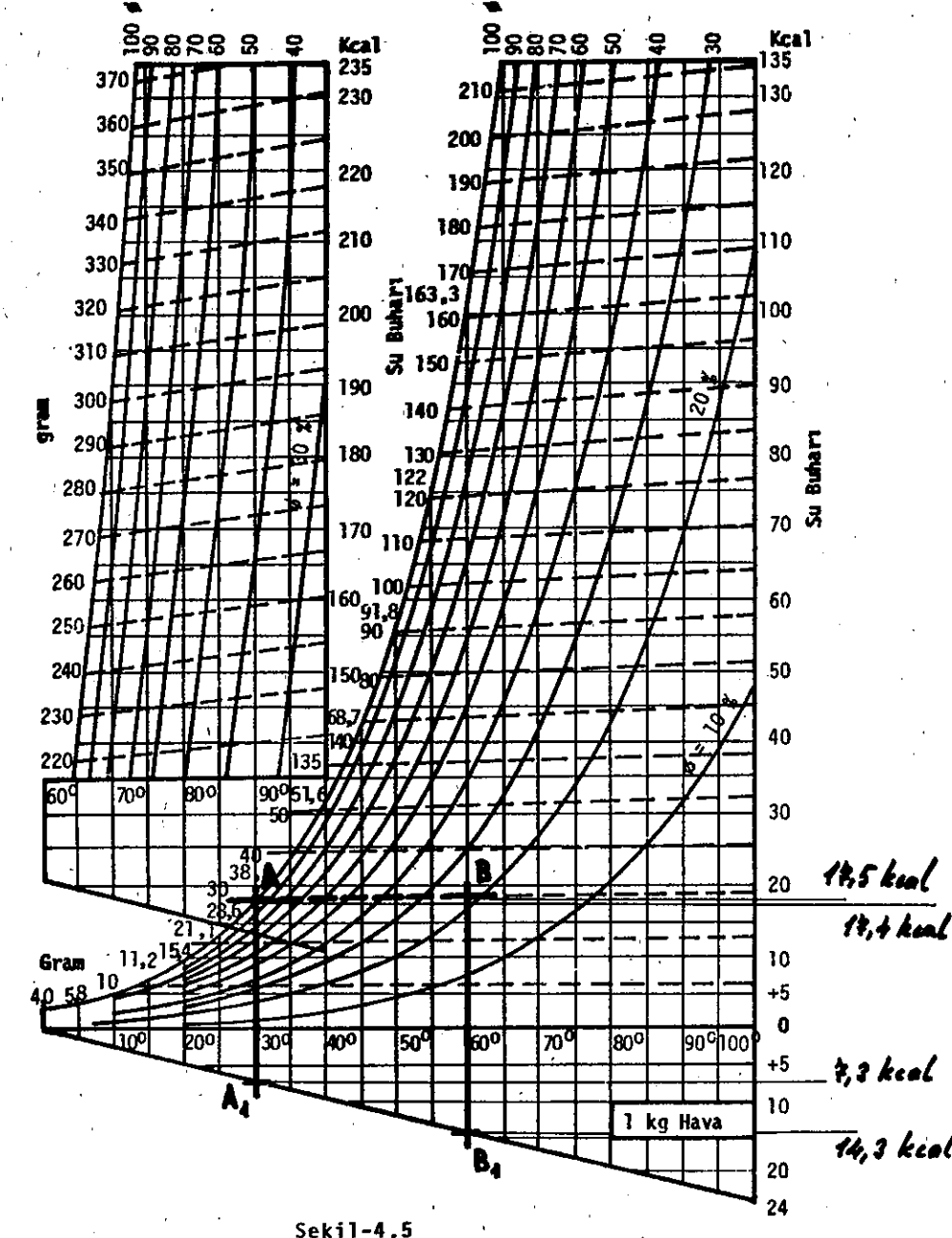
Sekil-4.4

Çiğ noktasında bilindiği gibi, nemli hava doygunlaşır ve bağıl nem derecesi ($\phi_1 = 1$) olur. Nemli havanın ağırlığı soğuma sürecinde sabit kalır. Nemli havanın soğuma sürecinin başındaki durumu, (Şekil-4.4)'de görüldüğü gibi, sıcaklık ekseninde (50°C)'yi belirleyen noktadan çıkan dikmenin ($\phi_1 = 0,50$) bağıl nem derecesine ait bağıl nem eğrisini kestiği (A) noktası ile tanımlanır. (A) noktasından bu noktaya en yakın su buharı eşit ağırlık çizgisine paralel bir doğru çizilir. Bu doğru doygunluk eğrisini (B) noktasında keser. (B) noktasının apsisi ciğ noktası sıcaklığını ifade eder. Ciğ noktası sıcaklığı, diyagram üzerinde görüldüğü gibi, (37°C)'dır.

2. Uygulama

Bağıl nem derecesi ($\phi_1 = 1$) olan doyurulmuş nemli hava, sıcaklığı ($t_1 = 30^{\circ}\text{C}$)'den ($t_2 = 60^{\circ}\text{C}$)'ye yükselence dek ısıtılmıştır. Nemli havanın ($t_2 = 60^{\circ}\text{C}$) sıcaklıktaki bağıl nem derecesini ve (1 kg) nemli havayı ısıtmak için gerekli ısı miktarını bulalımy.

Bunun için önce (Şekil-4.5)'de görüldüğü gibi, doygunluk eğrisi üzerinde apsisi ($t_1 = 30^{\circ}\text{C}$) olan (A) noktası alınır ve (A) noktasından bu noktaya en yakın su buharı eşit ağırlık çizgisine paralel bir çizgi çizilir. Sonra sıcaklık ekseninde ($t_2 = 60^{\circ}\text{C}$)'yi karşılayan noktadan çıkan dikmenin bu çizgisi kestiği (B) noktası bulunur. (B) noktasının ait olduğu bağıl nem eğrisi bağıl nem derecesini ifade eder. Bağıl nem derecesi yaklaşık olarak ($\phi_2 = 0,21$)'dır. (A) ve (B) noktalarının ordinatı (t_1) ve (t_2) sıcaklıklarında nemli havanın içeriği su buharının antalpisini gösterir. (t_1) sıcaklığında nemli havanın içeriği su buharının antalpisi ($x.h_g = 17,4 \text{ kcal}$) ve (t_2) sıcaklığında nemli havanın içeriği su buharının antalpisi de ($x.h_{g2} = 17,5 \text{ kcal}$) olarak saptanır.



Şekil-4.5

Nemli havayı oluşturan elemanlardan kuru havanın antalpisini bulmak için sıcaklık ekseninde ($t_1 = 30^\circ\text{C}$) ve ($t_2 = 60^\circ\text{C}$)'yi karşılayan noktalardan çıkan dikmele rin sıcaklık ekseninin altına sarkan uzantılarının denklemi

$$h_h = 0,2367 \cdot t$$

olan doğruya kestiği noktaları belirlemek gereklidir. Bu noktalardan birini (A_1) ve diğerini de (B_1) ile gösterelim. (A_1) noktasının ordinatı (t_1) sıcaklığında kuru havanın antalpisini ve (B_1) noktasının ordinatı da (t_2) sıcaklığında (1 kg) kuru havanın antalpisini ifade eder. (t_1) sıcaklığında (1 kg) kuru havanın antalpisi ($h_{h1} = 7,3 \text{ kcal}$) ve (t_2) sıcaklığında kuru havanın antalpisi de ($h_{h2} = 14,3 \text{ kcal}$) olarak saptanır. Diğer yandan

$$(1+x) \cdot h_1 = h_{h1} + x \cdot h_{s1}$$

ve

$$(1+x) \cdot h_2 = h_{h2} + x \cdot h_{s2}$$

olduğu için

$$(1+x)(h_2 - h_1) = (h_{h2} - h_{h1}) + (xh_{s2} - xh_{s1})$$

eşitliğini yazabiliz.

Nemli havanın içeriği su buharının ağırlığı yani mutlak nemi (Şekil-4.5)'de görülen diyagramdan yararlanılarak ($x = 0,029 \text{ kg}$) bulunur.

$$h_{h1} = 7,3 \text{ kcal}$$

$$h_{h2} = 14,3 \text{ kcal}$$

$$x \cdot h_{s1} = 17,4 \text{ kcal}$$

$$x \cdot h_{s2} = 17,5 \text{ kcal}$$

olarak saptandığı için

$$h_2 - h_1 = \frac{1}{1+x} \cdot [(h_{h2} - h_{h1}) + (xh_{s2} - h_{s1})] = \frac{1}{1,029} [(14,3 - 7,3) + (17,5 - 17,4)]$$

$$h_2 - h_1 = 6,8999 \text{ kcal/kg}$$

olur.

3. Uygulama

Sıcaklığı ($t_1 = 70^\circ\text{C}$) olan nemli havanın bağıl nem derecesi ($\phi_1 = 0,40$) olsun. Bu nemli havayı doyuran yani bağıl nem derecesini ($\phi_2 = 1$) yapan su miktarını belirleyelim.

Nemli havanın ilk durumunu, (Şekil-4.6)'da da görüldüğü gibi, ($\phi_1 = 0,40$) bağıl nem derecesine ait bağıl nem eğrisi üzerinde apsis ($t_1 = 70^\circ\text{C}$) olan (A) noktası ifade eder. Nemli havanın durum değişikliğinde toplam ısı miktarı yani kuru havanın ısı tutumu ile su buharının ısı tutumunun toplamı sabit kalır. Bunun için (A) noktasından denklemi

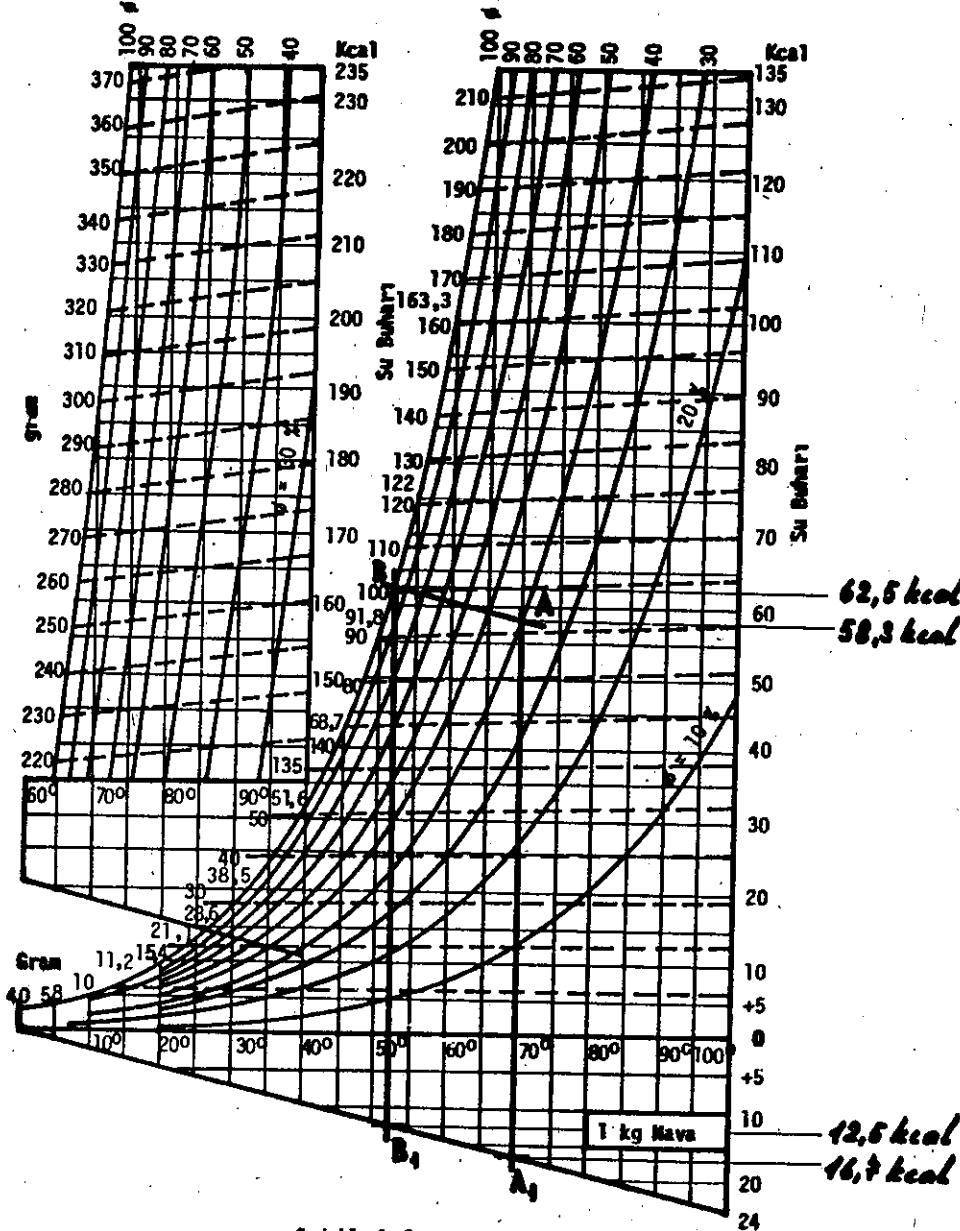
$$h_h = 0,2367 \cdot t$$

olan doğruya paralel bir doğru çizilir. Bu doğru doygunluk eğrisini (B) noktasında keser. (B) noktasının ordinatı kuru havayı doyuran su buharının antalpisi gösterir. Durumu (A) noktası ile belirlenen karışımda su buharının antalpisi ($x_A \cdot h_{SA} = 58,3 \text{ kcal}$) ve durumu (B) noktası ile belirlenen karışımda su buharının antalpisi de ($x_B \cdot h_{SB} = 62,5 \text{ kcal}$) olarak saptanır.

Denklemi

$$h_h = 0,2367 \cdot t$$

olan doğru üzerinde bulunan (A_1) ve (B_1) noktalarının ordinatları karışımı oluşturan elemanlardan kuru havanın antalpisi ifade eder. Buna göre, durumu (A) noktası ile gösterilen karışımda (1 kg) kuru havanın antalpisi ($h_{hA} = 16 \text{ kcal}$)



Şekil-4.6

ve durumu (B) noktası ile gösterilen karışımında (1 kg) kuru havanın antalpisi de ($h_{hB} = 12,5 \text{ kcal}$) olarak saptanır.

Değişim sürecinde, nemli havayı oluşturan elemanlar- dan kuru havanın verdiği ısı miktarı

$$h_{hA} - h_{hB} = 16,7 - 12,5 = 4,2 \text{ kcal}$$

ve su buharının çektiği ısı miktarı da

$$x_B \cdot h_{SB} - x_A \cdot h_{SA} = 62,5 - 58,3 = 4,2 \text{ kcal}$$

olur. Bu, hemen belirtelim ki, değişim sürecinde, nemli ha- vayı oluşturan elemanlardan kuru havanın verdiği ısı mikta- rının su buharının çektiği ısı miktarına eşit olduğunu da göstermektedir.

Diyagramdan yararlanılarak (A) noktasında nemli ha- vanın içерdiği su buharının ağırlığı (0,093 kg) ve (B) nok- tasında nemli havanın içerdeği su buharının ağırlığı da (0,102 kg) bulunur. Buna göre, (A) noktasındaki nemli hava- yi doyurmak için gerekli su miktarı

$$0,102 - 0,093 = 0,009$$

olur.

2) Bir Elemanter Klima Tesisinin Hesabı

2.a) Klima için hava hazırlanırken denetim altında bulundurulması gereken etkenler

Klima için hava hazırlanırken akım hızı, sıcaklık ve bağıl nem derecesi gibi etkenlerin denetim altında bulundu- rulması gereklidir.

2.a.1) Akım hızı

Klima cihazında istenilen nitelikte hazırlanan hava, iklimlendirilmesi gereken yerlere ana boruların aracılığı

ile taşınır. Ana borularda havanın akım hızı yüksektir. Ancak iklimlendirilecek yerlere hava damper ve izgaralar- dan geçirilerek (2 m/sn)'lik ya da (3 m/sn)'lik bir hızla üflenmelidir. Havanın iklimlendirilecek yerlere daha yüksek bir hızla üflenmesi insan sağlığına zararlı hava akımlarının oluşmasına neden olur.

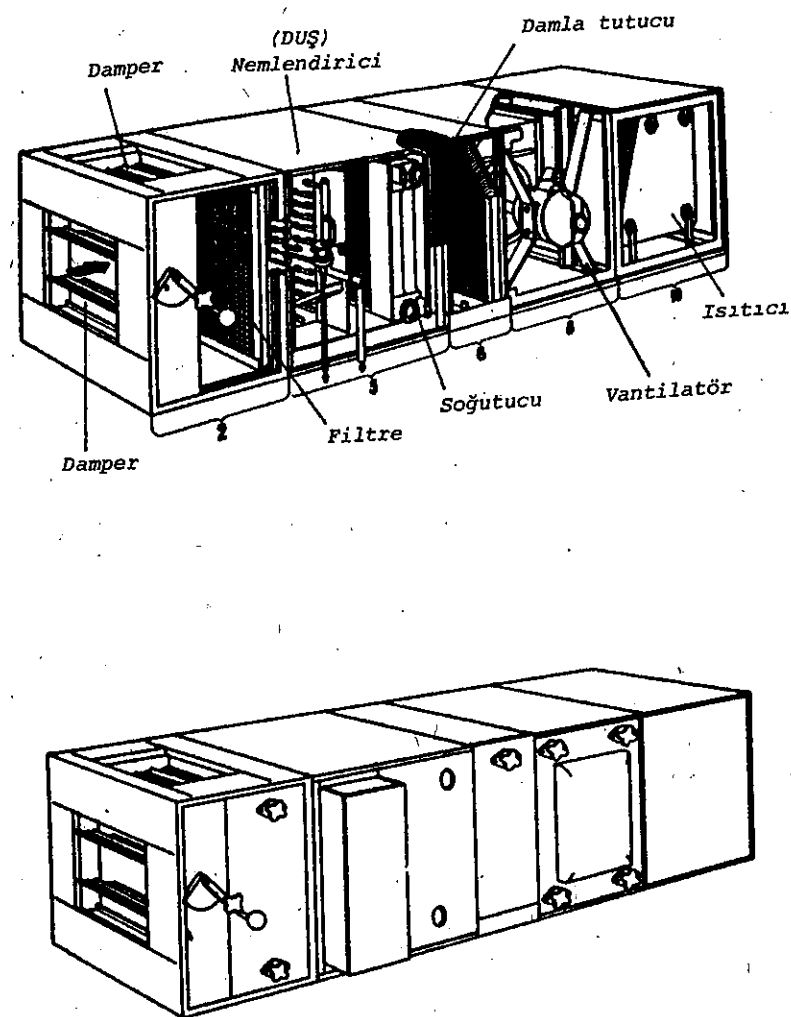
2.a.2) Sıcaklık ve bağıl nem derecesi

Klima cihazında hazırlanarak iklimlendirilecek yerlere gönderilen havanın yaz mevsiminde sıcaklığı minimal (19°C), maksimal (24°C) ve kış mevsiminde de sıcaklığı minimal (17°C), maksimal (22°C) olmalıdır. Yaz ve kış mevsimlerinde iklimlendirmede kullanılan havanın bağıl nem derecesi ($0,30$) ve ($0,60$) arasında değişir. Fakat en uygunu bağıl nem derecesi ($0,50$) olan havadır.

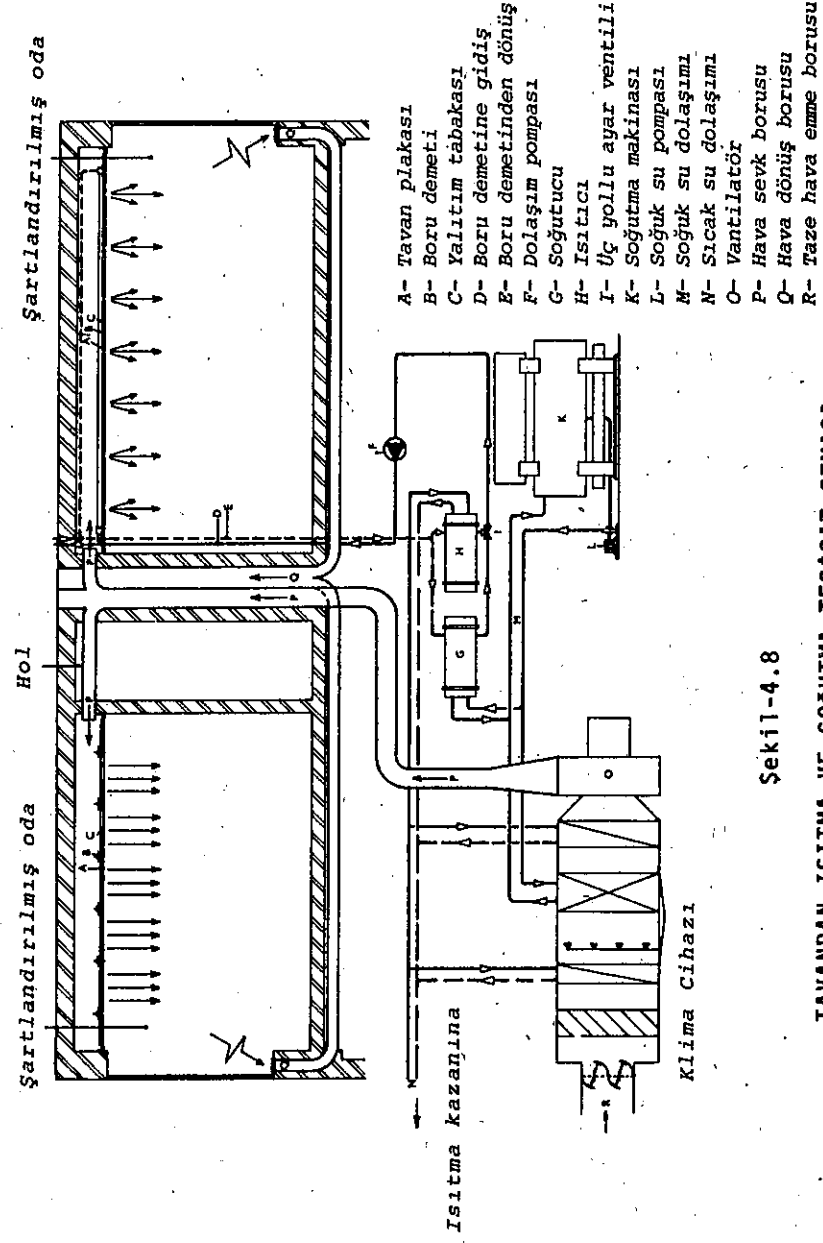
2.b) Klima cihazı

(Şekil-4.7)'de, yukarıda belirtilen nitelikte hava- yi hazırlayan elemanter bir klima cihazı görülmektedir. Bu klima cihazı damper, filtre, nemlendirici yani duş, soğutucu, damla tutucu, vantilatör ve ısıtıcı gibi organlardan oluşmuştur. Ayrıca klima cihazının girişine bir aspiratör de yerleştirilebilir. Duştan geçen hava beraberinde su tanecikleri sürüklüyor. Havanın sürüklendiği su taneciklerinin ayrışması için duş çıkışına nem tutucu maddelerden yapılmış izgaralar yerleştirilir.

(Şekil-4.8)'de klima cihazı ile birlikte bir klima tesisatının şeması görülmektedir. Klima cihazında yaz ve kış koşullarında olmak üzere iki tür işletme söz konusudur. Havanın kış işletmesinde ısıtilması ve nemlendirilmesi, yaz işletmesinde de soğutulması ve kurutulması gereklidir.



Şekil -4.7
Klima Cihazı

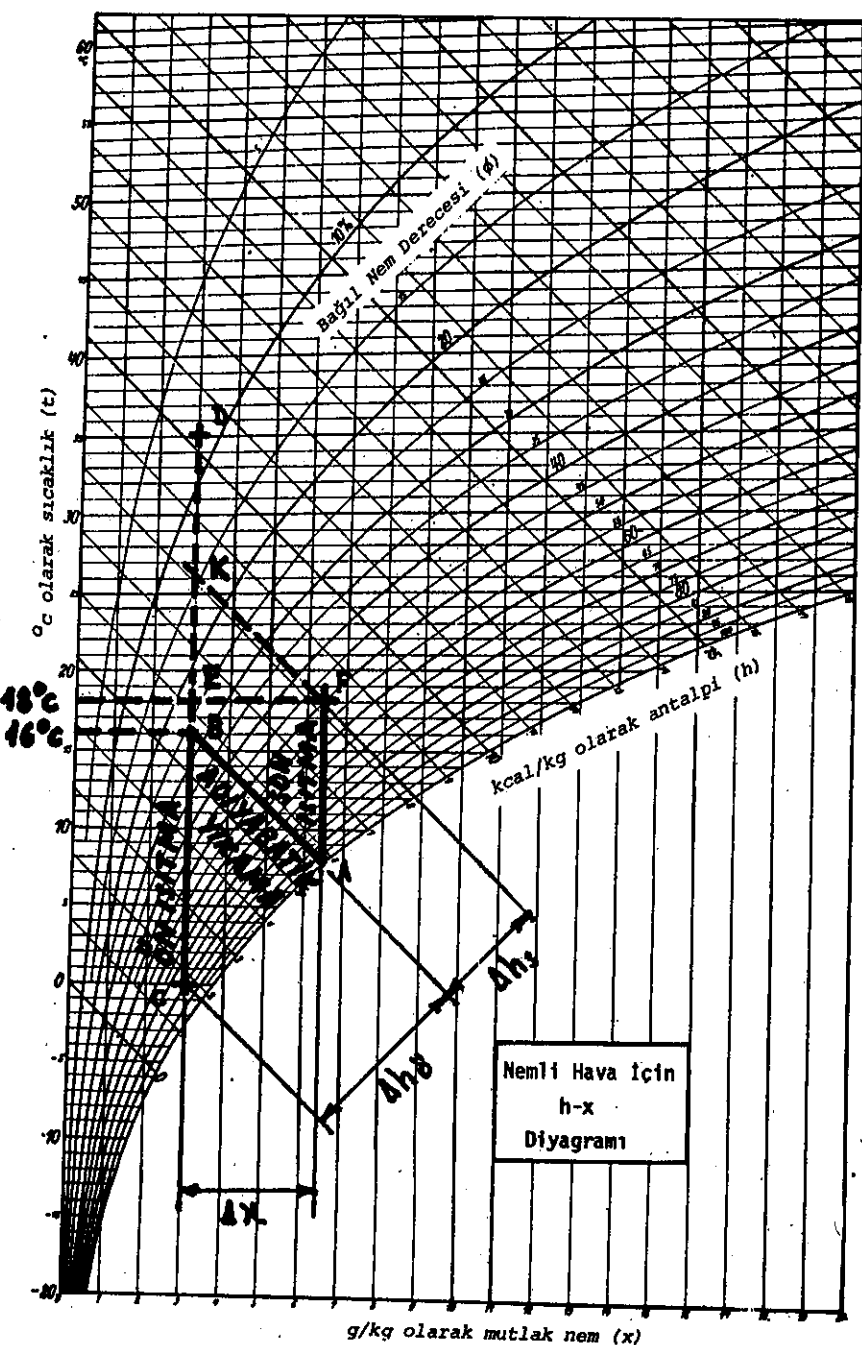


2.b.1) Kış işletmesi hesabı

Kış işletmesinde, yukarıda da dejinmiş olduğumuz gibi, hava ısıtilir ve nemlendirilir. Kış işletmesinde ısıtma ve havalandırmanın nasıl yapıldığını somut bir örnekle açıklamaya çalışalım.

Klima cihazı tarafından emilen dış havanın sıcaklığı (0°C) ve bağıl nem derecesi de ($\phi = 0,80$) olsun. Emilen havanın örneğin (18°C) sıcaklıkta iklimlendirilecek yere gönderilmesi ve yeterince nem tutuması yani su buharı içermesi zorunluluğu vardır. Sevk borularındaki transmisyon kayıplarını karşılamak için konfor tesislerinde, üfleme havası sıcaklığının (35°C) ve (40°C) arasında bulunması arzu edilir. Ne kadar yalıtlırsa yalıtlısa sevek borularında, iklimlendirilecek yerlere gönderilen havanın sıcaklığı ısı kayipları nedeniyle düşer, fakat buna karşın mutlak nem sabit kalır. Bu koşullarda gerçekleştirilecek istenilen bir kış işletmesi hesabı için (Şekil-4.9)'da görülen Mollier Diyagramından yararlanacağız. Klimacılıkta çok kullanılan bu diyagram, daha önce incelediğimiz diyagramla esasta aynı olmakla beraber düşey konumdaki sıcaklık ve yatay konumdaki su buharı tutumu eksenlerinden oluşan dik açılı koordinatlar sisteminde bağıl nem eğrileri ve eğik konumdaki antalpi çizgileri ile sıcaklık çizgilerinden oluşturulmuştur. Diyagram üzerinde alınan her nokta nemli havanın belirli bir durumunu karşılar. Diyagram üzerinde alınan bir noktayı su buharı tutumu ve sıcaklık koordinatları ile bağıl nem eğrisi üzerindeki ve antalpi doğrusu arasındaki konumu karakterize eder.

Klima cihazı tarafından emilen nemli havanın sıcaklığı (0°C) ve bağıl nem derecesi de ($\phi_1 = 0,80$) olarak verilmiştir. Emilen havanın mutlak nemini yani su buharı tutumunu bulmak için sıcaklık ekseni üzerinde (0°C)'yı gösteren nokta belirlenir. Bu noktadan geçen eğik konumda sıcaklık doğrusunun ($\phi_1 = 0,80$) bağıl nem derecesine ait bağıl nem eğrisini kestiği (c) noktası bulunur. (c)



Şekil - 4.9

recesi ($\phi = 0,80$) olan havanın mutlak nemi görüldüğü gibi ($x_1 = 3 \text{ g/kg}$)'dır.

Emilen hava (35°C)'ye kadar ısıtilacaktır. Isıtma sürecinde mutlak nem sabit kalır. Isıtma süreci sonunda bağıl nem derecesini belirlemek için nemli havanın durumu- nu karşılayan noktayı saptamak gereklidir. Bu nokta sıcaklık ekseni üzerinde (35°C)'yi gösteren noktadan geçen eğik konumda sıcaklık doğrusu ile (C) noktasından geçen düşey konumda doğrunun kesişikleri (D) noktasıdır. (D) noktası ($\phi_D = 0,09$) bağıl nem derecesine ait bağıl nem eğrisi üze- rinde bulunmaktadır. Bunun için durumu (D) noktası ile ifa- de edilen nemli havanın bağıl nem derecesi ($\phi_D = 0,09$) olur. Klima cihazından çıkan havanın sıcaklığı iklimlendirilecek yere gelinceye dek (18°C)'ye düşmektedir. (18°C)'de, mut- lak nemi ($x_1 = 3 \text{ g/kg}$) olan nemli havanın bağıl nem dere- cesini saptamak için sıcaklık ekseni üzerinde (18°C)'yi gö- stereren noktadan geçen sıcaklık doğrusu ile (C) ve (D) nok- talarını birleştiren doğrunun kesişikleri (E) noktası bu- lunur. (E) noktasının üzerinde bulunduğu bağıl nem eğrisi ($\phi_E = 0,23$) bağıl nem derecesine aittir. Bu nedenle durumu (E) noktası ile ifade edilen yani mutlak nemi ($x_1 = 3 \text{ g/kg}$), sıcaklığı da (18°C) olan nemli havanın bağıl nem derecesi ($\phi_E = 0,23$) olur. Oysaki bağıl nem derecesinin (18°C) si- caklıktaki ($0,50$) olması istenilmektedir. Bağıl nem derecesi- nin ($0,50$) olması için mutlak nemin daha büyük bir değere sahip olması gereklidir. Bağıl nem derecesinin ($0,50$) olmasının sağlayanan mutlak nem (E) noktasından geçen sıcaklık doğrusu ve ($\phi_F = 0,50$) bağıl nem derecesine ait bağıl nem eğrisi- nin kesiştiği (F) noktasının apsisi ile ifade edilir. Buna göre, (18°C) sıcaklıklarda bağıl nem derecesinin ($0,50$) olma- sının sağlayanan mutlak nem ($x_2 = 6,5 \text{ g/kg}$) olur. Bu durumda mutlak nemi ($x_1 = 3 \text{ g/kg}$) olan nemli havaya

$$x_2 - x_1 = 6,5 - 3 = 3,5 \text{ g/kg}$$

$$x_2 - x_1 = 3,5 \text{ g/kg}$$

su buharı ilave edilmesi gereklidir. (1 kg) kuru hava ve (0,003 kg) su buharından oluşan nemli havanın (0°C) sıcaklığındaki ısı tutumu yanı antalpisi (1,791 kcal), (1 kg) kuru hava ve (0,0065 kg) su buharından oluşan nemli havanın antalpisi de (8,193 kcal)'dır. Buna göre (1 kg) kuru havayı (C) noktasının belirlediği koşullardan (F) noktasının belirlediği koşullara uyarlamak için verilmesi gereken ısı miktarı

$$8,193 - 1,791 = 6,402 \text{ kcal/kg}$$

olarak bulunur. Nemlendirme yani adiyabatik yıkama sürecinde çevre ile ısı alış-verışı yapılmaz. Nemlendirme sürecinde ısı alış-verışı yapılmadığı için (F) noktasından geçen antalpi çizgisinin (C) ve (D) noktalarından geçen çizgi ile keştiği (K) noktası bulunur. (K) ve (F) noktaları aynı antalpi çizgisini üzerinde bulunan noktalardır. Bu nedenle durumu (K) noktası ile ifade edilen nemli havanın ısı tutumu ile durumu (F) noktası ile ifade edilen nemli havanın ısı tutumu aynı değere sahip olur. (K) ve (F) noktalarında nemli havanın ısı tutumu aynı değere sahip olduğu için klima cihazına emilen (0°C) sıcaklıkta bağıl nem derecesi (0,80) olan nemli havayı (D) noktası koşullarına değil (K) noktası koşullarına uyarlamak örneğin (35°C)'ye kadar değil ($26,8^{\circ}\text{C}$)'ye kadar ısıtmak gereklidir.

Mutlak nemi ($x_2 = 6,5 \text{ g/kg}$) olan nemli havanın çığ noktası sıcaklığını bulmak için (F) noktasından su buharı tutumu ekseni bir dikme indirilir. Bu dikmenin doygunluk eğrisini yani ($\phi = 1$) bağıl nem derecesine ait bağıl nem eğrisini kestiği (A) noktası bulunur. (A) noktasından geçen sıcaklık doğrusunun gösterdiği sıcaklık çığ noktası sıcaklığını ifade eder. Çığ noktası sıcaklığı diyagramda da görüldüğü gibi, ($8,4^{\circ}\text{C}$)'dır. Diğer yandan (A) noktasından geçen antalpi çizgisini, (C) ve (D) noktalarını birleştiren doğruya (B) noktasında keser. (A) ve (B) noktaları

aynı antalpi çizgisinin üzerinde bulunan noktalardır. Bunun için durumu bu noktalarla tanımlanan nemli havanın antalpisi aynı değere sahip olur. (B) noktasından geçen sıcaklık çizgisinin (16°C)'yi göstermektedir. (C) noktasından (B) noktasına getirilen ve mutlak nemi ($x_1 = 3 \text{ g/kg}$) olan nemli havanın antalpi değişimi mutlak nemi ($x_2 = 6,5 \text{ g/kg}$) olan nemli havanın çığ noktası sıcaklığındaki antalpisine eşit olmaktadır. Eğer durumu (C) noktası ile tanımlanan nemli havayı (B) noktasına getirir ve (B) noktasına getirdikten sonra nemlendirerek ($8,2^{\circ}\text{C}$)'ye dek soğutacak olursak soğutma sürecinde çevre ile ısı-alış-verisi yapmamak koşulu ile mutlak nemi ($x_1 = 6,5 \text{ g/kg}$) olan nemli hava elde ederiz. Bu tür mutlak nem ayarlama yöntemine klima teknliğinde ÇİĞ NOKTASI AYARLAMASI adı verilir.

Diyagram üzerinde durumu (C) noktası ile belirlenen hava ön ısıtma ile (B) noktasına getirilir ve adiyabatik yıkama ile nemlendirilerek soğutulur. Nemlendirilen hava son ısıtma ile iklimlendirilecek yere üflenebilecek bir duruma getirilir. Üflenecek havanın durumu diyagram üzerinde (F) noktası ile ifade edilir. (C) ve (D) noktaları arasındaki antalpi farkı ön ısıtma için gerekli ısı miktarını, (B) ve (F) noktaları arasındaki antalpi farkı da son ısıtma için gerekli ısı miktarını gösterir.

Bu durumda

$$h_C = 1,8 \text{ kcal/kg}$$

$$h_B = 5,7 \text{ kcal/kg}$$

$$h_F = 8,2 \text{ kcal/kg}$$

olduğu için

$$\Delta h_{\phi} = h_B - h_C = 5,7 - 1,8 = 3,9 \text{ kcal/kg}$$

$$\Delta h_{\phi} = 3,9 \text{ kcal/kg}$$

$$\Delta h_s = h_F - h_B = 8,2 - 5,7 = 2,5 \text{ kcal/kg}$$

$$\Delta h_s = 2,5 \text{ kcal/kg}$$

$$\Delta h_o + \Delta h_s = h_F - h_C = 8,2 - 1,8 = 6,4 \text{ kcal/kg}$$

$$\Delta h_o + \Delta h_s = 6,4 \text{ kcal/kg}$$

olur.

2.b.2) Yaz işletmesi hesabı

Yaz işletmesi hesabında kış işletmesi hesabından biraz daha değişik bir yol izlenir ve çevre havasının sıcaklığının en çok (7°C) azaltılabilceği kabul edilerek hesaplar yapılır. Çünkü çevre havasının sıcaklığında klima cihazının aracılığı ile daha büyük bir değişikliğin meydana getirilmesi sağlığa zararlı hava akımlarının oluşumuna neden olur. Uygunlамаda iklimlendirilecek ortamın sıcaklığı ile klima cihazında hazırlanarak üflenilen havanın sıcaklığı arasındaki farkın minimal (2°C ya da 3°C) olması arzu edilir. İklimlendirilecek ortamdan çekilmesi gerekliliği miktari, transmisyon ve güneş radyasyon ısısı ile canlıların yaydığı ısının toplamı olarak düşünülmelidir.

Uygulama

Ankara'da (1200) kişinin rahatça oturup film seyredebileceği birinema salonuna klima tesisatı yapılacaktır. Sinema salonunun saat başına ısı kaybı (16000 kcal), transmisyon ve güneş radyasyon ısısı kazancı da (12000 kcal) olarak tahmin edilmektedir. Sinema salonunda film seyreden her kişinin çevreye saat başına (100 kcal) ısı verebileceği düşünülmekte ve bu ısının (40 kcal)'lık bölümünün gizli ısı olduğu kabul edilmektedir. Sinema salonunda, yazın hava sıcaklığının (25°C), bağıl nem derecesinin ($0,50$) ve kişinin hava sıcaklığının (20°C), bağıl nem derecesinin de ($0,40$) olması istenilmektedir. Dış hava koşulları yaz için (32°C) kuru termometre sıcaklığı, ($0,34$) bağıl nem derecesi ve kış için (-12°C) kuru termometre sıcaklığı, ($0,85$) bağıl nem derecesi olarak belirlenmiştir. Bu verilerden yararlanak yaz ve kış işletmesi için sinema salonuna üflenenecek hava miktarnı, kış

işletmesinde saat başına (16000 kcal)'lık ısı kaybını karşılayan sıcaklık farkını, gizli ısıyı taşıyan su buharı miktarını ve buna bağlı olarak havanın yaz işletmesinde ne kadar kuru üfleneneğini yaz işletmesi için soğutma yükü ile kış işletmesi için ön ve son ısıtma yüklerini hesaplayalım.

- a) Yaz ve kış işletmesi için sinema salonuna üflenenecek hava miktari

Q_{RT} - Radyasyon ve transmisyon ısısı yanı duyuları ısı kazancı

$$Q_{RT} = 12000 \text{ kcal/saat}$$

q_i - Sinema salonunda oturan seyircilerin saat başına yayıkları ısı miktari

n - seyirci sayısı

q_i - Saat başına (1) kişinin yaydığı ısı miktari

$$n = 1200$$

$$q_i = 60 \text{ kcal/saat}$$

$$Q_i = n \cdot q_i = 1200 \cdot 60 = 72000 \text{ kcal/saat}$$

$$Q_i = 72000 \text{ kcal/saat}$$

Q_D - Sinema salonundan saat başına çekilmesi gereken ısı miktari

$$Q_D = Q_{RT} + Q_i = 12000 + 72000 = 84000 \text{ kcal/saat}$$

$$Q_D = 84000 \text{ kcal/saat}$$

Yaz işletmesinde üflenilen hava sıcaklığının ($t_u=17^{\circ}\text{C}$) olması gerekmektedir. Çünkü üflenilen havanın sıcaklığı ile sinema salonu havasının sıcaklığı arasında (8°C)'lık bir farkın bulunması zorunluluğu vardır.

(Şekil-4.10)'da görülen diyagram üzerinde dış havanın, iç havanın yanı sinema salonu havasının ve üflenilen havanın durumunu belirleyen noktalar saptanır. Dış havanın durumunu belirleyen (D_{Hy}) noktası ile üflenilen havanın durumunu belirleyen (U_{Hy}) noktası apsisi aynı noktalardır ve bu noktalar mutlak nem eksene dik aynı doğru üzerinde bulunurlar. Sinema salonu havasının durumunu belirleyen (S_{Hy}) noktası bir raslantı sonucu (D_{Hy}) ve (U_{Hy}) noktalarından geçen düşey doğru üzerinde bulunmaktadır. (S_{Hy}) noktası (D_{Hy}) ve (U_{Hy}) noktalarını birleştiren doğru üzerinde bulunduğu için durumu bu nokta ile belirlenen sinema salonu havasının mutlak nemine eşit olur. Diyagramdan dış havanın mutlak nemi ($x = 10 \text{ g/kg}$) bulunur. Yine diyagramdan (U_{Hy}) noktasında nemli havanın antalpisini ($h_{UHy} = 10,1 \text{ kcal/kg}$) ve (S_{Hy}) noktasında nemli havanın antalpisini de ($h_{SHy} = 12 \text{ kcal/kg}$) olarak bulmak mümkündür. Bu durumda (U_{Hy}) ve (S_{Hy}) noktalarının sınırladıkları aralıkta nemli havanın antalpi değişimi

$$\Delta h_i = h_{SHy} - h_{UHy} = 12 - 10,1 = 1,9 \text{ kcal/kg}$$

$$\Delta h_i = 1,9 \text{ kcal/kg}$$

olur.

G - saat başına üflenilen havanın ağırlığı

$$G = \frac{Q_D}{\Delta h_i} = \frac{8400 \text{ kcal/saat}}{1,9 \text{ kcal/kg}} = 44210,526 \text{ kg/saat}$$

$$G = 44210,526 \text{ kg/saat}$$

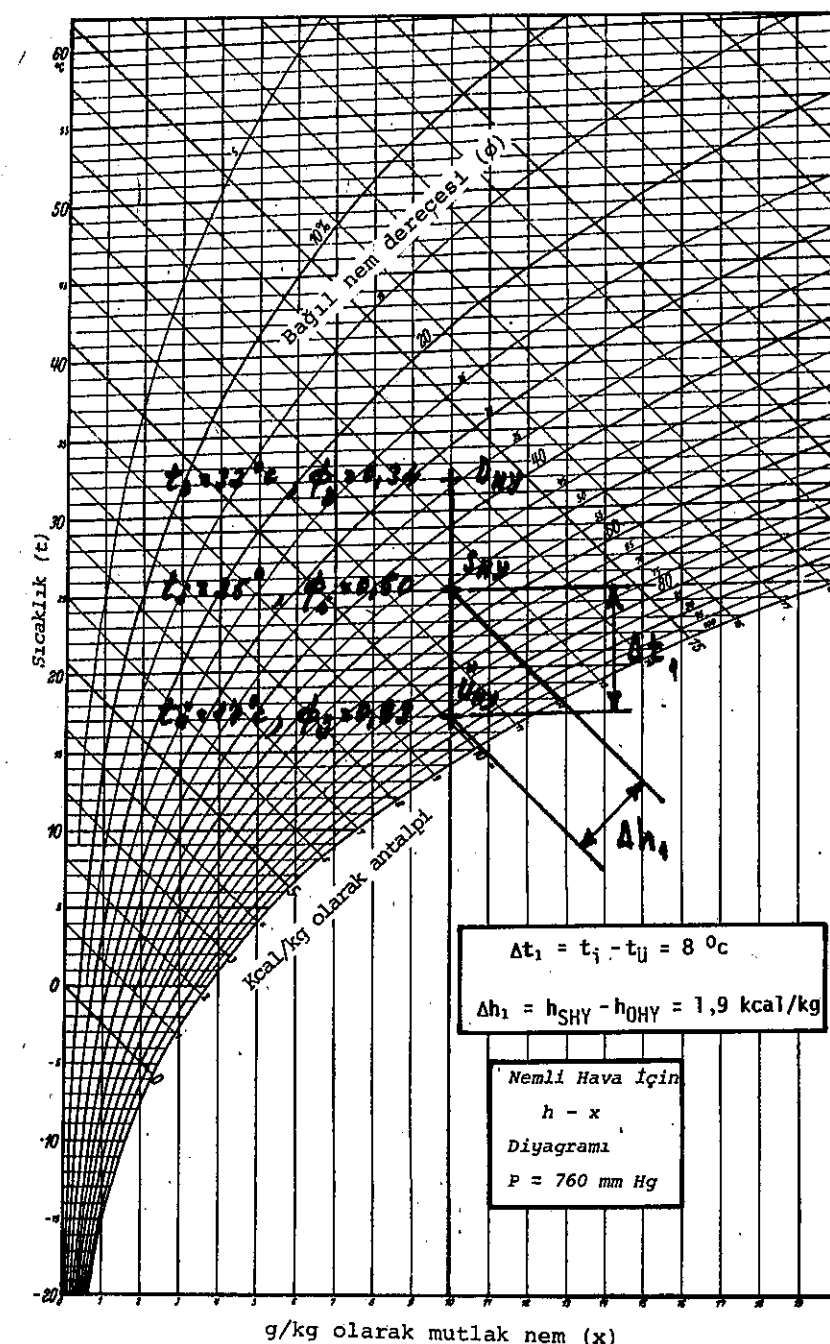
γ - üflenilen havanın özgül ağırlığı

$$\gamma = 1,21 \text{ kg/m}^3$$

V - saat başına üflenilen havanın hacmi

$$V = \frac{G}{\gamma} = \frac{44210,526 \text{ kg/saat}}{1,21 \text{ kg/m}^3} = 36537,624 \text{ m}^3/\text{saat}$$

$$V = 36537,624 \text{ m}^3/\text{saat}$$



Şekil - 4.10

Genellikle, saat başına yaz işletmesinde ne kadar havaya üflenirse kişi işletmesinde de o kadar havaya üflenir.

b) Gizli ısısı taşıyan su buharı miktarı ve havanın yaz işletmesinde ne kadar kuru üfleneceği

(17 °C) sıcaklıkta ve bunu karşılayan doygunluk başında buharlaşma ısısı

$$r = 606,5 - 0,695 t$$

şeklindeki Regnault Denkleminden yararlanılarak hesaplanır.

$$t = t_u = 17 ^\circ C$$

$$r = 606,5 \cdot 0,595 \cdot t = 606,5 - 0,695 \cdot 17 = 594,695 \text{ kcal/kg}$$

$$r = 594,695 \text{ kcal/kg}$$

Sinema salonunda film seyreden her kişinin saat başına yaydığı ısının (40 kcal)'lik bölümü gizli ısı kabul edilmektedir.

$$Q_G = \text{toplam gizli ısı}$$

$$q_G = \text{kişi başına gizli ısı}$$

$$q_G = 40 \text{ kcal/saat}$$

$$Q_G = n \cdot q_G = 1200 \cdot 40 = 48000 \text{ kcal/saat}$$

$$Q_G = 48000 \text{ kcal/saat}$$

$$G_B = \text{gizli ısısı taşıyan su buharı miktarı}$$

$$G_B = \frac{Q_G}{r} = \frac{48000 \text{ kcal/saat}}{594,695 \text{ kcal/kg}} = 80,715 \text{ kg/saat}$$

$$G_B = 80,715 \text{ kg/saat} = 80715 \text{ g/saat}$$

Havanın yaz işletmesine ne kadar kuru üfleneceğini belirleyebilmek için gizli ısısı taşıyan su buharı miktarının (1 kg) kuru havaya düşen miktarını bulmak gereklidir.

Δx - gizli ısısı taşıyan su buharı miktarının (1 kg) kuru havaya düşen miktarı

$$\Delta x = \frac{G_B}{G} = \frac{80715 \text{ g/saat}}{44210,526 \text{ kg/saat}} = 1,825 \text{ g/kg}$$

$$\Delta x = 1,825 \text{ g/kg}$$

x_1 = üflenmesi gereken havanın mutlak nemi

$$x = 10 \text{ g/kg}$$

$$\Delta x = x - x_1$$

$$x_1 = x - \Delta x = 10 - 1,825 = 8,175 \text{ g/kg}$$

$$x_1 = 8,175 \text{ g/kg}$$

Bu açıklama üflenecek havanın mutlak neminin ($x_1 = 8,175 \text{ g/kg}$) olması gerektiğini göstermektedir. Bunun için havanın mutlak neminin ($\Delta x = 1,825 \text{ g/kg}$) kadar azaltılması zorunluluğu vardır.

c) Yaz işletmesi için soğutma yükü

V_a - sinema salonundan zorunlu olarak atılan yani saat başına değiştirilmesi gereken havanın hacmi

v_a - kişi başına değiştirilmesi gereken havanın hacmi

$$v_a = 20 \text{ m}^3/\text{saat}$$

$$V_a = n \cdot v_a = 1200 \cdot 20 = 24000 \text{ m}^3/\text{saat}$$

$$V_a = 24000 \text{ m}^3/\text{saat}$$

η - dış hava oranı

$$\eta = \frac{V_a}{V} = \frac{24000}{36537,624} = 0,6568$$

$$\eta = 0,6568$$

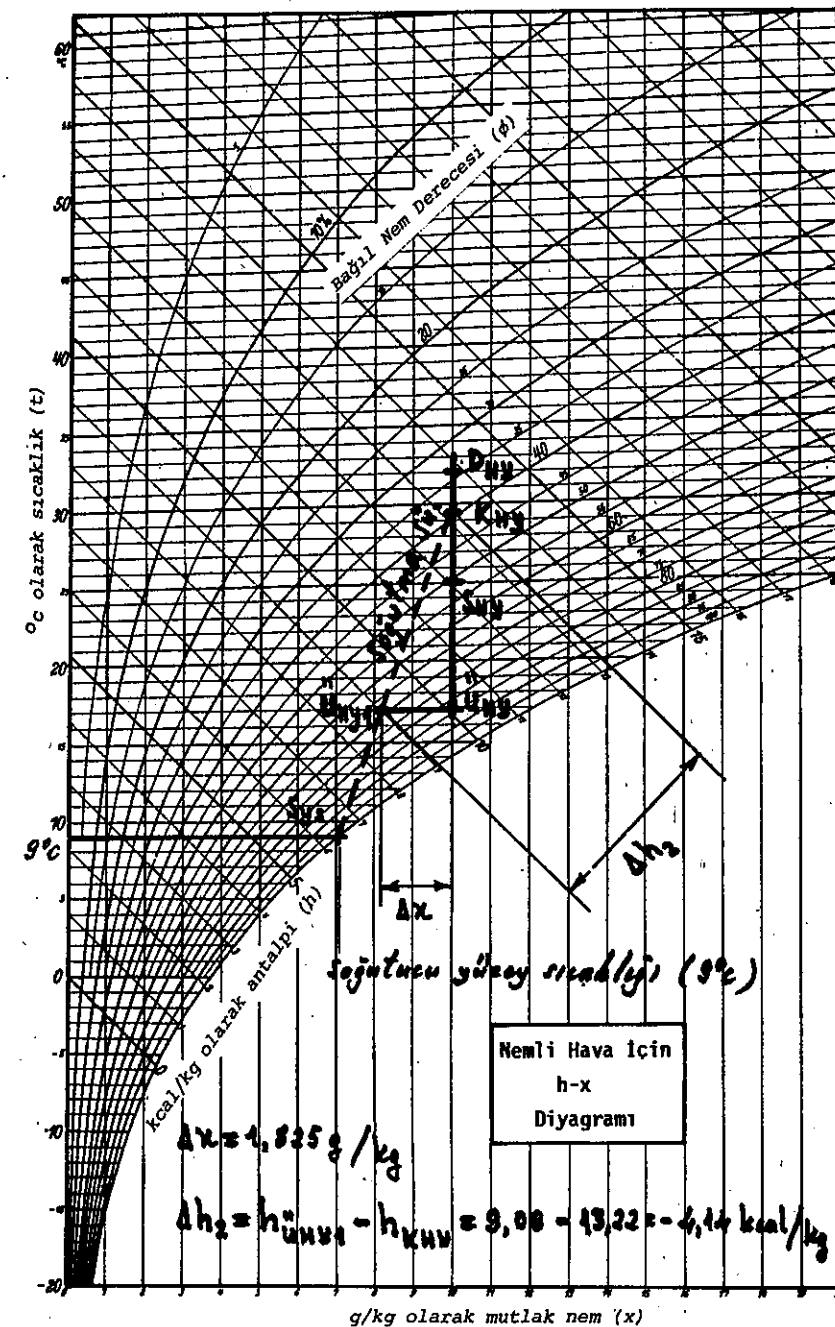
Dış hava oranı ($\eta = 0,6568$) olduğu için (D_{Hy}) ve (S_{Hy}) noktaları arasında antalpi farkının $(1 - \eta)$ kadar daha az olması gereklidir. (D_{Hy}) ve (S_{Hy}) noktalarını birleştiren doğru üzerinde bu antalpi farkını veren (K_{Hy}) noktası bulunur. (K_{Hy}) noktası diyagram üzerinde emilen havanın durumunu belirleyen noktadır. Havanın ($\Delta x = 1,825 \text{ g/kg}$) daha kuru üflenmesi gereklidir. (17°C) sıcaklıkta ($\Delta x = 1,825 \text{ g/kg}$) daha kuru üflenmiş havanın durumunu gösteren nokta (Şekil-4.11)'de görülen diyagram üzerinde saptanır. Bu nokta (U_{Hy_1}) noktasıdır. (U_{Hy}) ve (K_{Hy}) noktalarını birleştirerek doğru soğutma sürecini ifade eder. Bu doğrunun doğrultuk eğrisini kestiği (S_{sys}) noktasından geçen sıcaklık doğrusu klima cihazında soğutucu yüzey sıcaklığını gösterir. Soğutucu yüzey sıcaklığı (9°C)'dır. Gerçekte durum (U_{Hy_1}) noktası ile belirlenen nemli havanın çıkış noktası sıcaklığı (12°C)'dır. Soğutma yüzeyi sıcaklığının bundan daha düşük alınmasının nedeni soğutma sürecindeki kayıplardır. (U_{Hy_1}) noktasında nemli havanın antalpisi

$$h_{\text{tjy}_1} = 9,08 \text{ kcal/kg}$$

ve (K_{Hy}) noktasında nemli havanın antalpisi de

$$h_{KHy} = 13,22 \text{ kcal/kg}$$

olduğu için soğutma sürecinde antalpi değişimini



Sekil-4.11

$$\Delta h_2 = h_{fHy} - h_{kHy} = 9,08 - 13,22 = -4,14 \text{ kcal/kg}$$

$$\Delta h_2 = -4,14 \text{ kcal/kg}$$

olur. Soğutma yükünü bulmak için antalpi değişimini üflenecek havanın ağırlığı ile çarpmak gerekir.

Q_{sy} - soğutma yükü

G_u - üflenecek havanın ağırlığı

$$G_u = \eta \cdot G = 0,6568 \times 44210,526 = 29037,473 \text{ kg/saat}$$

$$G_u = 29037,473 \text{ kg/saat}$$

$$Q_{sy} = G_u \cdot \Delta h_2 = 29037,473 \cdot (-4,14) = -120215,13 \text{ kcal/saat}$$

$$Q_{sy} = 120215,13 \text{ kcal/saat}$$

d) Kış işletmesinde ısı kaybını karşılayan sıcaklık farkı

Q_{IK} - kış işletmesinde saat başına ısı kaybı

$$Q_{IK} = 16000 \text{ kcal/saat}$$

Δt_K - kış işletmesinde ısı kaybını karşılayan sıcaklık farkı

(20 °C) sıcaklıkta bağıl nem derecesi ($\phi_D = 0,50$) olan havanın mutlak nemi ($x = 7,2 \text{ g/kg}$)'dır.

$$Q_{IK} = \frac{G}{1+x} \cdot \Delta t_K \cdot (0,2367 + x \cdot 0,4445)$$

olduğu için

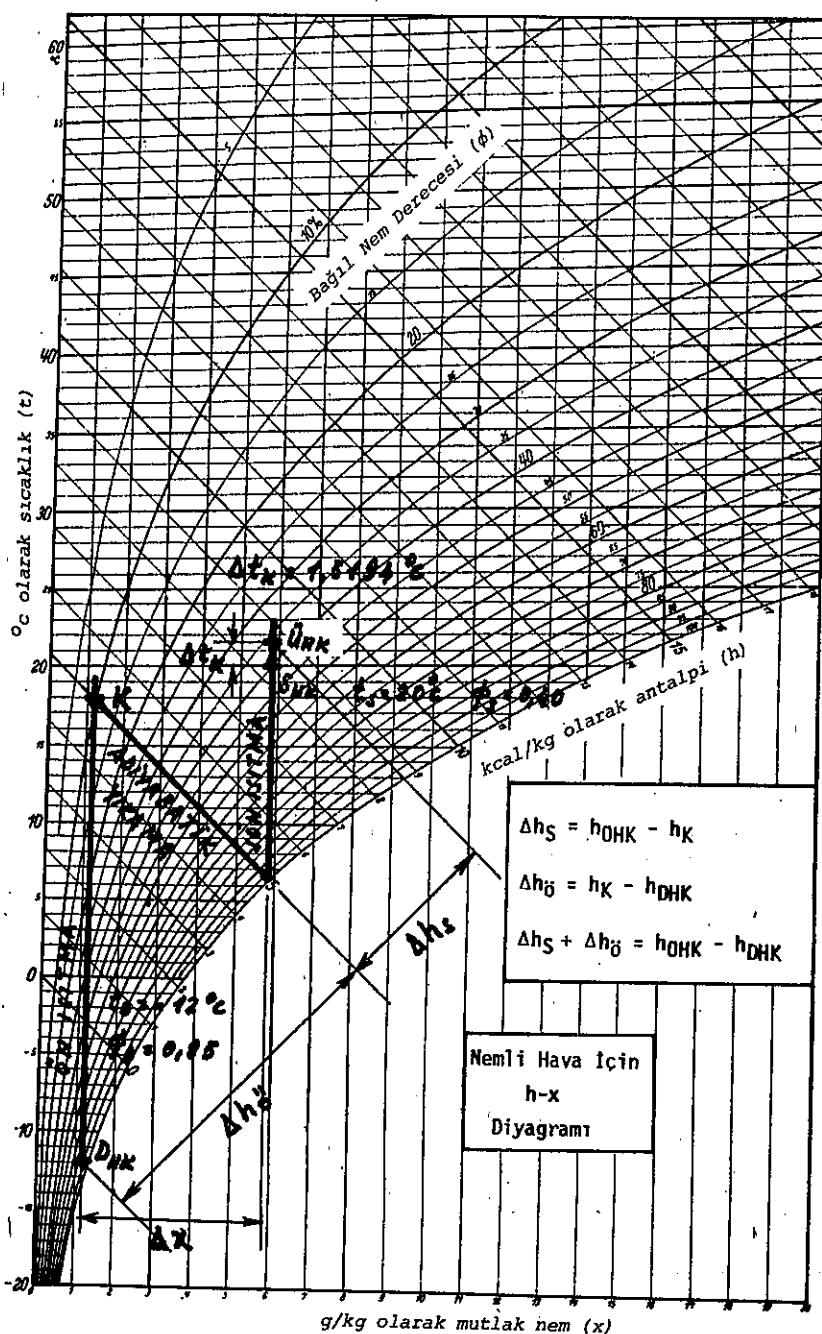
$$\Delta t_K = \frac{(1+x) \cdot Q_{IK}}{G \cdot (0,2367 + x \cdot 0,4445)} = \frac{(1+0,0072) \cdot 16000}{44210,526 (0,2367 + 0,0072 \cdot 0,4445)}$$

$$\Delta t_K = 4,5194 \text{ }^{\circ}\text{C}$$

olur.

e) Kış işletmesinde ön ısıtma yükü ile son ısıtma yükü

Dış havanın sıcaklığı (-12 °C), bağıl nem derecesi (0,85) ve sinema salonu havasının sıcaklığı (20 °C) olarak verilmiştir. (Şekil-4.12)'de görülen diyagram üzerinde dış havanın durumunu belirleyen (D_{HK}) noktası ile salon havasının durumunu belirleyen (S_{HK}) noktaları saptanır. (D_{HK}) noktasında havanın mutlak nemi ($x_1 = 1,2 \text{ g/kg}$) ve (S_{HK}) noktasında havanın mutlak nem de ($x_2 = 5,8 \text{ g/kg}$)'dır. Bunun için dış hava koşullarında emilen havanın nemlendirilerek ısıtilması gerekir. Dış havâ koşullarında emilen hava önce mutlak nem aynı kalmak koşulu ile ısıtilir. Buna ön ısıtma denir. Sonra adiyabatik yıkama ile nemlendirilir yani mutlak nem artırrılır ve adiyabatik yıkama ile mutlak nem artırrılan hava ısıtilarak salona gönderilecek bir duruma getirilir. Adiyabatik yıkama ile nemlendirilen havanın ısıtilarak salona gönderilecek duruma getirilmesine son ısıtma adı verilir. Ön ısıtma noktasını bulmak için (S_{HK}) noktasından indirilen dikmenin doygunluk eğrisini kestiği noktadan antalpi doğrusuna paralel bir doğru çizilir. Bu doğrunun (D_{HK}) noktasından geçen mutlak nem eksenine dik olan doğruya kestiği nokta ön ısıtma noktasıdır. Ön ısıtma noktası diyagram üzerinde (K) ile gösterilmiştir. (16000 kcal/saat)'lik ısı kaybını karşılayan sıcaklık farkı bilīdiği gibi, ($\Delta t_K = 1,5194 \text{ }^{\circ}\text{C}$)'dır. Bunun için üflenecek havanın sıcaklığının salon sıcaklığından (Δt_K) kadar daha büyük olması gereklidir. Diyagram üzerinde ordinatı (S_{HK}) noktasının ardından (Δt_K) kadar daha büyük olan (U_{HK}) noktası saptanır. Bu nokta salona üflenecek havanın durumunu belirler. Adiyabatik yıkama ile nemlendirilen havanın (U_{HK}) noktasına dek ısıtilması zorunluluğu vardır. (D_{HK}) ile (K) noktası arasındaki antalpi farkı ön ısıtma için gerekli ısı miktarını ve (K) noktası ile (U_{HK}) noktası arasındaki antalpi farkı da son ısıtma için gerekli ısı miktarını ifade eder.



Şekil-4.12

$h_{UHK} = 8,7 \text{ kcal/kg}$
 $h_K = 5 \text{ kcal/kg}$
 $h_{DHK} = -2,115 \text{ kcal/kg}$
 $\Delta h_o = h_K - h_{DHK} = 5 - (-2,115) = 7,115 \text{ kcal/kg}$
 $\Delta h_s = h_{UHK} - h_K = 8,7 - 5 = 3,7 \text{ kcal/kg}$
 $\Delta h_s = 3,7 \text{ kcal/kg}$
 $\Delta h = \Delta h_o + \Delta h_s = 7,115 + 3,7 = 10,815 \text{ kcal/kg}$
 $\Delta h = 10,815 \text{ kcal/kg}$
 $Q_o = \text{Ön ısıtma yükü}$
 $Q_o = G \cdot \Delta h_o = 44120,526 \cdot 7,115 = 313917,54 \text{ kcal/saat}$
 $Q_o = 313917,54 \text{ kcal/saat}$
 $Q_s = \text{son ısıtma yükü}$
 $Q_s = G \cdot \Delta h_s = 44120,526 \cdot 3,7 = 163245,94 \text{ kcal/saat}$
 $Q_s = 163245,94 \text{ kcal/saat}$
 $\Sigma Q = Q_o + Q_s = 313917,54 + 163245,94 = 477163,48 \text{ kcal/saat}$
 $\Sigma Q = 477163,48 \text{ kcal/saat}$

Bu hesaplar salonun tüm havası değiştirildiğine göre geçerlidir. Ancak ekonomik işletmelerde salonun tüm havası değiştirilmez. Yukarıda, yaz işletmesinde (24000 m^3) havanın değiştirildiğini açıklamış ve dış hava oranını da ($n = 0,6558$) olarak belirlemiştik. Kış işletmesinde salonda kalan ve sonra bir aspiratör tarafından çekilerek klima cihazına getirilen hava atmosferden emilen taze hava ile bir karışım oluşturur. Bu karışımın hem sıcaklığı ve hem de

mutlak nemi atmosferden emilen havanın sıcaklığından ve mutlak neminden daha büyük olur. Karışımın bağıl nem derecesinin (0,70) olduğunu kabul edelim. Diyagram üzerinde karışımın durumunu tanımlayan noktayı bulmak için önce (Şekil-4.3)'de görüldüğü gibi (D_{HK}) ve (K) noktalarını birleştiren doğru üzerinde (D_{HK}) noktasından ($l-n$). $K_{D_{HK}}$ kadar uzakta bulunan (K') noktasından geçen sıcaklık doğrusunun (0,70).bağıl nem derecesine ait bağıl nem eğrisini kestiği (K_{HK}) noktası bulunur. Bu nokta karışımın diyagram üzerinde durumunu belirleyen noktadır. (K_{HK}) noktasında havanın mutlak nemi ($x' = 2,25 \text{ g/kg}$)'dır. (K_{HK}) noktasından geçen mutlak nem eksene dik olan doğru çıkış noktasından geçen antalpi eğrisini (K_1) noktasında keser. Bu nokta ön ısıtma noktasıdır. Ön ısıtma noktasına deşin ısıtılan hava adiyabatik yıkama ile nemlendirilir. Adiyabatik yıkama ile nemlendirilen hava daha sonra son ısıtma ile üflenecek duruma yani U_{HK} noktasına getirilir. (K_{HK}) noktası ile (K_1) noktası arasındaki antalpi farkı ön ısıtma için gerekli olan ısı miktarını ve (K_1) noktası ile (U_{HK}) noktası arasındaki antalpi farkı da son ısıtma için gerekli olan ısı miktarını ifade eder.

$$h_{UHK} = 8,7 \text{ kcal/kg}$$

$$h_{K_1} = 5 \text{ kcal/kg}$$

$$h_{KHK} = 1 \text{ kcal/kg}$$

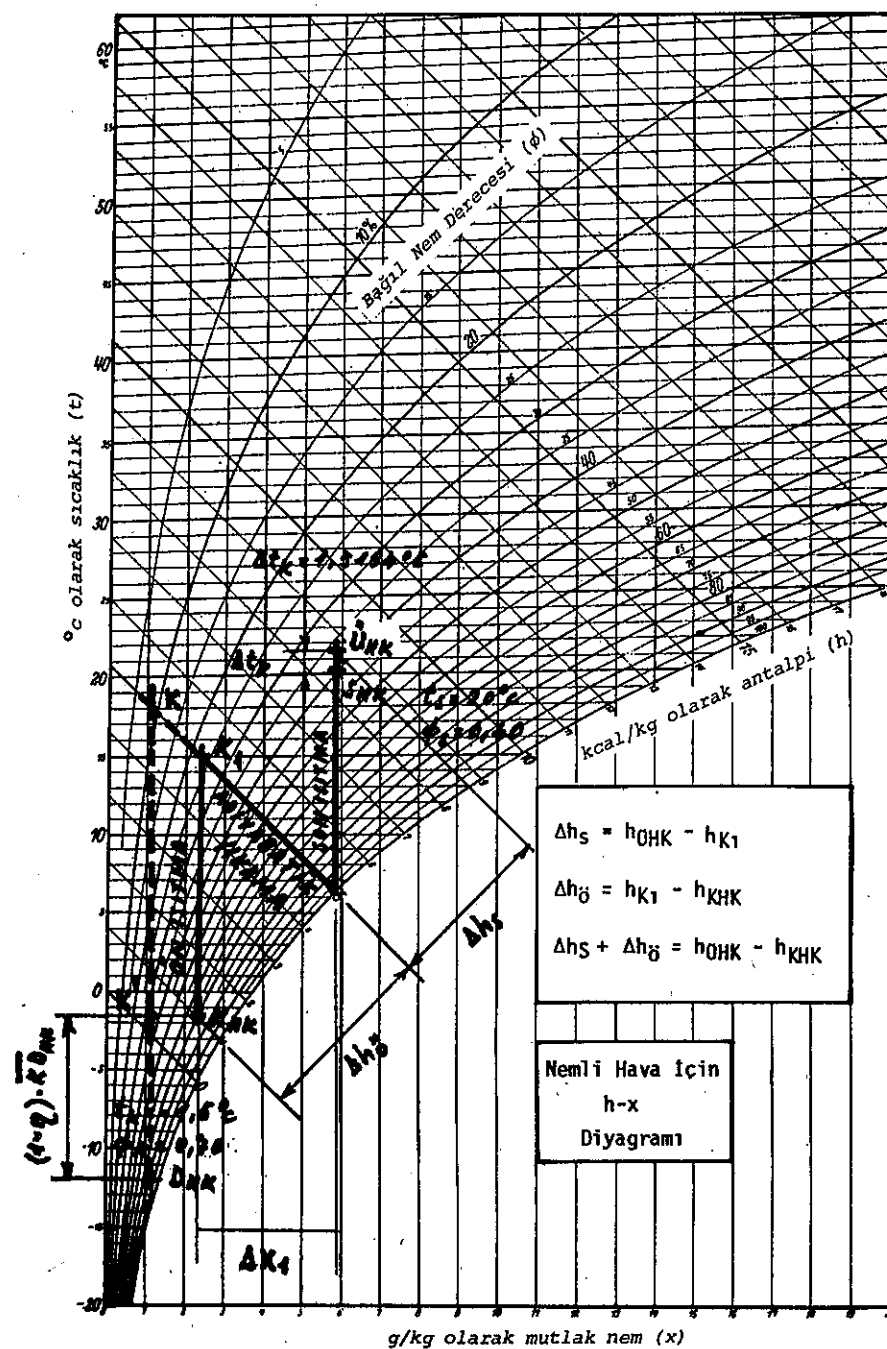
$$\Delta h_{\delta} = h_{K_1} - h_{KHK} = 5 - 1 = 4 \text{ kcal/kg}$$

$$\Delta h_{\delta} = 4 \text{ kcal/kg}$$

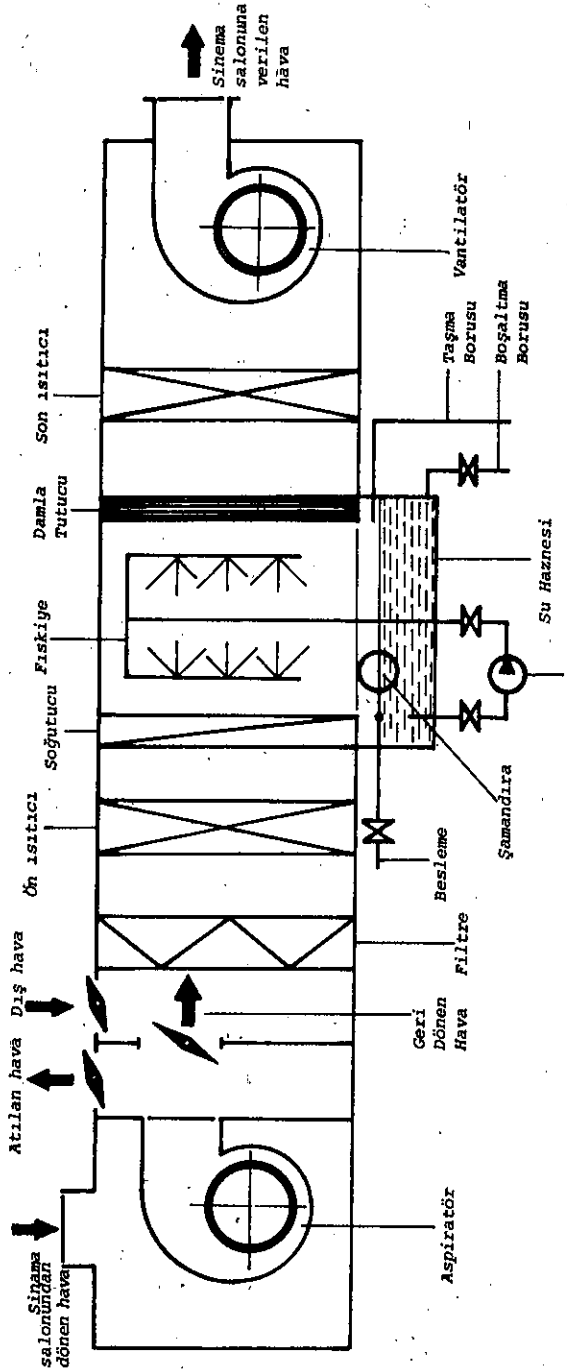
$$\Delta h_s = h_{UHK} - h_{K_1} = 8,7 - 5 = 3,7 \text{ kcal/kg}$$

$$\Delta h_s = 3,7 \text{ kcal/kg}$$

$$\Delta h = \Delta h_{\delta} + \Delta h_s = 4 + 3,7 = 7,7 \text{ kcal/kg}$$



Şekil-4.13



Sekil-4.14
Klima Cihazının Şeması

$$\Delta h = 7,7 \text{ kcal/kg}$$

$$Q_G = G \cdot \Delta h_G = 44120,526 \cdot 4 = 176482,1 \text{ kcal/saat}$$

$$Q_G = 176482,1 \text{ kcal/saat}$$

$$Q_S = G \cdot \Delta h_S = 44120,526 \cdot 3,7 = 163245,94 \text{ kcal/saat}$$

$$Q_S = 163245,94 \text{ kcal/saat}$$

$$\Sigma Q_G = Q_G + Q_S = 176482,1 + 163245,94 = 339728,04 \text{ kcal/saat}$$

$$\Sigma Q_G = 339728,04 \text{ kcal/saat}$$

$$\Sigma Q - \Sigma Q_G = 477163,48 - 339728,04 = 137435,44 \text{ kcal/saat}$$

$$\Sigma Q - \Sigma Q_G = 137435,44 \text{ kcal/saat}$$

Açık olarak görülmektedir ki, tüm salon havasının boşaltılmadığı ekonomik işletmelerde saat başına (137435,44 kcal) ısı tasarruf edilmektedir, (sekil-4.14)'de bu örneğe uygun bir klima cihazının şeması görülmektedir.

KONTROL VE DEĞERLENDİRME SORULARI

- 1) Klima sözcüğü hangi anlama gelir ?
- 2) İklim sözcüğünden ne anlaşılmalıdır ?
- 3) Klima nedir ?
- 4) Atmosferin içерdiği su buharı miktarı hangi doğal etkenlere bağlıdır?
- 5) Nem nedir ?
- 6) Mutlak nem nedir ?
- 7) Bağlı nem nedir ?

- 8) Çığ noktası nedir ?
- 9) Yaş termometre sıcaklığı nedir ?
- 10) Bağış nem derecesi nasıl belirlenir ?
- 11) Higrometrenin işlevi nedir ?
- 12) Kaç türlü higrometre vardır ?
- 13) Nemli havanın antalpik diyagramı hangi eğrilerden oluşur ?
- 14) Antalpik diyagramda doygunluk eğrisi hangi bağılı nem derecesini ifade eder ?
- 15) Hangi bağılı nem derecesini gösteren eğri antalpik diyagramda sıcaklık ekseni ile çakışır ?
- 16) Klima için klima cihazında hava hazırlanırken hangi etkenler denetim altında bulundurulur ?
- 17) İklimlendirilecek yerlere klima cihazında hazırlanan hava hangi hızla üflenmelidir ?
- 18) Klima cihazında hazırlanmış olan havanın iklimlendirilecek yerlere yüksek hızla üflenmesinin sakıncaları nelerdir ?
- 19) Klima cihazında hazırlanarak iklimlendirilecek yerlere gönderilen havanın yaz ve kış mevsimlerinde minimal ve maksimal sıcaklığı ne kadar olmalıdır ?
- 20) Yaz ve kış mevsimlerinde, iklimlendirmede kullanılan havanın bağılı nem derecesi hangi sınırlar arasında değişmelidir ?
- 21) Yaz işletmesinde iklimlendirilecek ortamın sıcaklığı ile klima cihazında hazırlanarak üflenilen havanın sıcaklığı arasında ne kadar fark olması arzu edilir ?

YARDIMCI ÇİZELGELER

Doygunluk sınırında kuru karbondioksit buharının
adiyabatik sıkışması

Emme Sıcaklığı (°C)	Adiyabatik Sıkıştırma Sonundaki Basınç (kg/cm²)									
	60		70		80		90		100	
	w	t	w	t	w	t	w	t	w	t
-30	15,15	72	17,18	86,5	19	99	20,63	111	22,12	122
-25	13,19	67	15,14	80,5	16,90	93	18,47	105	19,92	115,5
-20	11,30	62	13,18	75	14,87	87,5	16,39	99	17,78	109
-15	9,53	57	11,32	70	12,95	82	14,40	93	15,75	103
-10	7,86	52	9,55	65	11,13	76,5	12,54	87	13,84	97,5
-5	6,31	47	7,90	60	9,42	71	10,77	81	12,01	92
0	8,85	42	6,30	55	7,76	66	9,07	76	10,25	86,5

w - (1 kg) karbondioksitin (kgm) olarak sıkıştırma işi

t - (°C) olarak sıkıştırma sonu sıcaklığı

Soğutucu akışkan olarak amonyak kullanılan soğutma
makinalarında

Regülatör ventilden önceki sıcaklık (°C)	Buharlaştırıcıının Sıcaklığı t ₀ (°C)									
	-5		-10		-15		-20		-25	
	Q ₁	Q ₂	Q ₁	Q ₂	Q ₁	Q ₂	Q ₁	Q ₂	Q ₁	Q ₂
Kondansör Basıncı (9 kg/cm²)										
t ₀	6,473	1	5,277	1	3,432	1	3,779	1	3,276	1
10	6,118	0,95	4,898	0,93	4,041	0,91	3,386	0,90	2,884	0,88
15	5,997	0,93	4,800	0,91	3,960	0,89	3,318	0,88	2,826	0,86
20	5,875	0,91	4,702	0,89	3,879	0,88	3,249	0,86	2,767	0,85
Kondansör Basıncı (13 kg/cm²)										
t ₀	4,400	1	3,791	1	3,305	1	2,909	1	2,586	1
10	4,159	0,95	3,522	0,93	3,013	0,91	2,607	0,90	2,277	0,88
15	4,077	0,93	3,452	0,91	2,953	0,89	2,554	0,88	2,231	0,86
20	3,994	0,91	3,381	0,89	2,893	0,88	2,501	0,86	2,185	0,85
25	3,910	0,89	3,310	0,87	2,831	0,86	2,448	0,84	2,188	0,83
30	3,825	0,87	3,238	0,85	2,769	0,84	2,394	0,82	2,090	0,81
Kondansör Basıncı (17 kg/cm²)										
t ₀	3,522	1	3,101	1	2,755	1	2,459	1	2,215	1
10	3,329	0,95	2,878	0,93	2,512	0,91	2,203	0,90	1,951	0,88
15	3,263	0,93	2,821	0,91	2,462	0,89	2,159	0,88	1,911	0,86
20	3,197	0,91	2,764	0,89	2,411	0,88	2,114	0,86	1,872	0,85
25	3,130	0,89	2,705	0,87	2,360	0,86	2,069	0,84	1,831	0,83
30	3,062	0,87	2,646	0,85	2,308	0,84	2,023	0,82	1,791	0,81

Q₁ - (kcal/saat) olarak soğutma kapasitesi (saat başına soğutma kapasitesi)

Q₂ - (kcal/Beygirgücü) olarak soğutma kapasitesi (beygir başına soğutma kapasitesi)

Soğutucu akışkan olarak olarak amonyak kullanılan soğutma makinalarında

Regülatör ventilden önceki (°C)	Buharlaştırıcının Sıcaklığı t_0 (°C)									
	-5		-10		-15		-20		-25	
	Q_1	Q_2	Q_1	Q_2	Q_1	Q_2	Q_1	Q_2	Q_1	Q_2
Kondansör Basıncı (60 kg/cm²)										
t_0	5,985	1	5,025	1	4,310	1	3,747	1	3,312	1
10	5,130	0,86	4,150	0,83	3,435	0,80	2,888	0,77	2,472	0,75
15	4,770	0,80	3,864	0,77	3,196	0,74	2,687	0,72	2,300	0,70
20	4,330	0,73	3,506	0,70	2,903	0,68	2,442	0,65	2,689	0,63
Kondansör Basıncı (80 kg/cm²)										
t_0	4,032	1	3,566	1	3,178	1	2,857	1	2,588	1
10	3,503	0,87	2,986	0,84	2,570	0,81	2,235	0,79	1,965	0,76
15	3,289	0,82	2,806	0,79	2,416	0,76	2,101	0,74	1,864	0,72
20	3,072	0,76	2,621	0,74	2,258	0,71	1,963	0,69	1,725	0,67
25	2,790	0,69	2,398	0,68	2,066	0,65	1,796	0,63	1,578	0,61
30	2,397	0,60	2,066	0,58	1,779	0,56	1,548	0,55	1,358	0,59
Kondansör Basıncı (100 kg/cm²)										
t_0	3,170	1	2,879	1	2,614	1	2,392	1	2,195	1
10	2,779	0,88	2,433	0,85	2,140	0,82	1,895	0,79	1,687	0,77
15	2,629	0,83	2,303	0,80	2,025	0,78	1,793	0,75	1,596	0,73
20	2,474	0,78	2,168	0,75	1,906	0,73	1,688	0,71	1,503	0,69
25	2,304	0,73	2,032	0,71	1,787	0,68	1,583	0,66	1,410	0,64
30	2,102	0,66	1,856	0,64	1,633	0,63	1,446	0,60	1,288	0,59

Q_1 - (kcal/saat) olarak soğutma kapasitesi (saat başına soğutma kapasitesi)

Q_2 - (kcal/Beygirgülü) olarak soğutma kapasitesi (beygir başına soğutma kapasitesi)

E. ALTEM KIRCH adlı araştırmacının deneylerine göre hazırlanmış olan doygun amonyak (NH_3) buharına ilişkin çizelge

Sıcaklık t (°C)	Mutlak Basınc P (kg/cm²)	Üzgül Hacim v' (m³/kg)	Sivının buharın v'' (m³/kg)	Sivının buharın γ' (kg/m³)	Sivının buharın γ'' (kg/m³)	Antalpi suyunun h' (kcal/kg)	Antalpi suyunun h'' (kcal/kg)	buharın h'' (kcal/kg)
- 50	0,417	0,001425	2,617	702	0,382	- 53,8	284,1	
- 45	0,566	0,001437	2,002	696	0,500	- 48,5	286,1	
- 40	0,732	0,001449	1,550	690	0,645	- 43,2	288,1	
- 35	0,950	0,001462	1,215	684	0,823	- 37,9	290,0	
- 30	1,219	0,001476	0,963	678	1,038	- 32,6	291,9	
- 25	1,546	0,001490	0,771	671	1,297	- 27,3	293,7	
- 20	1,940	0,001504	0,624	665	1,604	- 21,8	295,5	
- 15	2,410	0,001519	0,509	659	1,966	- 16,4	297,1	
- 10	2,966	0,001534	0,418	652	2,390	- 11,0	298,7	
- 5	3,619	0,001550	0,347	645	2,883	- 5,5	300,1	
0	4,379	0,001666	0,290	639	3,452	0	301,1	
+ 5	5,259	0,001583	0,244	632	4,108	+ 5,5	302,8	
+ 10	6,271	0,001601	0,206	625	4,859	+ 11,1	303,9	
+ 15	7,427	0,001619	0,175	618	5,718	+ 16,7	305,0	
+ 20	8,741	0,001639	0,149	610	6,694	+ 22,4	305,9	
+ 25	10,225	0,001659	0,128	603	7,795	+ 28,1	306,8	
+ 30	11,895	0,001680	0,111	595	9,034	+ 33,8	307,4	
+ 35	13,765	0,001702	0,095	558	10,431	+ 39,7	308,0	
+ 40	15,850	0,001726	0,083	580	12,005	+ 45,5	308,4	
+ 45	18,165	0,001750	0,073	571	13,774	+ 51,4	308,6	
+ 50	20,727	0,001777	0,064	563	15,756	+ 57,4	308,7	

E. ALTEN KIRCH adlı araştırmacının deneylerine göre hazırlanan doygun amonyak (NH_3) buharına ilişkin çizelge

Sıcaklık t ($^{\circ}C$)	Buharın iç enerjisi U' (kcal/kg)	Buharlaşma Isıısı			Antropi		
		$r = h' - h$ (kcal/kg)	$\rho = v'' - v'$ (kcal/kg)	$\psi = AP(v'' - v')$ (kcal/kg)	Sivriının S' (kcal/ $^{\circ}K \cdot kg$)	Buharın S'' (kcal/ $^{\circ}K \cdot kg$)	$\frac{r}{T} = S'' - S'$
- 50	258,6	337,9	312,4	25,5	- 0,217	1,208	1,515
- 45	260,1	334,6	308,6	26,0	- 0,194	1,274	1,468
- 40	261,5	331,3	304,8	26,5	- 0,171	1,251	1,422
- 35	263,0	327,9	300,9	27,0	- 0,148	1,229	1,377
- 30	264,4	324,5	297,1	27,4	- 0,126	1,209	1,335
- 25	265,8	321,0	293,1	27,9	- 0,104	1,190	1,294
- 20	267,1	317,3	289,0	28,3	- 0,083	1,171	1,254
- 15	268,4	313,5	284,9	28,6	- 0,062	1,153	1,215
- 10	269,6	309,7	280,7	29,0	- 0,041	1,136	1,177
- 5	270,7	305,6	276,3	29,3	- 0,020	1,120	1,140
0	271,8	301,5	272,0	29,5	0	1,104	1,104
+ 5	272,8	297,3	267,5	29,8	+ 0,020	1,089	1,069
+ 10	273,7	292,8	262,8	30,0	+ 0,040	1,074	1,034
+ 15	274,5	288,3	258,1	30,2	+ 0,059	1,060	1,001
+ 20	275,3	283,5	253,2	30,3	+ 0,079	1,046	0,967
+ 25	276,0	278,7	248,3	30,4	+ 0,098	1,032	0,934
+ 30	276,5	273,6	243,2	30,4	+ 0,117	1,019	0,902
+ 35	277,0	268,3	237,9	30,4	+ 0,135	1,006	0,871
+ 40	277,4	262,9	232,6	30,3	+ 0,154	0,993	0,839
+ 45	277,7	257,2	227,1	30,1	+ 0,172	0,981	0,809
+ 50	277,8	251,3	221,4	29,9	+ 0,190	0,968	0,778

K. LANGEN adlı araştırmacı tarafından yapılan deneylere göre hazırlanan doygun karbondioksit (CO_2) buharına ilişkin çizelge

Sıcaklık t ($^{\circ}C$)	Mutlak Basınc P (kg/cm ²)	Üzgül Hacim			Antropi		
		Sivriının v' (m ³ /kg)	buharın v'' (m ³ /kg)	Buharın özgül ağırlığı γ' (kg/m ³)	Sivriinin S' (kcal/kg)	buharın S'' (kcal/kg)	sivriinin h' (kcal/kg)
- 50	0,96	0,000866	0,05620	17,8	- 26,93	45,94	- 26,79
- 45	8,50	0,000880	0,04620	21,7	- 24,29	46,23	- 24,12
- 40	10,28	0,000895	0,03820	26,2	- 21,72	26,48	- 21,51
- 35	12,31	0,000912	0,03180	31,5	- 19,18	46,69	- 18,92
- 30	14,60	0,000930	0,02666	37,5	- 16,67	46,85	- 16,35
- 25	17,19	0,000950	0,02253	44,4	- 14,17	46,96	- 13,79
- 20	20,09	0,000919	0,01919	52,1	- 11,64	46,99	- 11,18
- 15	23,33	0,000997	0,01646	60,8	- 9,07	46,94	- 8,52
- 10	26,94	0,001024	0,01416	70,6	- 6,43	46,82	- 5,78
- 5	30,95	0,001054	0,01218	82,1	- 3,70	46,65	- 2,94
0	36,39	0,001088	0,01043	95,9	- 0,90	46,39	0
+ 5	40,29	0,001126	0,00886	112,9	+ 1,96	45,95	+ 3,02
+ 10	45,70	0,001170	0,00746	134,1	+ 4,94	45,26	+ 6,19
+ 15	51,63	0,001225	0,00624	160,3	+ 8,23	44,29	+ 9,71
+ 20	58,15	0,001300	0,00516	193,3	+ 11,95	42,89	+ 13,72
+ 25	65,29	0,001420	0,00418	239,3	+ 15,80	48,32	+ 17,97
+ 30	73,09	0,001675	0,00300	333,3	+ 22,34	35,41	+ 25,56
+ 31	74,73	0,001865	0,00255	392	+ 25,40	32,29	+ 28,66
+ 31,35	75,31	0,002160	0,00216	463	+ 28,44	28,44	+ 32,25

K. LANGEN adlı araştırmacı tarafından yapılan deneylere göre hazırlanan
olan doygun karbondioksit (CO_2) buharına ilişkin çizelge

Sıcaklık t (°C)	Buharlaşma İstisi			Antropi		
	toplam $r = h'' - h'$ (kcal/kg)	\dot{h}' (kcal/kg)	$\dot{h}'' = AP(v'' - v')$ (kcal/kg)	\dot{s} (kcal/ $^{\circ}\text{K} \cdot \text{kg}$)	S' (kcal/ $^{\circ}\text{K} \cdot \text{kg}$)	S'' (kcal/ $^{\circ}\text{K} \cdot \text{kg}$)
- 50	81,88	72,87	9,01	- 0,1057	0,2613	0,3670
- 45	79,52	70,52	9,00	- 0,0040	0,2546	0,3486
- 40	77,16	68,20	8,96	- 0,0828	0,2482	0,3310
- 35	74,76	65,87	8,89	- 0,0719	0,24,21	0,3140
- 30	72,32	63,52	8,80	- 0,0613	0,2362	0,2975
- 25	69,82	61,13	8,69	- 0,0509	0,2305	0,2814
- 20	67,20	58,63	8,57	- 0,0406	0,2249	0,2655
- 15	64,45	56,01	8,44	- 0,0304	0,2193	0,2497
- 10	61,54	53,25	8,29	- 0,0204	0,2136	0,2339
- 5	58,42	50,35	8,07	- 0,0102	0,2077	0,2179
0	55,03	47,29	7,74	0	0,2015	0,2015
+ 5	51,28	43,99	7,29	+ 0,0104	0,1948	0,1844
+ 10	47,05	40,32	6,73	+ 0,0212	0,1874	0,1662
+ 15	42,12	36,06	6,06	+ 0,0328	0,1790	0,1462
+ 20	36,20	30,94	5,26	+ 0,0457	0,1692	0,1235
+ 25	28,74	24,52	4,22	+ 0,0598	0,1562	0,0964
+ 30	15,34	13,07	2,27	+ 0,0830	0,1336	0,0506
+ 31	8,09	6,89	1,20	+ 0,0940	0,1206	0,2066
+ 31,35	0	0	0	+ 0,1058	0,1058	0

CATLIFET VE MARTAS ADLI ARAŞTIRICILARIN DENEVLERINE GORE HAZIRLANMIS OLAN DOYGUN KÜRKONDOKSIT (SO_2) BUHARINA İLİŞKİN ÇİZELGE

Sıcaklık t (°C)	Mutlak Basınc p (kg/cm ²)	Buharın Özgül Hacmi v'' (m ³ /kg)	Buharın Ağırlığı γ'' (kg/m ³)	ANTALPI		BUHARLAMA İSTİSI		ANTROPİ		$\frac{r-s''-s}{T-s''-s}$
				Sivının h' (kcal/kg)	Buharın h'' (kcal/kg)	Toplam $r = h'' - h'$ (kcal/kg)	\dot{h}' (kcal/kg)	$\rho = v'' - u'$ (kcal/kg)	$\psi = AP(v'' - v')$ (kcal/kg)	
- 30	0,39	0,822	1,217	- 9,05	88,72	97,77	90,27	7,50	- 0,0351	0,3672
- 25	0,51	0,643	1,556	- 7,62	89,28	96,91	89,24	7,67	- 0,0293	0,3614
- 20	0,65	0,513	1,950	- 6,15	89,77	95,92	88,12	7,80	- 0,0224	0,3557
- 15	0,83	0,416	2,406	- 4,66	90,16	94,82	86,90	7,92	- 0,0176	0,3499
- 10	1,04	0,330	3,024	- 3,14	90,46	93,60	85,57	8,03	- 0,0117	0,3442
- 5	1,29	0,270	3,708	- 1,58	90,69	92,27	84,15	8,12	- 0,0059	0,3385
0	1,58	0,223	4,490	0	90,82	90,82	82,62	8,20	0,0000	0,3327
+ 5	1,93	0,184	5,443	+ 1,61	90,86	89,25	80,99	8,26	+ 0,0059	0,3269
+ 10	2,34	0,152	6,592	+ 3,25	90,81	87,56	79,28	8,26	+ 0,0117	0,3212
+ 15	2,81	0,127	7,893	+ 4,92	90,68	85,76	77,46	8,30	+ 0,0176	0,3154
+ 20	3,35	0,107	9,372	+ 6,62	90,47	83,85	75,55	8,30	+ 0,0234	0,3096
+ 25	3,96	0,090	11,148	+ 8,35	90,17	81,82	73,54	8,28	+ 0,0293	0,3039
+ 30	4,67	0,076	13,210	+ 10,11	89,78	79,67	71,44	8,23	+ 0,0351	0,2981
+ 35	5,46	0,065	15,456	+ 11,90	89,30	77,40	69,24	8,16	+ 0,0410	0,2923
+ 40	6,35	0,055	18,282	+ 13,71	88,74	75,03	66,95	8,08	+ 0,0468	0,2855

$$c=0,3194+0,00117t \quad s' = 0,00117 \quad \frac{r}{T} = 0,3327 \cdot 0,00234 \cdot t \quad v' = 0,0007$$

K A Y N A K Ç A

Türkçe Eserler

- 1) *Termodinamik* - Mümtaz Balsöz
- 2) *Teknik Termodinamik Dersleri* - A. Rasim Büyüktür
- 3) *Fizik* - Grimsehl/Tomaschek
- 4) *Fizik* - M.J. Lemoine/M.A. Blanc
- 5) *Soğutma Makinaları* - G. Vassogne

Fransızca Eserler

- 1) *Thermodynamique* - Jean Mercier
- 2) *Mécanique Appliquée* - Thermodynamique
R. Ouzianx - J. Perrier
- 3) *Mécanique Appliquée* - Dynamiques Des Machines
Alternatives Pompes et Compresseurs Volumétriques-
R. Duziaux
- 4) *Hütte* - Manuel de L'ingénieur - Tome I
- 5) *Formulaire du Frigoriste*
G. Götsche et W. Pohlmann

Felemenkçe Eserler

- 1) *Leidiche Onderwijs Instelling* - L.O.I.
"Uzman olacak soğutma teknisyenlerine hitabeden
Leidiche Öğretim Kurumu özel soğutma programına
göre hazırlanmış"
- 2) *Instruction Manual for steamfitter Pipefitter
Apprentices*
- 3) *KLIMA*
Warmte - Koel en Luchttechniek kurumunun özel
dokümanları
- 4) *Wiessmann*
Wiessmann Kurumunun özel dokümanları
- 5) *TRANE*
Trane Kurumunun özel dokümanları